

FACULTAD DE INGENIERÍA

Escuela Académico Profesional de Ingeniería Mecánica

Tesis

Diseño de una silla de ruedas con mecanismo bípedo para personas con paraplejia en la región Junín

Yeremy Brayan Espejo Palacios

Para optar el Título Profesional de Ingeniero Mecánico

Huancayo, 2025

Repositorio Institucional Continental Tesis digital



Esta obra está bajo una Licencia "Creative Commons Atribución 4.0 Internacional".

INFORME DE CONFORMIDAD DE ORIGINALIDAD DE TRABAJO DE INVESTIGACIÓN

Α	:	Decano de la Facultad de Ingeniería				
DE	:	Ever Luis Poma Tintaya Asesor de trabajo de investigación				
ASUNTO	:	Remito resultado de evaluación de originalidad de tro	abajo d	de inve	stiga	ción
FECHA	:	30 de Setiembre de 2025				
Con sumo o del trabajo		o me dirijo a vuestro despacho para informar que, en m restigación:	ni conc	dición d	de as	esor
Título: Diseño de u Junín	na silla	a de ruedas con mecanismo bípedo para personas con p	oarapl	ejia en	la reç	gión
Autores: 1. Yeremy Bi	rayan	Espejo Palacios – EAP. Ingeniería Mecánica				
completa d	e las o	la carga del documento a la plataforma "Turnitin" y se coincidencias resaltadas por el software dando por resu allazgos relacionados a plagio. Se utilizaron los siguiente:	Itado	14 % d		
• Filtro de e	xclusio	ón de bibliografía	SI	Χ	NO	
		ón de grupos de palabras menores excluidas (en caso de elegir "SI"); 30	SI	Χ	NO	
• Exclusión (de fue	ente por trabajo anterior del mismo estudiante	SI		NO	Χ
	resent	a, se determina que el trabajo de investigación cons tar similitud de otros autores (citas) por debajo del porce intinental.				
Recae toda	respo	onsabilidad del contenido del trabajo de investigación s	obre e	el autor	y ase	esor,

Recae toda responsabilidad del contenido del trabajo de investigación sobre el autor y asesor, en concordancia a los principios expresados en el Reglamento del Registro Nacional de Trabajos conducentes a Grados y Títulos – RENATI y en la normativa de la Universidad Continental.

Atentamente,

La firma del asesor obra en el archivo original (No se muestra en este documento por estar expuesto a publicación)

DEDICATORIA

Dedico este trabajo de investigación a Dios, fuente de fortaleza, guía y esperanza en cada etapa de mi vida académica y personal. Me dedico esta tesis a mí mismo, por creer, resistir y demostrar que, con esfuerzo y fe en mis sueños, todo es posible. A mis padres, cuyo amor incondicional, esfuerzo y sacrificio me han permitido llegar hasta aquí. A ellos les debo cada logro alcanzado, su ejemplo de perseverancia y entrega ha sido mi mayor inspiración. Dedico este logro a mi pareja, por su amor, apoyo incondicional y por acompañarme en cada paso de este camino, dándome la fuerza necesaria para no rendirme. Y a mi hijo, mi mayor inspiración, quien me motiva día a día a ser mejor y a luchar por un futuro lleno de esperanzas y oportunidades.

A mis docentes, por su compromiso en la formación profesional, por compartir su conocimiento y por impulsarme a dar siempre lo mejor de mí. Finalmente, dedico esta tesis a todas aquellas personas que creen en el valor de la educación como herramienta de transformación, y a quienes, con esfuerzo y dedicación, trabajan día a día por alcanzar sus sueños.

AGRADECIMIENTOS

En primer lugar, agradezco a Dios, por iluminar mi camino, darme fortaleza en los momentos de dificultad y permitirme culminar con éxito esta etapa tan importante de mi vida. A mis padres, por su amor incondicional, sacrificio y apoyo constante, pilares fundamentales que me sostuvieron en todo momento y que me inspiraron a no rendirme ante los desafíos. A mi familia, por brindarme comprensión, paciencia y palabras de aliento durante este proceso de formación profesional.

Expreso mi más sincero reconocimiento a mis docentes y asesores de tesis, quienes con sus conocimientos, orientaciones y exigencia académica contribuyeron significativamente a la realización de este trabajo académico. Finalmente, extiendo mi gratitud a la Universidad Continental, y en especial a la facultad de Ingeniería Mecánica por acogerme y brindarme todos los conocimientos necesarios para desarrollarme como profesional.

ÍNDICE DE CONTENIDO

DEDICATORIA	iv
AGRADECIMIENTOS	v
ÍNDICE DE TABLAS	ix
ÍNDICE DE FIGURAS	xi
RESUMEN	xv
ABSTRACT	xvii
INTRODUCCIÓN	xviii
CAPÍTULO I: PLANTEAMIENTO DEL ESTUDIO	20
1.1. Planteamiento y formulación del problema	20
1.1.1. Planteamiento del problema	20
1.1.2. Problema general:	21
1.1.3. Problemas específicos:	21
1.2. Objetivos de la investigación	22
1.2.1. Objetivo general	22
1.2.2. Objetivos específicos	22
1.3. Justificación e importancia	22
1.3.1. Justificación económica	22
1.3.2. Justificación teórica.	22
1.3.3. Justificación práctica	23
1.3.4. Justificación social	23
1.3.5. Justificación ambiental	23
1.3.6. Justificación metodológica	23
1.4. Flujograma del proyecto	24
CAPÍTULO II: MARCO TEÓRICO	25
2.1. Antecedentes de la investigación	25
2.1.1. Antecedentes a nivel internacional	25
2.1.2. Antecedentes a nivel nacional	28
2.2. Bases teóricas	30
2.2.1. Situación de la silla de ruedas y las personas con paraplejia en el Perú	30
2.2.2. Leyes y normativas sobre la accesibilidad	38
2.2.3. Biofísica de la bipedestación	39
2.2.4. Análisis del movimiento al levantarse	40
2.2.5. La silla de ruedas	41
2.2.6. Mecanismos de elevación	47

2.2.7. Consideraciones biomecánicas	49
2.2.8. Modelo biomecánico de la silla de ruedas con posicionamiento bípedo	51
2.2.9. Estática, cinemática y dinámica	52
2.2.10. Antropometría y ergonomía	53
2.2.11. Diseño conceptual, requerimientos y consideraciones de la silla de ruedas	56
CAPÍTULO III: METODOLOGÍA	79
3.1. Tipo de investigación	79
3.2. Metodología aplicada para el desarrollo de la solución	79
CAPÍTULO IV: RESULTADOS Y DISCUSIÓN	90
4.1. Identificación de requerimientos	90
4.1.1 Inicio del diseño	90
4.1.2. Lista de exigencia	92
4.1.3. Planificación del desarrollo del proyecto	96
4.1.4. Análisis de la solución	97
4.2. Selección de materiales y medidas	108
4.2.1. Criterios de diseño mecánico aplicados a componentes estructurales	109
4.2.2. Medida y selección de los perfiles para la estructura de la silla de ruedas	116
4.2.3. Cálculo del centro de gravedad o cálculos dinámicos	117
4.2.4. Cálculo de la propulsión y rozamiento a rodar	127
4.2.5. Cálculo de las fuerzas que actúan en cada rueda	129
4.2.6. Cálculos para la selección de rodamiento de las ruedas de 24 pulgadas	132
4.2.7. Cálculos para la selección de rodamientos para las ruedas de dirección	o
ruedas delanteras	134
4.2.8. Análisis por elementos finitos del soporte ranurado	134
4.2.9. Análisis del mecanismo de estabilidad	138
4.2.10. Mecanismo de accionamiento a posición bípeda	141
4.2.11. Selección del mecanismo de elevación y suspensión	142
4.2.12. Selección de conexiones del actuador	144
4.2.13. Componentes del circuito de control	145
4.2.14. Análisis del eje para unión de ruedas y chasis	147
4.2.15. Componentes y dimensiones de la silla de ruedas	150
4.2.16. Dimensionamiento y de la estructura del asiento	152
4.2.17. Selección del material para el asiento	152
4.2.18. Dimensionamiento y función de la estructura del respaldar	153
4.3. Dimensionamiento del chasis de la silla de ruedas	156
4.3.1. Selección de ángulos para el usuario en la silla de ruedas	157

4.3.2. Diseño y análisis del mecanismo de levante	158
4.3.3. Tornillos de la silla de ruedas	160
4.3.4. Análisis de puntos críticos de la silla de ruedas bípeda	160
4.3.5. Componentes adaptables a la fisionomía del usuario	168
4.4. Discusión de resultados	171
4.5. Estimación de costo	172
4.5.1. Costo de materiales	172
4.5.2. Costos de fabricación	173
4.6. Diseño final de la silla de ruedas	175
4.7. Planos:	178
CAPÍTULO V: CONCLUSIONES Y RECOMENDACIONES	179
5.1 Conclusiones	179
5.2 Recomendaciones	181
REFERENCIAS BIBLIOGRÁFICAS	183
ANEXOS	189

ÍNDICE DE TABLAS

Tabla 1. Dimensiones frecuentes de la silla de ruedas	54
Tabla 2. Dimensiones primordiales de la silla de ruedas	56
Tabla 3. Repartición de peso y talla para mayores de 20 años	58
Tabla 4. Factores de seguridad mínimos	71
Tabla 5. Propiedades del aluminio 6061	72
Tabla 6. Coeficientes de roce según superficies en contacto	73
Tabla 7. Características, etapas y objetivos de la norma VDI 2221	81
Tabla 8. Etapas de la norma VDI 2221	81
Tabla 9. Guía de lista de exigencias	84
Tabla 10. Modelo del plan de trabajo	85
Tabla 11. Modelo de matriz morfológica	86
Tabla 12. Ejemplo de evaluación de lista de exigencias	86
Tabla 13. Ejemplo de evaluación del valor técnico	87
Tabla 14. Ejemplo de evaluación del valor económico	87
Tabla 15. Requerimientos para la silla de ruedas	91
Tabla 16. Lista de exigencias	93
Tabla 17. Planificación de desarrollo del estudio	96
Tabla 18. Matriz morfológica	100
Tabla 19. Evaluación de lista de exigencias	105
Tabla 20. Evaluación técnica	106
Tabla 21. Evaluación económica	107
Tabla 22. Valor económico y técnico	107
Tabla 23. Materiales para fabricar componentes de la silla de ruedas	109
Tabla 24. Factores de seguridad	110
Tabla 25. Peso, dimensión y radio de curvatura de tubo	116
Tabla 26. Propiedades mecánicas	116
Tabla 27. Porcentaje y peso en kilogramos de cada miembro del cuerpo	117
Tabla 28. Centro de gravedad en posición sentada en la silla de ruedas	120
Tabla 29. Centro de gravedad en postura vertical	122
Tabla 30. Factor de seguridad	133
Tabla 31. Rendimiento del rodaje W61903-2RS1	133
Tabla 32. Rendimiento del rodaje NSK 619/9-2Z	134
Tabla 33. Propiedades del material	135
Tabla 34. Cargas y fijaciones	135

Tabla 35. Fuerza resultantes	136
Tabla 36. Especificaciones del actuador	143
Tabla 37. Especificaciones técnicas del amortiguador	144
Tabla 38. Superficies primordiales de la estructura de silla de ruedas	151
Tabla 39. Tornillos de sujeción	160
Tabla 40. Propiedades del chasis	161
Tabla 41. Cargas y sujeciones	162
Tabla 42. Fuerza resultantes	162
Tabla 43. Cargas y sujeción	165
Tabla 44. Fuerzas resultantes	166
Tabla 45. Lista de materiales y costos	172
Tabla 46. Listado de accesorios comerciales	173
Tabla 47. Costo de componentes para fabricar cada pieza	174
Tabla 48. Síntesis de los costos de fabricación y materiales	175

ÍNDICE DE FIGURAS

Figura 1. Flujograma del proyecto de investigación	24
Figura 2: Personas con discapacidad, según departamento	32
Figura 3. Personas con discapacidad según sexo y edad	32
Figura 4. Pirámide poblacional de los individuos con discapacidad	33
Figura 5. Población inscrita en el registro nacional de la persona con discapacidad	
con sola una deficiencia	33
Figura 6: Población registrada en el Registro Nacional de la Persona con Discapacidad	
con una sola limitación durante el período	34
Figura 7. Población con discapacidad etario	35
Figura 8. Tipos de discapacidad	35
Figura 9. Proyección vertical imaginaria sobre la tierra que penetra al COM y BOS	39
Figura 10. Momentos del COM para conservar el equilibrio y la posición bípeda	40
Figura 11. Modelo de tres barras representando el cuerpo humano	41
Figura 12. Silla de ruedas	42
Figura 13. Silla de ruedas manual	42
Figura 17. Silla de ruedas para subir escaleras	44
Figura 18. Silla de rueda pediátrica	44
Figura 19. Sillas de ruedas de postura	45
Figura 20. Silla de ruedas eléctrica	46
Figura 21. Componentes de la silla de ruedas	46
Figura 22. Silla de rueda articulada en postura horizontal	47
Figura 23. Silla de rueda articulada en posición vertical	47
Figura 24. Dispositivo de silla de ruedas que levanta a posición vertical al usuario	48
Figura 25. Funcionamiento de mecanismo de silla de ruedas	48
Figura 26. Ángulos apropiados para utilizar la silla de ruedas	49
Figura 27. Esquemas de soportes, sistema bípedo (plano sagital) y fuerzas	
en el cuerpo	51
Figura 28. Ángulos de referencia para el modelo estático	52
Figura 29. Medidas antropométricas del peruano en postura de pie	53
Figura 30. Medidas antropométricas del peruano en postura sentada	54
Figura 31. Medidas antropométricas extraídas del software antropógeno para un	
individuo en postura vertical	55

Figura 32. Medidas antropométricas extraídas del software	e antropógeno para un
individuo en postura sentada	55
Figura 33.Interruptor momentáneo	61
Figura 34. Interruptor de mantenimiento	61
Figura 35. Relé	61
Figura 36. Actuador neumático	62
Figura 37. Actuador hidráulico	63
Figura 38. Actuador eléctrico	63
Figura 39. Actuador magnético/térmico	63
Figura 40. Actuador mecánico	64
Figura 41. Componentes de fuerzas internas	65
Figura 42. Esfuerzo en una soldadura de ranura tipo V	67
Figura 43. Categorización del proceso de soldadura	68
Figura 44. Propiedades mecánicas de perno	69
Figura 45. Reacciones y apoyos	72
Figura 46. Fuerza normal en un plano inclinado	73
Figura 47. Fuerza de rozamiento estático	73
Figura 48. Rodamiento de esferas de una sola hilera	74
Figura 49. Rodamiento de esferas de dos hileras	74
Figura 50. Distribución de diseño, según la norma VDI 22	21 80
Figura 51. Fases del diseño de la VDI 2221	82
Figura 52. Ejemplo de Black-Box	85
Figura 53. Caja negra	97
Figura 54. Estructura funcional	99
Figura 55. Idea solución 1	
Figura 56. Idea solución 2	
Figura 57. Idea solución 3	
Figura 58. Gráfico de decisión	
Figura 59. Barra de soporte inferior del actuador lineal	112
Figura 60. Análisis de tensión	114
Figura 61. Factor de seguridad	
Figura 62. Análisis de tensión	
Figura 63. Factor de seguridad	116
Figura 64. Distancia en el centro de gravedad de los plano	s "X"," Y" 117
Figura 65. Centro de gravedad en postura sentada	118

Figura 66. Centro de gravedad en postura sentado del usuario en correlación	
al eje de la rueda posterior	119
Figura 67. Centro de gravedad en posicion sentada	121
Figura 68. Centro de gravedad en postura vertical del usuario	122
Figura 69. Centro de gravedad a través del Solid Word en posicion biepeda	123
Figura 70. Reposapiés al nivel del suelo, en posición bípeda	128
Figura 71. Ruedas antivuelco traseras	128
Figura 72. Aros de propulsión con proyecciones	129
Figura 73. Ruedas delanteras	129
Figura 74. Cálculo de las fuerzas de las ruedas delanteras y traseras sin el peso	
del usuario	130
Figura 75. Fuerzas que actúan en cada rueda	131
Figura 76. Referencia de modelo	134
Figura 77. Tensión de Von Mises	136
Figura 78. Análisis estático desplazamiento	137
Figura 79. Análisis de deformación unitaria equivalente	137
Figura 80. Factor de seguridad	138
Figura 81. Centro de gravedad con persona incluida	139
Figura 82. Mecanismo no Grashof del paralelogramo	141
Figura 83. Selección del mecanismo de elevación y suspensión	142
Figura 84. Selección de actuador	143
Figura 85. Medidas del actuador y elección del actuador	144
Figura 86. Interruptor tipo botón	145
Figura 87. Batería seca Oxford modelo 6-DZM-23 de 12 V 23 Ah	145
Figura 88. Módulo de Relé OONO	146
Figura 89. Interruptor de palanca	146
Figura 90. Diagrama de activación del actuador lineal eléctrico	147
Figura 91. Tipos de eje	147
Figura 92. D.C.L. de cliente en postura sentada: W (peso de cliente) y	
Ws (peso de silla)	148
Figura 93. D.C.L. en eje de la rueda	149
Figura 94. Silla de ruedas con posicionamiento bípedo en posición sentada	150
Figura 95. Representación de la silla de ruedas en posición sentada con sus	
longitudes geométricas	150
Figura 96. Representación de la silla de ruedas en postura bípeda y sus longitudes	
geométricas	151

Figura 97. Estructura de asiento de silla de ruedas	152
Figura 98. Asiento de silla de ruedas	153
Figura 99. Ensamblaje con estructura de asiento	153
Figura 100. Estructura de respaldar de silla de ruedas	154
Figura 101. Tapicería de nylon elástico recubierto del respaldar	154
Figura 102. Mecanismo para retraer el respaldar	154
Figura 103. Análisis de tensión cuando el usuario está apoyado al respaldar	155
Figura 104. Análisis estático del reposa brazos	156
Figura 105. Estructura óptima del chasis	156
Figura 106. Rango ideal para la posición sentada del usuario	157
Figura 107. Ángulo de 14° en relación de la vertical	158
Figura 108. Usuario posición sentado 4 puntos de apoyo	158
Figura 109. Pasador en una ranura	159
Figura 110. Silla poción bípeda, 6 puntos de apoyo	159
Figura 111. Puntos críticos del chasis cuando está el usuario en posición sentado	161
Figura 112. Análisis de tensión	163
Figura 113. Análisis desplazamientos resultantes	163
Figura 114. Deformación unitaria equivalente	164
Figura 115. Análisis DEL FACTOR de seguridad	164
Figura 116. Análisis de chasis con la persona en posición bípeda	165
Figura 117. Análisis de tensiones	166
Figura 118. Análisis desplazamientos resultantes	167
Figura 119. Deformación unitaria equivalente	167
Figura 120. Análisis del factor de seguridad	168
Figura 121. Ángulo del asiento	169
Figura 122. Ajuste del centro de gravedad	169
Figura 123. Diámetro de la rueda	170
Figura 124. Regulación del reposapiés	170
Figura 125. Regulación del reposabrazos	171
Figura 126. Vista isométrica del diseño final	176
Figura 127. Usuario sentado	177
Figura 128. Usuario en nosición bínedo	177

RESUMEN

El actual estudio de investigación desarrolla el diseño de una silla de ruedas con mecanismo de posicionamiento bípeda, orientado a usuarios con paraplejia en la región Junín. Su objetivo principal es permitir el cambio seguro de una postura sentada a una posición erguida con el fin de prevenir la formación de escaras o coágulos, mejorar la circulación sanguínea y facilitar el alcance de objetos fuera del radio habitual del usuario. La necesidad surge de la escasa disponibilidad de dispositivos de asistencia accesibles y adaptados a las características antropométricas de la población de Junín, lo cual limita calidad de vida y su autonomía.

La investigación es de tipo tecnológica aplicada y se formuló siguiendo la metodología de diseño sistemático establecida por la norma VDI 2221, asegurando una solución estructurada, funcional y factible. El diseño fue modelado en SolidWorks y validado mediante simulaciones estructurales por elementos finitos (FEA).

El resultado obtenido es un dispositivo ergonómico, funcional y adaptable a las características antropométricas del usuario, que mantiene un ángulo fijo de bipedestación. La estructura incorpora componentes clave como reposapiés abatibles, frenos tipo tijera, cinturones de sujeción pectoral y pélvico de dos puntos y soportes ajustables para miembros inferiores. En posición erguida el sistema proporciona seis puntos de apoyo sobre el suelo para mejorar la estabilidad complementado con ruedas antivuelco traseras que aseguran la seguridad en superficies irregulares. Las ruedas delanteras pequeñas y dirigibles, junto con ruedas traseras de mayor diámetro, permiten un desplazamiento eficiente y maniobrable. El sistema de propulsión puede ser manual mediante aros de empuje o asistido y cuenta con guardas de protección para evitar lesiones en las manos del usuario. La transición a la postura bípeda se ejecuta mediante un actuador lineal eléctrico controlado por un interruptor, apoyado por amortiguadores a gas que incrementan el confort y absorben impactos. La estructura se basa en un chasís rígido de alta resistencia mecánica diseñado bajo criterios de seguridad y funcionalidad.

Finalmente, el diseño resultante no solo cumple con las condiciones técnicas y ergonómicas exigidas por los usuarios, sino que también representa una alternativa económica, con un costo estimado de S/ 3,350 significativamente inferior al de modelos comerciales importados. Se concluye que esta solución tecnológica constituye un aporte importante para elevar la autonomía, movilidad y calidad de vida de ciudadanos con discapacidad física en contextos de bajos recursos. No obstante, se sugiere considerar futuras mejoras enfocadas en la optimización

del confort, la facilidad de uso y la adaptabilidad del sistema según las necesidades individuales del usuario.

Palabras claves: diseño, silla de ruedas, posicionamiento bípedo, paraplejia.

ABSTRACT

This research project presents the design of a wheelchair with a bipedal positioning

mechanism, aimed at individuals with paraplegia in the Junín region. Its main objective is to

enable a safe transition from a seated to an upright position in order to improve blood

circulation, prevent the formation of pressure ulcers or blood clots, and facilitate access to

objects beyond the user's usual reach. The need arises from the limited availability of accessible

assistive devices adapted to the anthropometric characteristics of the local population, which

restricts users' autonomy and quality of life.

This is applied technological research, developed following the systematic design

methodology established by the VDI 2221 standard, ensuring a structured, functional, and

feasible solution. The design was modeled in SolidWorks and validated through finite element

analysis (FEA).

The resulting product is an ergonomic, functional, and adaptable device tailored to the user's

anthropometric features, maintaining a fixed bipedal standing angle. The structure includes key

components such as foldable footrests, scissor-type brakes, two-point chest and pelvic support

belts, and adjustable lower limb supports. In the standing position, the system provides six

ground contact points for enhanced stability, complemented by rear anti-tip wheels that ensure

safety on uneven surfaces. The small, steerable front wheels and larger rear wheels allow for

efficient and maneuverable movement. The propulsion system can be manual using push rims

or assisted, and includes protective guards to prevent hand injuries. The transition to the

standing position is performed by an electric linear actuator controlled by a switch, supported

by gas springs that increase comfort and absorb impacts. The structure is based on a high-

strength rigid chassis designed according to safety and functionality criteria.

Ultimately, the final design not only meets the technical and ergonomic requirements

demanded by users but also represents a cost-effective alternative, with an estimated cost of S/

3,350, significantly lower than imported commercial models. It is concluded that this

technological solution represents a significant contribution to improving autonomy, mobility,

and quality of life for individuals with physical disabilities in low-resource settings. However,

future improvements are suggested, focusing on optimizing comfort, ease of use, and system

adaptability according to individual user needs.

Keywords: design, wheelchair, bipedal positioning, paraplegia.

XVII

INTRODUCCIÓN

Actualmente, más del 12 % de la población peruana, según el INEI-CONADIS-2000 al 2017, tiene algún tipo de discapacidad (visual, audición, motriz, habla, conductual o intelecto), que no le deja desenvolverse "normalmente" en la sociedad. Siendo así, que las personas con paraplejía para atenuar dicha discapacidad requieren de una silla de ruedas, la cual es un medio de traslado, que apoya al usuario a movilizarse, logrando la inclusión y participación de la persona en la sociedad. Sin embargo, disponer de una silla de ruedas adecuada al peso y talla de la persona es limitado, debido a que comúnmente estas sillas deben ser importadas, siendo su costo de adquisición mayor a \$1000 para sillas con componentes eléctricos y \$200 para sillas con componentes simples.

Las sillas de ruedas deben ajustarse a la persona y no al revés, teniendo como primordial peculiaridad la comodidad, movilidad y funcionalidad del cliente. Es por ello, que a nivel nacional hay diversas variedades de sillas de ruedas (eléctricas o manuales) que son desmontables, transportables, plegables, ajustables (en los reposabrazos, respaldo, reposapiés, anchura del asiento, etc.), siendo estos componentes de diversos mecanismos para su regulación y materiales.

A nivel nacional, algunos modelos de sillas de ruedas son confeccionadas en el Perú, como las manuales, sin embargo, en algunos casos son modificados, siendo estas muy amplias, pesadas, con estructuras no modulares que aminoran el desplazamiento de una parte a otra. No obstante, existe la necesidad de una silla de ruedas con posicionamiento bípedo que ayudaría al individuo a tener mayor independencia, ya que alcanzaría objetos que están a mayor altura y podría cambiar frecuentemente de posición.

Por ello, en la presente investigación se formula el diseño mecánico de una silla de ruedas con posicionamiento bípedo. Buscando una ventaja económica a nivel local, considerando los planos de fabricación de la estructura y los cálculos de diseño. Con el fin de ejecutar objetivos planteados en el presente estudio se utilizará la norma alemana VDI 2221 (método de diseño en Ingeniería mecánica), que ayudará en el progreso del diseño de la silla de ruedas con postura bípedo, desempeñando cada una de las tareas que establece, entre las cuales tenemos: la planificación, elaboración del proyecto, concepto de solución y elaboración de la ingeniería de detalles.

El presente estudio completo se dividirá en cinco capítulos. En el primer capítulo se enfocará en plantear y formular el problema dando a conocer los inconvenientes musculoesqueléticos y movilidad limitada de las personas con paraplejía en la región Junín, también, se darán a conocer los objetivos principales y específicos. En el segundo capítulo se abordará el marco teórico, donde se desarrollará los conceptos y teorías en las cuales se basará el estudio, asimismo se darán a conocer los antecedentes de la tesis, ya sean artículos y tesis referentes al tema a nivel internacional, nacional y local. En el tercer capítulo se desarrollará la metodología de diseño con sus correspondientes fases, modelos y etapas. En el cuarto capítulo se evaluará la alternativa más eficiente de solución del prototipo de la silla de ruedas bípeda que se adapte a la comodidad, seguridad y economía del usuario. Finalmente, en el quinto capítulo se hará la conclusión del prototipo favorablemente para el usuario y se realizaran las recomendaciones respectivas.

CAPÍTULO I

PLANTEAMIENTO DEL ESTUDIO

1.1. Planteamiento y formulación del problema

1.1.1. Planteamiento del problema

La silla de ruedas tiene su origen en Kazajstán, ya que se descubrió una prótesis del año 2300 a.C. en Egipto. En Grecia, alrededor del año 530 a.C., se adecuaron ruedas a una cama, y posteriormente, en China en el año 525 a.C., se añadieron ruedas a una silla. Finalmente, en 1995, Carlos V de España creó por primera vez la silla de ruedas como la conocemos hoy en día (1).

La OMS (1970) señaló que alrededor del 10 % de los humanos a nivel mundial sufría algún tipo de discapacidad (2). En 2021, alrededor de mil millones de humanos (aproximadamente el 15 % de los ciudadanos a nivel mundial) presentan esta condición (3). Según el INDEC (2018), más del 10 % de los argentinos tienen alguna discapacidad, siendo la más prevalente la motora, que afecta al 59 % de los casos (4).

A nivel nacional, el CONADIS (2018) informó que, en 2017, más del 62 % de los individuos con discapacidad en Perú presentaban una déficit músculo-esquelética, y aproximadamente el 32 % sufría un defecto en la locomoción (5). Además, el INEI (2017) indicó que 3,051,612 personas en el país poseen alguna discapacidad, de lo cual más del 15 % (462,060) tienen dificultades para moverse o caminar (6).

En la región de Junín, según el Informe Estadístico del Registro Nacional de la Persona con Discapacidad del reporte de enero de 2022 – CONADIS, 50,327 personas tienen algún tipo de discapacidad, y 11,506 de ellas están registradas, representando el 22.9 % del total de humanos con discapacidad en la región. De estas, 7,924 personas, esto es, el 68.9 % de los registrados, toleran alguna discapacidad en la locomoción (7).

La limitación en la locomoción impide que las personas se desplacen por sí mismas. Para mitigar esta deficiencia, se utilizan prótesis o sillas de ruedas para individuos con paraplejia, entre otras condiciones. No obstante, un usuario con paraplejia que maneja una silla de ruedas usual puede enfrentar dificultades en su movilidad y, al sostener la misma posición de manera prolongada, puede experimentar incomodidad y desarrollar úlceras por presión. Además, la falta de movimiento afecta la circulación sanguínea y aumenta la dependencia de la persona hacia su cuidador.

Por lo cual, en la presente investigación, se plantea el diseño de una silla de ruedas con posicionamiento bípedo destinada a favorecer la extensión y funcionalidad de movimientos, y así incrementar la independencia de este segmento de la población.

1.1.2. Problema general:

¿Cómo realizar el diseño de una silla de rueda con mecanismo de posicionamiento bípedo para personas con paraplejia en la región Junín?

1.1.3. Problemas específicos:

- 1. ¿Cuáles son las medidas antropométricas de los ciudadanos de la región de Junín para el diseño de una silla de ruedas con mecanismo de posicionamiento bípedo para personas con paraplejia en la región Junín?
- 2. ¿Cómo seleccionar el tipo de material y medidas para el diseño de la estructura de cada componente de una silla de ruedas con mecanismo de posicionamiento bípedo para personas con paraplejia en la región Junín?
- 3. ¿Cómo diseñar los componentes de una silla de ruedas con mecanismo de posicionamiento bípedo para individuos con paraplejia en la región Junín?

4. ¿Cómo diseñar los mecanismos de elevación, suspensión y estabilidad con las consideraciones biomecánicas de una silla de ruedas con mecanismo de posicionamiento bípedo, para individuos con paraplejia en la región Junín?

1.2. Objetivos de la investigación

1.2.1. Objetivo general

Realizar el diseño de una silla de ruedas con mecanismo de posicionamiento bípedo para personas con paraplejía en la región Junín.

1.2.2. Objetivos específicos

- Identificar las medidas antropométricas del ciudadano de la región de Junín para el diseño de una silla de ruedas con mecanismo de posicionamiento bípedo para personas con paraplejia en la región Junín.
- 2. Seleccionar el tipo de material y medidas para el diseño de la estructura de cada componente de la silla de ruedas con mecanismo de posicionamiento bípedo para personas con paraplejia en la región Junín.
- 3. Diseñar los componentes de una silla de ruedas con mecanismo de posicionamiento bípedo para individuos con paraplejia en la región Junín.
- 4. Diseñar los mecanismos de elevación, suspensión y estabilidad con las consideraciones biomecánicas de una silla de ruedas con mecanismo de posicionamiento bípedo, para individuos con paraplejia en la región Junín.

1.3. Justificación e importancia

1.3.1. Justificación económica

El presente trabajo aportará un valor económico significativo al ofrecer una alternativa más accesible en las sillas de ruedas vendidas en el mercado, cuyo costo es de S/ 7500. Además, facilitará la integración de individuos con paraplejia en el ámbito profesional o laboral.

1.3.2. Justificación teórica

El valor teórico de este estudio se encuentra en la ampliación y generación del conocimiento sobre el diseño de sillas de ruedas con posición bípeda. Este estudio fomentará el interés en futuras investigaciones destinadas a desarrollar y perfeccionar el diseño de una silla de ruedas con mecanismo de postura bípeda, dado que su fabricación no implicará costos elevados.

1.3.3. Justificación práctica

El valor práctico de esta investigación radica en el diseño de una silla de ruedas con postura bípeda, que se utilizará como medio de transporte para personas con paraplejia. Esta silla permitirá posicionar a los usuarios en una postura vertical, reduciendo la presión corporal al estar sentados y disminuyendo el riesgo de lesiones, lo cual mejorará su bienestar.

1.3.4. Justificación social

El valor social del estudio tendrá un impacto en los aspectos de accesibilidad e inclusión, ya que la silla de ruedas bípeda mejorará la movilidad e independencia de la persona con paraplejia, permitiéndoles participar más activamente en la sociedad, incluido el mercado laboral. Asimismo, esta silla con postura bípeda mejorará la calidad de vida, ya que el usuario será más independiente y autónomo, también permitirá una postura más natural y ergonómica, logrará reducir problemas de salud relacionados con el uso prolongados de una silla de ruedas habitual, como problemas musculo esqueléticos y ulceras por presión.

1.3.5. Justificación ambiental

El valor ambiental del presente proyecto permitirá la eficiencia en el uso de recursos, se realizará un diseño ligero y modular para facilitar la reparación y reutilización. Además, el diseño de la silla de ruedas con postura bípeda facilitará el desplazamiento de una persona con paraplejia en zonas inclinadas con un máximo de 6.84° (según la norma NTE INEN 2 245, 2000) y en superficies planas, sin requerir la asistencia de terceros. Asimismo, una silla de ruedas diseñada con durabilidad tendrá un mínimo impacto ambiental durante su vida útil, ya que reducirá la necesidad de reemplazos frecuentemente por ello no existirá demanda de nuevo recursos.

1.3.6. Justificación metodológica

Por otro lado, el valor metodológico de la investigación sobre la silla de ruedas con posición bípeda proporcionará información novedosa, ya que en el Perú y en la región de Junín no se realizaron investigaciones sobre este tipo de dispositivos especiales, destinados a personas con discapacidad física en sus miembros inferiores. Esta información será valiosa para el desarrollo de futuros diseños de sillas de ruedas con posición bípedo.

1.4. Flujograma del proyecto

Proyecto de tesis DISEÑO DE UNA SILLA DE RUEDAS CON MECANISMO DE POSICIONAMIENTO BÍPEDO PARA PERSONAS CON PARAPLEJIA EN LA REGIÓN JUNÍN, 2022. Biblioteca (física y virtual) y repositorios NO Tengo Exploración y recopilación de información información Requerimientos reales SI Análisis de la información Biblioteca (física y virtual) y repositorios Exploración y Diseño de la silla de ruedas (2 recopilación de fases) información NO Requerimientos reales Tengo Diseño mecánico y eléctrico información Cálculos, validación y bocetos SI Descargar y/o Elaboración de planos y la Tengo programas y comprar simulación softwares SI Instalación de programas y Softwares NO Cálculos con Tengo Recopilar datos de los validación información cálculos matemática SI Validación, Planos y Simulación Elaboración del documento de proyecto de tesis Fin del proyecto de

Figura 1. Flujograma del proyecto de investigación

CAPÍTULO II

MARCO TEÓRICO

2.1. Antecedentes de la investigación

2.1.1. Antecedentes a nivel internacional

El artículo científico titulado: «Diseño de un equipo de bipedestación» tiene por finalidad desarrollar un mecanismo que facilite ejecutar terapias de bipedestación. Utilizando herramientas de diseño asistido por computadora (CAD), los resultados incluyen un sistema que mantiene al paciente seguro en el equipo, Este sistema consiste en dos dispositivos: uno ubicado bajo del asiento y otro conectado detrás del respaldo. El diseño permite que el paciente realice terapias de bipedestación y, si es necesario, ejercite sus extremidades superiores e inferiores mediante pedales y palancas (8). Este análisis es significativo para la tesis porque proporciona un diseño funcional para realizar terapias de bipedestación.

La investigación de maestría titulada: «Diseño estructural de una silla de ruedas de bipedestación con sistema de verticalización y la incidencia en su eficiencia energética» tiene por finalidad diseñar el chasis de la silla de ruedas de posición bípeda con un enfoque en la eficiencia energética y el sistema de verticalización. Utilizando la metodología de elementos finitos (FEM), se obtuvieron como logros que incluyen un modelo de una silla de ruedas con sistema de posición bípeda, utilizando principalmente tubos redondos en la estructura. Para los ensayos estáticos y dinámicos, se establecieron valores de seguridad infalibles, al igual que niveles aceptables de esfuerzo y deformación equivalente máximo a partir del análisis global de toda la estructura. No obstante, se identificaron puntos críticos aceptables en la estructura inferior (9). Se recomienda utilizar este estudio como apoyo para la construcción, diseño y validación de un modelo de una silla de ruedas de posición bípeda con un sistema de

verticalización energéticamente eficaz. Este análisis es significativo para el estudio porque proporciona un diseño del chasis de una silla de ruedas de posición bípeda con un enfoque en la eficiencia energética y el sistema de verticalización.

El trabajo académico de pregrado denominado: «Construcción de una silla de ruedas eléctrica para bipedestación» tiene por finalidad construir y diseñar una silla de ruedas eléctrica para bipedestación. Utilizando las metodologías de diseño CAM y CAD, se obtuvo un mecanismo de bipedestación con las medidas adecuadas para una postura bípeda correcta, logrando un ángulo de 75°. El diseño CAD permitió diseñar el 70 % de los componentes de ensamblaje para su selección y revisión de materiales antes del desarrollo de fabricación, y al culminar la simulación se obtuvo una estructura capaz de soportar 100 kg en un componente no crítico, con un factor de seguridad de 2.1. Para adaptarse al usuario, la estructura es ajustable en el respaldo, el ángulo del asiento, la altura del reposapiés y las ruedas centrales (10). Se recomienda utilizar este trabajo de investigación como referencia para analizar la localización de los puntos de presión de los arneses y mejorar el equilibrio de dichos puntos para la incorporación de sensores. Este análisis es importante para la tesis porque proporciona un diseño y elaboración de una silla de ruedas eléctrica para bipedestación.

La investigación de posgrado: «Diseño y construcción de una silla bipedestadora para personas con discapacidad en sus extremidades inferiores» tuvo como finalidad el diseño y fabricación de una silla bipedestadora hacia individuos que tienen discapacidad en sus partes inferiores. Se uso el software SolidWorks y se validó en ANSYS, luego se analizó la posición, aceleración y velocidad en el software ADAMS. Se obtuvo como resultados; que para elevar a la persona la mínima fuerza es de 1475.88N; también, se manufacturó la silla que presento un costo factible de 1052.800\$ (11). Asimismo, se recomienda que de modo adecuado se ajuste a la persona a la silla de ruedas bípeda, realizando mantenimiento en el plazo establecido. Este estudio es importante para el estudio porque proporciona la construcción y diseño de la silla con postura bípeda para personas con discapacidad en sus miembros inferiores.

El estudio de pregrado denominado: «Diseño de una silla bipedestadora para terapias de rehabilitación y reeducación física para personas adultos con un peso máximo de 100 kg» tuvo como objetivo diseñar una silla con posicionamiento bípedo para rehabilitación y reeducación física de los miembros inferiores de individuos adultos de peso menor a 100 kg. Se uso el software SolidWorks, diseñando la base a través de la silla; analizando la condición de Grashof se obtuvo el mecanismo de cuatro barras que sirve para la bipedestación, el material que se mejor se acomoda a los requerimientos del prototipo se halló con el software CES EduPack; finalmente, el actuador lineal es elegido en base a las exigencias de uso y tomando en cuenta

que va ser utilizado por individuos con discapacidad temporal (12). Asimismo, se recomienda implementar sensores como fines de carrera, quienes emitan un ruido para que la persona tenga una mejor percepción de la posición en la que se encuentra. También, se recomienda incrementar un controlador de ángulos de inclinación. Este estudio es importante para la investigación porque aporta un diseño de una silla con postura bípeda para terapias de reeducación física y rehabilitación para usuarios mayores de edad con un peso menor de 100 kg.

La investigación titulada: «Sistema de control para la movilidad y extensión de una silla de ruedas eléctrica de bipedestación» tuvo como fin diseñar un sistema de control para mejorar extensión y el desplazamiento de una silla de ruedas eléctrica en posición bípeda. Los resultados obtenidos incluyeron un sistema de control que solo funcionaba cuando la carga de batería era adecuada. Además, se implementó una memoria en el sistema de control para recopilar datos relevantes, que podían ser presentados estadísticamente y ayudar en el desarrollo de decisiones. El estudio del sistema de control permitió al usuario controlar la silla cómodamente, ya que los indicadores del joystick se ajustaron para evitar movimientos bruscos (13). Se recomendó considerar esta investigación como una referencia previa para analizar estadísticamente el sistema de control en función por persona, lo que permitiría generar mejoras específicas para cada tipo de usuario. Este estudio es importante porque proporcionó un diseño de un sistema de control para el desplazamiento y extensión de una silla de ruedas eléctrica en posición bípeda.

El estudio de tesis titulado: «Diseño y fabricación de una silla de ruedas bipedestadora multi postura con sistema de desplazamiento horizontal y vertical para la empresa Sayani» tuvo como fin fabricar una silla de ruedas multi postura usando el mecanismo de bipedestación con elementos eléctricos para mejorar el ángulo de elevación en individuos con discapacidad física (paraplejia). Se obtuvo como resultados que, para la selección de materiales mecánicos se debe valorar factores como la durabilidad, resistencia y peso, se usó tubos rectangulares de acero A36 para el diseño del chasis, el mecanismo de bipedestación debe alcanzar una elevación máxima de 84° para que sea levantado (14). Asimismo, se recomienda materiales más livianos y resistentes que pueda soportar el peso del usuario de 100 kg; asimismo, el ángulo de inclinación debe ser de 84° ya que no habrá apoyo de las piernas sobre la estructura si llega a 90°. Este estudio es importante porque aporta un diseño y construcción de una silla de ruedas bipedestadoras multi postura con método de deslizamiento vertical y horizontal.

2.1.2. Antecedentes a nivel nacional

El artículo científico denominado: «Efecto de la rehabilitación de la calidad de vida para personas con lesión medular» tuvo como meta evaluar los resultados de un proyecto de rehabilitación en las condiciones de vida de individuos con lesión medular. Utilizando una metodología analítica, observacional, longitudinal y prospectiva, se alcanzaron hallazgos significativos en cuanto a la selección del personal hospitalizado según edad, sexo, estado civil, dimensiones física y metal de la calidad de vida, tanto al inicio como al final del programa. En su estudio, se concluye que las personas con cuadriplejía tipo ASIA A deben fortalecer los aspectos mentales y psicológicos para fomentar su capacidad de superación. Es crucial la práctica de terapia atlética incorporada en pacientes con mejor funcionalidad, con fines de socialización y participación, tras el alta hospitalaria (15). Este estudio es importante porque aporta información sobre el impacto del programa de rehabilitación sobre la calidad de vida de personas con lesión medular.

La investigación titulada: «Diseño de una silla de ruedas con mecanismo de posicionamiento bípedo» tiene como propósito diseñar una silla de ruedas mecánica que admita colocar al individuo en postura vertical. Utilizando la metodología de diseño de la Norma Alemana VDI 2221, se logró un bosquejo de una silla de ruedas para individuos con paraplejia que incluye un sistema que permite moverse de la postura sentada a bípeda. La silla de ruedas tiene una disposición máxima de carga de 100 kg y cumple con los requisitos de seguridad, gracias a un cinturón de seguridad ubicado en el pecho, pelvis y rodillas (16). Además, se recomienda utilizar esta tesis como base para mejorar los materiales y el diseño, así como para integrar un sistema de accionamiento eléctrico (16). Este estudio es relevante ya que proporciona un diseño de una silla de ruedas mecánica con un mecanismo que permite posicionar verticalmente al paciente.

El estudio titulado: «Diseño de una silla de ruedas bípeda para personas con discapacidad motriz de las extremidades inferiores» utiliza la herramienta computacional SOLIDWORKS para desarrollar un diseño de silla de ruedas con un sistema de postura bípeda. Este diseño incorpora una estructura compuesta principalmente por un tubo redondo. Los valores obtenidos empleando el método de elementos finitos (FEM) muestran que el diseño proporciona estabilidad óptima, con el centro de gravedad encontradas en las coordenadas adecuadas. Se establecen parámetros que desempeñan con los requisitos de deformaciones, esfuerzos y factor de seguridad (2). Asimismo, se recomienda tomar en cuenta este estudio, ya que nos recomienda el uso del aluminio como materia prima para el diseño de la silla de ruedas. Este estudio es

importante para la tesis ya que presenta un diseño de silla de ruedas bípeda para personas con paraplejia y un peso inferior a 150 kg.

El estudio de tesis titulado: «Propuesta conceptual en el diseño de una silla de ruedas con sistema de posicionamiento bípedo para personas con paraplejias» detalla el proceso de elaboración de un diseño teórico para una silla de ruedas que permita una postura bípeda de individuos con paraplejia. Haciendo uso de la metodología VDI 2221 de la norma alemana, se logró un diseño conceptual ideal que incluye cada uno de los dispositivos de seguridad requeridos para conservar estable a la persona en todo instante. Además, se elaboró una relación de requisitos de diseño del dispositivo para seleccionar los elementos que desarrollen las tareas esenciales (17). Esta investigación servirá como guía o base para futuras proyectos o investigaciones relacionados con el diseño de sillas de ruedas con posicionamiento bípedo. Esta investigación es importante porque proporciona un diseño conceptual de una silla de ruedas con posicionamiento bípedo.

El estudio de pregrado titulado: «Diseño de una silla de ruedas mecatrónica funcional para mejorar la accesibilidad de un adulto con paraplejia» se realizó utilizando el software Autodesk Inventor para simular el modelo de trabajo y micro plan para la programación. Este estudio propone un diseño de silla de ruedas mecatrónica multifuncional, que aprovecha como apoyo técnico para una mejor accesibilidad de personas con paraplejía en áreas transitadas en Lima. Los resultados fueron positivos, con el diseño de un sistema de dirección diferencial que ayuda a minimizar cualquier lesión mientras la persona está sentada. Este sistema optimiza la libertad de movimiento de una persona con paraplejía gracias a una transmisión directa, proporcionando mejor maniobrabilidad y tracción (18). Para futuros estudios sobre la independencia de movimiento, se recomienda considerar un sistema de amortiguación más eficaz y una estructura más ligera. Este estudio es importante porque proporciona un diseño funcional de una silla de ruedas mecatrónica orientado a personas con paraplejía.

El estudio denominado: «Silla de ruedas con cambio de posición de sentado a erguido para asistir la discapacidad motora de miembros inferiores en adultos – 2019» se realizó utilizando la herramienta computacional SOLIDWORKS. Los frutos del estudio incluyen el diseño de una silla de ruedas que permite cambiar de la posición sedente a la posición erguida, con un actuador lineal que tiene una rapidez de 5 mm/s. El tiempo de elevación es de setenta segundos y el de descenso es de sesenta y ocho segundos, lo que ayuda a que el usuario no tenga sobresaltos y se sienta seguro. El actuador lineal ejecuta movimientos suaves para proteger la seguridad de los pacientes. Además, se añadieron correas de reposa pantorrillas y pies, así como sujeción y apoyo de rodillas para evitar movimientos indeseados (19). Este estudio es importante para el

proyecto de investigación porque proporciona un diseño de una silla de ruedas mecánica con variación de postura de sedestación a bipedestación para tratar la deficiencia motora de las extremidades inferiores en personas mayores.

La investigación titulada: «Configuración de una silla de ruedas ergonómica inteligente para cuadripléjicos» tuvo como fin configurar la parte mecánica de una silla de ruedas ergonómica para individuos cuadripléjicos. Los resultados obtenidos incluyen una silla de ruedas ergonómica con un respaldo de 50 cm de ancho y 82 cm de alto, y un asiento de 50 cm de ancho y 47 cm de profundidad. También se configuró una silla de ruedas inteligente seleccionando mecanismos que facilitan el desplazamiento, como sensores bioeléctricos y ultrasónicos, actuadores y procesamiento de datos. En cuanto al sistema de fijación, se dedujo que unas correas de seguridad de cuatro puntos fabricado con fibras artificiales, un fijador de cabeza y un reposabrazos antideslizante habían sido los componentes más adecuados. Además, se añadió un sistema de reclinación de 135 grados a la silla (20). Este estudio es importante para la tesis porque ofrece configurar la parte mecánica de una silla de ruedas ergonómica para usuarios cuadripléjicos.

El estudio denominado: *«Diseño de silla de ruedas económica para el desplazamiento en escaleras – Piura, 2019»* empleó la técnica de diseño de Dieter (2012), obteniendo varios resultados clave. Se expreso el diseño de la silla de ruedas, determinando los materiales de la estructura deseados por las personas con discapacidad. A través del software 3D "SolidWorks", se evaluó el diseño de la silla de ruedas y se confirmó que cumplía con la función principal de subir y bajar escaleras mediante un análisis de movimiento. Además, se realizó una simulación de tensión que mostró la capacidad de soportar 102 kg (21). Se recomienda utilizar este estudio como sustento para añadir más componentes al diseño de la silla de ruedas, como un arenes de sujeción, y realizar transformaciones en el mecanismo para favorecer el movimiento de la persona en la silla. Este estudio es significativo para la tesis ya que proporciona un diseño económico de una silla de ruedas para el traslado en escaleras.

2.2. Bases teóricas

2.2.1. Situación de la silla de ruedas y las personas con paraplejia en el Perú

2.2.1.1. Problemática de los individuos con paraplejia

Primero, se establecerá la interpretación de "Discapacidad" y luego se abordará el entorno actual de las personas con invalidez en el Perú, especialmente aquellas con paraplejía.

Discapacidad se describe como "cualquier falta de capacidad o restricción para desarrollar una actividad de manera habitual o dentro de los límites que se contemplan común para una persona" (22). La invalidez es un fenómeno complejo que evidencia la interacción entre las particularidades del cuerpo humano y las condiciones de la sociedad en la que radica.

En el ámbito nacional, la ley general de la persona con discapacidad determina que un paciente con discapacidad implica que presenta una o más limitaciones, evidenciadas por el deterioro significativo de algunos de sus funciones sensoriales, físicas o mentales. Esto conlleva una falta o disminución en la capacidad para realizar movimientos dentro de los estándares establecidos, limitándole para desempeñar un rol, ejercicios o función de funciones y participar parcialmente en la población (23). Por tanto, se concreta la discapacidad como cualquier limitación en las actividades cotidianas de un individuo y en su integración social, originada por una deficiencia que impacta de forma duradera en la persona.

Según la OMS, la tipología de las discapacidades es: discapacidad visual, auditiva, motora o física e intelectual (22).

La Clasificación Internacional del Funcionamiento (CIF), de la Discapacidad y de la Salud de la OMS, menciona que la paraplejía se encuentra en el apartado de enfermedades del sistema nervioso (24), el cual se encuentra en:

- "G80-G83: Parálisis cerebral y otros síndromes paralíticos" (24)
- "G80: Parálisis cerebral" (24)
- "G81: Hemiplejia" (24)
- "G82: Paraplejia y tetraplejia" (24)
- "G82.0: Paraplejia flácida: Extrema debilidad de los músculos y pérdida de tono" (24)
- "G82.1: Paraplejia espástica: Rigidez progresiva del tono muscular" (24)
- "G82.2: Paraplejia sin especificar" (24)
- "G82.3: Tetraplejia flácida" (24)
- "G82.4: Tetraplejia espástica" (24)
- "G82.5: Tetraplejia sin especificar" (24)
- "G83: Otras parálisis" (24)

Según el CONADIS 2020, en el periodo del 2000 al 2019, en la región Junín, se inscribió a 10 017 individuos con discapacidad, que indica el 3,6 % de la comunidad inscrita con discapacidad (figura 2). De los individuos inscritos el 57,7 % son personas de edades entre 18 y 59 años, asimismo, 41,2 % son mujeres y el 58,8% son hombres (figura 3).

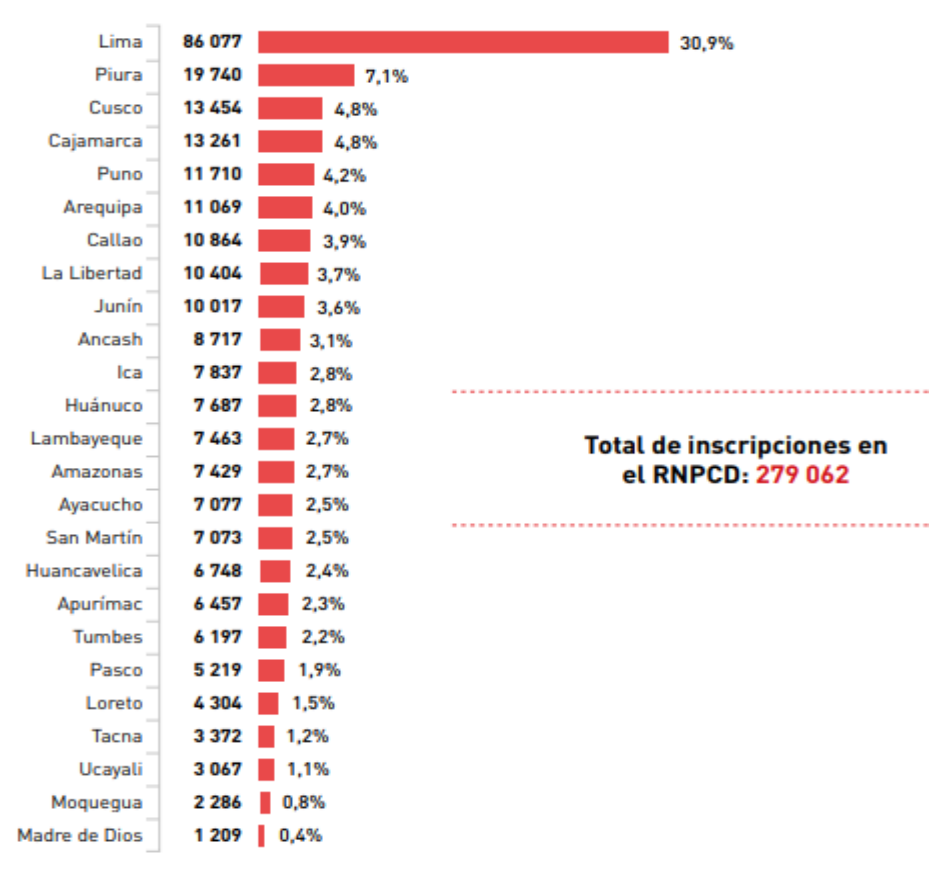


Figura 2: Personas con discapacidad, según departamento Tomada de CONADIS, 2000-2019 (25)

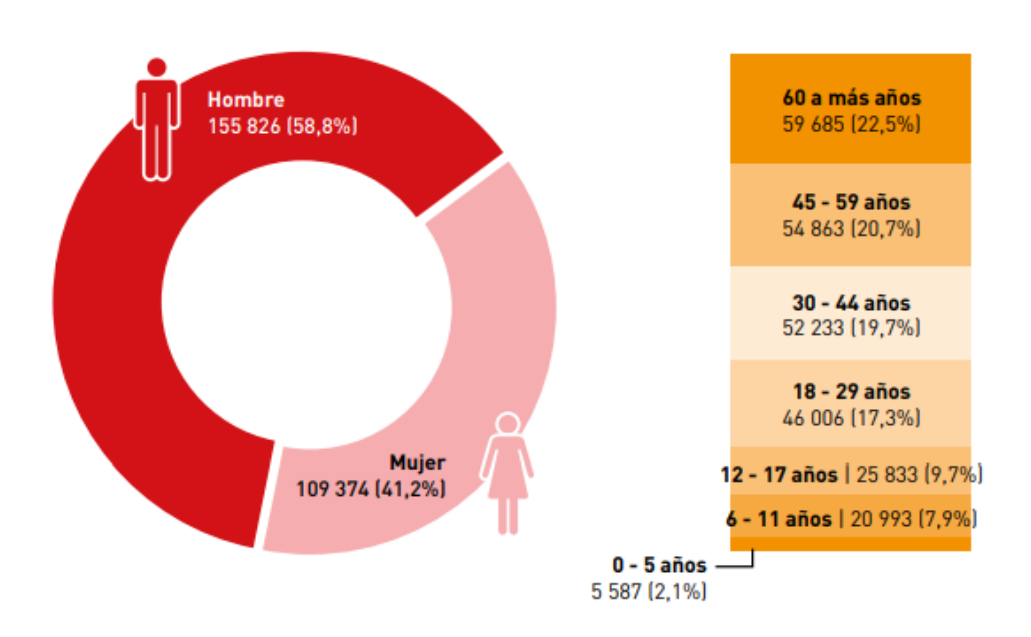


Figura 3. Personas con discapacidad según sexo y edad Tomada de CONADIS, 2000-2019 (25)

En 2017, se desarrolló en Perú una encuesta para analizar las características de los humanos con discapacidad según los diferentes tipos de restricciones. Los resultados evidenciaron que la gran parte de los individuos con discapacidad tenían entre 10 y 59 años. Más del 62% de estos individuos padecían deficiencias músculo-esqueléticas, y alrededor del 33% presentaban limitaciones en su capacidad para moverse. Esta restricción en la movilidad les impide desplazarse de un lugar a otro de manera autónoma.

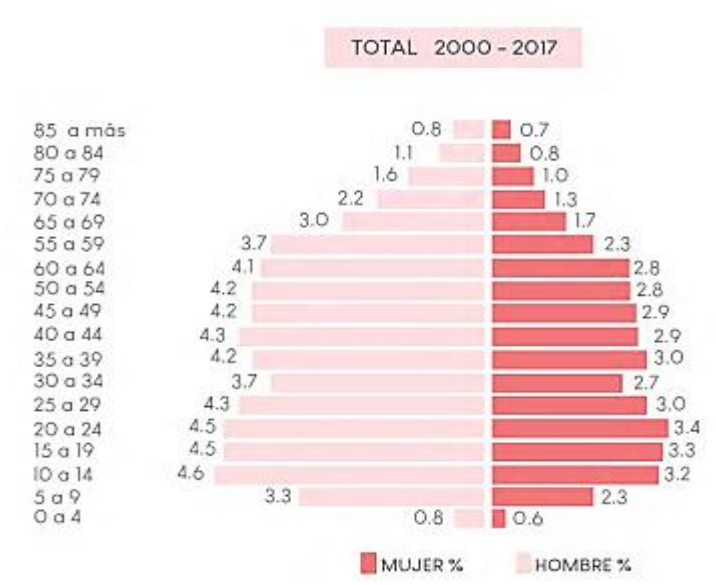


Figura 4. Pirámide poblacional de los individuos con discapacidad Tomada de CONADIS, 2000-2017 (26)

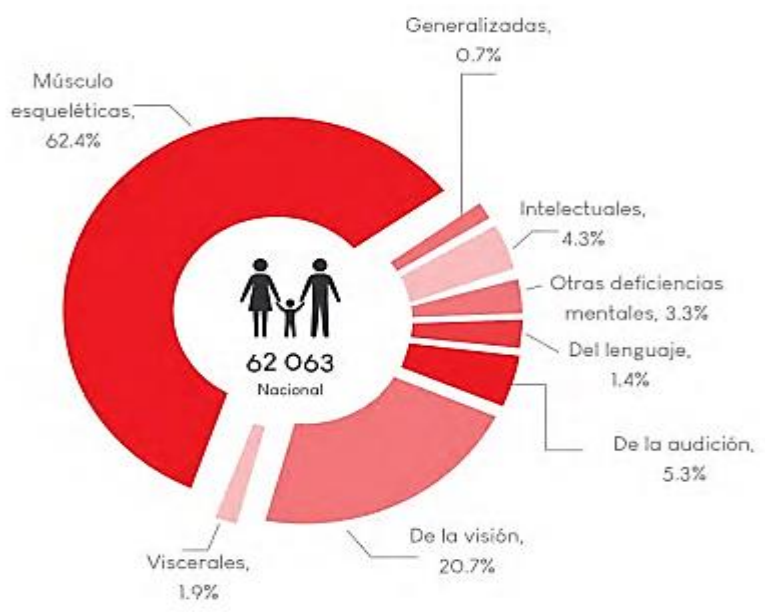


Figura 5. Población inscrita en el registro nacional de la persona con discapacidad con sola una deficiencia

Tomada de CONADIS, 2000-2017 (26)

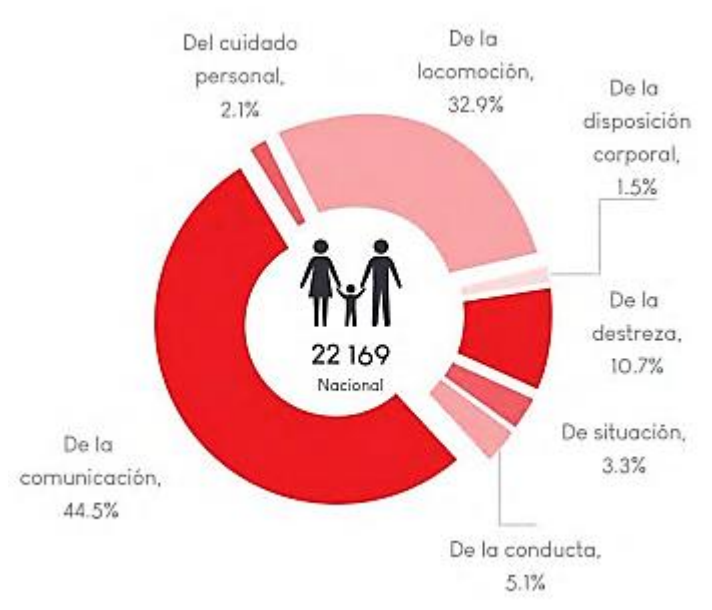


Figura 6: Población registrada en el Registro Nacional de la Persona con Discapacidad con una sola limitación durante el período

Tomada de CONADIS, 2000-2017 (26)

2.2.1.2. Características principales de la paraplejia

La paraplejia es una condición que involucra la pérdida de movilidad y sensibilidad en la zona inferior del cuerpo, especialmente en las piernas. Esto puede dificultar acciones como caminar, controlar la función intestinal y vesical, así como percibir estímulos como el calor, el frío o el contacto físico. Entre sus causas se encuentran las lesiones en la médula espinal, enfermedades del sistema nervioso o factores genéticos (27).

Entre las características primordiales de la paraplejia se encuentran los siguientes:

- Limitación del movimiento. Imposibilidad de mover las piernas y, en algunos casos, también los músculos del abdomen, según el nivel de la lesión medular (27).
- Alteración de la sensibilidad. Dificultad para percibir estímulos como el tacto, el calor o el frío en la parte baja del cuerpo (27).
- Disfunción en el control de esfínteres. Complicaciones para manejar la vejiga e intestinos, lo que puede provocar escapes involuntarios o dificultad para evacuar.
- Espasticidad. Aparición de espasmos o movimientos involuntarios en las piernas.
- Modificaciones en la vida sexual. Posibles cambios en la capacidad y sensibilidad sexual.
- Efectos secundarios. Riesgo de desarrollar úlceras por presión, infecciones urinarias, dificultades respiratorias o dolor persistente.
- Repercusiones emocionales. La condición puede afectar el bienestar psicológico, desencadenando ansiedad, depresión o estrés (27).

• Necesidad de ajustes. - Quienes viven con paraplejia suelen requerir modificaciones en su entorno y rutinas para mantener su autonomía en las actividades cotidianas (27).

2.2.1.3. Características de personas con paraplejia en la región Junín

De acuerdo con la Encuesta Nacional Especializada sobre Discapacidad (ENEDIS) 2012 se calcula que, en la región Junín existen 45 622 individuos con discapacidad, lo que representa al 3.4 % de la población en general, siendo el 47 % varones y 53 % mujeres (7). De esta población, el 44.4 % pertenece al grupo etario de 24 a 64 años y el 35.2 % corresponde al grupo etario de 65 años a más; tal como se observa en la figura N°7. Es por ello que en la presente tesis se tomara como público objetivo a individuos de la región Junín de 64 a 20 años; ya que la mayor proporcion de personas con discapacidad se encuentra dentro de este grupo de edad.

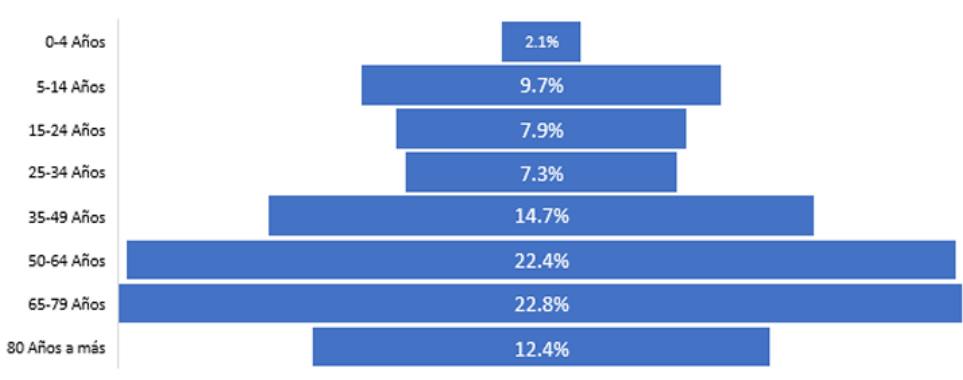


Figura 7. Población con discapacidad etario Tomada de CONADIS, 2021 (7)

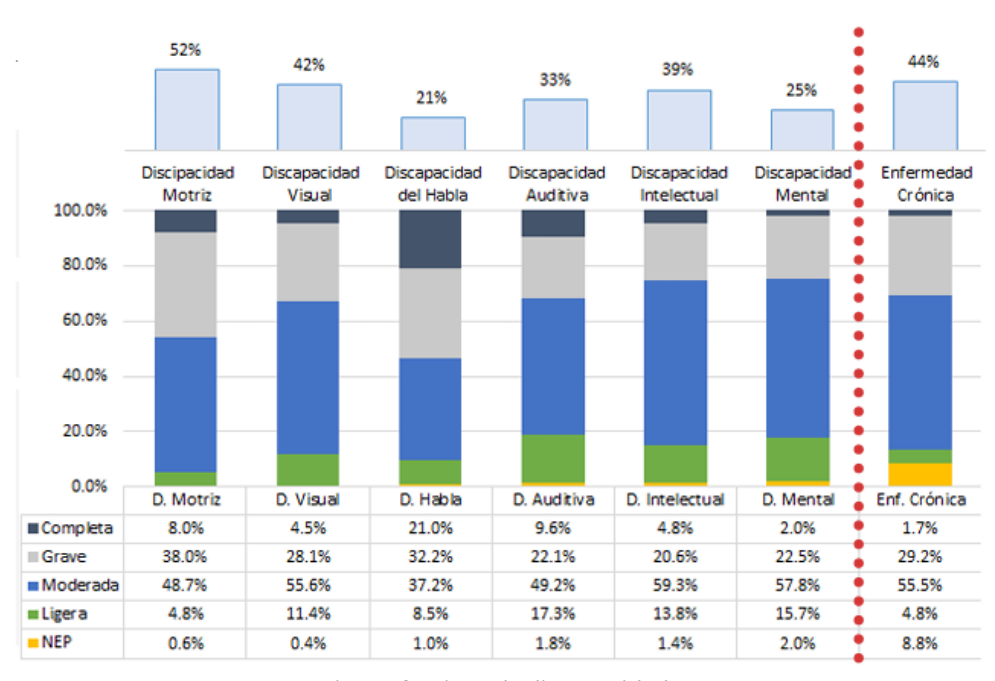


Figura 8. Tipos de discapacidad Tomada de CONADIS, 2021 (7)

Además, se identifica en la figura 8 que la mayor parte de la población total con discapacidad en la región Junín presenta discapacidad motriz 52 %; encontrándose la paraplejia dentro de este tipo de discapacidad; es por ello que el diseño de la silla de ruedas con posicionamiento bípedo será destinado a las personas con paraplejia de la región Junín.

2.2.1.3. Causas de la paraplejia

La paraplejia se describe como una afección en la zona inferior del cuerpo que sufre una pérdida de funcionalidad y queda paralizada. Esta condición generalmente se origina a partir de una enfermedad cognitiva o de una lesión medular, como ocurre en la espina bífida, la cual produce una protuberancia en la región inferior de la espalda. Además, la paraplejia es capaz de surgir debido a una neuropatía generalizada, que reduce la capacidad de moverse o sentir debido a un daño en el sistema nervioso (28).

Las causas de la paraplejia incluyen la presencia de tumores (presión crónica a la médula espinal), lesiones traumáticas (compresión o seccionamiento de la médula espinal), mielitis transversa, esclerosis múltiple y la enfermedad de Pott (28). Otras causas incluyen:

- Lisiadura durante el proceso de parto que dañan la columna vertebral en el cuello.
- Accidentes en deportes, tránsito, trampolines o saltos al agua
- Caídas
- Violencia física

En cuanto al origen de la discapacidad, el 28 % se debe a enfermedades, el 16 % es de origen congénito, otro 16 % se atribuye al envejecimiento y el 9 % es resultado de actividades deportivas o accidentes (28).

2.2.1.4. Mecanismo bípedo

Primero se interpretará "mecanismo y bipedestación" para luego se desarrollará tipos de mecanismo de bipedestación.

- Se define un mecanismo como un componente de una maquina cuya función consiste en transmitir movimiento y fuerza desde una fuente energía hacia una salida (29).
- Bipedestación se define como la habilidad para mantenerse erguido sobre las extremidades inferiores, o la capacidad de estar de pie. En los seres humanos, la postura de pie y la locomoción bípeda constituyen la forma natural y predominante de desplazamiento. No obstante, la pérdida de esta función ya sea por enfermedades, lesiones o el proceso de envejecimiento, puede generar diversas repercusiones tanto físicas como psicológicas. En

respuesta a estas limitaciones, se han desarrollado dispositivos especializados, como las sillas de ruedas bipedestadoras, que facilitan a los usuarios con discapacidad la posibilidad de adoptar la posición de pie, mejorando así su calidad de vida (30).

Un mecanismo bípedo es un sistema robótico o mecánico diseñado para imitar la locomoción sobre las dos extremidades. En una silla de ruedas permiten al individuo con movilidad limitada cambiar de posición de sentada a bípeda.

2.2.1.5. Entorno físico

Esto se refiere a cualquier entorno construido por el ser humano, donde todo sujeto, incluidas aquellas con discapacidades, deben poseer las habilidades inevitables para desenvolverse en estos espacios con seguridad, comodidad y autonomía.

En este sentido, se consideraran las normativas que establecen los escenarios para que el mobiliario urbano (como teléfonos, semáforos, postes de señalización, asientos, carteles publicitarios, restaurantes, contenedores de residuos, quioscos, paraderos de autobuses, toldos, etc.), los espacios públicos (parques, estacionamiento, plazas, entre otros) y los edificios sean accesibles y cumplan con las especificaciones necesarias para el desplazamiento y la movilidad adecuada de los individuos con discapacidad.

En resumen, todas las personas, ya sea que tengan discapacidad o no, deberían poder acceder a todos los edificios y lugares que deseen, donde se ofrezcan servicios sin necesidad de realizar esfuerzos adicionales. Además, deberían poder utilizar las infraestructuras disponibles y, en caso de ser necesario, ser evacuadas de manera segura.

2.2.1.6. Accesibilidad de personas en silla de ruedas

La accesibilidad se basa en tres aspectos fundamentales de la labor humana: comprensión, comunicación y movilidad. No obstante, existen barreras que dificultan la realización de estas actividades (31):

- Barreras arquitectónicas: impedimentos para acceder a infraestructuras.
- Barreras urbanísticas: espacios públicos, incluido el mobiliario urbano.
- Barreras en las comunicaciones: obstaculizan la recepción y comprensión de mensajes verbales, ya sea a través de medios visuales o técnicos.
- Barreras en la movilidad: dificultan el acceso a los sistemas de transporte.

Se debe contemplar la magnitud de los espacios y los parámetros requeridos para garantizar el uso adecuado y el movimiento seguro, especialmente cuando los usuarios necesitan ajustes biomecánicos u otro tipo de apoyo para su locomoción (31).

Las condiciones de acceso adecuadas para una persona en silla de ruedas son (31):

- Entradas principales. en establecimientos estatales, el ancho mínimo debe ser 1,2 m y la altura mínima de 2,1 m. Los mangos deben ser de tipo palanca y deben tener una altura máxima de 1,2 m.
- Ingresos. deben tener rampas con una inclinación máxima del 14%, un ancho mínimo de
 90 cm y una longitud adecuada. Si no hay rampa, se debe disponer de un medio mecánico.
- Ascensores. la zona interior mínima para uso público debe ser de 1,5 m de ancho y 1,4 m de profundidad.
- Pasadizos. el ancho mínimo debe estar entre 1,2 m y 1,5 m para pasadizos dobles y simples, permitiendo la rotación de una silla de ruedas.
- Servicios higiénicos: las superficies interiores deben tener una profundidad de 2,0 m y un ancho de 1.5 m.
- Escaleras. deben ser antideslizantes y el ancho mínimo debe ser 1,2 m; además de referir con pasamanos a una altura de 80 cm.
- Señalización. es obligatorio que todos los espacios públicos dispongan de señalización que identifiqué claramente las zonas reservadas para personas con discapacidad.

2.2.2. Leyes y normativas sobre la accesibilidad

Actualmente, se encuentran vigentes distintas normas y leyes destinadas a proteger la integridad física de las personas con discapacidad, prevenir la discriminación y asegurar su acceso a edificaciones públicas y privadas (31). Algunas de estas leyes y normas son:

- Adecuación Arquitectónica para Individuos con Discapacidad Norma Técnica de Edificación NTE A.060 (32)
- Ley General de la Persona con Discapacidad Ley N°27050 (33)
- Adecuación Urbanística para Individuos con Discapacidad Norma Técnica de Edificación NTE U.190 (34)
- Ley en favor de los impedidos físicos que utilizan sillas de ruedas, Ley N°23347 (35).
- Ley N°28164 modifica varios artículos de la Ley N°27050, Ley General de la Persona con Discapacidad (36).
- Ley que Regula el Parqueo Especial para Vehículos Ocupados por Personas con Discapacidad, Ley N°28084 (37).

 Ley 27920: Ley que establece sanciones por incumplimiento de normas técnicas de edificación NTE A. 060 y NTE U. 190, sobre adecuación arquitectónica y urbanística para individuos con discapacidad (38).

2.2.3. Biofísica de la bipedestación

La bipedestación se define como la situación o acción de mantenerse vertical sobre dos pies (mantenerse en posición vertical sobre dos piernas). Para alcanzar esta posición influyen múltiples factores, entre los cuales se encuentran: las articulaciones, la información visual, los músculos, el sistema nervioso y vestibular, todos colaboran en armonía para mantenernos erguidos y en movimiento (39).

Para mantener el equilibrio y evitar caídas, sobre la base de apoyo (BOS) el sistema de control del cuerpo se encarga de mantener el centro de masa (COM). Esto se logra mediante el balance entre la gravedad y las fuerzas musculares anti gravitatorias. El control postural considera una fase de estabilidad económica, ya que es necesario conservar constante el COM sobre el BOS para conservar una posición erguida. Este proceso implica un movimiento oscilatorio en el cual, se encuentran alteraciones internas y externas, el cuerpo humano ajusta la ubicación de su COM tanto hacia delante como hacia atrás de la línea perpendicular trazada desde la superficie de contacto entre el suelo y el BOS (39).

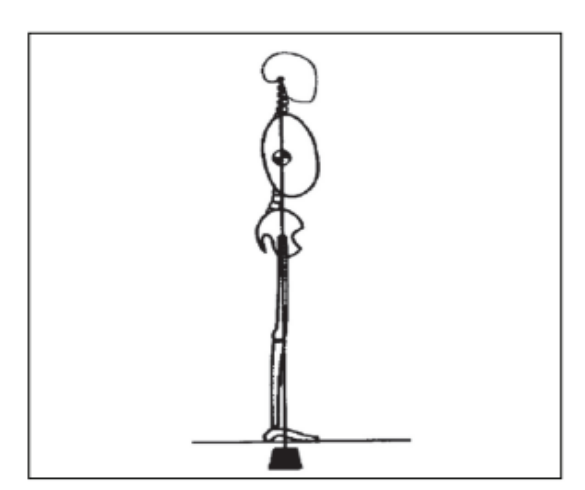


Figura 9. Proyección vertical imaginaria sobre la tierra que penetra al COM y BOS Tomada de Luengas, 2013 (39)

Winter (1995) distribuye en cinco momentos en los que el COM muestra diversas posturas para conservar la posición erecta, a este desplazamiento oscilatorio (40). Siendo los cinco momentos los siguientes:

- Momento 1.- inicia con la alteración que desliza el COM, juntamente a todo el organismo para adelante en el que la velocidad angular y aceleración se encuentran en sentido coincidente.
- Momento 2.- el movimiento angular del centro de masa (COM) experimenta una desaceleración y una variación de dirección al pivotar sobre el tobillo, influenciado por los movimientos de los dedos y la acción de los músculos de las piernas.
- Momento 3.- el COM experimenta una variación en la dirección de su velocidad angular, vinculada con la aceleración que induce un movimiento opuesto.
- Momento 4.- de manera similar al segundo momento, la aceleración modifica su dirección con el fin de reducir la velocidad del movimiento.
- Momento 5.- regresa a la fase uno y reinicia el ciclo.

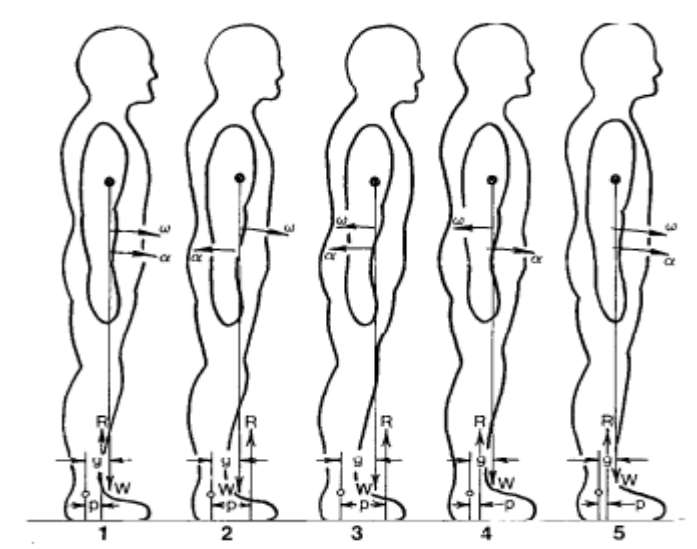


Figura 10. Momentos del COM para conservar el equilibrio y la posición bípeda Tomada de Winter, 1995 (40)

2.2.4. Análisis del movimiento al levantarse

El cuerpo humano fue modelado mediante un sistema compuesto por tres barras rígidas, unidas por tres articulaciones y con tres grados de libertad. Dichas articulaciones corresponden a las rodillas, el centro de masa de la cadera y el tobillo. Adicionalmente, se asignaron coordenadas a la unión del hombro con el propósito de determinar su posición y trayectoria de movimiento (41).

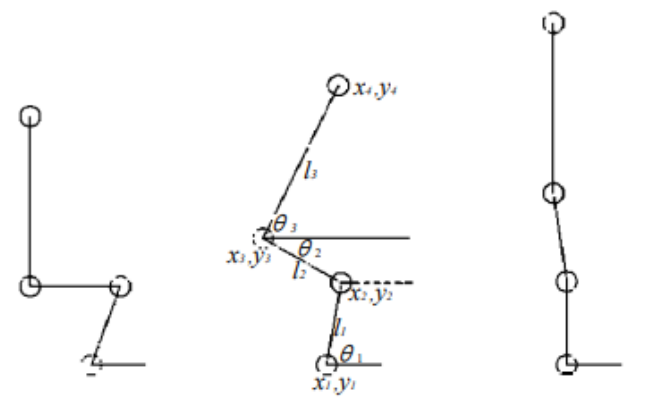


Figura 11. Modelo de tres barras representando el cuerpo humano Tomada deShi; Men y Chen, 2019 (41)

Se puede observar en la figura 11, las uniones que muestran a una articulación requerida para que el ser humano se pueda poner de pie, incluye variables determinadas para evaluar su posición con el método vectorial similar a un mecanismo.

Las siguientes ecuaciones del 1 al 3 son en el plano sagital que ubica la cadera, la rodilla y el hombro en movimiento, respecto a un sistema de referencia absoluto (inercial).

Ecuación para el centro de masa de articulación en la rodilla:

$$\begin{cases} x_2 = x_1 + I_1 \cos \theta_1 \\ y_2 = y_1 + I_1 \sin \theta_1 \end{cases}$$
 Ecu (1)

Ecuación para el centro de masa de las articulaciones de la cadera:

$$\begin{cases} x_3 = x_1 + I_1 \cos \theta_1 - I_2 \cos \theta_2 \\ y_3 = y_1 + I_1 \sin \theta_1 + I_2 \sin \theta_2 \end{cases}$$
 Ecu (2)

Ecuación del centro de masa de la articulación del hombro:

$$\begin{cases} x_4 = x_1 + I_1 \cos \theta_1 - I_2 \cos \theta_2 + I_3 \cos \theta_3 \\ y_4 = y_1 + I_1 \sin \theta_1 + I_2 \sin \theta_2 + I_3 \sin \theta_3 \end{cases}$$
 Ecu (3)

2.2.5. La silla de ruedas

Los dispositivos de asistencia a la movilidad tienen sus orígenes alrededor del 4000 a.C., coincidiendo con la invención de la rueda, hecho que marcó el inicio de los primeros mecanismos de transporte adaptados a personas con dificultades motoras.

En 1595 se documenta la fabricación de un modelo similar a los actuales, creado para el Rey Felipe II (ver figura 12) (42).



Figura 12. Silla de ruedas Tomada de KARMA,2020 (42)

2.2.5.1. Especímenes de sillas de ruedas

Los dispositivos de asistencia se dividen según su método de propulsión en eléctricas y manuales, con diversas variedades dentro de cada categoría. A continuación, se describen las más destacadas:

a) Sillas de ruedas manuales: son movidas por el individuo que las utiliza o por un asistente. Tienen generalmente ruedas traseras con un diámetro de entre 20 y 26 pulgadas, montadas en un eje y dispuestas de manera que los usuarios pueden manejarlas empujando hacia afuera o tirando hacia arriba de los bordes (ver figura 13) (16).



Figura 13. Silla de ruedas manual Tomada de Gorgues, 2005 (43)

b) Las sillas de ruedas tipo scooter: están equipadas con cuatro ruedas pequeñas que se despliegan desde una plataforma. Estas ruedas cambian según las necesidades y discapacidad del usuario. Una ventaja de este modelo es su capacidad de girar y facilitar al usuario subirse. Sin embargo, entre sus desventajas se encuentra la necesidad de que el usuario adopte una posición específica, lo que indica que estas sillas no son adecuadas para personas con discapacidades graves (ver figura 14) (16).



Figura N°14: Silla de ruedas Scooter Tomada de Fernández, 2020 (44)

c) Las sillas de ruedas deportivas: se emplean en actividades como baile, baloncesto, atletismo, rugby y tenis. Algunas de sus características comunes incluyen sistemas antivuelco, un centro de gravedad bajo, ruedas inclinadas y defensas. En esta categoría destacan las Hand Bikes para competiciones y los triciclos de mano. Estas sillas tienen un chasis sólido y liviano, lo que les brinda una gran estabilidad (ver figura 15) (16).



Figura 15. Silla de ruedas deportivas Tomada de Blauwet y Donovan, 2016 (45)

d) Las sillas de ruedas para ponerse de pie: están diseñadas con mecanismos que permiten al paciente pasar de una posición sentada a bípeda, utilizando energía hidráulica. Lo cual es una particularidad fundamental, ya que facilita al usuario lograr alcanzar objetos en estantes altos, como un libro. (ver figura 16) (16).



Figura 16. Silla de ruedas para levantarse Tomada de Fernández, 2017 (46)

e) Las sillas de ruedas diseñadas para subir escaleras: enfrentan uno de los mayores desafíos, lo cual es permitir que los usuarios asciendan y desciendan de escaleras. A pesar de esta dificultad, existen soluciones para abordar este problema (ver figura 17) (16).



Figura 17. Silla de ruedas para subir escaleras Tomada de DRAGON (47)

f) Las sillas de ruedas pediátricas: están fabricadas específicamente para jóvenes y niños. Están dotados de mecanismos de ajuste que facilitan la modificación del ancho y de diversos elementos, con el fin de adecuarse a los requerimientos del niño (ver figura 18).



Figura 18. Silla de rueda pediátrica Tomada de TOP MEDIC (48)

g) Las sillas de ruedas de posturas o reclinables: construidos para individuos con limitaciones totales o parciales de movimiento, que requieren mantener una adecuada estabilidad postural. En su diseño, se dejan de lado elementos como el tamaño y el peso para garantizar una postura sentada exacta. Estas sillas disponen de reposapiés regulables, cabeceras con un mejor control postural y controles adicionales. (ver figura 19).



Figura 19. Sillas de ruedas de postura Tomada de ORTOWEB, 2019 (49)

- h) Las sillas de ruedas eléctricas: están abastecidas con motores eléctricos, lo que las hace ideales para personas que carecen de la habilidad o fuerza necesaria para operar una silla de ruedas común. Ubicadas debajo del asiento, las baterías recargables proporcionan energía a los motores eléctricos que impulsan el sistema de dos o cuatro ruedas. Las diferentes configuraciones de tracción determinan cómo se mueve la silla, y generalmente la rueda motriz es de mayor dimensión (ver figura 20).
- Chasis. Sobre este dispositivo se instalan las diversas partes que conforman la silla, elaboradas comúnmente en aluminio o acero.
- Motor. El sistema de tracción de estos dispositivos generalmente integra dos motores independientes, uno a cada lado, responsables de controlar la dirección y la velocidad de desplazamiento. Este mecanismo permite que las ruedas giren 360°, ofreciendo movilidad en cualquier dirección; característica presente en las sillas de ruedas eléctricas modernas.
- Sistema de control. El más común es el joystick, que puede ser integrado o modular. En el sistema modular, el control de potencia está separado del joystick, mientras que, en el sistema integral, están combinados. Ambos sistemas envían corriente a los motores.
- Batería. Existen tres tipos principales: de célula húmeda (livianas y baratas), de célula de gel (duraderas y pesadas) y AGM (pesadas y costosas, sin necesidad de inspección).

 Cargador. - Recarga las baterías y puede ser automático, variando según el tipo de silla de ruedas.



Figura 20. Silla de ruedas eléctrica Tomada de ORTOWEB, 2020 (50)

2.2.5.2. Componentes de la silla de ruedas

Los elementos inevitables para la silla de ruedas manual o eléctrica se encuentran en la ilustración 21.

- Chasis. Pueden encontrarse plegables o rígidos. Los rígidos aprovechan mejor la energía suministrada por el usuario (15% a 20% del impulso), mientras que los plegables aprovechan menos (8 a 5% del impulso) (16).
- Ruedas. Generalmente, pueden clasificarse en tres tipos: mixtas, neumáticas y macizas.
 Las dimensiones de las ruedas se modifican en función del tipo de uso previsto.
- Aros de las llantas. Son con rayos de plástico, fibras de carbono y aluminio.
- Aros de propulsión. suelen ser de materiales como el titanio, acero, aluminio o revestidos de plástico.
- Frenos. Existen frenos tipo tijera, zapata y tambor.
- Reposabrazos. Son fijos, desmontables y regulables.
- Reposapiés. Son elevables, fijos, regulables.
- Asientos. El material tiene que ser de tela fuerte.
- Respaldos. Soporta la espalda del usuario su construcción equivale al asiento.



Figura 21. Componentes de la silla de ruedas Tomada de Figueroa, 2015 (51)

2.2.6. Mecanismos de elevación

Los mecanismos de elevación son manejados por tres tipologías de energía (manual, eléctrica e hidráulica) primordialmente, y estas se hallan en el medio del chasis.

En la figura 23 se encuentra un ensamblaje articulado que posiciona de pie a la persona con el apoyo de unos resortes de gas contraído, Asimismo, se observa que los mangos (#51 en la imagen 23) se emplean como apoyo de los brazos de la persona y también bloquea los resortes de gas que los conserva comprimidos.

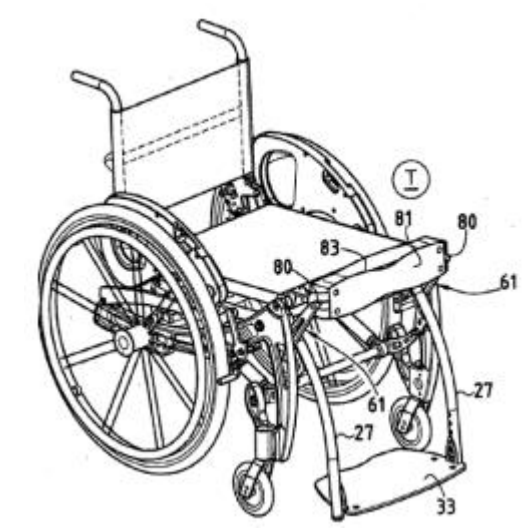


Figura 22. Silla de rueda articulada en postura horizontal Tomada de Atarama, 2021 (16)

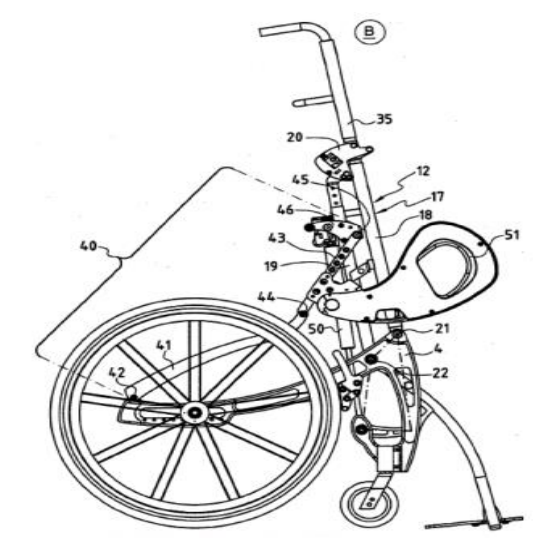


Figura 23. Silla de rueda articulada en posición vertical Tomada de Atarama, 2021 (16)

Además, los actuadores eléctricos son otro mecanismo de elevación, tal como se aprecia en la figura 23, siendo el #50. Por el sistema eléctrico nutrido por una batería el actuador eléctrico

es activado, que al ser operado desplaza un grupo de mecanismos que facilita colocar en postura bípeda a la persona, tal como se visualiza en la figura 25.

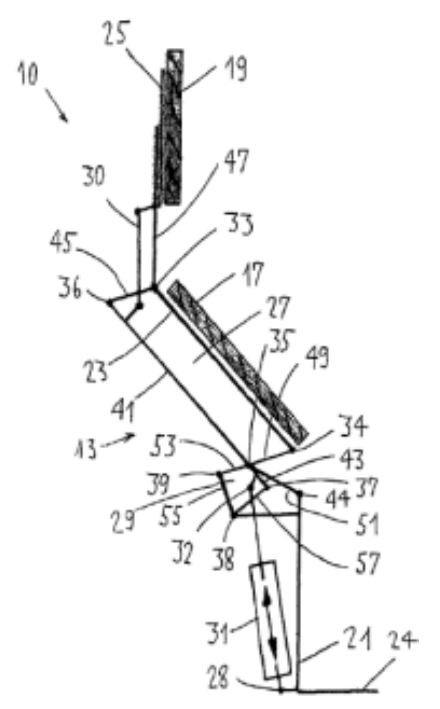


Figura 24. Dispositivo de silla de ruedas que levanta a posición vertical al usuario Tomada de Atarama, 2021 (16)

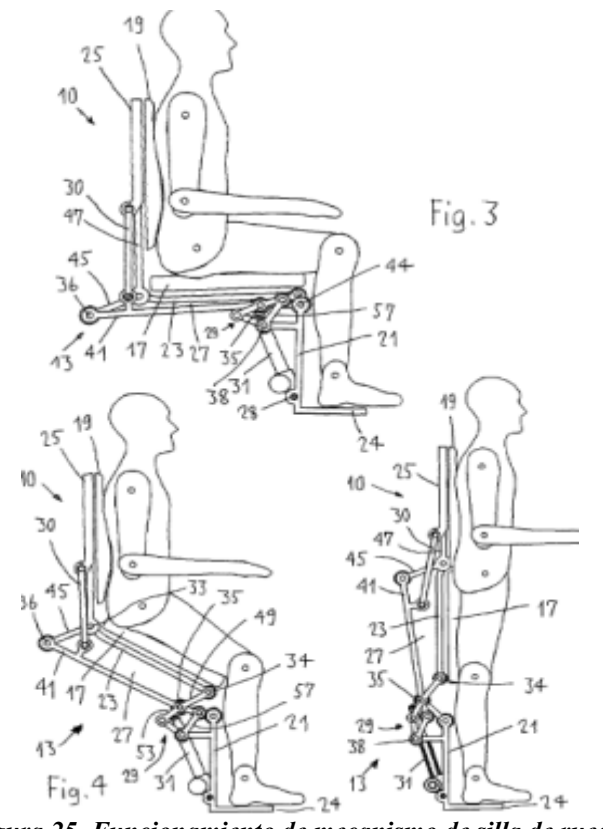


Figura 25. Funcionamiento de mecanismo de silla de ruedas Tomada de Atarama, 2021 (16)

2.2.7. Consideraciones biomecánicas

Un diseño óptimo para la silla de ruedas considerará la seguridad y comodidad del individuo, sin que ello le ocasione resultados negativos a su integridad física, por lo cual en el diseño se debe considerar la biomecánica, para ello se analizará los siguientes elementos (16):

- a) Posición del individuo en la silla de ruedas:
- Ángulo y forma del asiento. Una posición óptima es donde el ángulo es de 90° entre el tronco y los muslos, usando un adaptado cojín a la estructura humana es la mejor opción de alcanzar este ángulo.
- Soporte de los pies. El ángulo apropiado es 90° para los tobillos, aunque ligeramente puede variar hasta unos 82°, con el fin de evitar toparse con los bordes de las escaleras.
- Tamaño del asiento. Debe ser adecuado a la repartición del peso de la persona y mantiene estable a la silla de ruedas. Asimismo, las adecuadas dimensiones del asiento son aquella donde la persona sentada erguida mente se distancie dos dedos de espacio aproximadamente entre la región interna de las rodillas y el final del asiento.
- Altura del respaldo. Deberá contar con la suficiente elevación para sostener la parte superior de la región lumbar.
- Reposabrazos. Su finalidad es proporcionar alivio a los músculos del cuello y brazos.
 Ajustándolos de modo adecuado, los antebrazos de la persona descansados deben estar a 90º del codo.

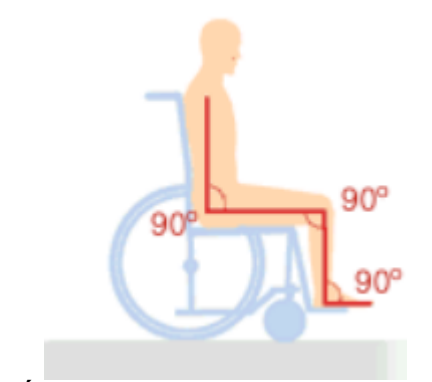


Figura 26. Ángulos apropiados para utilizar la silla de ruedas Tomada de Atarama, 2021 (16)

b) Propulsión:

- Posición y altura de la rueda. La óptima postura de la rueda se da cuando la persona alcanza los ejes de la rueda en una cómoda postura y con los brazos erguidos.
- Grado de movilidad. Para que la persona posea una óptima movilidad en las articulaciones (hombro, codo, columna, muñeca y dedos) dependerá del grado de movilidad, lo cual

- limitará la probabilidad de ejecutar un trayecto de propulsión excelente que va desde la flexión de la musculatura de los brazos por atrás del tronco al mismo nivel de los muslos.
- Postura. Para el impulso la persona debe estar sentada en posición simétrica y erguida mente.
- Dimensión de la rueda. Es común utilizar ruedas posteriores de 24" de ancho total.
- Distancia entre ejes. En base al modelo de utilidad de la silla de ruedas, se selecciona un largo trayecto entre eje delantero y trasero permitiendo conservar un rumbo más recto, sin embargo, para su propulsión se utiliza más energía; o una corta distancia que gira fácilmente y que para su propulsión necesita menos gasto de energía.
- Ángulos de las ruedas. La impulsión adecuada se efectúa con un ángulo formado de 90° entre las ruedas traseras y el piso (16).

c) Rozamiento a rodar:

- La repartición del peso. En las ruedas frontales debe tener superior peso ocasionando superior rozamiento y más estabilidad a la silla. Una silla de ruedas común posee una repartición de 50/50, pero una silla ajustable ligeramente posee una distribución cerca de 20% frontales y 80% en las ruedas posteriores; lo cual genera que mejore su rodamiento que una común, sin embargo, tiene menor estabilidad.
- El terreno. Es importante que se desplace en un suelo duro, en donde el rozamiento es inferior que en el suelo suave.
- Tipo y tamaño de rueda. Se recomienda que las ruedas presenten un diámetro mayor, ya que esto favorece un mejor agarre con la superficie de contacto, incrementando el nivel de fricción. En contraste, las ruedas de menor diámetro presentan el efecto opuesto, reduciendo la tracción. Por otro lado, las ruedas neumáticas ofrecen una mayor capacidad de amortiguación y generan más fricción en comparación con las ruedas macizas, las cuales priorizan la resistencia, pero con menor absorción de impactos.
- Centro de gravedad. Cuando el centro de gravedad se desplaza hacia adelante y en dirección descendente, la maniobrabilidad disminuye mientras que la estabilidad y el nivel de fricción aumentan. En cambio, al trasladarse hacia arriba y hacia atrás, se incrementa la maniobrabilidad, pero a costa de una reducción en la fricción y la estabilidad. Por ello, resulta fundamental encontrar un punto de equilibrio que evite caer en extremos.
- Tamaño de las ruedas delanteras. Se debe considerar el tipo de terreno y la distribución del peso para tomar una decisión del adecuado tamaño de las ruedas. Si seleccionamos una distribución 20/80 debemos usar una rueda de menor diámetro para superficies de desplazamiento planos y duros. Sin embargo, si el suelo es desnivel debemos utilizar una rueda de superior diámetro.

- Distancia entre ejes de ruedas traseras y delanteras. Una mayor distancia entre los ejes tiene más estabilidad para conservar el rumbo, más se pierde delicadeza en la maniobrabilidad; sin embargo, una inferior distancia entre los ejes aumenta la maniobrabilidad, generando mayor inestabilidad para conservar la dirección.
- Ángulo de las ruedas traseras. La estabilidad de la silla aumenta cuando la base presenta un ángulo más amplio (positivo); sin embargo, esto implica una reducción en la comodidad postural del usuario. Por el contrario, una base con un ángulo más reducido (negativo) disminuye la estabilidad general del sistema. Lo más óptimo para una silla de ruedas cotidiana sería un ángulo neutro
- Ángulo de las ruedas delantera. La silla girará más rápido, si el ángulo es superior a 90°, más al pararse estará propenso a orientarse hacia atrás y la parte del frente del armazón estará elevada. Por el contrario, existe dificultad cuando el ángulo de giro es menor a 90°, presentando inconvenientes en el giro cuando se desee posicionar verticalmente la silla, estando propenso a seguir girando, y la parte del frente de la silla estará más abajo que la parte posterior (16).

2.2.8. Modelo biomecánico de la silla de ruedas con posicionamiento bípedo

El método de la silla bípeda-individuo tiene la posibilidad de moldearse como un método cuasi estático, en base a ello se puede usar momentos simples y sistemas de fuerzas para estudiar la fuerza desde un punto de vista sagital en ambos ejes (figura 27).

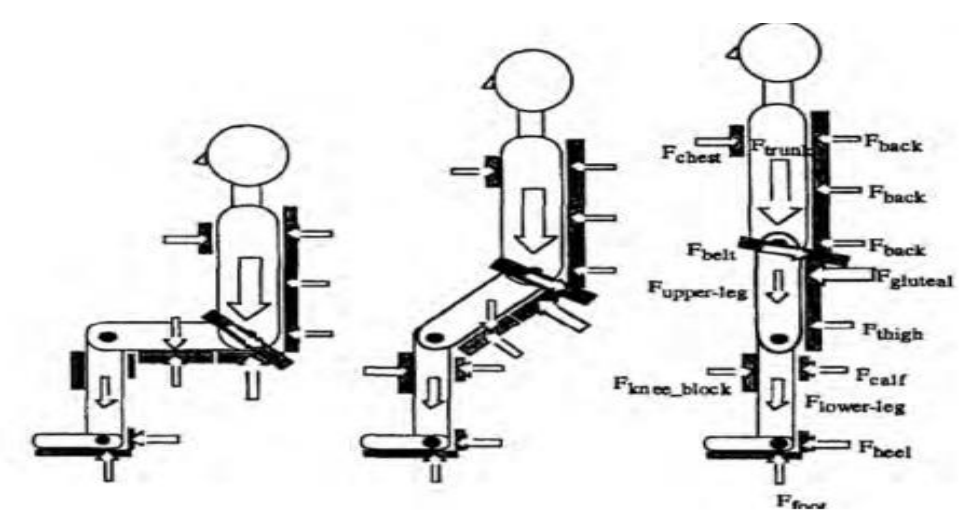


Figura 27. Esquemas de soportes, sistema bípedo (plano sagital) y fuerzas en el cuerpo Tomada de Cooper, Robertson y Boninger; 1995 (52)

Se soluciona el sistema usando los ángulos referenciales (figura 28) y haciendo descomposiciones como retirar entre los mecanismos de apoyo de la silla y el cuerpo las fuerzas cortantes, asumiendo que el individuo no generará momentos en las articulaciones. También se

hallan las fuerzas del asiento y la rodilla no considerando el peso de sujetar de la cadera, anulando las fuerzas del espaldar con la del soporte del pecho (52).

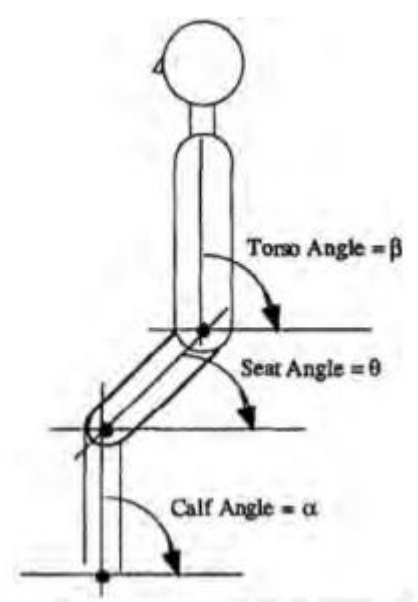


Figura 28. Ángulos de referencia para el modelo estático Tomada de Cooper, Robertson y Boninger; 1995 (52)

A continuación, se aplica equilibrio estático en las ecuaciones 4 a 6: En el tobillo:

$$En \ x: F_{heel} - F_{ankle} cos \alpha = 0$$

$$En \ y: 0.43 * M_{lower_{leg}} g + F_{ankle} sen \alpha = F_{foot}$$

$$Ecu(4)$$

En la rodilla:

$$En \ x: F_{ankle} cos\alpha - F_{knee} cos\theta + F_{knee_block} = 0$$

$$En \ y: F_{ankle} sen\alpha + F_{knee} sen\theta = 0.57 * M_{lower_{leg}} + 0.44 * M_{upper_{leg}} g \qquad Ecu(5)$$

En la cadera:

$$En \ x: F_{knee} cos\theta - F_{hip} cos\beta = 0$$

$$En \ x: F_{knee} cos\theta + F_{hip} cos\beta = 0.56 * M_{upper_{leg}} g + M_{trunk} \ g$$

$$Ecu(6)$$

2.2.9. Estática, cinemática y dinámica

- Estática. Cuenta con cimientos en unos cuantos principios al igual que toda ciencia, obtenidos de fenómenos físicos, por la cual carecen de demostración matemática. La estática pertenece a la física la cual analiza los momentos y las fuerzas que intervienen en un cuerpo cuyas resultantes son nulas, su objetivo es identificar el momento resultante y las fuerzas resultantes estableciendo contextos de equilibrio (16).
- Cinemática. Analiza el movimiento de los cuerpos, propuestos como partículas, como parte de la física, también, estudia las leyes de movimiento y sus indicadores son; aceleración,

- velocidad más las fuerzas que la ocasionan y cambios de posición, como fragmento de la mecánica (16).
- Dinámica. Analiza colectivamente el movimiento de la partícula y las causas que lo
 ocasionan o lo alteran, como parte de la física. Esta se reparte en dos fragmentos; la
 cinemática y la cinética (vincula el ejercicio que operan sobre los cuerpos) con los
 movimientos resultantes (16).

2.2.10. Antropometría y ergonomía

La antropometría analiza las dimensiones y medidas del cuerpo humano. Mientras que, la ergonomía investiga las herramientas, diseño de los espacios y actividades que concuerdan con las peculiaridades psicológicas, anatómicas y fisiológicas del trabajador (16).

En este estudio, además de considerar las dimensiones de la silla de ruedas, es necesario determinar las medidas antropométricas de los usuarios en la región de Junín. Por eso se necesita reconocer la categoría de las dimensiones antropométricas del cuerpo humano para clientes dentro de 64 y 20 años. Conforme al Manual Antropométrico del Ciudadano Peruano, publicado por el instituto de investigación tecnológica industrial y de normas técnicas (ITINTEC), en promedio la altura de una persona peruana es de 1.66 metros. Este manual también proporciona las medidas cuando la persona está sentada, lo cual es importante para diseñar y ajustar las sillas de ruedas (16).

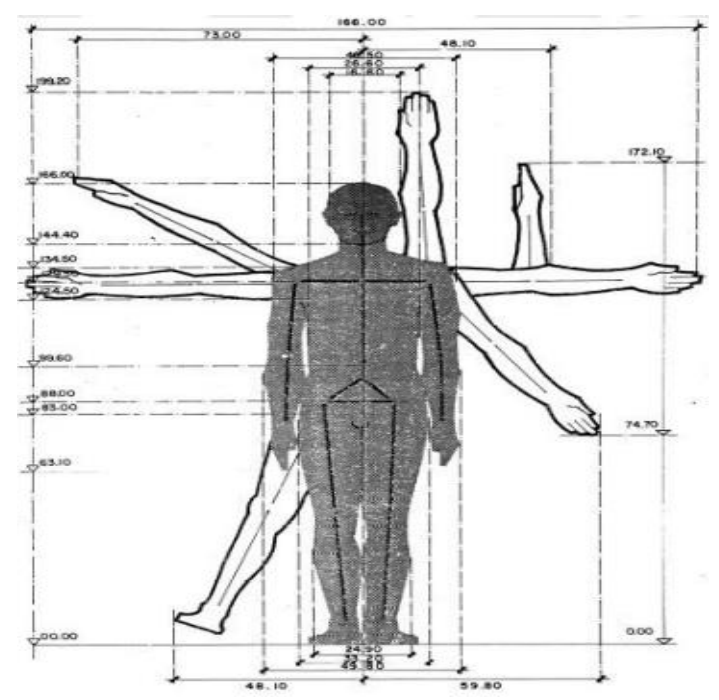


Figura 29. Medidas antropométricas del peruano en postura de pie Tomada de Atarama, 2021 (16)

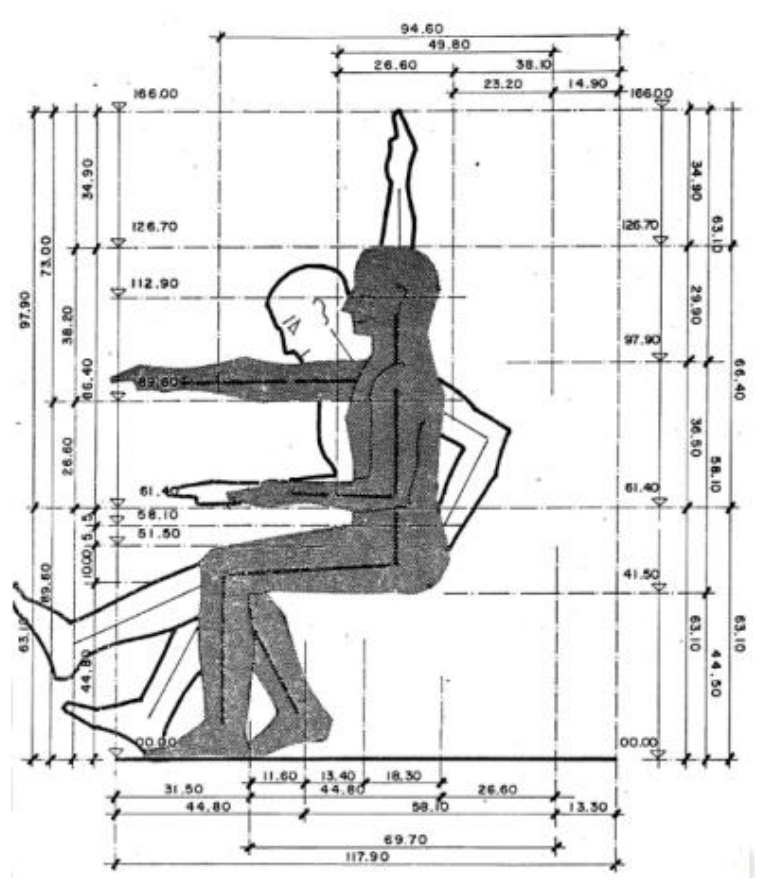


Figura 30. Medidas antropométricas del peruano en postura sentada Tomada de Atarama, 2021 (16)

Las dimensiones antropométricas obtenidas se contrastarán con las proporcionadas por el software Antropojeto (figura 31). A partir de estos datos, y con el respaldo de la guía "Cómo elegir tu silla de ruedas manual" del Instituto de Biomecánica de Valencia (IBV), se establecen las medidas estándar de la silla de ruedas.

Tabla 1. Dimensiones frecuentes de la silla de ruedas

Dimensiones Generales (m)				
Ancho 0.65 a 0.7				
Largo 1.1 a 1.2				
Alto 0.94 a 1.1				

Tomada de Atarama, 2021 (16)

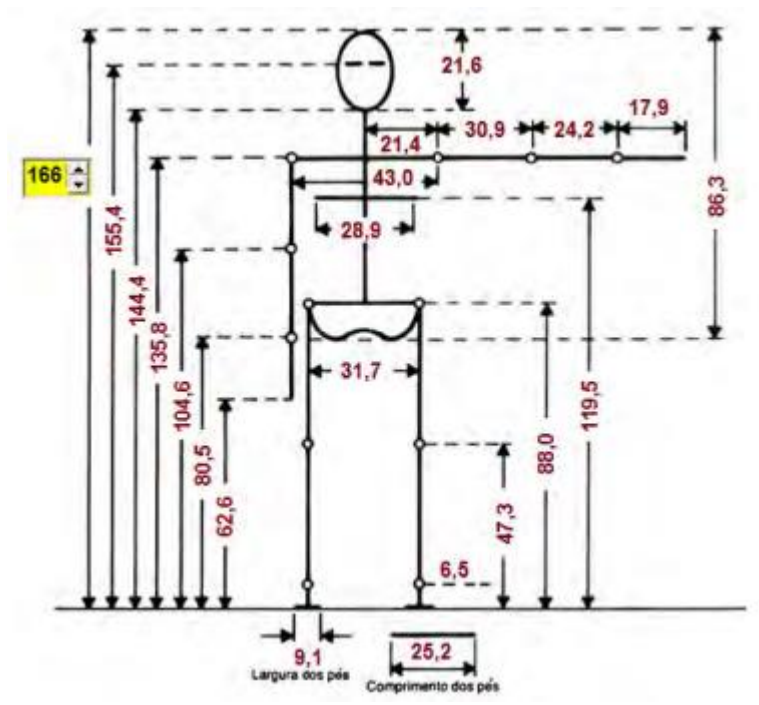


Figura 31. Medidas antropométricas extraídas del software antropógeno para un individuo en postura vertical

Tomada de Atarama, 2021 (16)

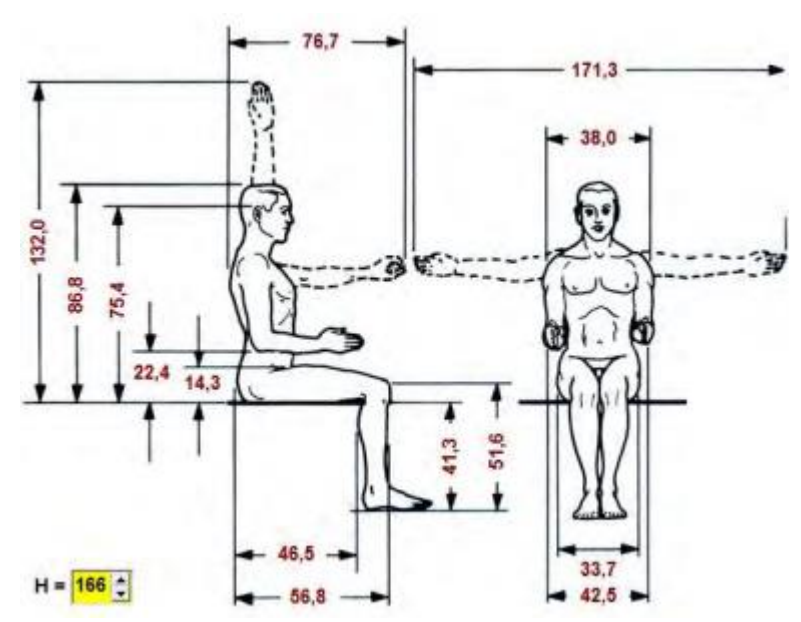


Figura 32. Medidas antropométricas extraídas del software antropógeno para un individuo en postura sentada

Tomada de Atarama, 2021 (16)

Después de analizar más específicamente, se muestran las especificaciones primordiales de la silla de rueda en la tabla 2.

Tabla 2. Dimensiones primordiales de la silla de ruedas

Dimensiones Especificas (m)				
Longitud del respaldo	0.45			
Ángulo del asiento respecto de la horizontal	1°-4°			
Altura del reposapiés	0.1-0.13			
Longitud del asiento	0.42			
Ancho del asiento	0.39			
Altura del asiento	0.48-0.52			
Ancho del respaldo	0.39			
Ángulo del respaldo respecto del asiento	100°-110°			

Tomada de Atarama, 2021 (16)

2.2.11. Diseño conceptual, requerimientos y consideraciones de la silla de ruedas

Se tomará en cuenta ciertas características y parámetros que ayuden a comprender y focalizar las dimensiones primordiales y secundarias de la silla de ruedas con la finalidad de plantear un diseño conceptual. Por ello, en este módulo se instaurarán las exigencias para el diseño.

2.2.11.1. Público objetivo

Como la mayoría de las personas con paraplejía o problemas psicomotores se ubican en la categoría de edad de 20 a 64 años, los adultos de estas edades serán el grupo objetivo, como se ilustra en la Figura 4 del capítulo 1. Este periodo del ciclo de vida también se caracteriza por una alta carga de actividades (académicas, familiares, laborales, etc.). Por otra parte, la silla de ruedas poseerá un límite de 100 kg, teniendo en cuenta que el peso promedio de un individuo de 26 años en la región de Junín no excede los 70 kg, conforme al informe del estudio nutricional en el Perú del Instituto Nacional de Salud (ver tabla 3).

Asimismo, cabe señalar en proporción a la encuesta demográfica y de la salud (ENDES), INEI (2022) el peso promedio de las mujeres peruanas es de 64,5 kg y la talla promedio es de 153,2 cm. Los resultados del sondeo nacional de hogares (ENAHO 2012-2013) ejecutada por el INEI en conjunto con el Centro Nacional de Alimentación y Nutrición (CENAN) del instituto nacional de salud del Ministerio de Salud del Perú; en donde se encuesto a 940 ciudadanos de la región Junín; siendo 515 mujeres y 425 varones; arrojan que el peso promedio de las damas mayores de 18 años es de 60,8 kg y la talla promedio es de 150,7 cm; mientras que el peso promedio de los varones mayores de 18 años es de 68,1 kg y la talla promedio es de 162,6 cm (53).

El estudio facilitará el desplazamiento, además de permitir a la persona cambiar de una postura sentada a bípeda, lo que facilitará a la persona conseguir objetos situados a mayor altura, también mejorará la circulación de los fluidos corporales. Al mismo tiempo, apoyará al usuario a interactuar con otros individuos en un mismo nivel de comunicación.

Tabla 3. Repartición de peso y talla para mayores de 20 años

Edad	Varón		Mujer	
(años)	Peso	Talla	Peso	Talla
()	(kg)	(cm)	(kg)	(cm)
20	60.3	164.3	53.5	152.7
21	62.2	165.1	54.7	152.9
22	62.4	164.9	55.1	153.3
23	62.7	163.7	55.1	152.7
24	63.3	164.7	56.0	152.5
25	65.6	165.0	56.4	152.6
26	65.0	164.5	57.9	152.4
27	65.7	164.5	58.4	152.3
28	65.2	163.7	57.7	152.2
29	66.7	164.6	59.5	152.1
30	66.3	163.7	59.6	152.0
31	67.1	164.1	60.2	152.1
32	67.7	164.5	58.9	152.3
33	67.0	163.6	60.4	152.1
34	66.8	163.7	60.1	151.3
35	66.5	163.6	59.3	151.4
36	67.2	164.0	61.0	151.8
37	66.2	163.1	59.2	150.7
38	67.6	164.0	60.7	151.6
39	67.8	162.7	61.6	151.7
40	69.3	163.5	61.6	150.9
41	68.5	163.6	62.6	151.4
42	67.5	162.7	61.9	151.6

43	67.6	163.2	62.4	151.6
44	68.0	163.2	62.2	150.8
45	66.6	163.2	61.2	151.0
46	68.2	162.5	62.3	151.0
47	67.7	163.0	63.2	150.8
48	67.5	162.3	63.0	151.3
49	67.5	162.7	61.9	151.2
50	67.6	162.6	60.7	150.0
51	67.9	162.5	60.8	150.3
52	68.9	162.4	61.0	149.6
53	66.9	161.5	62.5	150.8
54	66.2	161.7	60.3	150.2
55	67.8	162.0	60.6	149.5
56	66.4	160.2	59.0	149.8
57	65.8	160.5	59.7	148.4
58	65.7	162.0	58.8	148.9
59	64.5	160.3	60.7	148.7
60	64.8	160.4	59.2	148.3
61	64.4	160.1	57.3	148.3
62	65.2	160.8	59.2	147.8
63	64.6	159.6	58.8	148.1
64	61.7	159.5	57.1	148.0

Tomada del Instituto Nacional de Salud, 2011 (54)

2.2.11.2. Normas a utilizar

Se basará el diseño de la silla de ruedas en el lineamiento de la The International Organization for Standardization (ISO) y la Norma Técnica de Edificación peruana para medidas referenciales, Rehabilitation Engineering and Assistive Technology Society of America (RESNA).

2.2.11.3. Seguridad

Se basará la seguridad en la adecuada estabilidad y funcionamiento de la silla de ruedas, con los 6 puntos de apoyo con el suelo cuando el usuario está de pie. Cuando el usuario manipule la silla de ruedas en una postura sentada para desplazarse se considerará las correas de seguridad ensamblados en el bastidor, que se encontrará al nivel de la pelvis. Al mismo tiempo, con el fin de impedir que la persona caiga cuando se posicione verticalmente, se tomará en cuenta al nivel del pecho un cinturón de seguridad.

Cuando el usuario requiera estacionarse en algún lugar o pendiente, la silla de ruedas tendrá un mecanismo de bloqueo a las ruedas y evite accidentes probables. La silla de ruedas con posicionamiento bípedo estará equipada con una correa de sujeción acolchado al nivel de las rodillas para prevenir que las piernas se pandeen. Además, contará con una correa en la zona de las pantorrillas que evitará que los pies y las piernas se deslicen hacia atrás.

Finalmente, se tendrá ruedas anti vuelco en el fragmento posterior para asegurar la silla de ruedas en algún incidente de volcadura.

2.2.11.4. Componentes para activar el actuador eléctrico

Interruptores. -Estos desempeñan una función especial en el control del movimiento de los actuadores lineales, otorgando a la persona la capacidad de iniciar y manipular su funcionamiento con facilidad. Existen dos tipos de básicos de interruptores de actuador: de mantenimiento y momentáneo.

 Los interruptores momentáneos o Push-to-Make. - Diseñadas para volver a su posición predeterminada automáticamente una vez que se deje de presionar este regresa a su posición inicial apagando el actuador lineal. Son ideales para el uso donde se requiere un funcionamiento intermitente y un control preciso.



Figura 33.Interruptor momentáneo Tomada de Firgelli Automations, 2002 (55)

• Los interruptores de mantenimiento o Push-to-Stay. - Estos mantienen su posición incluso después de ser liberado el botón del actuador, significa que el circuito eléctrico permanece cerrado y el motor sigue funcionando hasta que el botón se pulsa para desactivarlo. Se utiliza para tareas que requieran un accionamiento constante o control de manos libres.



Figura 34. Interruptor de mantenimiento Tomada de Firgelli Automations, 2002 (55)

• Relés. - Son interruptores electromagnéticos que pueden funcionar con una corriente pequeña para encender y apagar una corriente más grande. Los relés permiten usar interruptores de menor capacidad para no exceder la carga nominal del interruptor. Los relés son interruptores, por lo que utilizan una terminología similar, y funcionan al tener una bobina, que se convierte magnética cuando se energice, para cerrar y abrir la conexión del circuito de alta potencia.

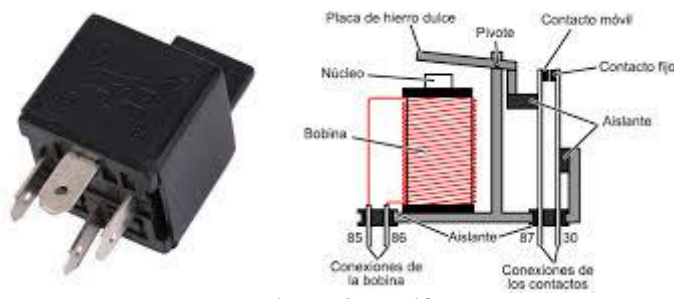


Figura 35. Relé Tomada de Firgelli Automations, 2002 (55)

2.2.11.5. Actuador

Es un dispositivo que toma un ingreso de energía y lo transforma en fuerza o movimiento es esencial en campos de la ingeniería, los actuadores son importantes en la automatización y control de diversos sistemas y procesos. Se muestran en distintos tipos y cada modelo posee una tarea específica. Existen dos categorías por la fuente de energía y el tipo de movimiento (56).

- Tipo de movimiento del actuador:
- a) Actuador lineal. Para desplazar objetos a lo largo de una línea recta, se emplean mecanismos como poleas, correas, husillos de bolas y piñones, que convierten en movimiento lineal el giro del motor eléctrico. Se identifican por su precisión de posicionamiento, su desenvoltura de funcionamiento e instalación y sobre todo su bajo mantenimiento, son utilizados para manipular los materiales, automoción etc. Para tareas de tracción, elevación, posicionamiento y empuje.
- b) Actuador rotativo. Transforman la energía en movimiento giratorio mediante un eje para controlar la posición, rotación y velocidad de los equipos. Utilizados en radares y sistemas de monitorización, equipos médicos, etc.
- Por fuente de energía:
- a) Actuador neumático. Requieren aire comprimido para generar movimiento, generalmente son seleccionados para aplicaciones que requieren fuerza.



Figura 36. Actuador neumático Tomada de Tameson, 2025 (56)

 b) Actuador hidráulico. - Utilizan presión del fluido para generar movimiento, se utilizan en aplicaciones pesadas.



Figura 37. Actuador hidráulico Tomada de Tameson, 2025 (56)

c) Actuadores eléctricos. - Utilizan energía eléctrica para generar movimiento recto, control preciso menos ruido.



Figura 38. Actuador eléctrico Tomada de Tameson, 2025 (56)

d) Actuador magnético y térmico. - Los actuadores magnéticos para crear fuerza emplean campos magnéticos. Mientras que, los actuadores térmicos usan la contracción o dilatación de los materiales en reacción a las variaciones de temperatura.



Figura 39. Actuador magnético/térmico Tomada de Tameson, 2025 (56)

e) Actuadores mecánicos. - Usan mecanismos físicos como levas, engranajes y palancas para generar movimiento.



Figura 40. Actuador mecánico Tomada de Tameson, 2025 (56)

2.2.11.6. Mecánica de cuerpos rígidos

Analiza el movimiento y equilibrio de los cuerpos solidos sin considerar sus deformaciones en componentes mecánicos o elementos estructurales, siendo una rama de la física; además, cuenta con dos áreas que son la estática y la dinámica, en este estudio nos enfocaremos en la estática, que analiza el equilibrio de los cuerpos, con velocidad continua o en descanso.

a) Equilibrio de partículas

Para el diseño de la silla de ruedas con postura bípeda, se aplicarán las fórmulas fundamentales de Newton, como la primera ley de Newton, qué señala que un objeto se mantendrá en reposo a menos que una fuerza externa altere su estado. Este equilibrio permite obtener ecuaciones y sistemas de fuerzas de equilibrio, separando las fuerzas involucradas en sus componentes i, j y k para su análisis y desarrollo.

$$\sum f = \sum Fx_i + \sum Fy_j + \sum Fz_k = 0$$
 Ec. (7)

Esta ecuación se comprueba cuando para el equilibrio de una partícula para cada componente involucrado se cumple esta condición.

$$\sum F = 0 \leftrightarrow \frac{dv}{dt}$$
 Ec. (8)

b) Momento de fuerza

Esto sucede cuando una fuerza actúa sobre una parte del cuerpo, provocando una rotación alrededor de un eje que no coincide con la línea de acción de dicha fuerza. Como resultado, al aplicarse a una distancia perpendicular respecto al punto de referencia, la fuerza genera un momento.

$$M = F * d Ec. (9)$$

Donde:

M= Momento de fuerza

F= Fuerza ejercida

d= distancia perpendicular al punto de aplicación

c) Ecuaciones de equilibrio de momentos

De igual manera, se determinarán las ecuaciones para el equilibrio de momentos que actúan sobre un objeto. Un momento mide la tendencia de una fuerza al hacer girar un objeto alrededor de un punto.

$$\sum M = \sum Mx_i + \sum My_j + \sum Mz_k = 0$$
 Ec. (10)

Esta ecuación es válida cuando los momentos involucrados están equilibrados en sus respectivos componentes.

$$\sum F = 0 Ec. (11)$$

d) Fuerzas internas

Cuando se estudia un componente mecánico, se considera que existen fuerzas internas que actúan dentro de ella, y cuando se necesite analizar cierto punto se deben considerar aquellas fuerzas internas como las externas, conllevando así a la ley de acción y reacción observe la siguiente figura.

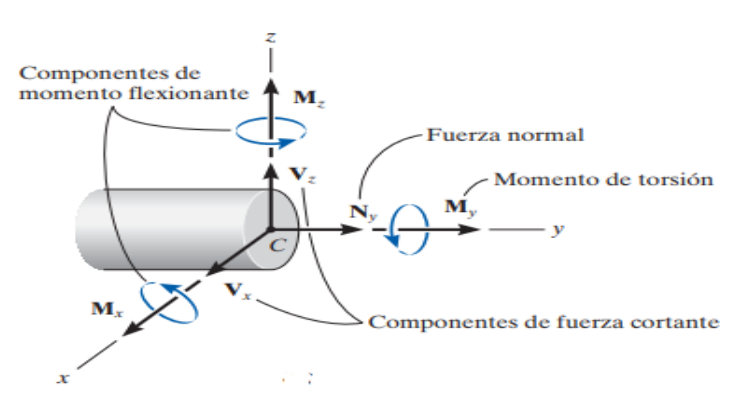


Figura 41. Componentes de fuerzas internas Tomada de Hibbeler, 2010 (57)

e) Fuerza axial

En la figura anterior se muestra como NY interviene de forma axial a la sección del componente dividido, usándose posteriormente la carga para hallar el esfuerzo axial a una estructura.

f) Fuerza de corte

Propuestas como VX y VZ, siendo la tangente a la selección perpendicular mostrado en la figura anterior, asimismo, esta carga admitirá adquirir el esfuerzo de corte que cuenta el elemento.

g) Momento flexionante.

Representadas por las variables MZ y MX, que se determinan al generar una sección, estos momentos están influenciados por todas las cargas externas que afectan la estructura en estudio, incluyendo la fuerza de corte resultante del seccionamiento del elemento.

h) Momento de torsión

Se da como producto de las cargas externas sobre el elemento, siendo representado por la variable MY, la cual genera un giro en el eje de la sección transversal del punto donde se llevó a cabo el método de sección.

i) Deflexión

Un método que simplifica el planteamiento de las ecuaciones es el de la doble integración para calcular la deflexión en diferentes puntos a lo largo del eje longitudinal de una viga cargada.

La ecuación se obtiene a partir de la doble integración de la ecuación diferencial que caracteriza la curva elástica, de ahí su denominación como método de 'doble integración'.

$$\frac{d^2y}{dx^2} = \frac{M}{EI}$$
 Ec. (12)

Donde:

M= Momento flector

E=Modulo de elasticidad

I=Momento de inercia

y= deflexión en el eje y

x= variación de distancia

2.2.11.7. Uniones permanentes

Son métodos de unión que no permiten la separación fácil de los componentes unidos. Los más utilizados son los adhesivos y la soldadura.

a) Soldadura

La unión de materiales mediante calor y presión que los funde para mantener dos superficies juntas se puede identificar con una fórmula, empleada en una soldadura de ranura en V que está sometida a una carga de tensión F, de la siguiente manera:

$$\sigma = \frac{F}{hl}$$
 Ec. (13)

Donde:

 σ = Esfuerzo de la soldadura

h= garganta de soldadura sección

1= longitud de soldadura

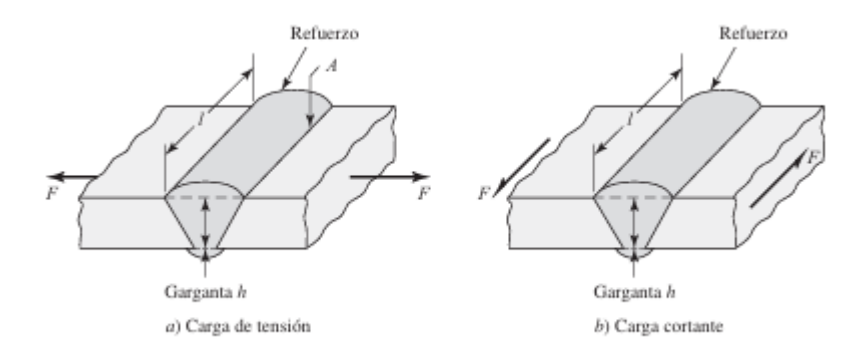


Figura 42. Esfuerzo en una soldadura de ranura tipo V Tomada de Budynas y Nisbett, 2008 (58)

La norma AENOR (UNE-CEN/TR 14599 IN) define el 'proceso de unión' como aquel mediante el cual dos o más segmentos se integran, logrando continuidad en la naturaleza de los materiales a través de la aplicación de calor, presión o ambos, con o sin la adición de material complementario (59).

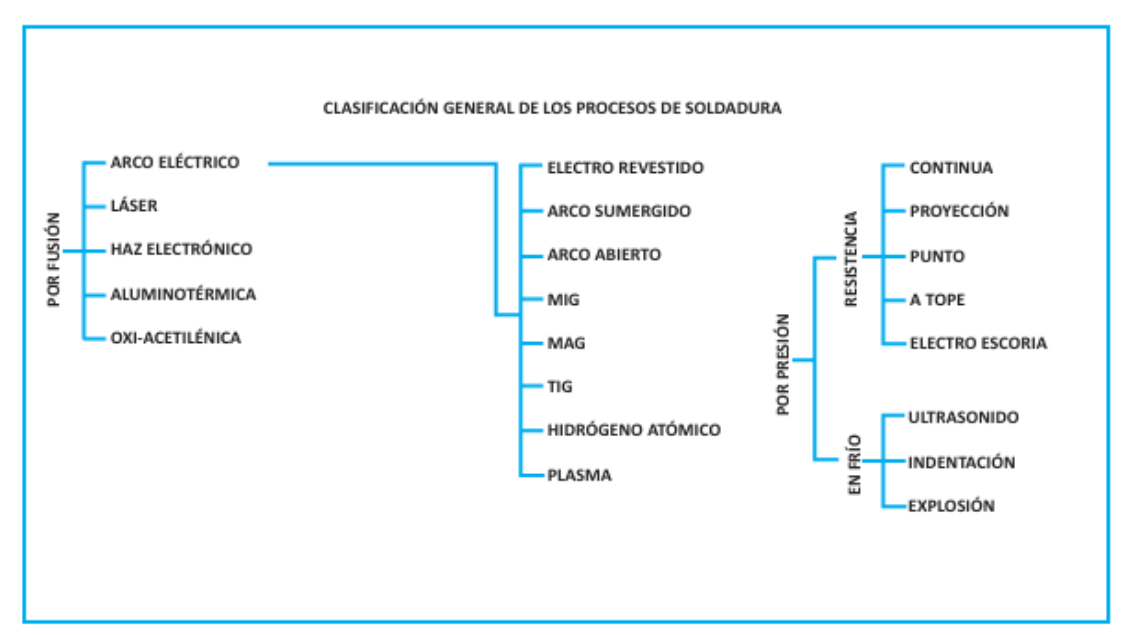


Figura 43. Categorización del proceso de soldadura Tomada de Soldexa, 1995 (60)

b) Soldadura por arco eléctrico MIG/MAG

También conocida como soldadura por arco metálico con gas, este proceso fusiona los materiales mediante un arco que se crea entre la pieza a soldar y el extremo del alambre alimentado interminablemente. La protección proviene completamente de los gases que se suministran junto con el metal de contribución (59).

- MIG. -Donde se utiliza una protección de gas inerte puro (argón, helio, etc.). Se usa en metal no ferroso.
- MAG. -Usa el dióxido de carbono CO₂, o combinación de argón más CO₂ como gas protector. Se usa en metal ferroso.

Las ventajas de la soldadura por arco eléctrico MIG/MAG son las siguientes:

- ✓ Alta eficacia de soldadura en casi todas las aleaciones y metales usados por las manufacturas.
- ✓ No requiere lavado profundo posteriormente al soldar.
- ✓ Baño y arco fundido visiblemente para el soldador.
- ✓ Cómodo trabajo en cualquier postura (dependiendo del grosor del alambre y de los elementos del proceso).
- ✓ Alta rapidez de trabajo.
- ✓ Libre de escoria.
- ✓ Se usa CTAO₂ (MAG) para unir aceros al carbono de baja aleación.

✓ Se usa helio o argón (MIG), solo para soldar componentes de materiales no ferrosos (magnesio, cobre, aluminio, inoxidables).

c) Sujetadores

Una porción significativa de la estructura está formada por uniones permanentes. La función de un perno es fijar dos o más componentes. Al girar la tuerca, la carga de sujeción se incrementa hasta aproximarse al límite elástico del tornillo. Siempre que la tuerca permanezca ajustada, la tensión en el tornillo se mantiene constante, funcionando como fuerza de sujeción o precarga.

Clase de propiedad	Intervalo de tamaños, inclusive	Resistencia de prueba míni- ma,† MPa	Resistencia mínima a la tensión,† MPa	Resistencia mínima a la fluencia,† MPa	Material	Marca en la cabeza
4.6	M5-M36	225	400	240	Acero de bajo o medio carbono	4.6
4.8	M1.6-M16	310	420	340	Acero de bajo o medio carbono	4.8
5.8	M5-M24	380	520	420	Acero de bajo o medio carbono	5.8
8.8	M16-M36	600	830	660	Acero de medio carbono, T y R	8.8
9.8	M1.6-M16	650	900	720	Acero de medio carbono, T y R	9.8
10.9	M5-M36	830	1 040	940	Acero martensítico de bajo carbono, T y R	10.9
12.9	M1.6-M36	970	1 220	1 100	Acero aleado, T y R	12.9

Figura 44. Propiedades mecánicas de perno Tomada de Budynas y Nisbett, 2008 (58)

2.2.11.8. Actuador eléctrico

Un mecanismo que transforma el desplazamiento rotativo de un motor en movimiento lineal preciso es un actuador eléctrico lineal, permitiendo realizar funciones variadas como:

- Empujar o tirar objetos
- Levantar o bajar cargas
- Posicionar con precisión
- Realizar movimientos giratorios

Este dispositivo versátil se puede integrar en diversos equipos y sistemas para automatizar y controlar movimientos lineales. La fuerza ejercida por el actuador procede de tres fuentes: Presión hidráulica o neumática y motor eléctrico (fuerza motriz eléctrica).

$$Fc = Pc * \frac{\pi * d^2}{4}$$
 Ec. (14)

Donde:

Fc= Fuerza del cilindro

Pc= Presión del aire comprimido en bar/g

D= Diámetro interior cilindro

2.2.11.9. Resistencia de materiales

El objetivo de la investigación en resistencia de materiales es proporcionar los medios necesarios para diseñar y analizar componentes o estructuras que puedan resistir las cargas y acciones a las que estarán o podrían estar expuestos durante su vida útil. El análisis se realiza en la zona elástica de los materiales y se desarrollará un modelo matemático que se utilizará posteriormente para el avance de este estudio.

2.2.11.10. Esfuerzos

a) Esfuerzo axial

Es la fuerza interna que se genera en un material que cuando se aplica una carga a lo largo de su eje longitudinal. Este esfuerzo puede manifestarse como tracción (cuando la fuerza tiende a estirar el material) o compresión (58).

$$\sigma = \frac{F}{A}$$
 Ec. (15)

Donde:

σ: Esfuerzo normal

F: Fuerza axial

A: Área transversal

b) Esfuerzo cortante

Es la intensidad de la fuerza que actúa de modo tangencial al área donde hará la división del mecanismo a analizar (58).

$$\tau = \frac{V}{A}$$
 Ec. (16)

Donde:

 τ = Esfuerzo cortante transversal

V= fuerza ejercida tangencial a la sección

A= Área de sección transversal

2.2.11.11. Factor de seguridad

Se tendrá en cuenta el límite del esfuerzo del objeto con la finalidad de diseñar adecuadamente un elemento estructural, es por eso que el factor de seguridad ayuda hallar un valor de esfuerzo permisible en donde el elemento no falle y es mayor a 1 (58).

$$F.S = \frac{Resistencia\ de\ material}{Tension\ aplicada} Ec. (17)$$

Tabla 4. Factores de seguridad mínimos

-	mom ii mete	res are seguirana.			
Aceros,	materiales	Materiales	frágiles,	Madera	de
dúctiles.		hierro fundido.		construcción.	
3-4		5-6		7	
	Aceros, dúctiles.	Aceros, materiales dúctiles.	Aceros, materiales Materiales dúctiles. hierro fundido.	dúctiles. hierro fundido.	Aceros, materiales Materiales frágiles, Madera dúctiles. hierro fundido. construcción.

Tomada de Budynas Y Nisbett, 2008 (58)

2.2.11.12. Materiales de ingeniería

El progreso en los materiales de ingeniería ha impulsado el desarrollo tecnológico, y existen cuatro tipos principales de materiales: cerámicos, polímeros, metales y materiales compuestos. Sin embargo, en este estudio se dará un enfoque principal a los metales, que son ideales para el uso en sillas de ruedas debido a sus óptimas propiedades mecánicas.

a) Aluminio 6061 (metal)

Es uno de los metales más variables industrialmente usados por los individuos, debido a sus propiedades de ligereza, larga vida y maleabilidad; cabe señalar también que es altamente resistente a la corrosión. El aluminio es empleado en gran diversidad de aleaciones para elaborar diversos envases, utensilios y pedazos distintos de maquinarias.

El aluminio (Al) en la naturaleza se encuentra como un metal liviano, brillante y su apariencia cambia según las aleaciones en la cual es sometido.

Tabla 5. Propiedades del aluminio 6061

Propiedad	Esfuerzo	Resistencia a la	Módulo de
	Fluencia	tracción	elasticidad
Aluminio 6061	145 (MPa)	240 (MPa)	68.9 (GPa)

Tomada de Budynas Y Nisbett, 2008 (58)

b) Principales soportes y sus reacciones

Las diferentes tipologías de soportes que se usan en el área de ingeniería cumplen la función de brindar soporte estructural en las bases de cada estructura de diversos modos, los que se identifican a través de la cantidad de reacciones que se dan desde una reacción simple hasta momentos de una fuerza en la totalidad de sus ejes, a continuación, los soportes más comunes se muestran en la figura 45.

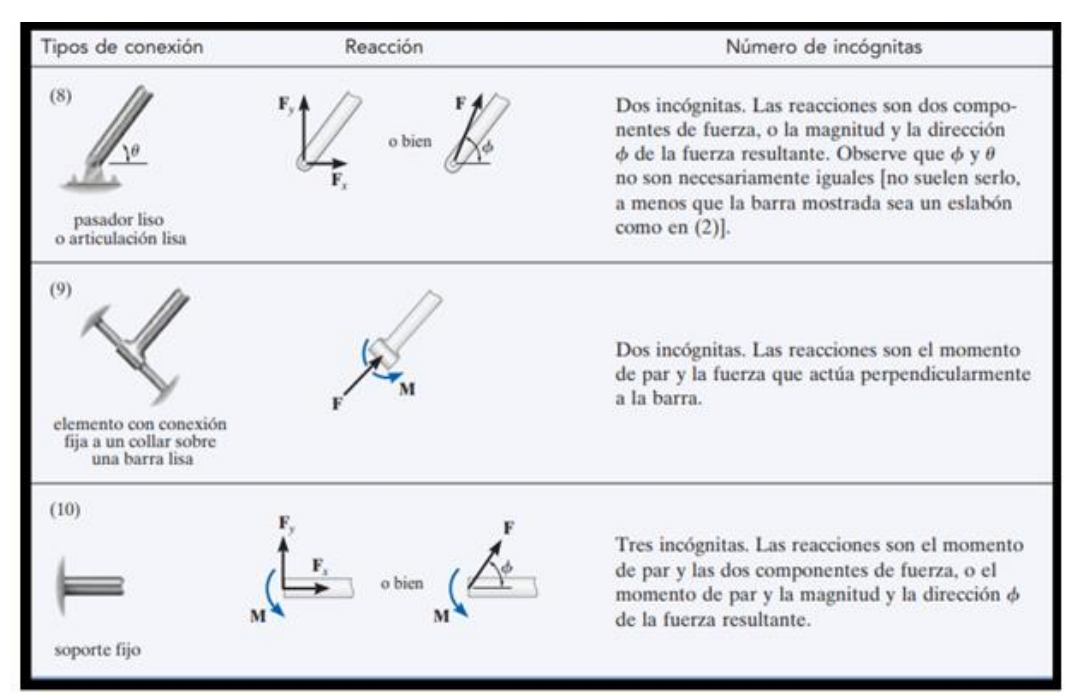


Figura 45. Reacciones y apoyos Tomada de Hibbeler, 2010 (57)

c) Coeficiente de fricción y fuerza normal

Casi todas las superficies, incluso las pulidas, son considerablemente arrugadas cuando se observan microscópicamente. Los picos de ambas superficies en contacto fijan el área real de contacto, que es un porcentaje del área aparente de contacto. Debido a que los picos se deforman, el área real de contacto es proporcional a la presión (fuerza normal).

La fuerza normal es la reacción ejercida por un plano sobre un cuerpo, dependiendo de la inclinación del plano, su masa y otras fuerzas aplicadas sobre el cuerpo.

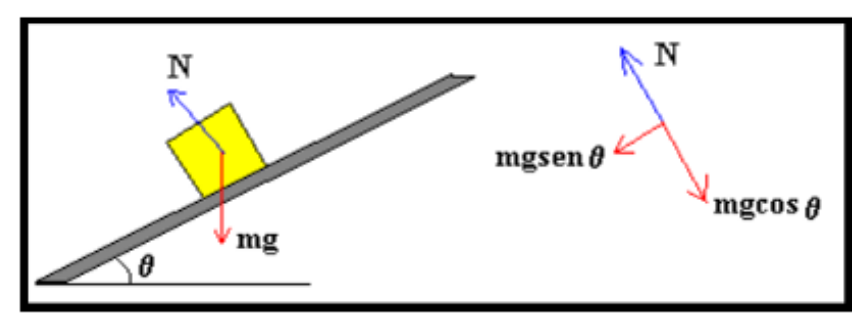


Figura 46. Fuerza normal en un plano inclinado Tomada de Fuentes, 2022 (61)

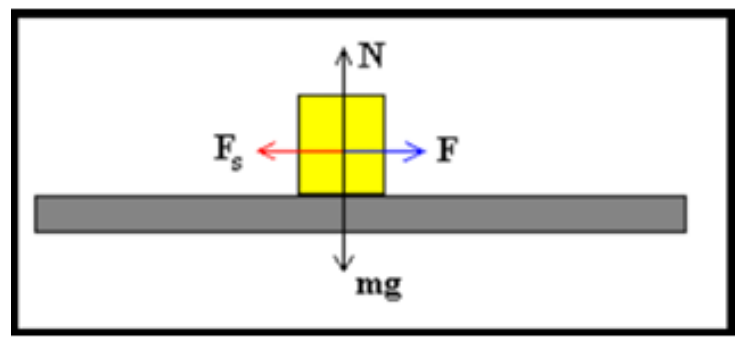


Figura 47. Fuerza de rozamiento estático Tomada de Fuentes, 2022 (61)

Para determinar la fuerza de la roca, se utiliza la siguiente ecuación en función de los diversos coeficientes de las superficies en contacto.

$$Fr = Cs * N$$
 Ec. (18)

Donde:

Fr: Fuerza de roce

Cs: Coeficiente de roce estático

N: Fuerza Normal

Tabla 6. Coeficientes de roce según superficies en contacto

Tubia of Coefficiences de 10c	e segun superficies en contacto
Superficies en contacto	Coeficiente de roce estático
Acero-Acero	0.18
Acero-Hielo	0.03
Acero-Hierro	0.19
Neumático-Terreno firme	0.2
Cuero-Metal	0.56
Bronce-Bronce	0.2
Bronce-Acero	0.18

Tomada de Fuentes, 2022 (61)

2.2.11.13. Tipos de rodamientos

a) Rodamientos de bolas

Son versátiles los rodamientos de esferas de una sola hilera ya que soportan tanto cargas axiales como radiales, están diseñados con una pista exterior e interior donde están ubicados los retenes y bolas en jaulas, cuenta con distintas ventajas sobre otros ya que su funcionamiento es suave y de baja fricción (ver figura 48).

Los rodamientos de dos hileras cuentan con una capacidad de carga considerablemente mayor a la de una hilera tanto en cargas radiales, también, trabajan a mayor velocidad. Las esferas se fijan en orificios tipos cilíndricos (ver figura 49).

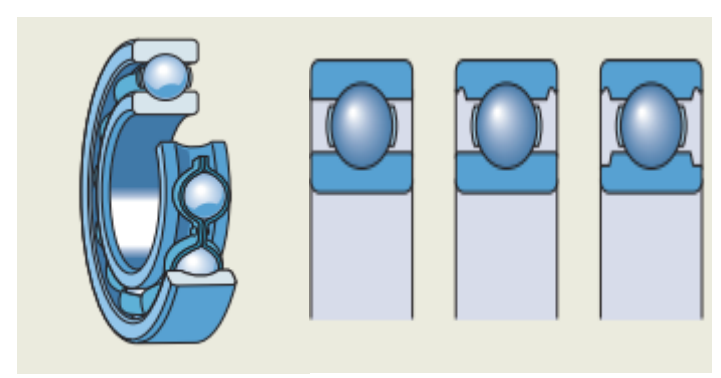


Figura 48. Rodamiento de esferas de una sola hilera Tomada de SKF PERÚ (62)

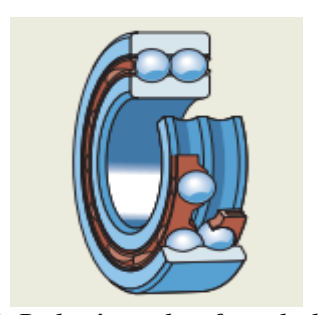


Figura 49. Rodamiento de esferas de dos hileras Tomada de SKF PERÚ (63)

b) Capacidad de carga de los rodamientos

Para la elección de un rodamiento se tomará en cuenta el estudio de las cargas a resistir, siendo las siguientes: axiales, mixtas o radiales, teniéndose que calcular las cargas estáticas y dinámicas. Según el catálogo de rodamientos SKF existen las siguientes cargas:

Co = carga estática (KN)

Corea = carga estática requerida (KN)

Fa = carga axial (KN)

Fr = carga radial (KN)

Po = carga estática del rodamiento (KN)

Fa<0.8 Fr

Fa>0.15 Co

2.2.11.14. Bajo costo

Uno de los propósitos de la silla de ruedas es mantener un precio accesible, de modo que sea viable para personas con recursos económicos bajos y medios. En Perú, una silla de ruedas convencional, con prestaciones básicas, tiene un costo promedio de S/400. No obstante, una silla de ruedas con mayores características, como las diseñadas para paseo o eléctricas, puede alcanzar precios que oscilan entre S/1,500 y S/7,000.

Por esta razón, los componentes y materiales elegidos para la silla de ruedas deben ser estandarizados y de fácil adquisición en el mercado local, de manera que el precio final del dispositivo no supere los S/3,500, considerando una utilidad del 20%. Asimismo, su mantenimiento debe poder realizarse en cualquier taller local especializado en reparación de sillas de ruedas.

2.2.11.15. Normativa para el diseño de una silla de ruedas según la norma ISO 7176

La serie de normas ISO 7176, emitida por la organización internacional de normalización (ISO), fija los criterios técnicos esenciales para el diseño. Esta normativa constituye un marco de referencia internacionalmente aceptado que permite garantizar la funcionalidad, seguridad, comodidad y durabilidad del usuario final, a la vez que facilita la estandarización en los procesos de comercialización y fabricación.

El propósito principal de esta norma es definir los requisitos mínimos de calidad y desempeño que deben cumplir las sillas de ruedas normales, abarcando aspectos tales como resistencia estructural, dimensiones físicas, capacidad de frenado y facilidad de maniobra (64).

• Dimensionales y maniobrabilidad (ISO 7176-1)

El diseño debe contemplar medidas estandarizadas para garantizar la compatibilidad antropométrica del dispositivo con el usuario. Entre los parámetros esenciales se encuentran la profundidad y altura del asiento, el ancho total de la silla, la distancia al piso, la altura del respaldo, así como el diámetro mínimo de giro. Estas dimensiones influyen directamente en la ergonomía y funcionalidad de la silla, además de determinar su desempeño en espacios reducidos.

- Ancho total de la silla: entre 600 mm y 720 mm.
- Profundidad del asiento: entre 400 mm y 460 mm.
- Altura del asiento al suelo: entre 450 mm y 500 mm.
- Altura del respaldo: no menor a 400 mm.
- Peso total de la silla: varía entre 15 kg (silla manual ultraligera) y 150 kg (silla eléctrica con baterías y sistemas elevadores).

• Estabilidad estructural en reposo (ISO 7176-8)

Se requiere que la silla de ruedas posea un comportamiento estable frente a posibles situaciones de vuelco, ya sea hacia adelante, hacia atrás o lateralmente. Este criterio se evalúa considerando el centro de masa del grupo dispositivo-paciente y el ángulo de inclinación a partir del cual se produce el desequilibrio. Un diseño adecuado debe evitar el vuelco hasta alcanzar un umbral mínimo de inclinación (usualmente $\geq 10^{\circ}$), garantizando la seguridad del ocupante incluso en terrenos irregulares.

• Sistema de frenado (ISO 7176-3)

El sistema de frenos debe asegurar una retención efectiva en pendientes suaves (hasta 6° de inclinación) sin que se produzca desplazamiento involuntario. El mecanismo debe ser accesible, de fácil accionamiento y diseñado para requerir un esfuerzo físico mínimo por parte del usuario o del acompañante. Esto resulta crucial para preservar la seguridad en situaciones cotidianas, como transitar por rampas o detenerse en superficies inclinadas.

- Criterio de aceptación: desplazamiento ≤ 50 mm en 5 minutos.
- Fuerza máxima de accionamiento del freno: ≤ 60 N.
- Resistencia mecánica y durabilidad (ISO 7176-13)

Desde el punto de vista estructural, la silla debe ser capaz de soportar cargas repetitivas y condiciones de uso intensivo sin sufrir deformaciones permanentes ni fallas funcionales. Para ello, se aplican pruebas de fatiga mediante ciclos simulados de rodamiento (hasta 200.000 ciclos), así como ensayos de impacto. Esta norma permite validar la vida útil estimada del producto y verificar la integridad de materiales, uniones y componentes con una masa de prueba de 100 kg (Usuario+ silla).

• Capacidad de carga y comportamientos frente a ambientes hostiles (ISO 7176-11)

Todo diseño debe considerar la carga máxima permitida, la cual incluye tanto el peso del usuario como el de los accesorios añadidos. Asimismo, la silla debe mantener su desempeño en condiciones ambientales adversas, tales como exposición a humedad, polvo o cambios bruscos de temperatura, sin que ello comprometa la funcionalidad ni la seguridad del equipo (64).

2.2.11.16. Definición de términos básicos

Posteriormente, se presentan términos básicos relevantes para el estudio:

- Accesibilidad: derecho del individuo a tener acceso a un lugar de modo confortable y segura.
- **Bipedestación**: posición vertical adoptada por un individuo que le permite mantenerse de pie y desplazarse utilizando ambas extremidades inferiores.
- **Diseño**: etapa previa al desarrollo de una solución, en la cual se analiza la función de un objeto y su interacción con el usuario. Los aspectos a considerar incluyen operatividad, funcionalidad, vida útil y eficiencia del diseño.
- Estudio: proceso de desarrollo de habilidades y aptitudes mediante el aprendizaje de nuevos conocimientos.
- Paraplejia: trastorno que causa parálisis en la región inferior del cuerpo y pérdida de funcionalidad, habitualmente como consecuencia de una lesión medular o de una enfermedad congénita.
- Mecanismo: dispositivo con la capacidad de cambiar una fuerza o un movimiento, aumentando o disminuyendo la velocidad o fuerza del movimiento de salida.
- Posicionamiento: diferentes posturas corporales que una persona puede adoptar, como estar sentado o erguido.
- Posicionamiento bípedo: postura corporal erguida de una persona.
- Discapacidad motora: dificultad para manipular y controlar el movimiento, el equilibrio, la coordinación y la posición de diversos fragmentos del cuerpo, dificultando la intervención en actividades diarias.

- Silla de ruedas: dispositivo de asistencia para personas con discapacidad que limita el movimiento de las extremidades inferiores, facilitando su desplazamiento. Está compuesto por una silla equipada con tres o cuatro ruedas.
- **Sistema de control**: sistema compuesto por varios elementos que trabajan juntos para garantizar la eficacia del sistema.
- **Sistema eléctrico**: trayecto que sigue la electricidad a través de un conductor, desde la fuente de energía hasta el punto de utilización.
- **Sistema mecánico**: grupo de elementos que transmiten o convierten el movimiento desde su origen, convirtiendo diferentes tipos de energía.

CAPÍTULO III

METODOLOGÍA

3.1. Tipo de investigación

Desde el enfoque de la ingeniería mecánica, la presente investigación se clasifica como tecnológica aplicada dado que tiene como propósito el diseño técnico y estructural de una silla de ruedas bípeda, orientada a resolver una necesidad específica en el ámbito de la movilidad asistida. Este tipo de investigación parte de la aplicación sistemática de conocimientos científicos, principios de diseño mecánico, normas técnicas y criterios ergonómicos con el propósito de desarrollar una solución innovadora y funcional que ayude a mejorar la calidad de vida de las personas con discapacidad motriz.

En correspondencia con lo planteado por Hernández, Fernández y Baptista, la investigación aplicada se focaliza en la resolución de problemas concretos mediante la apropiación de fundamentos teóricos y técnicos que se traducen en propuestas útiles y viables para el entorno social o industrial. En este contexto se integran herramientas del diseño asistido por computadora (CAD), análisis estructural mediante elementos finitos (FEA) y el cumplimiento de los requisitos establecidos por normativas, que regula los criterios dimensionales, estructurales y funcionales aplicables a sillas de ruedas (65).

3.2. Metodología aplicada para el desarrollo de la solución

El desarrollo metodológico del proyecto se apoya en la directriz alemana VDI 2221, la cual proporciona una estructura lógica y sistemática para la concepción, desarrollo y validación de productos técnicos. Esta metodología permite abordar el diseño desde una perspectiva ordenada a través de etapas sucesivas que incluyen: la formulación del problema, la recopilación de

requisitos funcionales, el desarrollo de conceptos, el diseño preliminar y detallado, así como la verificación técnica de la solución propuesta. Gracias a esta secuencia metodológica es posible fundamentar cada decisión técnica y garantizar la trazabilidad del proceso de diseño (66).

Finalmente, la investigación adopta un enfoque cuantitativo dado que se emplean métodos de simulación numérica para evaluar parámetros como tensiones internas, deformaciones y factores de seguridad bajo condiciones específicas de carga. Esto permite obtener resultados objetivos y reproducibles que validan la factibilidad estructural y funcional del diseño propuesto.

El desarrollo del diseño que muestra la norma VDI 2221 que se basa en siete etapas y cuatro fases, las cuales se observa en la imagen 50.

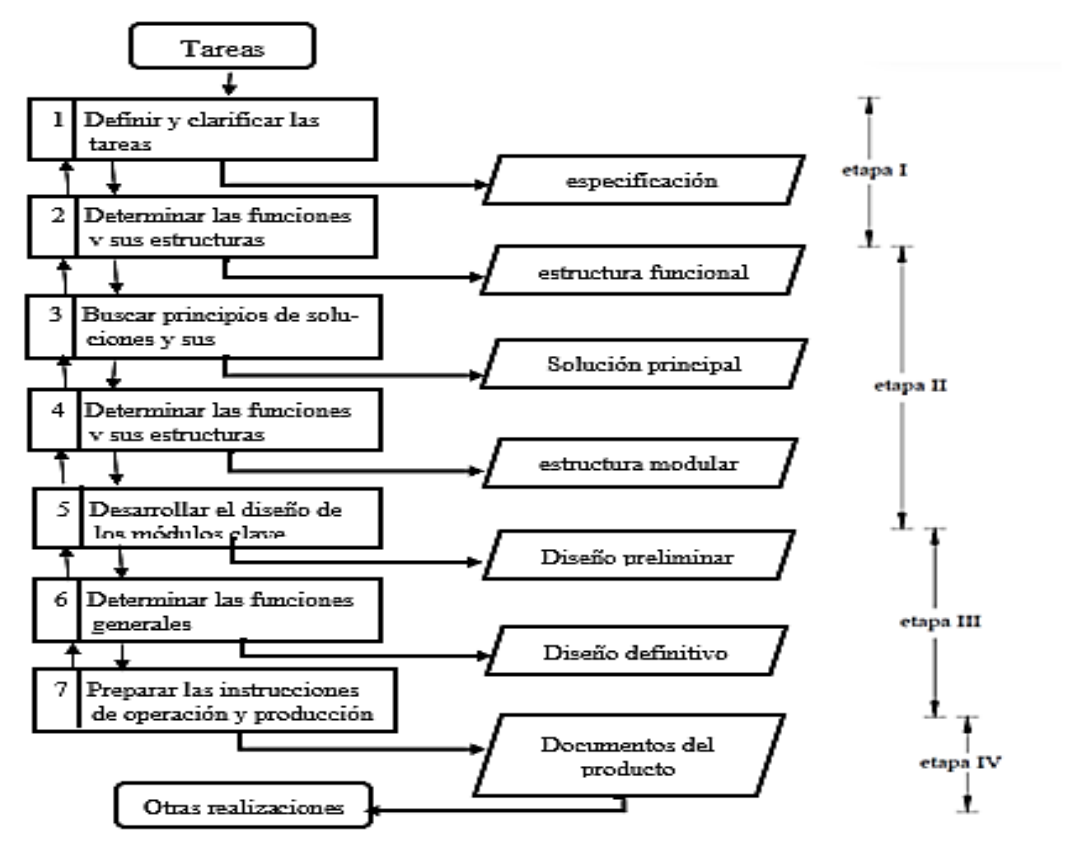


Figura 50. Distribución de diseño, según la norma VDI 2221. Tomada de Riba, 2002 (66)

Tabla 7. Características, etapas y objetivos de la norma VDI 2221

Metodología	Generalidades	Etapas	Objetivos
	/Características		
		Especificaciones	Clasificar y definir la tarea.
		Estructura de funciones	Definir funciones. Definir estructuras
	Entiende y analiza el problema profundamente. Detallado en cada etapa. Se estudian diversas soluciones en cada una de las etapas.	Búsqueda de soluciones	Buscar principales soluciones y combinaciones.
VDI 2221		Estructura de modelo	Decidir en módulos realizables.
		Arreglos	Determinar arreglos preliminares. Establecer los arreglos definitivos.
		Documentación	Preparar instrucciones de operatividad y producción.
		Realización	Elaborar el producto.

Tomada de Riba, 2002 (66)

La distribución de la Norma VDI 2221 está compuesta por 7 etapas, cada etapa con un resultado específico, que se especifican a seguidamente:

Tabla 8. Etapas de la norma VDI 2221

producto			
Realización del	Se desarrollan los documentos del producto final.		
producción)			
de operación y	di arrogio dellinuvo.		
(Preparar instrucciones	un arreglo definitivo.		
Arreglos (Preliminares y definitivos)	Se realizan bosquejos o diagramas preliminares de los módulos divididos para terminarlos en la etapa seis. Se refinan y desarrollan lo de la etapa cinco para llegar a		
Estructura de modelo (Decidir en módulos realizables)	Se realizan módulos y una estructura de módulos que simbolizan la descomposición de la solución en ensambles primordiales.		
Búsqueda de soluciones (Buscar principalmente soluciones y combinaciones)	Se basa en hacer una matriz morfológica con las soluciones posibles a las funciones referidas en la etapa dos. Asimismo, se hace una exploración de principios de solución para todas las funciones suplentes, y se adoptan en base a la estructura global de funciones en la solución principal.		
Estructura de funciones (Definir funciones y estructuras)	Se basa en determinar un diagrama de las funciones y subfunciones requeridas en el diseño.		
Especificaciones (Clasificar y definir la tarea)	Se basa en la especificación y requisitos de diseño, esta etapa es importante, ya que constantemente se repasa y mantiene renovada; pues en el proceso de diseño sufre diversas modificaciones y frecuentemente se realiza su análisis posterior; asimismo, se maneja como una referencia en todas las etapas subsecuentes.		

Tomada de Riba, 2002 (66)

La distribución de la Norma VDI 2221 se organiza en cuatro períodos, basadas en siete etapas del progreso. La primera fase aborda la investigación para la etapa uno; la segunda fase se ocupa en la producción del diseño, que incluye las etapas dos, tres y cuatro; la tercera fase se enfoca en la elaboración del proyecto, correspondiente a las etapas cinco y seis; y posteriormente, la cuarta fase se dedica a la ingeniería de detalles, basada en la etapa 7 (66).

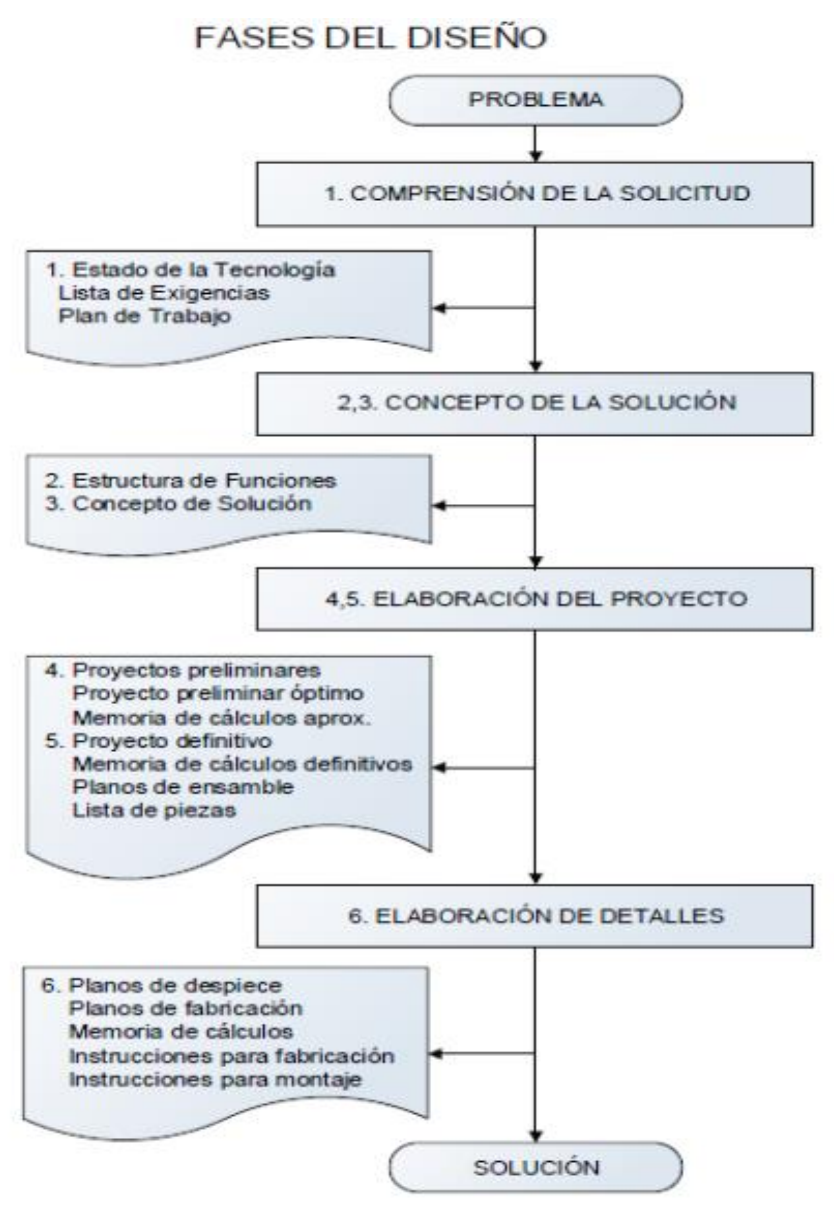


Figura 51. Fases del diseño de la VDI 2221 Tomada de Riba, 2002 (66)

Los objetivos de la metodología VDI 2221, son los siguientes:

 Certificar la satisfacción del cliente: avalar que los sistemas técnicos resueltos cumplan con las expectativas y requisitos de la persona. Lo cual implica la comprensión a fondo de los requerimientos del usuario y certificar de que el sistema final satisfaga sus requisitos de modo eficiente y efectivo.

Perfeccionar el rendimiento del sistema: centrándose en desarrollar sistemas técnicos que funcionen de modo óptimo en términos de calidad, rendimiento y confiabilidad. Esto implica la identificación y selección de los mejores conceptos de diseño, así como la implementación de prácticas de ingeniería que maximicen el rendimiento del sistema en diferentes condiciones operativas.

La metodología VDI 2221 se centra en desarrollar sistemas técnicos eficientes y efectivos, cumpliendo con los siguientes fines:

- Satisfacer los requerimientos del usuario mediante una comprensión profunda de sus necesidades.
- Optimizar el rendimiento del sistema en términos de confiabilidad, calidad y eficiencia.
- Minimizar riesgos identificando y mitigando problemas potenciales.
- Fomentar la innovación a través de la exploración de nuevas ideas y tecnologías.
- Facilitar la colaboración multidisciplinaria para abordar integralmente el desarrollo del sistema.
- Garantizar la calidad y fiabilidad del sistema mediante pruebas exhaustivas y verificaciones.

Estos objetivos se logran a través de:

- Análisis detallado de los requisitos del cliente.
- Identificación y selección de conceptos de diseño óptimos.
- Implementación de prácticas de ingeniería eficientes.
- Evaluación y mitigación de riesgos.
- Colaboración interdisciplinaria.
- Pruebas y verificaciones rigurosas.

La metodología VDI 2221 garantiza la entrega de sistemas técnicos que cumplen con los más altos estándares de confiabilidad, eficiencia y calidad.

3.2.1. Fase I: Información

La primera fase consiste en definir y analizar el problema, identificando los recursos necesarios para su solución. Esta etapa conocida como definición del proyecto abarca desde el principio del diseño hasta la programación detallada del proyecto.

- Etapa 1: Precisa y aclara la problemática
- ✓ Principió del diseño: identificar y documentar las necesidades y requerimientos del usuario, incluyendo características y exigencias específicas.
- ✓ Asumir la problemática de forma crítica: esclarecer malentendidos y manifestaciones indeseadas, incumplimiento el plazo de entrega, falsas construcciones, etc., con la finalidad de prevenir algunas consecuencias posteriores.
- ✓ Estado de tecnología (estado de arte): realizar la investigación y recopilación de información pertinente para el desarrollo del proyecto, abarcando catálogos, artículos científicos, patentes, tesis y libros especializados.
- ✓ Instalar prioridades, estructurarlas y cuantificarlas: estructurar y ordenar la información recopilada, creando una lista de exigencias que resume los requisitos y prioridades del proyecto.

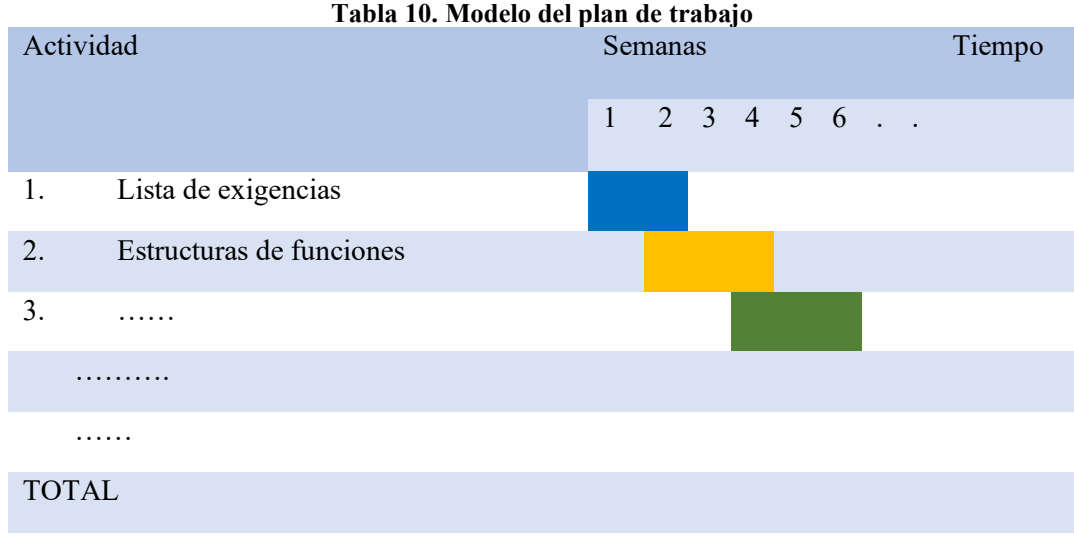
La lista de exigencia es un documento que recopila y clarifica las necesidades y requisitos de los usuarios, respondiendo interrogantes como: ¿qué necesidades satisface la solución del problema?, ¿Qué propiedades debe tener la solución? es importante distinguir entre deseos y exigencias, para posteriormente obtener las exigencias deseadas.

Tabla 9. Guía de lista de exigencias

LISTA DE EXIGENO	CIAS	EDICION:	Pag.De
PROYECTO:	ROYECTO:		Fecha:
			Autor:
Características	Deseo o Exigencia	Descripción	Responsable
-	-	-	-
-	-	-	-
-	-	-	-

Tomada de Riba, 2002 (66)

✓ Programación del progreso del estudio: abarca el progreso del método del trabajo con las acciones a desenvolver determinados en tiempo fijado por semanas.



Tomada de Riba, 2002 (66)

3.2.2 Fase II: Creación-concepto de solución

Se desarrolla la solución mediante la creación del diseño de un prototipo o artefacto de una máquina, continuando con los pasos establecidos, proporcionadas a las etapas 2, 3 y 4.

• Etapa 2: Fijar la estructura y funciones

Es un procedimiento de extracción, en el cual se representa todo el diseño como una sucesión de funciones, como la caja negra (BLACK BOX) poseyendo en cuentas las dimensiones primordiales.

- Materia: materia prima, líquidos, insumos, comestibles, etc.
- Energía: puede ser química, mecánica y energía térmica etc.
- Señales: magnitudes, datos impulsos de control, información visual, etc.



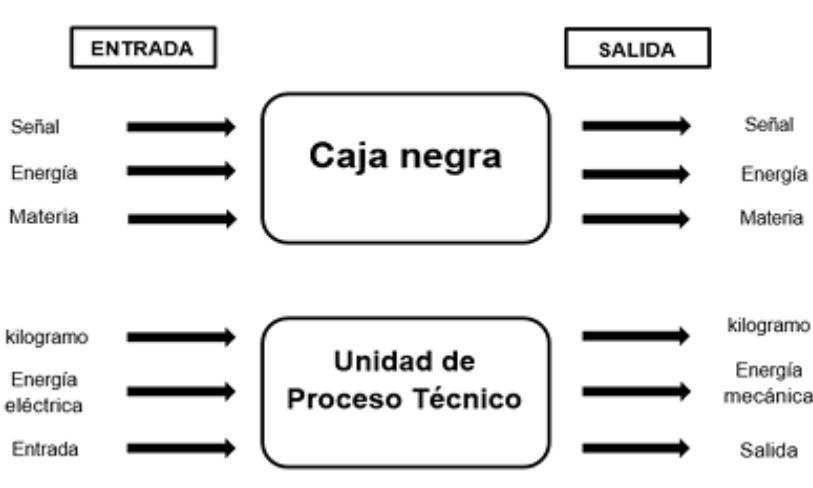


Figura 52. Ejemplo de Black-Box Tomada de Riba, 2002 (66)

Una vez establecidas las funciones principales, el diseño se descompone en funciones secundarias, proceso conocido como 'caja blanca'. En esta etapa, se especifican las subfunciones en relación con las variables de entrada y salida.

• Etapa 3: Búsqueda de su estructura y componentes de solución

Conocida como matriz morfológica en donde se integran y clasifican las funciones parciales reconocidas en la caja blanca para desarrollar conceptos de solución esto significa combinar funciones parciales para crear soluciones potenciales, también evaluar técnicamente cada opción para determinar su valides, realizando una evaluación económica para seleccionar la opción más óptima.

Tabla 11. Modelo de matriz morfológica

14014 1	er made of the m	muriz morrorogi				
Requerimiento del diseño	Alternativas de diseño					
Movimiento de entrada	Rotacional	Lineal	Oscilante	Etc		
Fuente de entrada	Una mano	Dos manos	Pie y mano	Etc		
Elemento de entrada	Cigüeñal	Biela	Palanca	Etc		
Elemento de salida	Torreta	Hélice	Pistón	Etc		
Movimiento de salida	Rotacional	lineal	Reciprocante	Etc		
Mecanismo	Engranaje	Articulación	corredera	Etc		

Tomada de Riba, 2002 (66)

- Etapa 4: Subdivisión en ejemplos viables
- Establecer la idea de solución óptima. Se llevará a cabo una valoración técnica y económica en las distintas opciones de solución de la matriz morfológica, junto con el listado de requerimientos, para asegurarse de cumplir con las exigencias de los usuarios.

Tabla 12. Ejemplo de evaluación de lista de exigencias

N°	Criterios técnicos y económicos según la lista de exigencia	Soluciones			
		S1	S2	S3	S Ideal
1					
2					
3					
-	•	•	-		
Ν					
Tota	al				N*4
Eva	luación (%)				1

Tomada de Riba, 2002 (66)

Evaluación técnica. - Se toma en cuenta la rigidez, rapidez, seguridad, transportabilidad, fácil manejo, peso de la máquina, calidad de trabajo, etc. Se determinará la óptima elección de solución.

Tabla 13. Ejemplo de evaluación del valor técnico

Vai	riantes de concep			ción 1	Soluci	ón 2	Soluci		Sol.	Ideal
pro	yecto		S1		S2		S3		Sid	lea1
1	Criterios de	g	P	gp	p	Gp	p	Gp	P	Gp
	evaluación									
2									4	
3									4	
				-	-		-	-	-	
n									4	
Pur	ıtaje									
Val	lor técnico									

Tomada de Riba, 2002 (66)

Nota: p=puntaje de 0 a 4, g=peso promedio en función de la importancia o calidad del criterio que se va a evaluar.

Evaluación económica: se toma en consideración el fácil montaje, número de piezas, costos diversos, poco desperdicio, etc.

Tabla 14. Ejemplo de evaluación del valor económico

Va	riantes de concep	to/	Solu	ción 1	Soluci	ón 2	Solu	ción 3	Sol. 1	[deal
pro	yecto		S1		S2		S3		S ide	al
N	Criterios de	g	p	gp	p	Gp	р	Gp	P	Gp
	evaluación									
1									4	
2									4	
-		-					-		-	-
n									4	
Pur	ntaje									
Val	lor técnico									

Tomada de Riba, 2002 (66)

Nota: P=puntaje de 0a 4, g=peso promedio en función de la importancia o calidad del criterio que se va a evaluar.

- Terminar la idea de solución óptimo para el boceto: se decretan las características del equipo a diseñar, luego de encontrar la solución perfecta.

Desarrollar la solución mediante un diagrama: Una vez determinadas las características del equipo, se elaborará un bosquejo a mano alzada de la solución óptima, detallando cada función secundaria y el secuenciamiento de las operaciones.

3.2.3 Fase III: Elaboración del proyecto

La fase 3 del proceso de diseño implica el desarrollo del proyecto en dos etapas clave: Principio de la configuración geométrica del equipo, definiendo su diseño básico final y evaluando restricciones técnicas. También se especifican materiales, tolerancias y se detalla el ensamble completo de la máquina que se desarrollaran en la etapa 5 y 6.

- Etapa 5: Estructuración de los módulos adecuados
- Proyecto preliminar. Percibe el principio del diseño geométrico de la máquina, diseño plasmado en un bosquejo, además fija limitaciones técnicas de modo iterativo como el montaje, fabricación, mantenimiento, volumen, peso, confiabilidad, seguridad contra accidentes, restricciones económicas, cuidado al medio ambiente, uso de elementos normalizados y estandarizados, manipulación, lugar de trabajo del equipo, etc., conjuntamente con las necesidades anotadas en el listado de requerimientos.
- Memoria de cálculos aproximados. simulación tentativa de cada producto, cálculos preliminares, funcionamiento del sistema, análisis cinemático y dinámico (software CAD).
- Etapa 6: Establecer el proyecto total
- Proyecto definitivo. Integración del diseño preliminar y especificación de: materiales, tolerancias, ajustes, y otras especificaciones técnicas; ensamblaje total de la máquina; lista de todos los elementos con sus respectivas normas y especificaciones técnicas.
- Memoria de cálculos definitivos. Cálculos precisos de la máquina, optimización de simulaciones para cada elemento, análisis dinámico y cinemático utilizando software CAD.
- Planos de ensamble. Planos detallados del ensamblaje completo de la máquina, incluyendo planos de explosión para facilitar el montaje y varias iteraciones para garantizar precisión y calidad.

3.2.4 Fase IV: Elaboración de ingeniería de detalles

Es la producción de planos de fabricación de cada pieza que compone el equipo, determinado de acuerdo con el ensamblaje.

- Etapa 7: Preparación de los documentos de construcción y usos.
- Realización definitiva de los planos de fabricación, incluyendo detalles sobre acabados superficiales, tolerancias, especificaciones de tratamientos térmicos y demás características relevantes.
- Análisis detallado de cálculos. Se hacen cálculos exhaustivos de la máquina y sus componentes mecánicos, incluyendo simulaciones precisas.
- Guía de fabricación. Se proporcionan instrucciones claras para la fabricación, utilizando diagramas de operaciones (DOP) o secuencias de instrucciones.
- Manual de ensamblaje. Se describe el proceso de ensamblaje de los componentes, detallando el orden y procedimientos.

CAPÍTULO IV

RESULTADOS Y DISCUSIÓN

La finalidad del presente capitulo es instaurar las bases del diseño con la metodología VDI 2221, por lo que se identificó los requerimientos, se analizó la solución y se diseñó las columnas primordiales y el diseño de la silla de ruedas de posicionamiento bípedo, con la intención de cumplir los objetivos fijados de perfeccionar el desempeño de los usuarios con paraplejía en la región Junín.

4.1. Identificación de requerimientos

El progreso de la primera fase comienza con una investigación minuciosa del problema, esta etapa inicial se enfoca en clarificar y definir los eventos futuros necesarios para la preparación del estudio, comenzando por el diseño inicial y culminando en la creación de la lista de requisitos.

4.1.1 Inicio del diseño

Durante la primera etapa, se recopiló información para confirmar el problema identificado. Además, se encontró un estudio sobre las personas con paraplejia en la región de Junín, tanto en el desarrollo de la enfermedad como en sus estadísticas y otros aspectos. El análisis del diseño de una silla de ruedas con postura bípedo se realizó en la región de Junín, donde se evaluaron diversas formas de mantener a las personas con paraplejia en una posición bípeda.

Se realizó la clarificación y definición de la tarea, estableciendo las necesidades para el diseño.

Tabla 15. Requerimientos para la silla de ruedas

Público Objetivo	Individuo de 20 a 64 años, que posea un peso máximo de 100 kg y		
	padezca discapacidad fisica tal como parapeljía.		
Normas a utilizar	Norma Técnica Peruana, ISO.13570-1:2005 y RESNA		
Seguridad	Cinturones a la altura del pecho y pelvis, ruedas antivuelco en la		
	parte delantera y cinturón de sujeción a la altura de la rodilla.		
Propulsión y	Las superficies, ángulo de ruedas y tipo de recubrimiento, son tales		
rozamiento a	que permiten el movimiento de la silla de ruedas con una fuerza de		
rodar	fricción baja (menor rozamiento).		
Antropometría y	La altura media de un individuo peruano es de 1.66 m. Según ello,		
ergonomía	las dimensiones generales de la silla de ruedas serán: Ancho de		
	0.65 a 0.7, Alto de 0.94 a 1-1 y Largo de 1.1 a 1.2.		
Bajo costo	Costo máximo de S/.3500.		
Mecanismo de	Se utilizará el mecanismo de elevación para lograr el bloqueo del		
elevación	avance de la silla de ruedas.		

Siendo los requerimientos del sistema, los siguientes:

- Función. La silla bípeda debe efectuar un semejante comportamiento al del ser humano durante el proceso de ponerse de pie desde una posición sentada. Este proceso lo hará el usuario de modo autónomo con un pulsador de sistema eléctrico.
- Energía. El sistema contará con una batería recargable, que ayude manejar el sistema de postura bípedo, que cuenta con una duración de 2 a 3 horas y podrá ser recargada a 220 VAC y 60 Hz.
- Señales. El sistema recibirá una señal del interruptor de control que está ubicado en el reposabrazos, el cual le permite accionar el mecanismo bípedo hacia arriba o hacia abajo.
- Ergonomía-confort. Se ofrece una posición anatómicamente más correcta. Los reposabrazos permanecerán con el usuario durante todo el recorrido de sentado a parado. Contando con la capacidad de detenerse en cualquier punto de accenso, lo que permite al usuario seleccionar la posición más cómoda. El acolchonado debe ofrecer comodidad al usuario, manteniéndose durante todo el proceso para llegar al posicionamiento bípedo. La altura del reposapiés es importante para una correcta colocación, para ello se regulará el reposapiés según el tamaño de la pantorrilla del usuario, contando este con tres ángulos; el estándar que es de 90° o puede cambiar el ángulo de 10° a 12° hacia adelante o hacia atrás.

- Material. Los materiales empleados en el sistema deben contar con suficiente resistencia, con una resistencia mecánica mínima de 75 kg/mm², tomando como referencia aquellos comúnmente utilizados en la fabricación de sillas de ruedas. Además, la estructura debe ser ligera para facilitar que el usuario pueda impulsarla con facilidad.
- Uso. El público objetivo son usuarios del espacio peruano, primordialmente de la región Junín, este sistema operará en temperaturas de 16 °C.
- Mantenimiento preventivo. Sera una vez al año, debido a que esta clase de equipo es parte
 de la rutina diario del usuario, también se recomienda no realizar por ningún motivo trabajos
 de reparación o mantenimiento de ningún componente del mecanismo de bipedestación en
 posición sentada.

4.1.2. Lista de exigencia

El conjunto de exigencias se establece en relación con los antecedentes de los problemas identificados en las etapas previas. Asimismo, se consideran los requerimientos y necesidades planteadas por los usuarios con paraplejía en la región de Junín. En la tabla 16, se halla la lista de requerimientos tomando en cuenta todas las exigencias trazadas por parte de los usuarios.

Tabla 16. Lista de exigencias

LISTA DE EXIGE	NCIAS	UNIVERSIDAD CONTINENTAL	Pág 1 de 3		
Diseño de una sill con mecanis	mo de	Facultad de Ingeniería	Fec ha	22/11/20 24	
posicionamiento l personas con para		E.A.P. Ingeniería Mecánica		Yeremy	
región Junín.		Área de diseño	Aut or	Brayan Espejo Palacios	
Características	Exigencia o deseo	Descripción	Respo	onsable	
FUNCION PRINCIPAL	Е	La silla de ruedas con posicionamiento bípedo se adaptará a la fisionomía de las personas con paraplejia de la región Junín, para poner de pie a la persona se accionará realizando el menor esfuerzo posible, hasta alcanzar un ángulo de levante de 85° siendo la capacidad máxima de peso de 100Kg.	Yeremy Espejo Palacios		
FUNCION PRIMORDIAL	Е	La silla de ruedas bípeda se operará al tocar un interruptor basculante y este activará un actuador eléctrico fácil de operar.	Yerer Palac	ny Espejo ios	
FUNCIÓN	Е	La postura bípeda de la silla de ruedas deberá ser seguro, confiable y fácil de manipular, sin riesgo de sufrir caídas, además podrá detenerse y estabilizarse en cualquier ángulo de 0° a 85° para beneficios de salud del usuario.	Yerer Palac	ny Espejo ios	
FUNCIÓN	Е	La silla de ruedas bípeda contara con un chasis ligero de 30 Kg para ser usada tanto exterior como interior, para una conducción activa compacta.	Yerer Palac	ny Espejo ios	
FUNCIÓN	Е	Para el posicionamiento bípedo de la silla de ruedas la velocidad de accionamiento del actuador lineal será de 35 mm/s.	Yeremy Espejo Palacios		
ENERGÍA	E	Para el posicionamiento bípedo/sentado de la silla de ruedas la energía que se usara es la corriente continua, ya que será alimentado a través de una batería de 12 V.	Yeremy Espejo Palacios		
MATERIAL	Е	Los mecanismos de la silla de ruedas con posicionamiento bípedos son de material inoxidable, como el aluminio 6061 y el acero de carbono ASTMA500, adecuados para la durabilidad y resistencia.	Yeremy Espejo Palacios		
MATERIAL	D	Los ejes de soporte del actuador lineal serán de tubos de material acero de carbono ASTMA500.	Yerer Palac	ny Espejo ios	

LISTA DE EXIC	BENCIAS	UNIVERSIDAD CONTINENTAL	Pág.	2 de 3
Diseño de una sil	la de ruedas	Facultad de Ingeniería	Fec	22/11/20
con mecanis	smo de		ha	24
posicionamiento	bípedo para	E.A.P. Ingeniería Mecánica		Yeremy
personas con para	aplejia en la		Aut	Brayan
región Junín.		Área de diseño	or	Espejo
				Palacios
Características	Exigencia	Descripción	Respo	nsable
	o Diseño	_		
GEOMETRÍA	Е	Las dimensiones de la silla de ruedas con		
		posicionamiento bípedo deben ser	Yeren	ny Espejo
		aproximadamente de 70 cm de altura, 100 cm	Palaci	os
		de longitud y 52 cm de ancho.		
SEÑALES	E	Se utilizar un foco led para iniciar el		
		movimiento del actuador lineal, ya sea para	Yeren	ny Espejo
		posicionarse en posición bípeda o sentada.	Palaci	os
FUERZA	E	La estructura de la silla de ruedas bípeda debe		
		tener suficiente estabilidad para soportar el	Yeren	ny Espejo
		peso del usuario, tanto en posicionamiento	Palaci	os
		bípeda y sentada.		
CINEMATICA	D	El tiempo de desplazamiento del mecanismo de		
		posición de sentado a bípedo y viceversa debe	Yeren	ny Espejo
		ser lento para tener una buena suspensión y	Palaci	os
		estabilidad.		
SEGURIDAD	Е	La silla de ruedas con posicionamiento bípedo		
		deberá contar con cinturones a la altura de la		
		pelvis y pecho, cinturón de sujeción al nivel de		ny Brayan
		la rodilla y una correa en la pantorrilla para	Espej	o Palacios
		evitar que las piernas se deslicen para atrás.		
SEGURIDAD	E	La silla de ruedas con posicionamiento bípedo		
SEGURIDAD	E	deberá de contar con seis puntos de estabilidad		
		contra el suelo que garantizar una posición de		
		apoyo sólida y segura, contando también con	Varan	ny Brayan
		ruedas antivuelco en la parte posterior para		o Palacios
		evitar caídas al momento de bajar y subir	Espej	o Falacios
		escaleras.		
MEDIO	E	La silla de ruedas no debe formar efectos		
AMBIENTE	-	contaminantes a gran escala si no efectos	Vac-	arr Eas-i-
		mínimos y ser controlados a través de un plan	Palaci	ny Espejo
		de mantenimiento.	r atac	108
ED CONTOR # :	D			
ERGONOMÍA	D	Mecánica corporal optima y adaptada en todas		
		las posiciones sentado y de pie, también ajuste		ny Espejo
		sencillo, configurable y adaptable a preferencia individual.	Palaci	los
ERGONOMÍA	E	Los Reposapiés deben ser regulable y		_
		contraíble según la longitud de la pantorrilla,		ny Brayan
		para una correcta posición tanto de sentado	Espej	o Palacios
		como de pie.		

LISTA DE EXIGE	NCIAS	UNIVERSIDAD CONTINENTAL	Pág.	3 de 3	
Diseño de una silla	de ruedas	Facultad de Ingeniería	Fec	22/11/2	
con mecanism			ha	024	
posicionamiento b		E.A.P. Ingeniería Mecánica		Yeremy	
personas con parar	olejia en la	Área de diseño	Aut	Brayan	
región Junín.				Espejo	
				Palacios	
Características	Exigenci a o Deseo	Descripción	Responsable		
ERGONOMÍA	Е	La altura y ángulo del reposabrazos podrá ser ajustable, también se podrá regular la altura del respaldar, para una mayor comodidad, la tapicería del respaldo y asiento se podrán apretar para una postura más erguida o relajar para un soporte más contorneado.	Yerer Palac	ny Espejo ios	
ERGONOMIA	E	El punto centro de gravedad de la silla de ruedas se podrá ajustar, dependiendo de la profundidad del asiento y la distancia entre ejes, esto se obtendrá al ajustar el tubo del eje de la rueda trasera, ya sea adelante o hacia atrás esto puede aumentar o disminuir la carga de la rueda delantera.	Yerer Palac	ny Espejo ios	
ERGONOMIA	Е	La hondura del asiento de la silla de ruedas bípeda se podrá ajustar para que se adapte a la distancia de la parte superior de la pierna del usuario, también se podrá ajustar el ángulo del respaldo.	Yerer Palac	ny Espejo ios	
FABRICACIÓN	Е	Al diseñar las piezas mecánicas, se tendrá en cuenta la facilidad de fabricación en función de la tecnología disponible localmente.	Yerer Palac	ny Espejo ios	
FABRICACIÓN	Е	En el diseño de los componentes mecánicos se considerará lo simple para la fabricación en relación con la tecnología local.	Yerer Palac	ny Espejo ios	
FABRICACIÓN	Е	La silla de ruedas con posición bípedo podrá ser construida en talleres locales y serán construidos con materiales disponibles en el mercado local.	Yerer Palac	ny Espejo ios	
MANTENIMIEN TO	Е	Los componentes y sistemas de la silla de ruedas con posicionamiento bípedo deben ser de fácil mantenimiento. Además de la limpieza normal generalmente no requerirá de mantenimiento los diferentes componentes.	Yeremy Espejo Palacios		
MANTENIMIEN TO	D	La carga regular de la batería debe ser por las noches para poder usar la silla de ruedas bípeda durante el día y se debe verificar el interruptor de control.	Yerer Palac	ny Espejo ios	
COSTOS	Е	Los costos de fabricación y mantenimiento de la silla de ruedas con posicionamiento bípedo deben ser mínimos y accesibles para personas con paraplejia.	Yerer Palac	ny Espejo ios	

4.1.3. Planificación del desarrollo del proyecto

El cual se explicará a través de las acciones de la metodología, se tiene en cuenta por fases y etapas; mostradas de la siguiente forma.

Tabla 17. Planificación de desarrollo del estudio

	1 81.)1a 1 /	. Planific PLANI							vu	U	ue	ı e	Si	ии	ιυ										
Tesista			12111	ESPE						Y BF	RAY	AN														
Fecha de inicio	1/10/2024																									
Fecha de termino		30(02/2025																								
I veil ov while				SEMANAS																						
	A COTTE TO A DOTO	2.2	PEGIPAGA	-		0.0			0.6.0	_		20 1		_			_		246						0.00	0.00
TIEM	ACTIVIDADES	DUR	RECURSOS	81	82	83	84	85	20 8	7	88	89 8	\$ 10	811	812	813	814	815	816	817	818	819	820	821	S22	823
100	METODOLOGIA DEDISEÑO	23																								
1.00	Fase I: Informacion	4	/						4	4	4	4		_	4									_	Ш	L
1.10	achracion y delimitacion de problema	1	Word						_	_	_	_		_	_											L
1.20	Estado de la tecnologia	1	Word						_		_	_													Ш	L
13.00	Lista de exigencias	1	Word	_					_			_														L
1.40	Planificacion de actividades	1	Excel																							L
2.00	Fase II: Concepto de solución	5																								L
2.10	Caja negra	1	Word/ Excel																							
230	Estructura de finciones	1	Word/ Excel																							
2.40	Matriz morfologica	1	Word/ Excel																							Γ
2.50	Conceptos de solución	1	Word/ Excel																							Γ
2.60	Concepto solución optimo	1	Word/ Excel																							Γ
3.00	Fase III: E laboración del diseño	8																								
3.10	Proyectos preliminares	3																								Г
3.1.1	Proyecto preliminar optimo	1	Word																							Γ
3.1.2	Memoria de calculos aprox	2	Word																							Г
3.2.0	Proyecto definitivo	5																								Г
3.2.1	Memoria de calculos definitivos	2	Word																							Г
3.2.2	Simulacion de componentes	1	S olid words			Г			T			\top													П	Г
3.2.3	Planos de ensamb le	1	S olid words			Г			\top			\exists													П	Г
3.2.4	Lista de piezas	1	S olid words			T			1	1		7														Г
4.00	Fase IV: Elaboración de detalles	6							\top	7	7	\forall														
4.10	Memoias de calculo, diagramas	2	Word	\dagger		T			\top	1	1	1														
4.20	Planos de fabricación	2	S olid words	\dagger		Т			\top	1	1	\dashv													П	Г
4.30	Costo de fabricación	2	Excel			H			\top	\forall	\dashv	\dashv	\dashv	\dashv	\dashv	\neg										
		_		+	-	_	Н		+	\dashv	-	-	-	_	_	_				\vdash	\vdash			\vdash		_

LEYENDA								
Avance proyectos de diseño								
	Avance partes de fase							
	Avance fase							
	Avance metodología de diseño							

En la tabla 17 se presenta la programación de la tesis, estimándose una duración promedio de 23 semanas, equivalente aproximadamente a 6 a 8 meses, para la realización de los cálculos, el desarrollo del diseño, la elaboración de planos de ensamblaje, la fabricación del prototipo de la silla de ruedas, entre otras actividades.

4.1.4. Análisis de la solución

4.1.4.1. Caja negra (*black box*)

La caja negra (*Black Box*), detalla los ingresos correspondientes de los recursos en la silla de ruedas e igualmente las salidas convertidas de los presentes recursos en modo tangible.

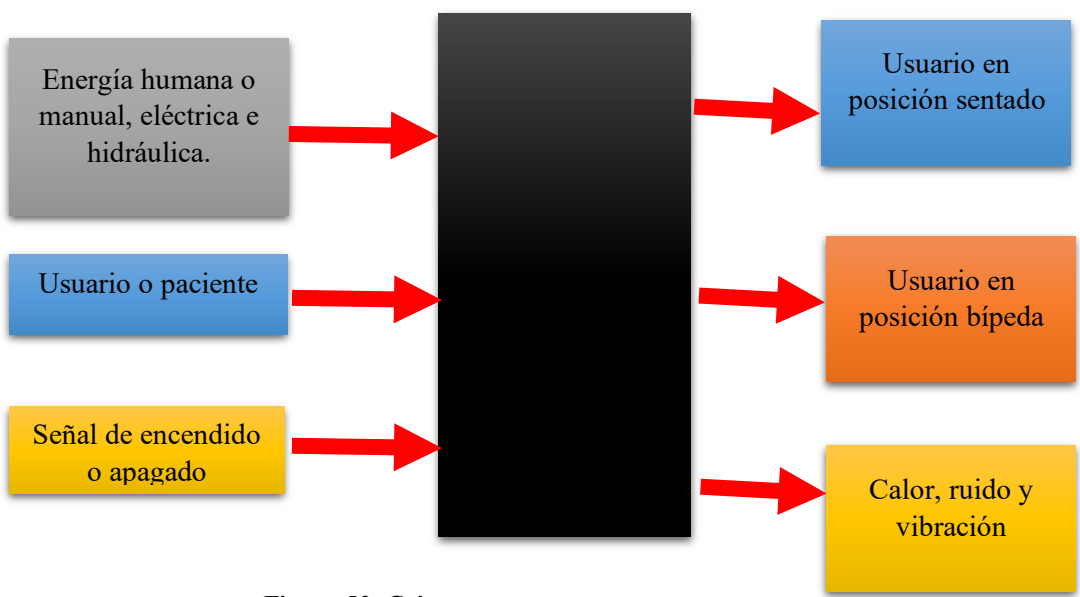


Figura 53. Caja negra

a) Entradas

Los planteamientos que permitirán dar el inicio al accionamiento de los mecanismos de la silla de ruedas para su disposición del cliente son los siguientes:

- Energía del usuario: la fuente de energía que accionará los cinturones de seguridad, los mecanismos de ajuste, deslizamiento y regulación de la silla de ruedas será suministrada por el propio usuario o por un asistente encargado de brindar soporte.
- Usuario y/o paciente: después de la activación de los cinturones de seguridad, ajustar, activación y deslizamiento se requiere la participación del paciente como juicios de entrada para iniciar con las sucesivas actividades adentro del sistema.
- Encendido/apagado: activada por el cliente para arrancar el sistema antes de operarlo.

b) Salidas

Es la consecuencia que se logra después de hacer movimientos íntimamente en el sistema.

- Individuo en posición sentado: después de ponerse los sistemas de seguridad, el cliente puede trasladarse en la silla y usarlo como una convencional.
- Individuo en posición vertical: tras detener y activar los dispositivos de seguridad y el mecanismo de elevación, el usuario adopta una postura vertical para llevar a cabo las tareas requeridas
- Ruido, calor y vibración: al impulsar los mecanismos, existen inclinaciones relativas que ocasionan roce entre los elementos y el fruto de ello es ruido, calor y vibración.

4.1.4.2. Estructura de funciones (caja blanca)

Con los criterios de diseño y utilizando la metodología VDI 2221, se establecerá una estructura funcional que facilitará la comprensión del funcionamiento del equipo. Se identificarán los procesos necesarios para el empleo apropiado de la silla de ruedas, así como las variables de entrada y las actividades que se deben establecer para obtener los resultados ansiados.

La función trascendental de la silla de ruedas es permitir un posicionamiento erguido, lo cual se logra mediante dos movimientos clave: la rotación del asiento y del respaldo.

La rotación del asiento constituye un movimiento asistido por un actuador lineal, que posibilita girar el respaldo en torno a un punto de apoyo ubicado en el asiento. Esta función es fundamental para alcanzar la posición bípeda y, además, permite ajustar el respaldo conforme a las preferencias del usuario.

La rotación del asiento se realiza en relación con un lugar de soporte en la estructura principal, también mediante un actuador lineal. Este movimiento permite ajustar la altura del asiento según las necesidades del cliente.

a) Actividades en el sistema

Las acciones comprenden ajustar el funcionamiento de la silla de ruedas, accionar y detener el mecanismo de elevación, activar y desactivar los dispositivos de seguridad, así como permitir su desplazamiento. Las tres actividades principales son las siguientes:

 Bloquear la silla de ruedas. - Consiste en trabar las ruedas posteriores para posicionar al cliente. Luego, se activará el sistema de seguridad y finalmente se desbloquearán las ruedas posteriores para permitir el desplazamiento.

- Activar el mecanismo de elevación. Consiste en detener la silla de ruedas y bloquear las ruedas, así como colocar los dispositivos de seguridad. A continuación, se acciona el mecanismo de elevación para colocar al paciente en posición vertical
- Desactivar el mecanismo de elevación. Comienza con la activación del mecanismo retráctil, seguido de la desactivación de los dispositivos de seguridad y, por último, el desbloqueo de las ruedas posteriores para el traslado del usuario.

Posteriormente se realizó la estructura funcional, se muestra en la figura 54.

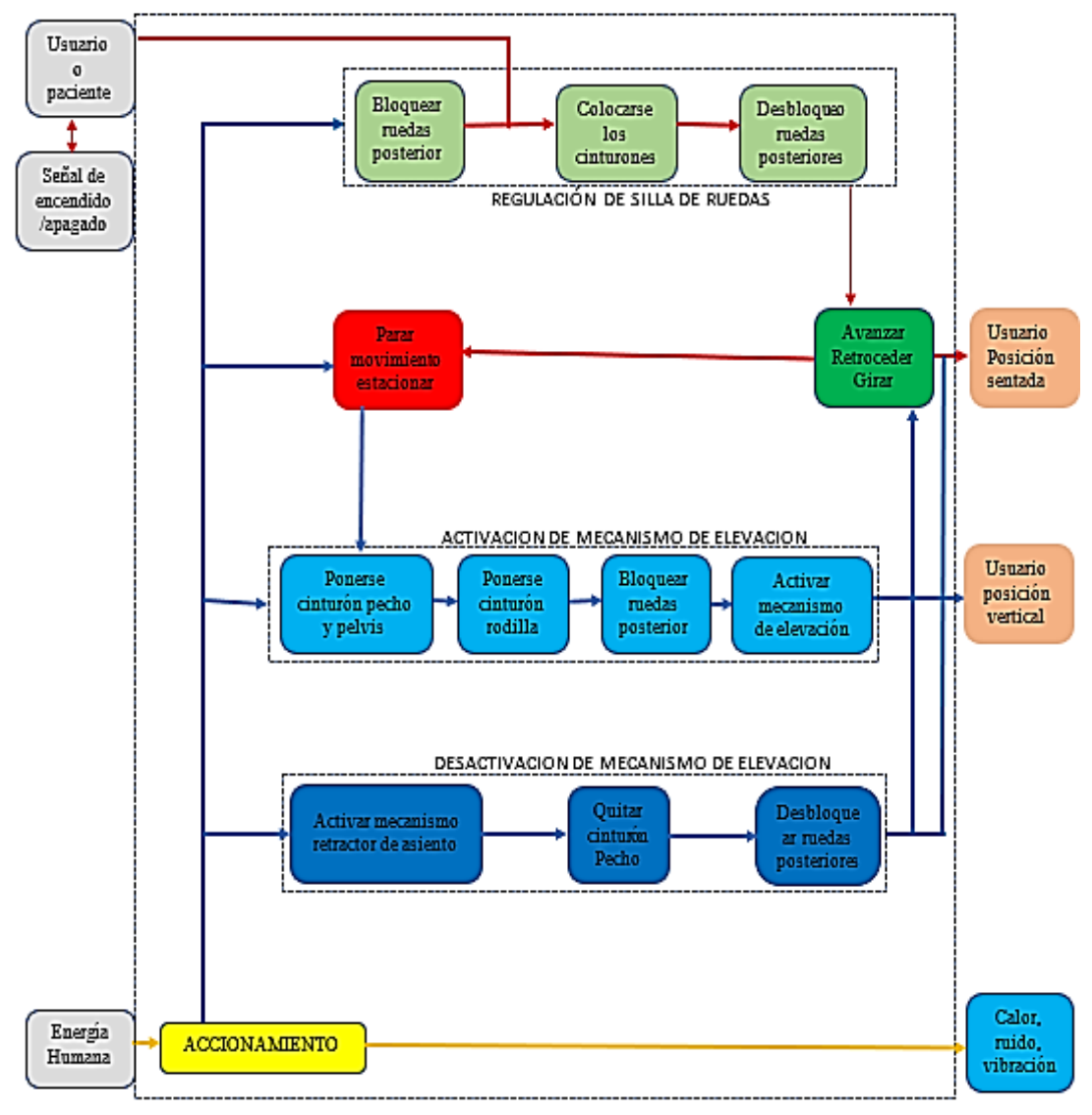


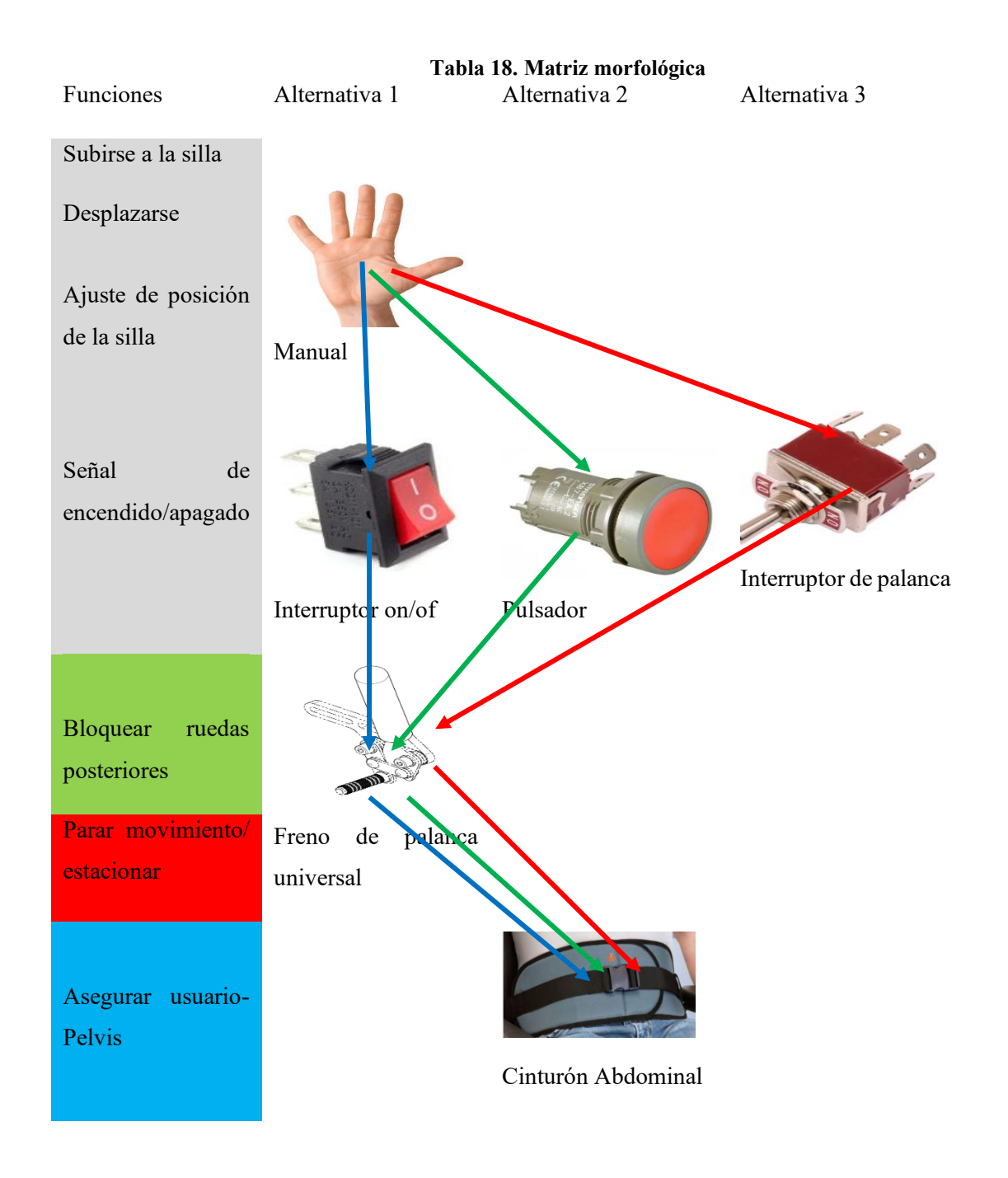
Figura 54. Estructura funcional

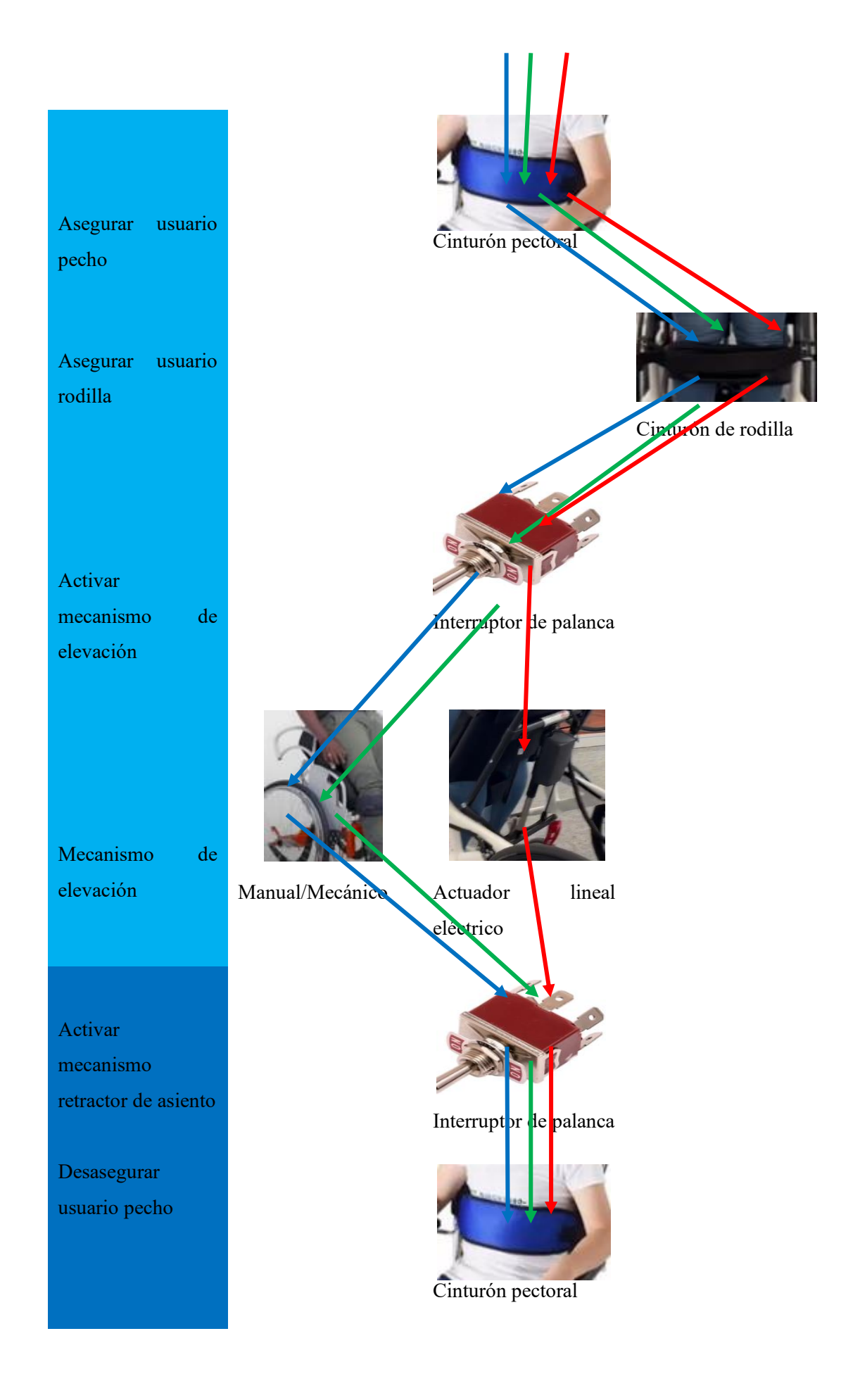
4.1.4.3. Matriz morfológica

Durante la fabricación de la matriz morfológica, se enumeraron todos los subprocesos o actividades necesarios para cumplir con los fines de la tesis. En cada actividad o subproceso,

se incluyeron todas las soluciones encontradas que contribuirán a alcanzar dichos objetivos. Estas soluciones posibles corresponden a los componentes distintos que formarán la silla de ruedas, proporcionando un conocimiento profundo de todos los componentes esenciales.

La matriz morfológica fue elaborada cumpliendo la metodología VDI 2221, lo que resultó en tres ideas de solución que serán evaluadas económicamente y técnicamente en su debido momento.









universal



4.1.4.4. Ideas de solución

Las ideas de solución surgen a partir de la selección de los componentes principales, asegurando que contribuyan al correcto funcionamiento de la silla de ruedas. Esto permite definir un conjunto de elementos y componentes que integrarán el dispositivo. Para la elección de cada componente se empleará la matriz morfológica, a partir de la cual se generarán tres ideas de solución que serán evaluadas según criterios económicos y técnicos.

a) Idea solución 1. - La silla de ruedas mantiene un ángulo de verticalidad constante y los reposapiés se encuentran a altura fija. Está equipada con frenos tipo tijera para su estacionamiento y un cinturón de seguridad de dos puntos a nivel de pelvis y rodillas. Para mayor seguridad, incorpora ruedas antivuelco en la parte delantera. La rueda delantera es maniobrable para facilitar el traslado, mientras que la rueda trasera es de mayor tamaño. La dirección y propulsión pueden ser asistidas o manuales mediante aros de empuje por parte del usuario. El mecanismo de elevación utiliza un actuador con resorte de gas comprimido, activado mediante palanca, y el chasis se mantiene rígido para garantizar estabilidad.

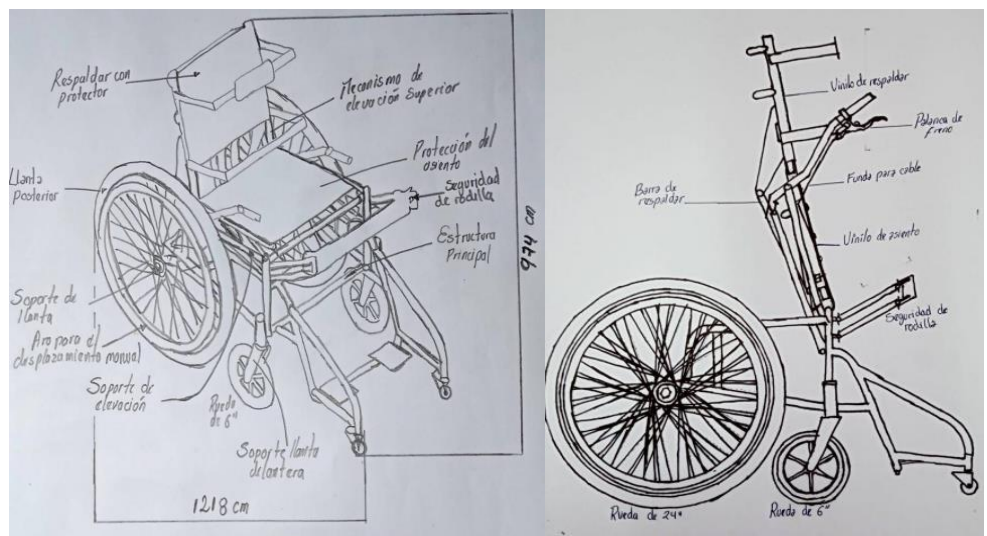


Figura 55. Idea solución 1

b) Idea solución 2. - Poseerá chasis rígido, tendrá un actuador lineal eléctrico para el posicionamiento bípedo que será accionado por un pulsador. El reposapiés ira 30 mm del suelo tanto en posición sentado como posición bípeda y así obtener los 6 puntos de apoyo permanentemente, los reposabrazos serán rectos y ambos fijos, se tendrá frenos tipo tijera. Poseerá un cinturón pectoral y una correa de seguridad a la altura de la rodilla de dos sitios. Para facilitar el traslado la rueda delantera es conducible y la rueda trasera es de tamaño mayor. Puede ser asistida por un tercero. Los puntos de giro serán a través de eslabones, contara con un chasis ovalado. Se podrá desplazar tanto en exteriores como interiores.

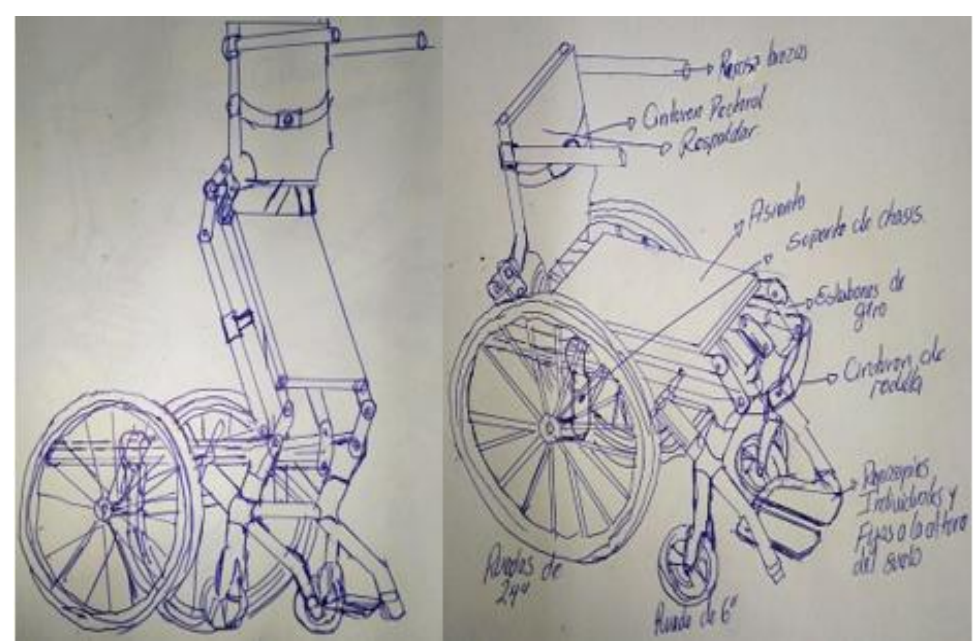


Figura 56. Idea solución 2

c) Idea solución 3. - Conservará el ángulo de verticalidad fijo, será fácilmente configurable y convertible según las necesidades individuales, la altura de los reposapiés será abatible, tendrá frenos tipo tijera. Contará con cinturones de dos puntos en el pecho, pelvis y un soporte ajustable para pies y piernas, asimismo, el usuario al estar en posición bípeda tendrá seis puntos de apoyo contra el suelo y para que el usuario tenga una mejor confianza al moverse en terrenos irregulares se usaran ruedas antivuelco en la parte posterior. Poseerá ruedas delanteras pequeñas y dirigible y ruedas traseras de mayor tamaño para el desplazamiento que contará con guardas de protección para las manos. La propulsión y dirección puede ser manual o asistida, con aros de empuje usados por el cliente, mientras que la estructura de elevación tiene un actuador lineal eléctrico que le ayuda al usuario alcanzar la posición de pie con solo tocar un interruptor, conjuntamente con los amortiguadores a gas obtendrán mayor confort y una mejor suspensión. Finalmente, el chasís es rígido.

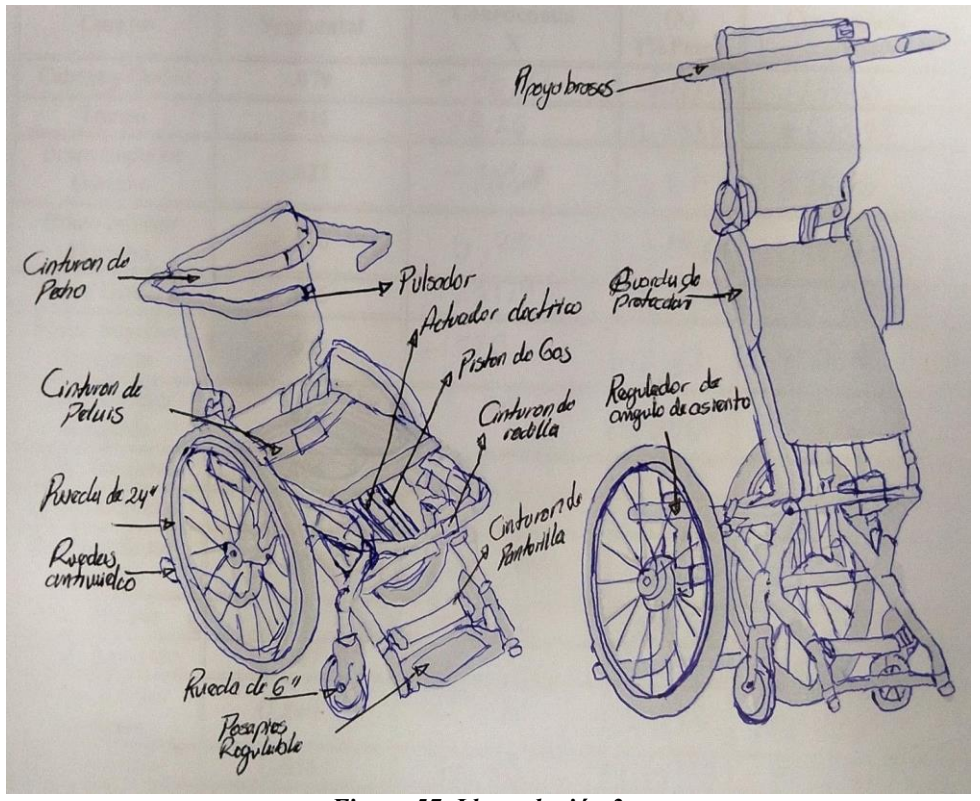


Figura 57. Idea solución 3

4.1.4.5. Decisión de la solución ideal

a) Evaluación de la lista de exigencias

La tabla de requisitos mencionada anteriormente se valora según los resultados conseguidos en la matriz morfológica. Para ello, se emplea una tabla de estimación basada en la metodología VDI 2221, la cual recomienda un sistema de puntuación de 1 a 4, siendo 4 la clasificación más alta y óptima.

Tabla 19. Evaluación de lista de exigencias

N.°	Criterios técnicos y económicos		Soluciones					
IN.		S1	S2	S3	S ideal			
1	Seguridad	2	3	4	4			
2	Rapidez	2	3	4	4			
3	Estabilidad	2	3	4	4			
4	Eficiencia	2	3	3	4			
5	Manipulación	3	3	3	4			
6	Confiabilidad	3	3	4	4			
7	Facilidad de manejo	3	2	4	4			
8	Transportabilidad	2	2	4	4			
9	Calidad de trabajo	2	2	3	4			
10	Complejidad	3	2	3	4			
11	Automatización	3	4	4	4			
12	Número de piezas	3	2	3	4			
13	Fácil adquisición de materiales	3	3	3	4			
14	Productividad	2	3	3	4			
15	Costos diversos	3	3	3	4			
16	Número de operarios	2	2	4	4			
17	Costos de tecnología	2	3	3	4			
18	Facilidad de montaje	2	3	3	4			
19	Facilidad de mantenimiento	3	3	3	4			
20	Costos de operación	3	3	3	4			
Total		56	60	74	88			
	Evaluación (%)	63.64%	68.18%	80.68%	100%			

En la tabla 19, se contempla los resultados a comparación porcentual de las tres soluciones siendo 63.64 %, 68.18 % y 80.68 %.

b) Valorización técnica

El valor técnico se determina mediante una evaluación que utiliza la escala de valores establecida en la norma VDI 2221, la cual define los factores de valoración tanto desde el punto de vista técnico como económico.

El puntaje está en el rango de 0 a 4; en donde:

0 = No cumple; 1= Aceptable; 2 = Suficiente; 3 = Bueno, 4 = Excelente (ideal)

g = El peso ponderado se determina según la relevancia de los criterios de evaluación.

$$X_{1} = \frac{g_{1+}p_{1+}g_{2+}p_{2+}\dots g_{n+}p_{n}}{(g_{1+}g_{2+}\dots g_{n}) + Pideal} \le 1$$
 Ec. (19)

Tabla 20. Evaluación técnica

DISEÑO MECÁNICO - EVALUACIÓN DE PROYECTO - VALOR	U.C
TECNICO (Xi)	Y.B.E.P.

PROYECTO: Diseño de una silla de ruedas con posicionamiento bípedo para personas con paraplejia en la región Junín.

Criterios de evaluación para diseños en fase de conceptos o proyectos.

	Variantes de concepto/ proyecto			ión 1	Soluci	ión 2	Solu	ción 3	Sol. Ideal S ideal		
· armines de conceptos projecto		s	S1	s	32	S	3				
N.º	Criterios de evaluación	g	р	gp	P	gp	P	gp	р	Gp	
1	Función	9	3	27	3	27	4	36	4	36	
2	Geometría	7	3	21	2	14	3	21	4	28	
3	Eficiencia	10	3	30	2	20	3	30	4	40	
4	Ergonomía	9	3	27	3	27	4	36	4	36	
5	Rapidez	6	2	12	3	18	3	18	4	24	
6	Fabricación	8	3	24	3	24	3	24	4	32	
7	Montaje	7	3	21	3	21	3	21	4	28	
8	Mantenimiento	8	2	16	3	24	4	32	4	32	
9	Transportabilidad	8	2	16	2	16	3	24	4	32	
10	Seguridad	9	2	18	3	27	4	36	4	36	
11	Estabilidad	10	2	20	3	30	4	40	4	40	
12	Facilidad de manejo	8	3	24	3	24	3	24	4	32	
13	Complejidad	8	3	24	3	24	3	24	4	32	
Puntaje máximo			34	280	36	296	44	366	52	428	
Valor Técnico (%)			65	5.38%	69	.23%	88	.61%	100.00%		

c) Valoración económica

El puntaje está en el rango de 0 a 4; en donde:

0 = No cumple; 1= Aceptable; 2 = Suficiente; 3 = Bueno, 4 = Excelente(ideal)

g = El peso ponderado está en base de la importancia de los criterios de evaluación.

$$X_{1} = \frac{g_{1+}p_{1+}g_{2+}p_{2+}\dots g_{n+}p_{n}}{(g_{1+}g_{2+}\dots g_{n}) + g_{ideal}} \le 1$$
 Ec. (20)

Tabla 21. Evaluación económica

DISEÑO MECÁNICO - EVALUACIÓN DE PROYECTO – U.C VALOR ECONÓMICO (Xi) Y.B.E.P.

PROYECTO: Diseño de una silla de ruedas con posicionamiento bípedo para personas con paraplejía en la región Junín.

Criterios de evaluación para diseños en fase de conceptos o proyectos

Variantes de concepto/ proyecto			Solu	ción 1	Solue	ción 2	Solue	ción 3	Sol. Ideal		
''	variantes de concepto, proyecto		S1		S	52	S	33	S ideal		
N.º	Criterios de evaluación	G	р	gp	p	gp	P	gp	p	Gp	
1	Costos de material	9	2	18	3	27	4	36	4	36	
2	Costos de fabricación	8	3	24	3	24	4	32	4	32	
3	Costos de montaje	9	2	18	3	27	3	27	4	36	
4	Costo de la tecnología	7	2	14	2	14	3	21	4	28	
5	Costos de mantenimiento	8	3	24	3	24	4	32	4	32	
Puntaje máximo		12	98	14	116	18	148	20	164		
Valor Económico (%)		59.76%		70).73%	90	0.24%	100.00%			

d) Evaluación de resultados

Tabla 22. Valor económico y técnico

Descripción	Valorización	Valorización
	Técnica (%)	Económica (%)
Solución 1	65.38%	59.76%
Solución 2	69.23%	70.73%
Solución 3	88.61%	90.24%

En la tabla 22 se observan las ideas de solución siendo la idea de solución 3 la más aceptable.

e) Toma de decisión

La ideal solución se determina a través un diagrama de dispersión, donde se comparan los resultados previos, considerando todas las medidas y los requerimientos de los usuarios, como se ilustra en la figura 58.

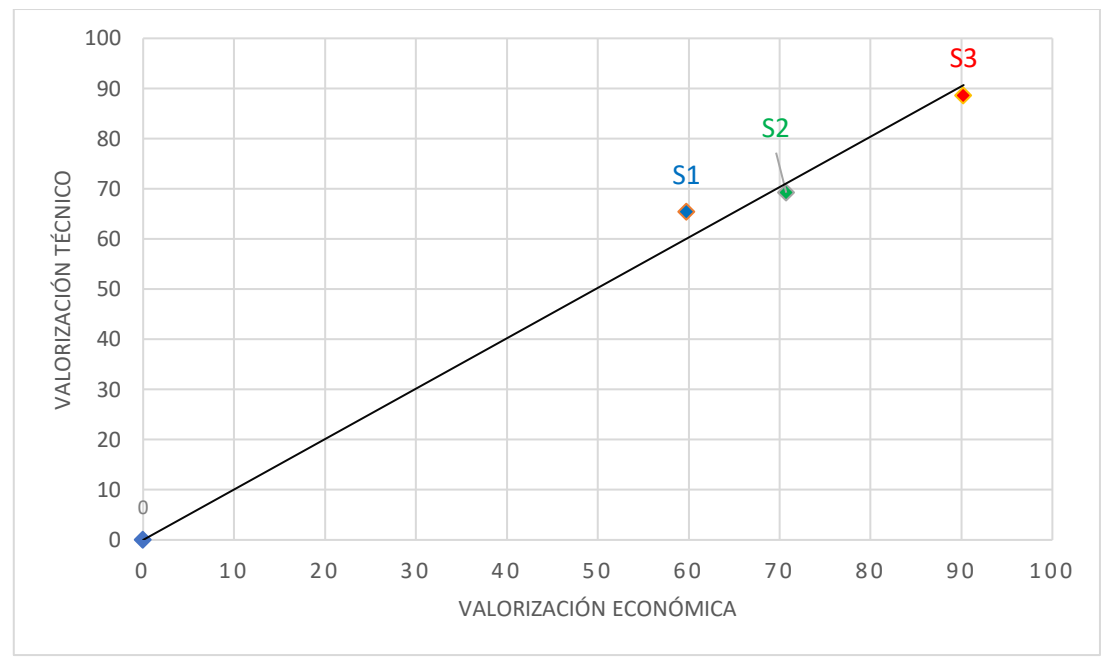


Figura 58. Gráfico de decisión

En la figura 58 se aprecia que el concepto de la solución 3 se aproxima más a la línea de 45°. Por lo tanto, la solución 3 se considera como el diseño conceptual ideal.

El diagrama de distorsión en la imagen 58 muestra que las soluciones evaluadas están más cerca de la línea recta. En particular, la solución 3 (indicada en rojo) destaca con un 88.61% en el eje "X" y un 90.24% en el eje "Y". Esta opción fue seleccionada debido a las exigencias de los usuarios.

4.2. Selección de materiales y medidas

El material y las medidas se seleccionarán realizando cálculos de momento flector máximo, tención máxima y se comparara con las propiedades del material seleccionado.

Para la estructura de la silla de ruedas bípeda para personas con paraplejia en la región Junín se comparó diferentes tipos de materiales, así obteniendo beneficios del material seleccionado como bajo costo, con bajo peso para que la silla pueda ser ligero y tener una mejor maniobrabilidad tanto en interiores y exteriores, contando con una excelente soldabilidad y facilidad de fabricación para ello se seleccionó el aluminio 6063-T5 (usa magnesio (Mg) y silicio (Si) templado y envejecido artificialmente después de la extrusión).

Asimismo, se usará acero al carbono ASTM-A500 para los soportes del actuador, ya que ofrece alta resistencia mecánica y tiene un bajo costo, cada uno de los componentes poseerá un factor de seguridad mínimo deberá ser mayor a 2.

Tabla 23. Materiales para fabricar componentes de la silla de ruedas

Material	Peso Resistencia Soldabilidad Costo Uso común				
	(densidad)	mecánica			silla de ruedas
Aluminio	Ligero	Moderada	Excelente	Medio	Marcos,
6063-T5	(2.70	(UTS-190			componentes
	g/cm³)	MPa)			estructuras
					livianas
Aluminio	Ligero	Alta (UTS-	Dificil	Alto	Partes de alta
7075-T6	(2.81	570 MPa)			carga como
	g/cm³)				articulación
Acero	Pesado	Muy alta	Buena	Medio	Ejes,
Inoxidable	(7.9 g/cm ³)	(UTS-			componentes
		520MPa)			que requieren
					gran durabilidad
Titanio	Muy ligero	Alta (UTS-	Regular	Muy	Marcos
(grado 2)	(4.5 g/cm ³)	350 MPa)		alto	premium,
					prótesis,
					estructuras
					avanzadas
Fibra de	Ultraligero		No soldable	Muy	Marcos de alto
carbono	(1.6 g/cm ³)	(anisotrópic		alto	rendimiento,
		a)			partes móviles
					ligeras
Plásticos	Ligero (-	Moderada-	No aplica	Bajo	Carcasas,
reforzados	1.1-1.4	baja			cubiertas, piezas
(como	g/cm³)				no estructurales
ABS o					
nylon con					
fibra)					

4.2.1. Criterios de diseño mecánico aplicados a componentes estructurales

En el diseño de la silla de ruedas bípeda se han considerado factores de seguridad con base en principios de ingeniería mecánica tomando como referencia los lineamientos de la norma ISO 7176, la cual establece requisitos de resistencia estructural a través de métodos de prueba estandarizados.

Si bien este estudio no contempla la realización de ensayos físicos, se han definido factores de seguridad adecuados para cada componente estructural y funcional, con el fin de garantizar la resistencia ante las cargas estimadas durante el uso habitual del dispositivo. A continuación, se indican los factores de seguridad de componentes que estarán realizando mayor esfuerzo al ponerse de pie que serán comparados con las pruebas realizadas (64):

Tabla 24. Factores de seguridad

Componente	Factor de seguridad asumido	Justificación técnica
Chasis / estructura principal	2.5	Soporta la carga total del usuario y posibles momentos generados durante la bipedestación.
Sistema de bipedestación (palancas, actuadores, articulaciones)	3.0	Se somete a esfuerzos dinámicos y representa un sistema crítico para el cambio de postura.
Frenos de palanca	2.5	Su función es detener el sistema en superficies planas e inclinadas, lo que requiere alta fiabilidad.
Ruedas y ejes	2.0	Elementos móviles que soportan peso y permiten desplazamiento constante.
Soportes de pies y rodillas	2.0	Soportan parcialmente el peso corporal al estar de pie.

Tomada de ISO, 2023 (64)

a) Cálculo para seleccionar las medidas de los tubos tanto del asiento como del respaldar:

Propiedades del material: el límite elástico del aluminio 6063-T5 es aproximadamente 214 MPa. La selección de este material se realizó ya que cuenta con ventajas frente a otros materiales, brindándonos un peso ligero, resistencia a la corrosión, fácil de extruir y más dúctil.

• Momento de inercia (I):

$$I = \frac{\pi}{64}(D^4 - d^4)$$
 Ec. (21)

Donde:

D = 0.03 m (diámetro exterior)

d = 0.026 m (diámetro interior)

Calculamos:

$$I = \frac{\pi}{64} (0.03 \ m^4 - 0.026 \ m^4)$$
$$I = 17.33 \times 10^{-9} \ m^4$$

 Momento flector máximo (M): si la fuerza se aplica uniformemente a lo largo del tubo, el momento flector máximo se calcula con:

$$M_{max} = \frac{F \times L}{4}$$
 Ec. (22)

Donde (F = 622.3 N y L = 0.47 m).

Calculamos:

$$M_{max} = \frac{622.3N \times 0.47 \ m}{4}$$

$$M_{max} = 73.12 \ N. \ m$$

Tensión máxima por flexión (σ):

$$\sigma_{flexion} = \frac{M_{max} \times C}{I}$$
 Ec. (23)

Donde (C = 0.03/2 = 0.015 m) Centro del tubo al exterior.

Calculamos:

$$\sigma_{max} = \frac{73.12 \ N.m \times 0.015m}{17.33 \times 10^{-9} \ m^4}$$
$$\sigma_{max} = 63.3 \ MPa$$

Comparación con el límite elástico:

$$\sigma_{flexion} = 62.5 \, MPa \le 214 MPa$$

El material seleccionado es el aluminio 6063-T5, con las medidas de diámetro exterior 0.03 m y diámetro interior de 0.026 m tanto para la estructura del respaldar y el asiento. La tensión máxima obtenido es de 69.9 MPa que está por debajo del límite elástico del aluminio 6063-T5 que es 214 MPa, por ello el tubo puede soportar la fuerza aplicada de 622.3 N sin deformarse permanentemente.

b) Cálculo para seleccionar las medidas de los tubos del chasis:

Propiedades del material: El límite elástico del aluminio 6063-T5 es aproximadamente 214 MPa (megapascales).

• Momento de inercia (I):

$$I = \frac{\pi}{64}(D^4 - d^4)$$
 Ec. (24)

Donde

D = 0.042 m

d = 0.032 m

Calculamos:

$$I = \frac{\pi}{64} (0.042 \, m^4 - 0.032 \, m^4)$$
$$I = 101.27 \times 10^{-9} \, m$$

 Momento flector máximo (M): si la fuerza se aplica uniformemente a lo largo del tubo, el momento flector máximo se calcula con:

$$M_{max} = \frac{F \times L}{4}$$
 Ec. (25)

Donde (F = 720.3 N y L = 0.63 m)

Calculamos:

$$M_{max} = \frac{720.3 N \times 0.63 m}{4}$$
$$M_{max} = 11344.725 N. m$$

• Tensión máxima por flexión (σ):

$$\sigma_{max} = \frac{M_{max} \times C}{I}$$
 Ec. (26)

Donde (C = 0.042 m/2 = 0.021 m) Centro del tubo al diámetro exterior.

Calculamos:

$$\sigma_{flexion} = \frac{11344.725 \ N. \ m \times 0.021 \ m}{101.27 \times 10^{-9} m}$$

$$\sigma_{flexion} = 23.52 \ MPa$$

Comparación con el límite elástico:

$$\sigma_{flexion} = 23.52 \, MPa \le 214 MPa$$

El material seleccionado es el aluminio 6063-T5, con las medidas de diámetro exterior 0.04216 m y diámetro interior de 0.03252 m, para la estructura del chasis. La tensión máxima de 23.52 MPa está por debajo del límite elástico del aluminio 6063-T5, por lo que el tubo puede soportar la fuerza aplicada de 720.3 N sin deformarse permanentemente.

c) Cálculo de la barra de soporte del actuador lineal:

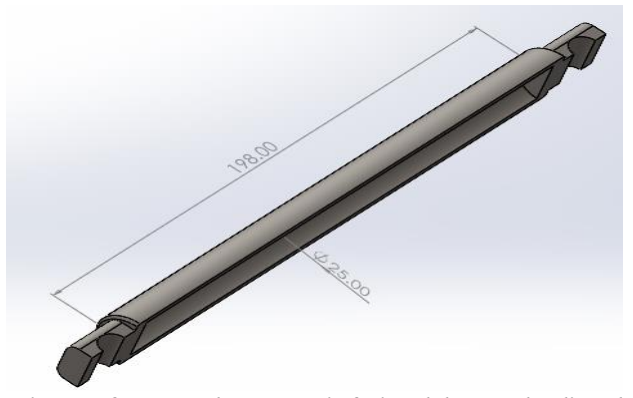


Figura 59. Barra de soporte inferior del actuador lineal

Propiedades del material: el límite elástico del acero ASTM A500 está en el rango de 290 MPa hasta 345 MPa (megapascales).

• Momento de inercia (I):

$$I = \frac{\pi}{64}(D^4 - d^4)$$
 Ec. (27)

Donde

D = 0.025 m

d = 0.02 m

Calculamos:

$$I = \frac{\pi}{64} (0.025 m^4 - 0.02 m^4)$$
$$I = 11.3 \times 10^{-9} m^4$$

 Momento flector máximo (M): si la fuerza se aplica uniformemente a lo largo del tubo, el momento flector máximo se calcula con:

$$M_{max} = \frac{F \times L}{4}$$
 Ec. (28)

Donde (F = 1225 N y L = 0.198 m).

Calculamos:

$$M_{max} = \frac{1225 N \times 0.198 m}{4}$$
$$M_{max} = 60.64 N. m$$

Tensión máxima por flexión (σ):

$$\sigma_{flexion} = \frac{M_{max} \times C}{I}$$
 Ec. (29)

Donde (C = 0.025/2 = 0.012 m) del centro del tubo al diámetro exterior

Calculamos:

$$\sigma_{flexion} = \frac{60.64 \ N. \ m \times 0.0125 \ m}{11.3 \times 10^{-9} \ m^4}$$

$$\sigma_{flexion} = 67.08 \ MPa$$

Comparación con el límite elástico:

$$\sigma_{flexion} = 67.08 \, MPa \le 290 MPa$$

El material seleccionado es el acero ASTM-A500, con las medidas de diámetro exterior 0.025 m y diámetro interior de 0.02 m para el soporte de actuador inferior y superior. La tensión máxima de 67,08 MPa se encuentra por debajo del límite elástico del acero ASTM A500, lo

que indica que el tubo es capaz de soportar la fuerza aplicada de 1,225 N sin experimentar deformación plástica permanente.

Posteriormente, en la imagen 60 se puede observar el análisis de tensión por Von Mises con una fuerza de 3000 N que es la fuerza del actuador lineal eléctrico en funcionamiento. La simulación se realizó con una malla fina con material de acero ASTM-A500 que tiene un límite elástico de 325 MPa y el esfuerzo máximo de diseño es de 113.265 MPa el cual se encuentra en las zonas rojas y esto se encuentra por debajo del límite elástico del material indicándonos que el soporte del actuador no se va romper y es apto para la estructura.

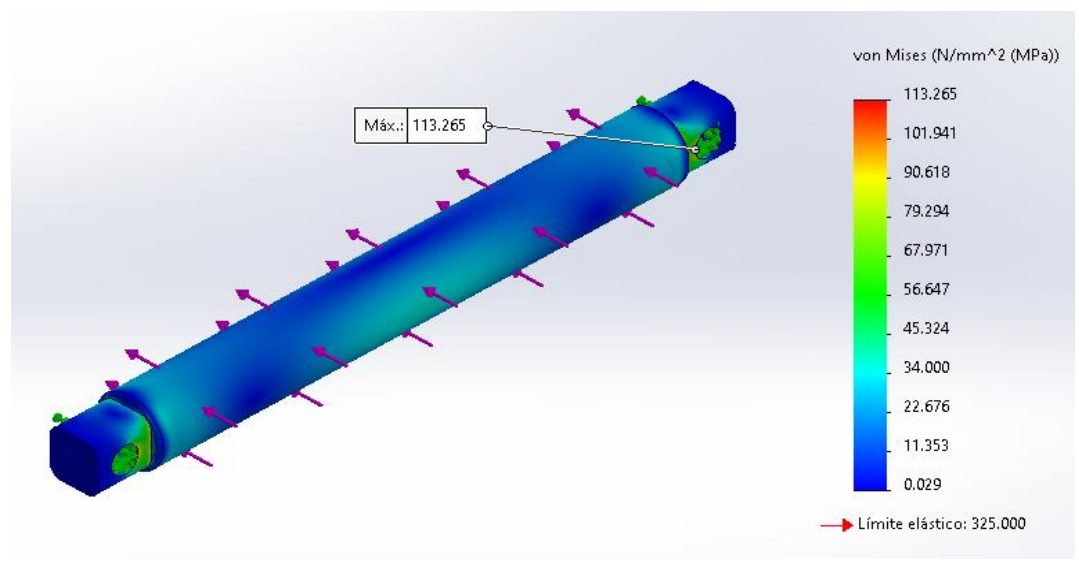


Figura 60. Análisis de tensión

En la imagen 61 se presenta el análisis de simulación en Solid Word que se realizó para evaluar la integridad del componente bajo cargas de trabajo máximas. Obteniendo el factor de seguridad mínimo de 2.9 siendo mayor al factor de seguridad mínimo de 2, el cual se comprueba con la siguiente fórmula:

$$F.S = \frac{Limite\ elastico}{Esfuerzo\ maximo\ de\ diseño}$$

$$F.S = \frac{325 \, MPa}{113.265} = 2.9$$

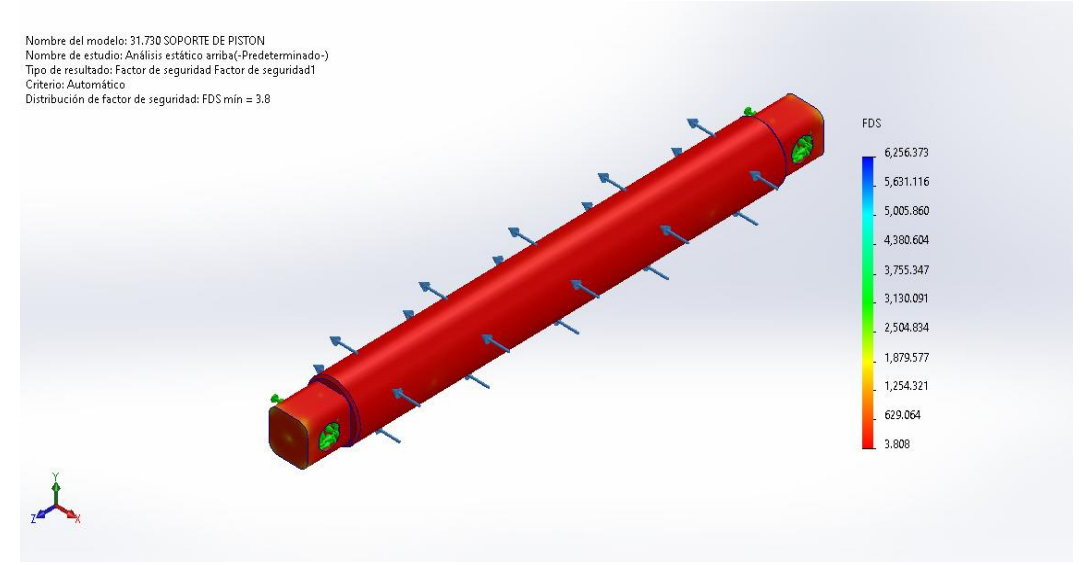


Figura 61. Factor de seguridad

Asimismo, se simuló el soporte superior del actuador (Figura 62) mediante un análisis de tensiones según Von Mises, considerando una fuerza de 3,000 N, correspondiente a la acción del actuador lineal eléctrico en operación. La simulación se realizó con una malla fina, utilizando acero ASTM A500 con un límite elástico de 325 MPa. El esfuerzo máximo de diseño alcanzó 110,073 MPa en las zonas indicadas en rojo, sin superar el límite elástico, lo que permite concluir que el soporte no sufrirá falla y es adecuado para integrarse en la estructura.

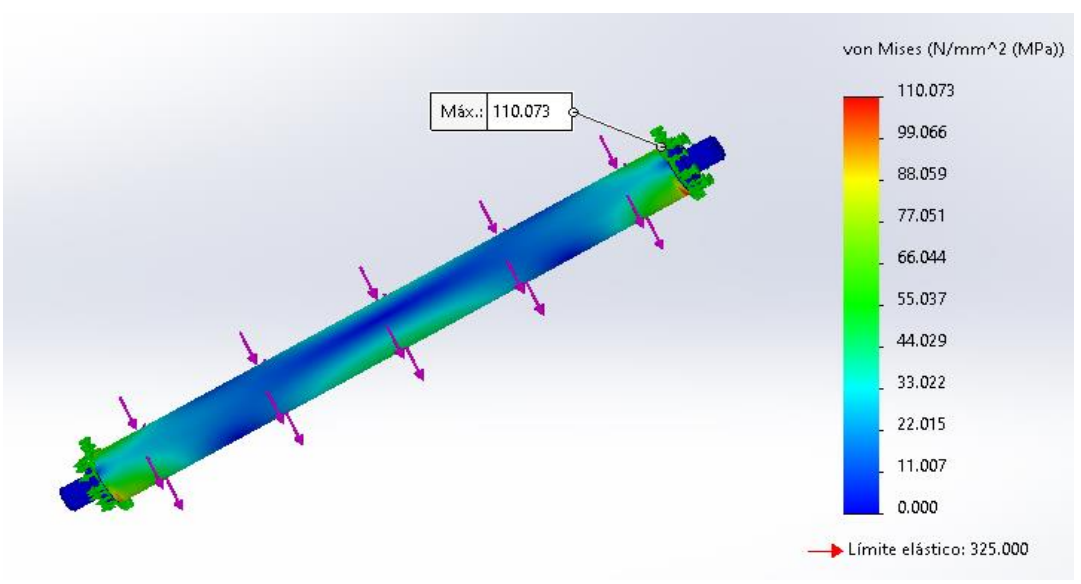


Figura 62. Análisis de tensión

En la figura 63 se presenta el análisis de simulación en Solid Word que se realizó para evaluar la integridad del componente bajo cargas de trabajo máximas. El factor de seguridad mínimo es de 2.9 el cual es mayor a 1, lo que nos indica que es seguro, para ello se comprueba con la siguiente fórmula:

$$F.S = \frac{Limite\ elastico}{Esfuerzo\ maximo\ de\ diseño}$$

$$F.S = \frac{325\ MPa}{110.073} = 2.9$$

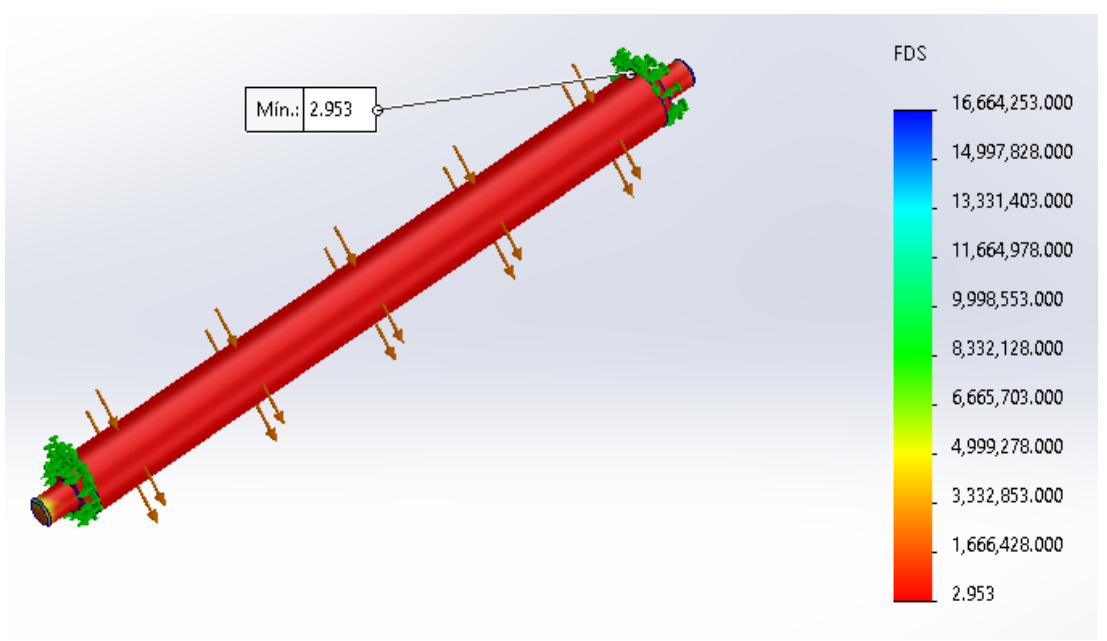


Figura 63. Factor de seguridad

4.2.2. Medida y selección de los perfiles para la estructura de la silla de ruedas

Las longitudes para los tubos de aluminio 6063-T5 son de 30 x 26 y 38 x 36.60, con espesores de 4 y 1.40 respectivamente. Estas medidas se encuentran en la (tabla 25), y las propiedades mecánicas están detalladas en la (tabla 26).

Tabla 25. Peso, dimensión y radio de curvatura de tubo

NPS(DN)	Diámetro	Espesor	Peso nominal	Radio de
	Exterior	Nominal	por longitud	curvatura
	(mm)	(mm)	kg/m	mínimo (mm)
30x26	30mm	26 mm	1.19	26.86 mm
38x36.60	38mm	36.60mm	0.387	28.86 mm

Tabla 26. Propiedades mecánicas

	Resistencia TRACCION MPa	Límite de elasticidad MPa
Grado A	240	180

4.2.3. Cálculo del centro de gravedad o cálculos dinámicos

El cálculo del centro de gravedad determina el punto donde se concentra el peso del usuario, lo que permite evaluar la estabilidad de la silla de ruedas. Asimismo, este cálculo es fundamental para analizar la estabilidad de la silla en posición bípeda.

a) Cálculo del centro de gravedad de una persona sentada en posición correcta

Se tomarán las coordenadas "X", "Y", mientras que para el eje "Z" el peso del cuerpo se distribuirá uniformemente sobre la superfície. Los pesos de los diversos fragmentos del cuerpo para un peso máximo de 100 kg podrán ser observados en la siguiente tabla.

Tabla 27. Porcentaje y peso en kilogramos de cada miembro del cuerpo

and a serious of personal mines are entained and are						
Parte del cuerpo	Peso en porcentaje	Peso en kilogramos				
Cabeza	7%	7 kg				
Tronco	44%	44 kg				
Ambas piernas	33%	33 kg				
Ambos pies	3.5%	3.5 Kg				
Ambos brazos	11%	11 kg				
Ambas manos	1.5%	1.5 Kg				

En la siguiente figura se visualiza las distancias en "X"; "Y" de los centros de gravedad de los fragmentos del cuerpo en relación al punto 0.

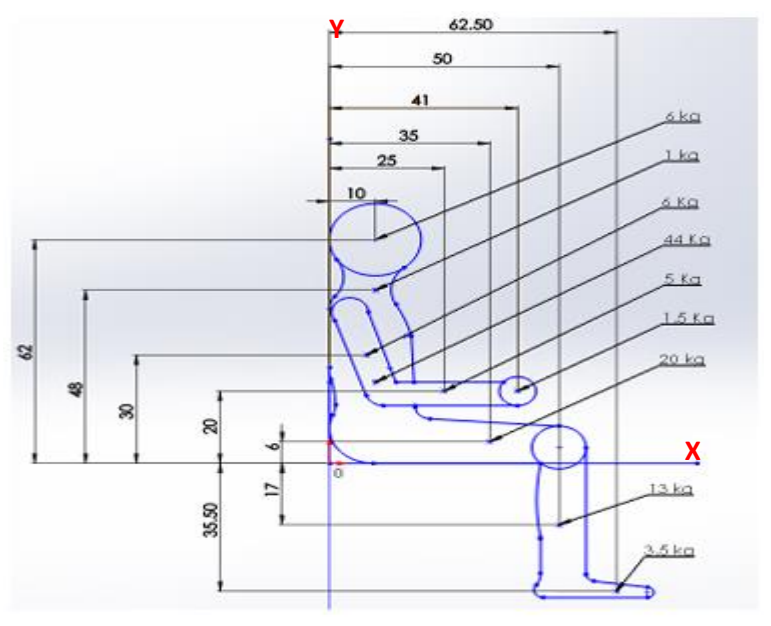


Figura 64. Distancia en el centro de gravedad de los planos "X"," Y"

Para adquirir las coordenadas en los ejes "X";" Y" se utilizará las ecuaciones siguientes respectivamente para obtener los resultados siguientes:

Cálculo del centro de gravedad en el eje X (CDGX):

$$CDGX = \frac{\sum Xi * Wi}{Wr}$$
 Ec. (30)

$$x = \frac{(10)(6) + (10)(1) + (10)(44) + (8)(6) + (25)(5) + (35)(20) + (41)(1.5) + (50)(13) + (62.5)(3)}{100}$$

$$x = 14.697 \text{ cm}$$

Cálculo del centro de gravedad en el eje Y (CDGY):

$$CDGY = \frac{\sum Yi * Wi}{Wr}$$
 Ec. (31)

$$y = \frac{(62)(6) + (48)(1) + (30)(6) + (22.4)(44) + (5)(20) + (6)(20) + (17)(13) + (35.5)(3.5)}{100}$$
$$y = 22.955 \text{ cm}$$

Por ende, las coordenadas del centro de gravedad de un individuo sentado en posición correcta en el eje "X" es 14.697 cm y en el eje "Y" 22.955 cm.

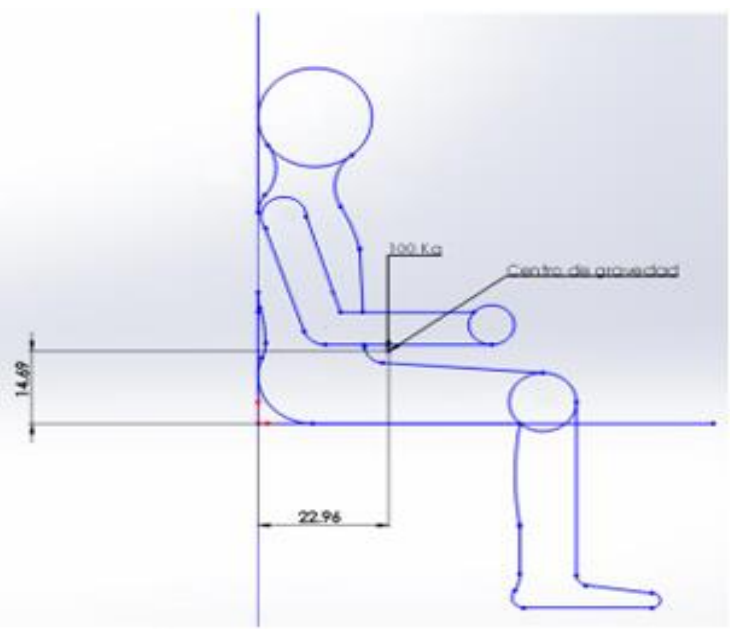


Figura 65. Centro de gravedad en postura sentada

b) Cálculo del centro de gravedad en posición sentada del usuario en la silla de ruedas

Se está empleando el método del peso segmental, utilizando como referencia un usuario sentado para un ángulo del respaldar de 14°, como se puede observar en la figura 66. Se presenta los resultados del centro de gravedad en relación con el punto de referencia que es centro de las ruedas de 24 pulgadas, calculados por cada parte del cuerpo en base a lo referido en la (tabla 28).

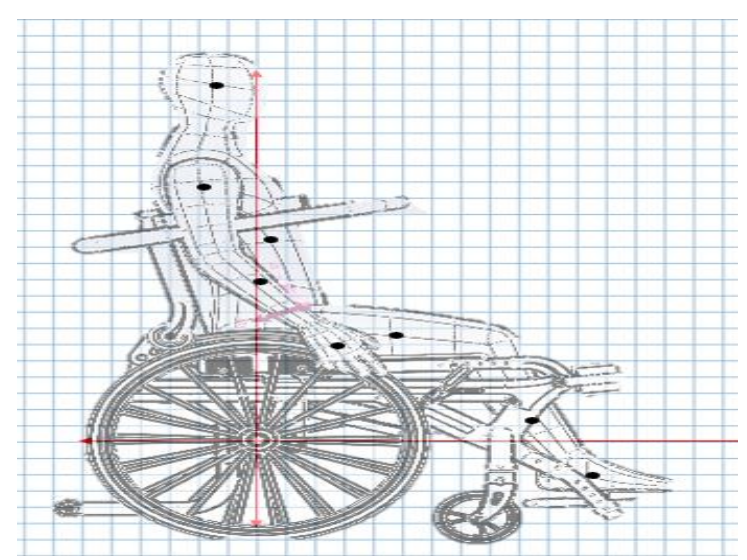


Figura 66. Centro de gravedad en postura sentado del usuario en correlación al eje de la rueda posterior

En la tabla 28 se muestra los centros de gravedad de cada segmentó de una figura humana sentado en una silla de ruedas bípeda con relación al eje de la rueda posterior, mediante el programa Solid Word se obtienen las distancias para el eje "X" y "Y" o coordenadas de ambos ejes que se encuentran en la columna dos y cuatro, multiplicado por el porciento de cada peso de los segmentos corporales obteniendo los resultados en la tercera y quinta columna luego sumar los productos para obtener tanto el valor del centro de gravedad en el plano horizontal y vertical.

Tabla 28. Centro de gravedad en posición sentada en la silla de ruedas

		z gravedad en po			
Segmento	% Peso	1 1		Valor de la	Productos
del Cuerpo	Segmental	Coordenada	(X)	Coordenada	(Y)
		X	(%Peso)	Y	(%Peso)
Cabeza y	0.079	3.73	0.27	996.94	78.5
cuello					
Tronco	0.511	62.22	31.79	493.36	252.11
D	0.027	1.71	0.05	654.00	17.65
Brazo	0.027	1.71	0.05	654.02	17.65
superior					
derecho					
Brazo	0.016	138.23	2.2	537.06	8.6
inferior					
Derecho					
Mano	0.006	335.62	2.01	545.34	3.3
derecha	0.000	555.02	2.01	515.54	5.5
Brazo	0.027	1.71	0.05	654.02	17.6
1	0.027	1./1	0.05	034.02	17.0
superior					
izquierdo					
Brazo	0.016	138.23	2.2	537.06	8.6
inferior					
izquierdo					
Mono	0.006	335.62	2.01	545.34	3.3
izquierda	0.000	222.02	2.02	2 12.2 .	
Muslo	0.097	224.82	21.8	263.03	25.5
derecho	0.057	224.02	21.0	203.03	23.3
Pierna	0.045	498.37	22.4	116.76	5.25
	0.043	470.37	ZZ. 4	110.70	3.23
inferior					
derecha	0.04.4	645.50		101.00	4 42
Pie derecho	0.014	-617.72	-8.6	-101.83	-1.42
Muslo	0.097	229.82	21.8	263.03	25.5
izquierdo					
Pierna	0.045	498.37	22.4	116.76	5.25
inferior	0.045	170.37	22.7	110.70	5.23
izquierda					
Pie	0.014	-617.72	-8.6	-101.83	-1.42
	0.014	-01/./2	-8.0	-101.83	-1.42
izquierdo			111 70		451.16
TOTAL	1		111.78		451.16

Para la posición sentada con una inclinación del asiento de 4° y un ángulo de respaldo de 14°, de la tabla 28, se establece que el centro de gravedad medido desde el centro del eje de la rueda grande a los centros de gravedad de cada segmento del cuerpo se localiza para el eje "Y" 451.16 mm (vertical) y en el eje "X" 111.78 mm (horizontal).

Se confirma el centro de gravedad a través del programa Solid Word en la figura 67 obteniendo la distancia en el eje X con la coordenada de 117.97 mm y en el eje Y con la coordenada de 323.35mm.

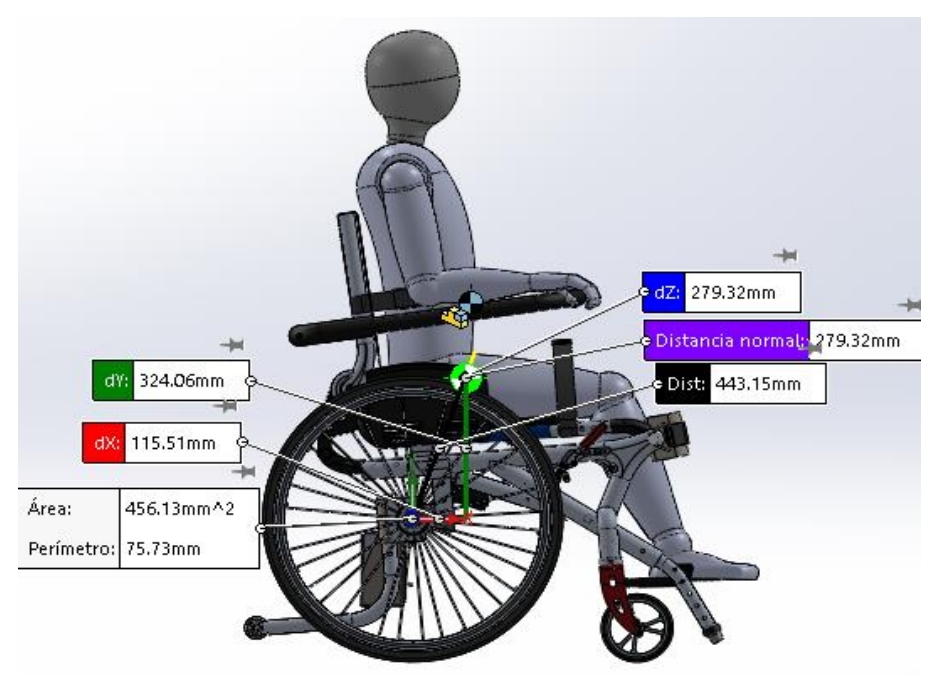


Figura 67. Centro de gravedad en posicion sentada

• Cálculo de estabilidad estática (ISO 7176-8) o ángulo critico de vuelco.

$$\tan(\theta_{cr}) = \frac{d}{h}$$

d: distancia horizontal desde la rueda trasera hasta el centro de masa(m)

h: altura del centro de masa al suelo(m)

$$\tan(\theta_{cr}) = \frac{444.09 \ mm}{640.18 \ mm} = \frac{0.44 \ m}{0.64 \ m}$$
$$\theta_{cr} = tan^{-1}(0.69)$$
$$\theta_{cr} = 34^{\circ}$$

El ángulo critico de vuelco según la norma ISO 7176-8 es mayor a 10° cuando el usuario está en posición de sentado, el resultado obtenido a través del cálculo de estabilidad estática es de 34° que es mayor establecido por la norma.

c) Cálculo del centro de gravedad en posición bípeda del usuario

Para calcular el centro de gravedad de un individuo en postura de pie o bípeda, se utilizará un ángulo 14° de inclinación del asiento con respecto a la vertical. Además, el centro de gravedad se determina en relación al eje de la rueda posterior, que sirve como punto de referencia.

En la tabla 29 se muestra los centros de gravedad de cada fragmento de una figura humana en posición bípeda en una silla de ruedas bípeda con relación al eje de la rueda posterior, mediante el programa Solid Word se obtienen las distancias para el eje "X" y "Y" o coordenadas de ambos ejes que se encuentran en la columna dos y cuatro, multiplicado por el

porciento de cada peso de los segmentos corporales obteniendo los resultados en la tercera y quinta columna luego sumar los productos para obtener tanto el valor del centro de gravedad en el plano horizontal y vertical.



Figura 68. Centro de gravedad en postura vertical del usuario

Tabla 29. Centro de gravedad en postura vertical

Segmento del	% Peso	Valor de la	Productos	Valor de la	Productos(Y)
cuerpo	Segmental	Coordenada	(X)(%peso)	Coordenada	(%Peso)
		X		Y	
Cabeza y cuello	0.079	486.56	38.4	1315.14	103.9
Tronco	0.511	467.64	238.6	881.9	450.7
Brazo superior	0.027	538.74	14.5	1067.06	28.8
derecho					
Brazo inferior	0.016	789.81	12.6	1018.94	16.3
Derecho					
Mano derecha	0.006	1031.02	6.2	1010.59	6.1
Brazo superior	0.027	538.74	14.5	1067.06	28.8
izquierdo					
Brazo inferior	0.016	789.81	12.6	1018.94	16.3
izquierdo					
Mono izquierda	0.006	1031.02	6.2	1010.59	6.1
Muslo derecho	0.097	477.75	46.3	458.77	44.5
Pierna inferior	0.045	508.41	22.9	74.42	3.3
derecha					
Pie derecho	0.014	585.98	8.2	158.74	-2.2
Muslo izquierdo	0.097	477.75	46.3	458.77	44.5
Pierna inferior	0.045	508.41	22.9	74.42	3.3
izquierda					
Pie izquierdo	0.014	585.98	8.2	158.74	-2.2
TOTAL	1		498.4		752.6

Para la posición bípeda a 85°, con una inclinación del asiento de 4° y un ángulo de respaldo de 14°, de la tabla 29, se establece que el centro de gravedad se localiza alrededor de a 752.6

mm (vertical o eje Y) y 498.4 mm (horizontal o eje X), calculado desde el punto medio del eje en la rueda grande.

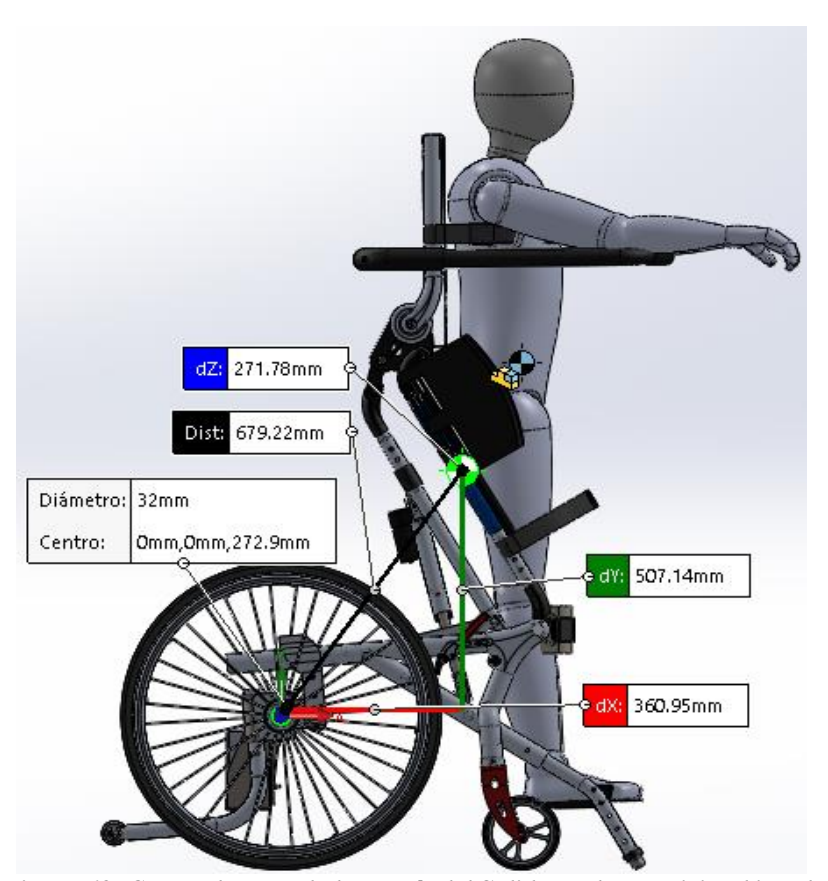


Figura 69. Centro de gravedad a través del Solid Word en posicion biepeda

En la figura 69, se confirma el centro de gravedad a través del programa Solid Word, obteniendo la distancia en el eje X con la coordenada de 360.95 mm y en el eje Y con la coordenada de 507.14 mm.

En relación a los cálculos realizados, se concluye que el centro de gravedad tanto en posición sentada como bípeda cae dentro de la base de apoyo de la silla de ruedas bípeda lo cual evitara caídas del usuario y/o volcaduras cuando se encuentra en funcionamiento.

d) Adaptación del modelo biomecánico de bipedestación a usuarios con paraplejia.

En personas con paraplejia, las funciones motoras voluntarias de los miembros inferiores están parcial o completamente anuladas debido a una lesión medular, lo que impide la generación activa de momentos articulares y fuerza muscular. No obstante, el cuerpo humano conserva su estructura segmentaria, masa y comportamiento mecánico pasivo, por lo cual sigue siendo válido analizarlo como un sistema biomecánico, siempre que se reconozca que las fuerzas activas deben ser generadas externamente.

Para diseñar una silla de ruedas con capacidad de bipedestación destinada a usuarios con paraplejia, es necesario adaptar el modelo biomecánico convencional del movimiento de levantarse (sit-to-stand), considerando que:

- Los momentos articulares en la rodilla, cadera y tobillo deben ser generados por actuadores o mecanismos que suplen la función de los músculos.
- El centro de masa (COM) del usuario se comporta pasivamente y debe ser desplazado mediante el sistema estructural.
- El equilibrio postural y la estabilización del cuerpo requieren elementos adicionales como cinturones, barras laterales, frenos automáticos o apoyos torácicos, debido a la falta de control neuromuscular voluntario.

En este sentido, se mantiene la estructura matemática del análisis biomecánico (dinámica inversa, momentos, potencia, trayectorias del COM), pero los valores calculados son asumidos por componentes mecánicos. De esta forma, se garantiza una transición segura de la posición sentada a la posición bípeda, optimizando la funcionalidad sin exigir esfuerzo físico directo del usuario.

Análisis estático (equilibrio en bipedestación). - Cálculo de carga en miembros inferiores en piernas y pies.

$$F_{mienbros\,inferiores} = 0.5 \times f_{total}$$

 $F_{mienbros\,inferiores} = 0.5 \times 981\,N$
 $F_{mienbros\,inferiores} = 490.5\,N$

• 60% de la carga recae en los pies:

$$F_{pies} = 0.60 \times 490.5 N$$

 $F_{pies} = 294.3 N$

• 40% carga sobre las piernas:

$$F_{piernas} = 0.40 \times 490.5 N$$
$$F_{pies} = 294.3 N$$

• 50% del peso total se distribuye en la silla de ruedas:

$$F_{silla} = 0.50 \times 981 N$$

$$F_{silla} = 490.5 N$$

• Calculo torque debido al centro de masa:

$$H_{centro\ de\ masa} = 981\ N \times 0.4\ m = 392.4\ Nm$$

 $H_{ruedas} = 245.25\ N \times 0.6\ m = 147.15\ Nm$

• Rigidez en una barra:

$$K = \frac{3EI}{L^3}$$
$$I = \frac{\pi d^4}{64}$$

$$F_{pies}(10^{\circ}) = 490.5 N \times \cos (10^{\circ})$$

 $F_{pies}(10^{\circ}) = 490.5 N \times 0.9848$
 $F_{pies}(10^{\circ}) = 483.3 N$
 $F_{piernas}(10^{\circ}) = 490.5 N \times \sin (10^{\circ})$
 $F_{piernas}(10^{\circ}) = 490.5 N \times 0.1736$
 $F_{piernas}(10^{\circ}) = 85.1 N$

• Cálculo de la tensión en la barra de respaldo:

$$T = \frac{F_{total}}{A}$$

$$f_{desaceleracion} = m \times a$$

Donde:

a=2 m/s

m=100 kg

$$f_{desaceleracion} = 100 \ kg \times 2 \ m/s$$

 $f_{desaceleracion} = 200 \ N$

• Presión en las ruedas:

$$P_{rueda} = \frac{F_{rueda}}{A_{rueda}}$$

$$P_{rueda} = \frac{245.25 \ N}{0.01 m^2} = 24.525 \ Pa$$

 $E=2.1 \times 10^{11} \text{ N/m}^2$

Barra = 2 cm

Longitud = 0.5 m

d = 0.02 m

Momernto de inercia:
$$I = \frac{\pi (0.02)^4}{64} = 3.93 \times 10^{-6} m^4$$

Rigidez axial: $K = \frac{3 \times (2.1 \times 10^{11}) \times 3.93 \times 10^{-4}}{0.5^3} = 2.22 \times 10^4 \, N/m$

Análisis dinámico del momento de inercia de la rueda:

$$I_{rueda} = \frac{1}{2} \times 1 \ kg \times 0.3 \ m^2 = 0.045 \ Kg/m^2$$

El valor obtenido del momento de inercia en una rueda $I = 0.045 \text{ Kg/m}^2$, equilibra adecuadamente la necesidad de estabilidad rotacional y capacidad de respuesta.

e) Activación de frenos:

Cuando se utilice la silla de ruedas en situaciones donde es crucial una mayor estabilidad, asegúrate de activar los frenos. Esto es especialmente relevante al ponerte de pie, al transferirte a la silla de ruedas de otro asiento o viceversa. Por razones de seguridad, es importante recordar que, incluso si la silla de ruedas se encuentra bien bloqueada, aún puede deslizarse lateralmente. Además, un desgaste significativo de las bandas de rodadura puede afectar negativamente la eficacia del frenado. Después de cruzar un charco, ten en cuenta que los neumáticos mojados reducen la capacidad de frenado.

 Cálculo de frenos según ISO 7176-3.- Para ello se usa una inclinación de 12% o 7° con el objetivo que la silla debe mantenerse estacionaria en pendiente con los frenos aplicados, calculamos el torque (par de frenado).

$$T = r \times F_{resistencia}$$

T= par de frenado efectivo (Nm)

r = radio efectivo de la rueda (m)

 $F_{resistencia}$ = W. $sin(\theta)$ = componente del peso que actúa por la pendiente

W= peso total de la silla con ocupante (N) = 135 kg

 θ = ángulo de inclinación de la pendiente

Peso total:

$$W = m * g = 135 * 9.81 = 1324.35 N$$

Componente de la fuerza por pendiente:

$$F_{resistencia} = 1324.35 \text{ N} * \sin(7^\circ) = 161.5 \text{ N}$$

Par de frenado requerido en pendiente de ambas ruedas posteriores:

$$T = 0.33 m \times 161.5 N = 53.3 Nm$$

Este resultado obtenido de 53.3 Nm de par de frenado representa la fuerza rotacional mínima que el sistema debe ser capaz de ejercer para evitar el deslizamiento para adelante o hacia atrás en dicha pendiente.

 Par de freno disponible del freno de palanca universal. – Este genera fricción directamente contra el neumático, mediante una fuerza manual amplificada por un brazo de palanca.

Fórmula general de la palanca:

$$F_{salida} = \frac{F_{entrada} \times d_{entrada}}{d_{salida}}$$

Donde:

- F_{entrada}: Fuerza aplicada manualmente (usuario)(N)
- d_{entrada}: distancia desde el punto de apoyo (fulcro) hasta donde se aplica la fuerza (m).
- d_{salida}: distancia desde el fulcro hasta el freno (m).
- F_{salida}: Fuerza amplificada por la palanca (N).

$$F_{salida} = \frac{100 \ N \times 0.16 \ m}{0.04 \ m} = 400 \ N$$

Calculamos el par de freno:

$$\tau_{freno} = \mu \times F_{aplicada} \times R$$

$$\tau_{freno} = 0.5 \times 500 \ N \times 0.33 \ m = 82.5 \ Nm$$

En conclusión, el freno de palanca si es suficiente para detener la silla de ruedas bípeda en superficies planas y superficies con una inclinación de 7° cumpliendo con el valor exigido por la norma ISO 7176 con un factor de seguridad de 1.6 esto en posición sentada.

4.2.4. Cálculo de la propulsión y rozamiento a rodar

Al diseñar una silla de ruedas, es esencial considerar la distribución del peso para lograr una buena propulsión. La partición de masa es 20/80 (delantera/trasera), lo que ayudará a que la parte delantera sea más ligera y mejore la maniobrabilidad. Esta distribución varia cuando el usuario pasa de la postura sentada a la posición bípeda, momento en que los reposapiés bajan al nivel del suelo (como indica la figura 70), siendo dos puntos de apoyo adicionales para la

silla de ruedas volviéndola más estable; asimismo, se cuenta con dos ruedas antivuelco traseras para prevenir la volcadura de la silla de ruedas hacia atrás; como indica la figura 71.



Figura 70. Reposapiés al nivel del suelo, en posición bípeda



Figura 71. Ruedas antivuelco traseras

Es esencial considerar el tipo de superficie sobre la que se desplazará la silla de ruedas, ya que esto condiciona el diseño de las ruedas. Si se asume un desplazamiento sobre suelo firme, las ruedas pueden ser de tipo neumático, las cuales ofrecen una mejor amortiguación, buen agarre en diversas superficies y menor peso. Sin embargo, son susceptibles a pinchazos y requieren un mantenimiento adecuado. Por otro lado, las ruedas macizas tienen menor fricción al rodar y no necesitan mantenimiento, siendo ideal para el diseño realizado así prolongar el mantenimiento de la silla de ruedas.

Es crucial tomar en cuenta el espacio entre ejes de las ruedas: una distancia mayor proporciona estabilidad y facilita la conducción, aunque pierde suavidad, lo opuesto ocurre con una distancia más corta. Por eso, se aproximará al espacio estándar de 50 cm de la silla de ruedas.

- Referencias para el ángulo y tamaño de las ruedas:
 - a) Ruedas posteriores. Se han elegido ruedas macizas con un diámetro recomendado de 24 pulgadas (600 mm). Este tamaño facilita su reemplazo en caso de mantenimiento; tanto el aro como los radios serán de aluminio, un material ligero que mejora la

absorción de las irregularidades del suelo. Asimismo, los radios estarán dispuestos de manera cruzada para fortalecer la estructura. El aro de propulsión también será de aluminio, lo que mejorará el agarre manual. Para montar el aro en la llanta, se utilizarán proyecciones, como se indica en la (figura 72).

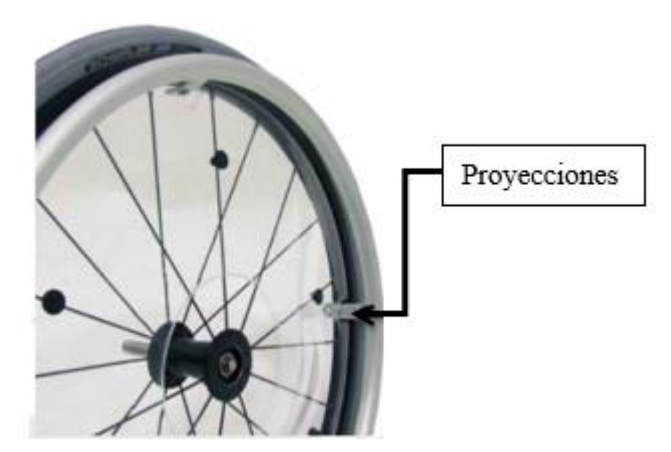


Figura 72. Aros de propulsión con proyecciones

b) Ruedas delanteras. - Para usos en exteriores e interiores, se utilizarán ruedas de 6 pulgadas (150 mm). Se recomienda utilizar llantas macizas debido a su menor rozamiento y la falta de necesidad de mantenimiento. El aro de la llanta será de plástico, como se observa en la (figura 73).



Figura 73. Ruedas delanteras

c) Ángulos de las ruedas. - Para lograr una propulsión óptima de la silla de ruedas, se recomienda, de acuerdo con lo indicado en el Capítulo 1, mantener un ángulo de 90° respecto a la horizontal tanto en la rueda trasera como en la delantera.

4.2.5. Cálculo de las fuerzas que actúan en cada rueda

Se considera diversos factores; como el peso del usuario, la distribución del peso y la fuerza de fricción y la normal.



Figura 74. Cálculo de las fuerzas de las ruedas delanteras y traseras sin el peso del usuario

En la figura 74 se observa la fuerza del peso W ubicados tanto en la ruedas posteriores y delanteros, se procede a calcular las fuerzas que actúan en cada rueda sin el peso del individuo, solo 30 kg el peso completo de la silla de ruedas.

• Fuerza total en las ruedas traseras y delanteras sin el peso del usuario:

$$W=m*g$$

$$W = (35 \text{ kg}) (9.81) = 343.35 \text{ N}$$

En este diseño la distribución de peso es de 80% en la parte posterior y 20% en la parte delantera. Esto es importante para la estabilidad y maniobrabilidad de la silla bípeda.

• Fuerza total en las ruedas traseras sin el peso del usuario:

$$F_{traseras}$$
= (0.80) (343.35 N) = 274.68 N

$$F_{rueda\ trasera} = 274.68\ N / 2 = 137.34\ N$$

Siendo la fuerza que soporta cada rueda posterior sin el peso del usuario de 137.34 N.

• Fuerza total en las ruedas delanteras sin el peso del usuario:

$$F_{delanteras} = (0.20) (343.35 \text{ N}) = 68.67 \text{ N}$$

$$F_{rueda\ delantera}$$
= 68.67 N/2= 34.34 N

Siendo la fuerza que soporta cada rueda delantera sin el peso del usuario de 34.34 N.

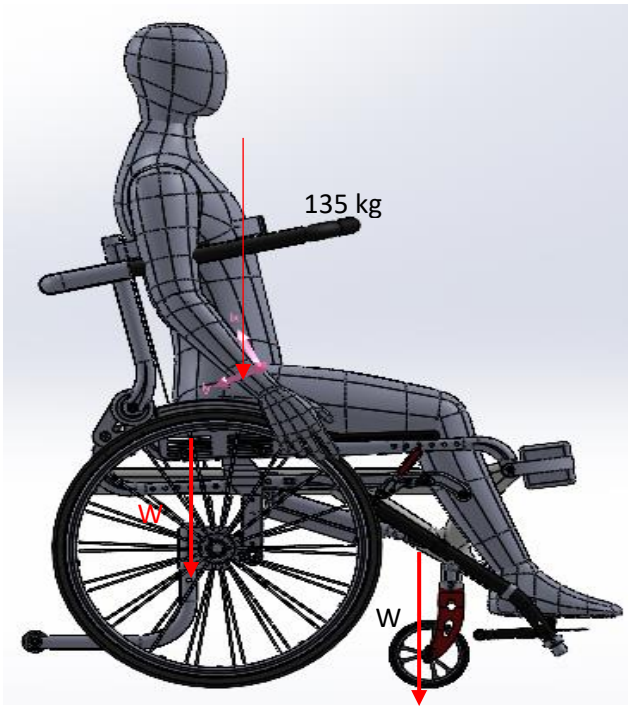


Figura 75. Fuerzas que actúan en cada rueda

En la figura 75 se observa la fuerza del peso W ubicados tanto en la ruedas posteriores y delanteros, luego se procede a calcular las fuerzas que actúan en cada rueda con el peso del individuo, con un peso total de la silla de ruedas incluido el peso máximo del individuo de 135 kg.

• Fuerza total en las ruedas traseras y delanteras con el peso del usuario:

$$W = m * g Ec. (32)$$

En la posición sentado del usuario la repartición de peso es de 80% en las ruedas posteriores

y 20% en las ruedas delanteras.

• Fuerza total en las ruedas traseras con el peso del usuario:

$$F_{traseras}$$
= (0.80) (1324.35) = 1059.48 N
 $F_{rueda\ trasera}$ = 1059.48 N / 2= 529.74 N

W=135 kg * 9.81 = 1324.35 N

Siendo la fuerza máxima que soporta cada rueda posterior con el peso usuario en la posición sentada de 529.74 N.

• Fuerza total en las ruedas delanteras con el peso del usuario:

$$F_{delanteras}$$
= (0.20) (1324.35) = 264.87 N

$$F_{rueda\ delantera} = 264.87\ N\ /\ 2 = 132.44\ N$$

Hallándose como la fuerza máxima que aguanta cada rueda delantera con el peso del usuario en posición sentado de 132.44 N.

4.2.6. Cálculos para la selección de rodamiento de las ruedas de 24 pulgadas

Carga estática equivalente del rodamiento: se utilizará la siguiente ecuación para hallar la carga estática equivalente del rodamiento:

$$P_0 = X_0 * F_r + Y_0 * F_a$$
 Ec. (33)

P0	Carga estática equivalente del rodamiento [kN]
Fr	Carga radial real del rodamiento [kN]
Fa	Carga axial real del rodamiento [kN]
X0	Factor de carga radial del rodamiento
Y0	Factor de carga axial del rodamiento

Datos:

 $X_0 = 0.6$ Obtenido de la ficha tecnica

 $Y_0 = 0.5$ Obtenido de la ficha tecnica

$$F_r = 529.74 N = 0.53 KN$$

Luego calculamos la carga axial: Esto equivale al torque del perno.

r = 0.25 m radio efectivo estándar.

$$F_a = \frac{Momento\ torsor}{r} = \frac{60Nm}{0.25m} = 240N = 0.24\ KN$$

Remplazando en ecuación 27:

$$P_0 = X_0 * F_r + Y_0 * F_a$$

$$P_0 = 0.6 * 0.53 \text{ KN} + 0.5 * 0.24 \text{ KN}$$

$$P_0 = 0.438 \text{ KN} = 437.844 \text{ N}$$

Comparamos la seguridad estática: para ello comparamos la carga estática equivalente (Po) con la carga estática básica (Co) del rodamiento.

$$Po = 437.844 \text{ N} \le Co = 2120 \text{ N}$$

Concluimos que el rodamiento es el adecuado para soportar las cargas aplicadas.

Posteriormente, hallamos el factor de seguridad:

Factor de seguridad =
$$\frac{C_0}{P_0} = \frac{2120 \text{ N}}{437.844 \text{ N}} = 4.8$$

El factor de seguridad de 4.8 indica que el rodamiento tiene un margen adecuado para soportar las cargas aplicadas.

Tabla 30. Factor de seguridad

	Rodamientos giratorios						Rodamientos		
Tipo de	Req	Requerimientos relativos al funcionamiento silencioso						estacionarios	
Funcionamiento	No imp	ortante	Nor	mal		Alto	7		
	Rod. de bolas	Rod. de rodillos	Rod. de bolas	Rod. de rodillos	Rod. de bolas	Rod. de rodillos	Rod. de bolas	Rod. de rodillos	
Suave sin vibraciones	0.5	1	1	1.5	2	3	0.4	0.8	
Normal	0.5	1	1	1.5	2	3.5	0.5	1	
Cargas de choque notable	≥ 1.5	≥ 2.5	≥ 1.5	≥3	≥2	≥ 4	≥1	≥2	

Según la tabla 30, se alcanza un factor de seguridad alto de 4.8, el rodaje seleccionado tiene una carga estática mayor a 0.91 KN, con los datos obtenidos se seleccionó un rodamiento rígido de esferas de acero inoxidable con sellado integral de la marca NSK W61903-2RS1 con carga estática de 2.55 KN que irá montado un rodaje por rueda.

Tabla 31. Rendimiento del rodaje W61903-2RS1

Capacidad de carga dinámica básica	С	3.97 kN
Capacidad de carga estática básica	C0	2.55 kN
Carga límite de fatiga	Pu	0.108 kN
Velocidad límite		14 000 r/min
Factor de carga mínima	kr	0.025
Factor de cálculo	f0	14.8

4.2.7. Cálculos para la selección de rodamientos para las ruedas de dirección o ruedas delanteras

Para las ruedas de dirección de 6 pulgadas se seleccionó el rodaje rígido de esferas de acero inoxidable con sellado integral NSK 619/9-2Z. El rodaje seleccionado debe tener una carga estática mayor a 0.13 KN, por ello irán colocado un rodaje por rueda.

Tabla 32. Rendimiento del rodaje NSK 619/9-2Z

Capacidad de carga dinámica básica	1.95 KN
Capacidad de carga estática básica	0.93 kN
Velocidad de referencia	80 000 r/min
Velocidad límite	50 000 r/min

4.2.8. Análisis por elementos finitos del soporte ranurado

La asimilación se realizó en el programa Solid Word, el componente tiene el objetivo de soportar el peso del asiento y respaldar juntamente con el usuario; también regula el centro de gravedad, el estudio se realizó a través de una malla sólida.

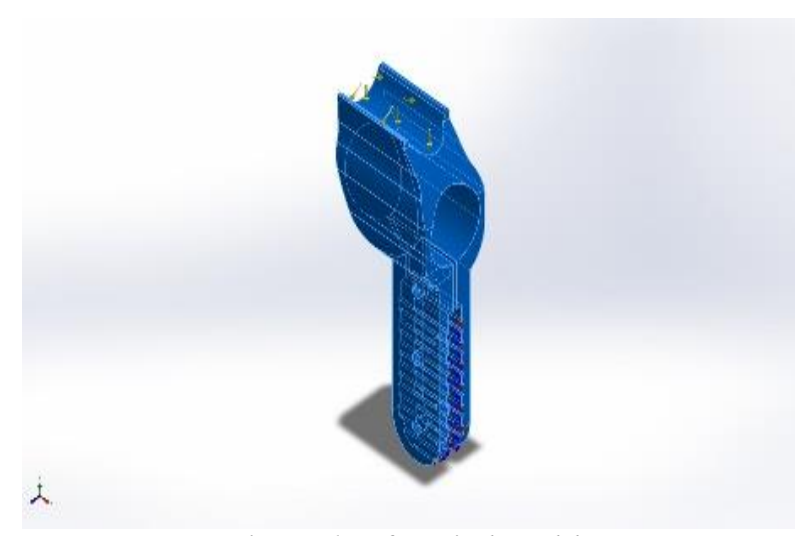


Figura 76. Referencia de modelo

Tabla 33. Propiedades del material

Propiedades					
Nombre:	Aleación 6061				
Tipo de modelo	Isotrópico elástico lineal				
Criterio de error predeterminado	Desconocido				
Eaw	5.5148e+07 N/m ²				
Límite de tracción	1.24084e+08N/m ²				
Modulo elástico	6.9e+10N/m ²				
Coeficiente de Poisson	0.33				
Densidad	2.700 kg/m ³				
Modulo cortante	2.6e+10 N/m ²				
Coeficiente de dilatación térmica	2.4e-05/Kelvin				

Tabla 34. Cargas y fijaciones

Nombre de sujeción	lmagen de sujeción		Detalles de sujeción			
Fijo-1				Entidades: 14 cara(s) Tipo: Geometria fija		
Fuerzas resultantes						
Componen	Componentes		Y	Z	Resultante	
Fuerza de reacción(N)		-0.0037562	662.152	-0.0485463	662.152	
Momento de reacción(N.m)		0	0	0	0	

Nombre de carga	Cargar imagen	Detalles de carga
Fuerza-1		Entidades: 1 cara(s), 1 plano(s) Referencia: Alzado Tipo: Aplicar fuerza Valores:; -,662.175; N

Tabla 35. Fuerza resultantes

Fuerzas de reacción

Conjunto de selecciones	Unidades	Sum X	Sum Y	Sum Z	Resultante
Todo el modelo	N	-0.0037562	662.152	-0.0485463	662.152

Momentos de reacción

- 1	Conjunto de selecciones	Unidades	Sum X	Sum Y	Sum Z	Resultante
I	Todo el modelo	N.m	0	0	0	0

Fuerzas de cuerpo libre

	njunto de ecciones	Unidades	Sum X	Sum Y	Sum Z	Resultante
Tod	do el modelo	N	0.142822	0.0653763	-0.0667139	0.170654

Momentos de cuerpo libre

Conjunto de selecciones	Unidades	Sum X	Sum Y	Sum Z	Resultante
Todo el modelo	N.m	0	0	0	1e-33

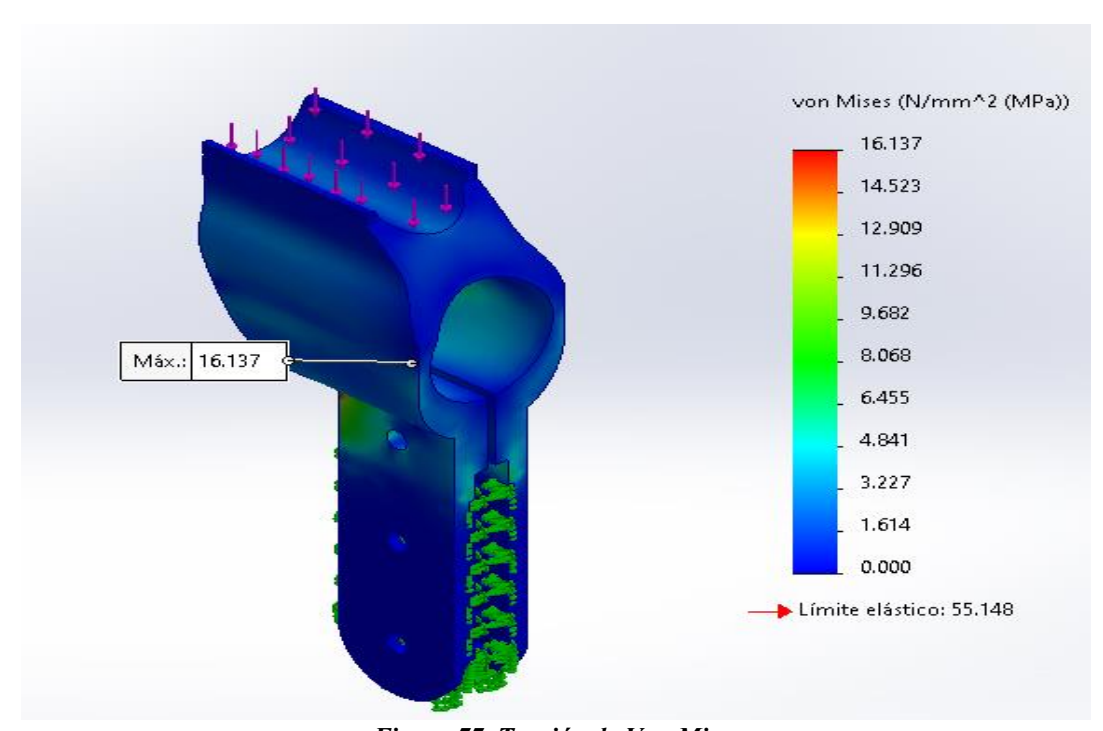


Figura 77. Tensión de Von Mises

Posteriormente, en la figura 77, se puede observar el análisis de tensión por Von Mises con una fuerza de 662.175 N que es la fuerza que soporta cada soporte. La simulación se realizó con una malla sólida con un número total de nodos de 23411 el material de aluminio 6061 que tiene un límite elástico de 55.148 MPa y el esfuerzo máximo de diseño es de 16.137 MPa el cual se encuentra en las zonas rojas y esto se halla por debajo del límite elástico del material indicándonos que el soporte ranurado no se va romper y es apto para la estructura.

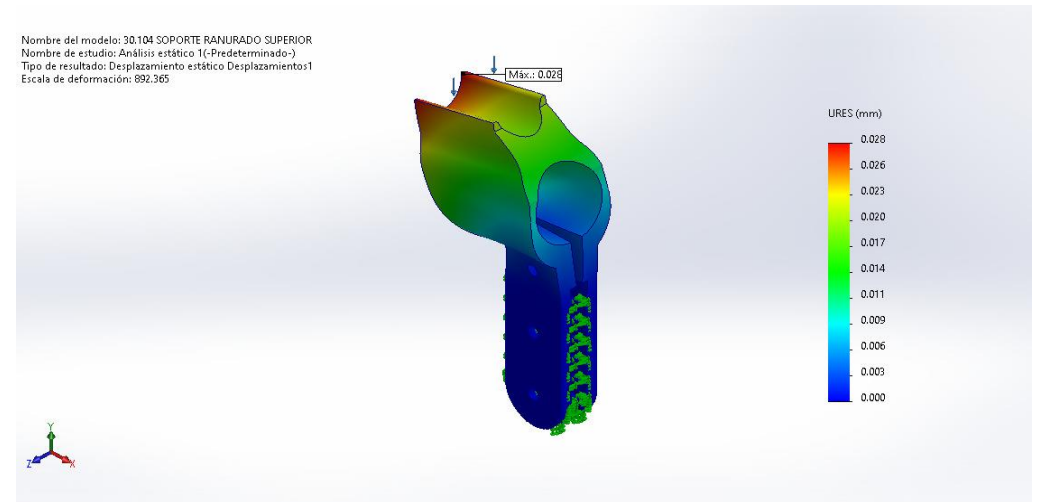


Figura 78. Análisis estático desplazamiento

En la figura 78, el estudio de desplazamiento aplicando una fuerza de 662.175 N, da el resultado un desplazamiento máximo que sufre la pieza bajo las cargas aplicadas de 0.028 mm, el cual es una deformación muy pequeña apenas 28 micrómetros esto nos indica que la pieza es rígida.

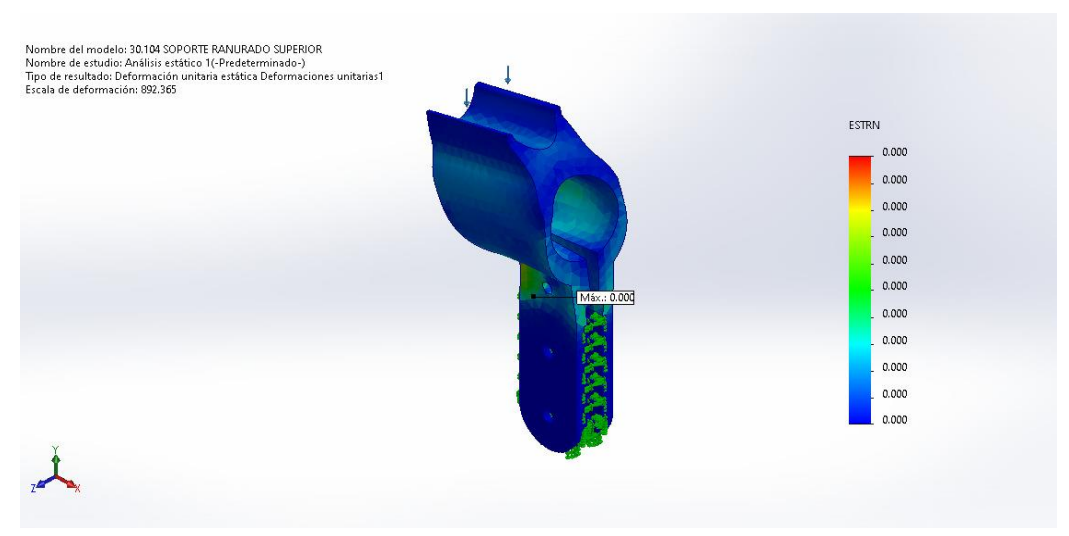


Figura 79. Análisis de deformación unitaria equivalente

En el estudio de deformación unitaria equivalente se aplicó una fuerza de 662.175 N, nos da como resultado una deformación unitaria máximo de 0.00, indica que representa la relación entre la longitud y deformación original del material lo cual significa que, por cada metro de material, la pieza no se deforma.

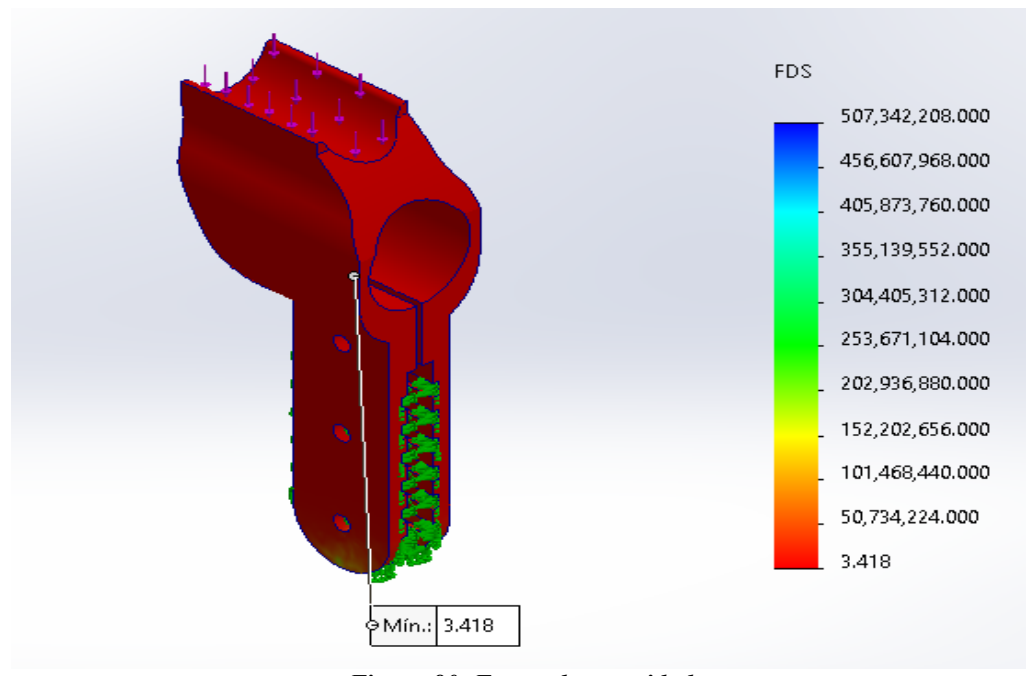


Figura 80. Factor de seguridad

En la (Figura 80) se muestra el análisis de simulación realizado en SolidWorks, con el objetivo de evaluar la integridad del componente bajo las cargas máximas de trabajo. Se obtuvo un factor de seguridad mínimo de 3,4, lo que confirma que la estructura es segura, de acuerdo con la siguiente fórmula

$$F.S = \frac{Limite\ elastico}{Esfuerzo\ maximo\ de\ diseño}$$

$$F.S = \frac{55.148\ MPa}{16.137} = 3.4$$

4.2.9. Análisis del mecanismo de estabilidad

Con el fin de certificar que la silla de ruedas no se caiga al suelo cuando el actuador eléctrico se localice en posición extendida, realizaremos un análisis de estabilidad, para ello se realizara un DCL y se considerara un coeficiente de rose de 0.2.



Figura 81. Centro de gravedad con persona incluida

Utilizamos las ecuaciones de equilibrio estático ya sea para las fuerzas en el eje Y como en el eje X.

$$\sum Fy = 0 \to R1 + R2 + R3 = W$$
 Ec. (34)
 $\sum Fx = 0 \to Fr1 + Fr2 + Fr3 = C$ Ec. (35)

Conociendo que la relación de fuerza normal y el coeficiente de rozamiento son magnitudes proporcionales, para ello aplicamos la ecuación 18:

$$Fr = u * R$$

 $Fr1 + Fr2 + Fr3 = (1324.35 \text{ N}) (0.2) = 264.87 \text{ N}$

Además, se tiene que aplicar una fuerza mayor a 264.87 N para que la silla de ruedas se pueda mover, para contrarrestar este movimiento las ruedas posteriores están completamente bloqueados y el reposapiés queda en contacto con el suelo.

Por ello, al realizar el análisis de volcamiento y considerar la posibilidad de que la silla de ruedas caiga, el cuerpo completo pivota alrededor de las reacciones R2 y R3. Por lo tanto, es necesario sumar los momentos para fijar la altura mínima en la que se ejerce la fuerza C y aplicar la ecuación 10.

$$\sum MR2y R3 = 0$$

$$1324.35 * 318.16 mm - 264.87 N * H = 0$$

$$H = \frac{(1324.35 N)(0.31816 m)}{264.87 N}$$

$$H = 1.59 m$$

En resumen, para que la silla de ruedas bípeda se vuelque pivotando en la rueda delantera y el apoyapié, se necesita una fuerza de 264.87 N aplicada a una altura de 1.59 m.

Asimismo, se debe tener en cuenta las condiciones de estabilidad; para que la silla de ruedas sea estable el momento restaurador debe ser mayor al momento de vuelco.

• Momento restaurador:

$$Mr = Fg * d$$
 Ec. (36)

Donde:

Mr: Momento restaurador

Fg= Fuerza de gravedad

d= Distancia horizontal desde el punto de apoyo al CG

Reemplazamos:

Mr= (1324.35 N) (0.4892 m)

Mr= 647.87 Nm

Momento de vuelco

$$Mv = Fexterna * h$$
 Ec. (37)

Donde:

H= altura de la fuerza (esta fuerza externa se calculó en análisis de estabilidad, asimismo la altura que se debe aplicar).

Reemplazamos:

$$Mv = (264.87 \text{ N}) (1.59 \text{ m})$$

$$Mv = 421.14 \text{ Nm}$$

Según la condición que nos indica que el momento restaurador debe ser mayor que el momento de vuelco.

$$Mr > Mv$$

647.87 Nm > 421.14 Nm

Se concluye que la silla de ruedas bípeda si es estable y no sufrirá caídas.

4.2.10. Mecanismo de accionamiento a posición bípeda

El mecanismo de operación o de elevación a la posición bípeda debe ser capaz de soportar un peso máximo de hasta 100 kg correspondiente al usuario, además del peso de la silla de ruedas bípeda, que asciende a 35 kg.

 Mecanismo de elevación. - El mecanismo aplicado para variar de postura sentada a bípeda está basado en el principio de no Grashof del paralelogramo de lados semejantes.

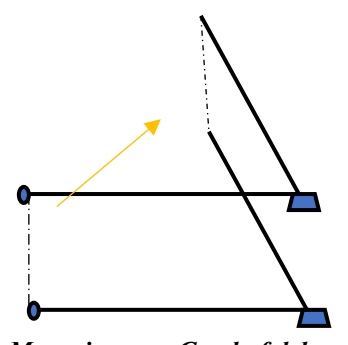


Figura 82. Mecanismo no Grashof del paralelogramo

La silla de ruedas bípeda cuenta con muchos componentes ensamblados y presenta un innovador mecanismo de elevación. El diseño incorpora un actuador lineal en la parte posterior y dos amortiguadores de gas, inclinado a 25 ° para compensar el centro de masa del usuario con discapacidad. Al activar el actuador, se despliega un mecanismo de elevación de modelo de un paralelogramo, donde dos ejes giratorios por lado son sujetados simultáneamente por los dos fragmentos fijos en los extremos de la estructura de la silla, creando estos mecanismos la función de elevación juntamente al actuador lineal.

4.2.11. Selección del mecanismo de elevación y suspensión

Tendremos en cuenta consideraciones eléctricas y mecánicas al implementar un actuador lineal, para ello aplicaremos la ecuación 11 del segundo capítulo:

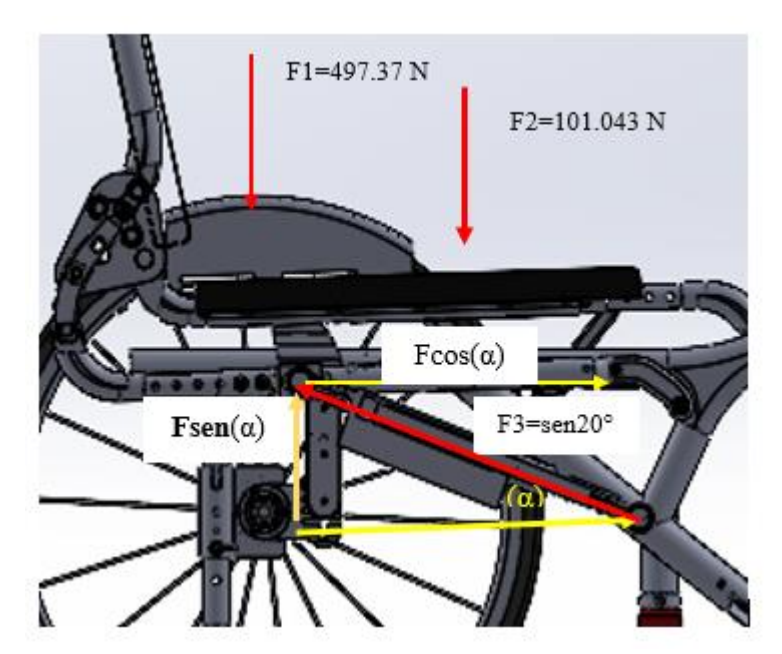


Figura 83. Selección del mecanismo de elevación y suspensión

Donde:

F1: Fuerza segmentada en el centro de gravedad de la espalda

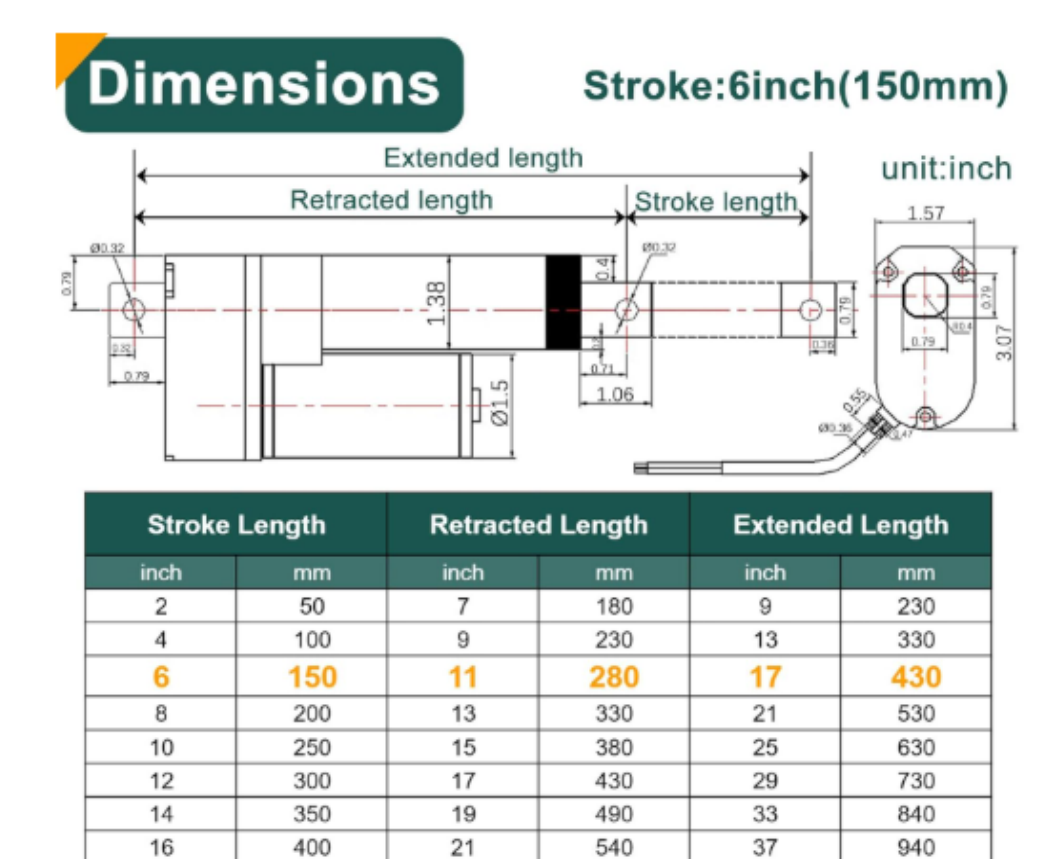
F2: Fuerza segmentada en el centro de gravedad de los muslos

F3:Fuerza del motor electrico lineal

$$\sum Fy = 0$$

Esto indica que el vástago necesita una fuerza de 1749.64 N para levantar el peso del segmento del muslo y el tronco. Asimismo, se obtiene la longitud retraída a 20° de 283.99 mm; se obtuvo la longitud extendida a 85° de 414.61 mm, lo cual nos da una extensión del pistón de 130.62 mm, para ello se seleccionó el siguiente actuador:

 Actuador lineal IP65 de 12 V: incorporado un interruptor de limite y cuenta con un motor de alto rendimiento, cuenta con engranajes de plásticos, más duraderos y silenciosos, ya que el ruido se encuentra por debajo de 50 Db, se puede detener en cualquier posición y detenerse automáticamente en la parte inferior y superior con su función de autobloqueo.



Please allow ±5% tolerance due to manual measurement.

Figura 84. Selección de actuador

Tabla 36. Especificaciones del actuador

i abia 50. Especificacio	nes aei aciaaavi
Voltaje de entrada	CC 12 V
Carga máxima de empuje	440 libras o 2000 N
Carga máxima de tracción	330 libras o 1500 N
Velocidad de viaje de carga	0.31 pulgadas/seg
Temperatura ambiente	-20 °C a 60 °C
Clase de protección	IP65
Ciclo de trabajo	10%
Material	Aleación de aluminio

Adicionalmente al actuador lineal la silla de ruedas bípeda contará con dos amortiguadores de gas para tener una mejor comodidad, estabilidad y control en terrenos irregulares, para

reducir la fatiga o estrés en el cuerpo del usuario, de esta manera optimizar la calidad de vida de los usuarios, por ello se seleccionó el siguiente amortiguador:

• Amortiguador de gas Goodyear 55 cm de 200N:

Tabla 37. Especificaciones técnicas del amortiguador

Especificación	Detalle
Marca	Goodyear
Longitud y Ø roscas	55 cm rosca Ø6mm
Fuerza	200 Newtons
Aplicaciones	Automoción, Industria
Instalación	Rápida y sencilla
Durabilidad	Alta
Material	Metal y compuestos de alta calidad

4.2.12. Selección de conexiones del actuador

Para el modelo de cilindro elegido, se utiliza una conexión específica. En la elección del tipo de conexión del pistón, se optó para el cilindro y el vástago por la conexión tipo horquilla, debido a que proporciona una estabilidad mejor en el actuador.

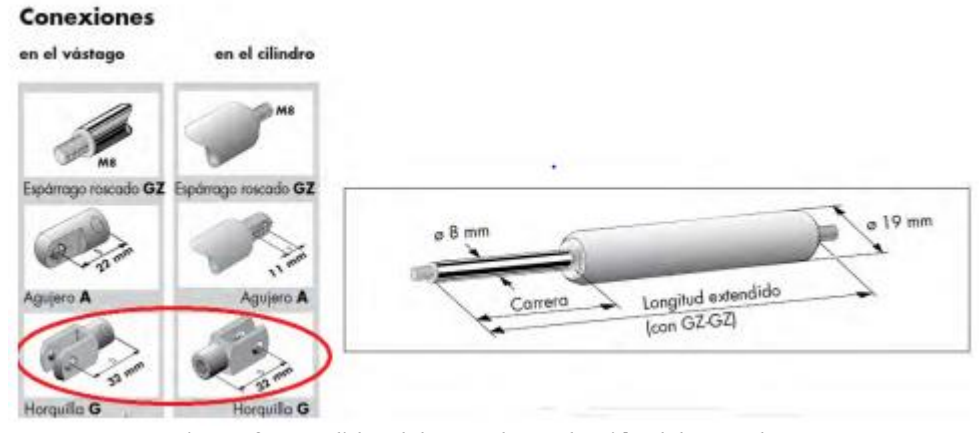


Figura 85. Medidas del actuador y elección del actuador

4.2.13. Componentes del circuito de control

a) Interruptor de encendido. - Componente eléctrico que sirve para controlar el apagado y encendido de dispositivos eléctricos, para este sistema se usara el interruptor tipo botón que se prende y apaga presionando el botón.



Figura 86. Interruptor tipo botón

b) Batería a usar. - Se usarán los siguientes cálculos, para seleccionar el tipo de batería:

Potencia nominal (P): 120W

Voltaje (V): 12 V

Luego, se calculará la corriente requerida (A):

$$A = \frac{120W}{12V} = 10 A$$

Después, calculamos la capacidad necesaria de la batería en Amperios-Horas (Ah), con un tiempo de funcionamiento de 2 horas.

$$Ah = 10 A \times 2h = 20Ah$$

En conclusión, se utilizará una batería seca Oxford modelo 6-DZM-23 de 12 V 23 Ah con peso de 6.86 kg.



Figura 87. Batería seca Oxford modelo 6-DZM-23 de 12 V 23 Ah

c) Módulo de Relé OONO. - Se utiliza para invertir el movimiento, se equipa con el interruptor de acción alternativa o auto sostenimiento, para saber si el actuador está en

movimiento el módulo cuenta luces de Led de avance (rojo) y retroceso (verde) y no consume energía cuando el interruptor no este accionado.

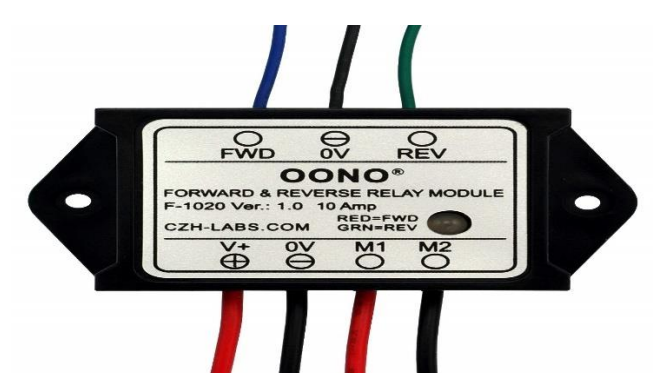


Figura 88. Módulo de Relé OONO

d) Interruptor de palanca o momentáneo. - Tipo momentáneo impermeable (ON) Apagado (ON) capacidad de voltaje de 12 voltios a 250 voltios y 15 amperios. Al mover el interruptor y mantenerlo presionado en posición ON el actuador estará encendido, al soltar se detiene el actuador y el interruptor se restablece automáticamente a OFF.

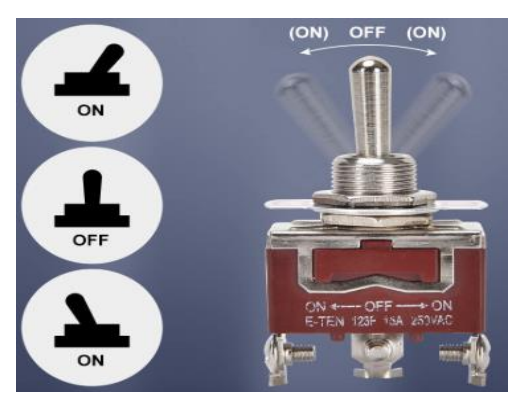


Figura 89. Interruptor de palanca

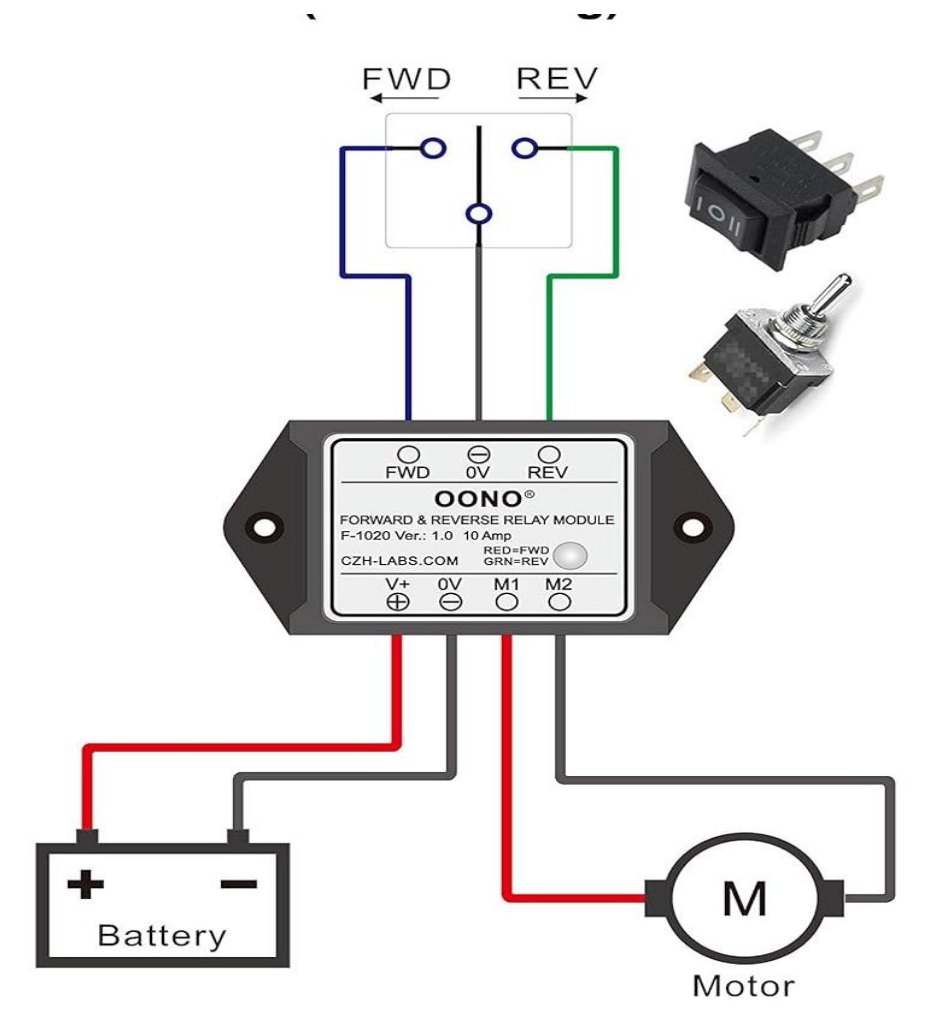


Figura 90. Diagrama de activación del actuador lineal eléctrico

4.2.14. Análisis del eje para unión de ruedas y chasis

El chasis se une con la rueda, tal como se muestra en la imagen 92, se puede observar un tornillo de 5/8" x 84 mm fabricado con material acero ASTM-A-500 que actúa como eje. El tubo exterior de acero delgado, tubo separador y los rodamientos rígidos de bolas están agregados en la rueda, siendo fijo este tipo de eje. El tubo de pared y marco son gruesos y son elaborados en relación a los requerimientos.

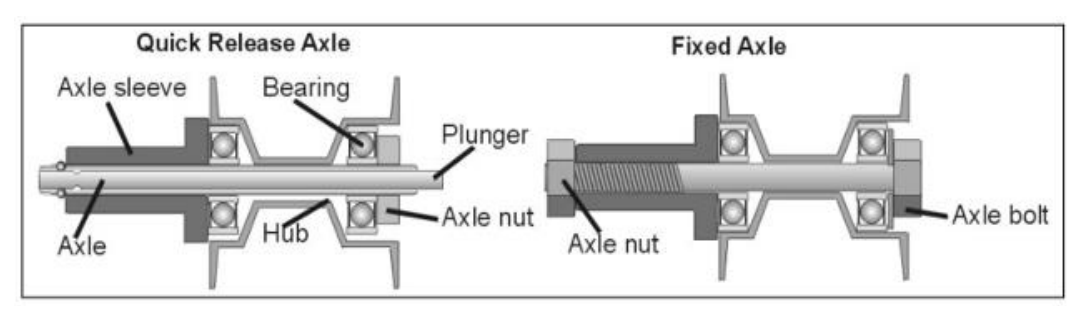


Figura 91. Tipos de eje

Examinamos si el eje fijo seleccionado de 12 mm tendrá la capacidad de aguantar su peso máximo tanto del cliente como de la silla de ruedas. Para ello, en la imagen 92 se observa el DCL de la persona de 100 kg más el peso de la silla de 35 kg cuando está en postura sentada. Empleando las situaciones de equilibrio estático se consiguen las ecuaciones 38, 39 y 40.

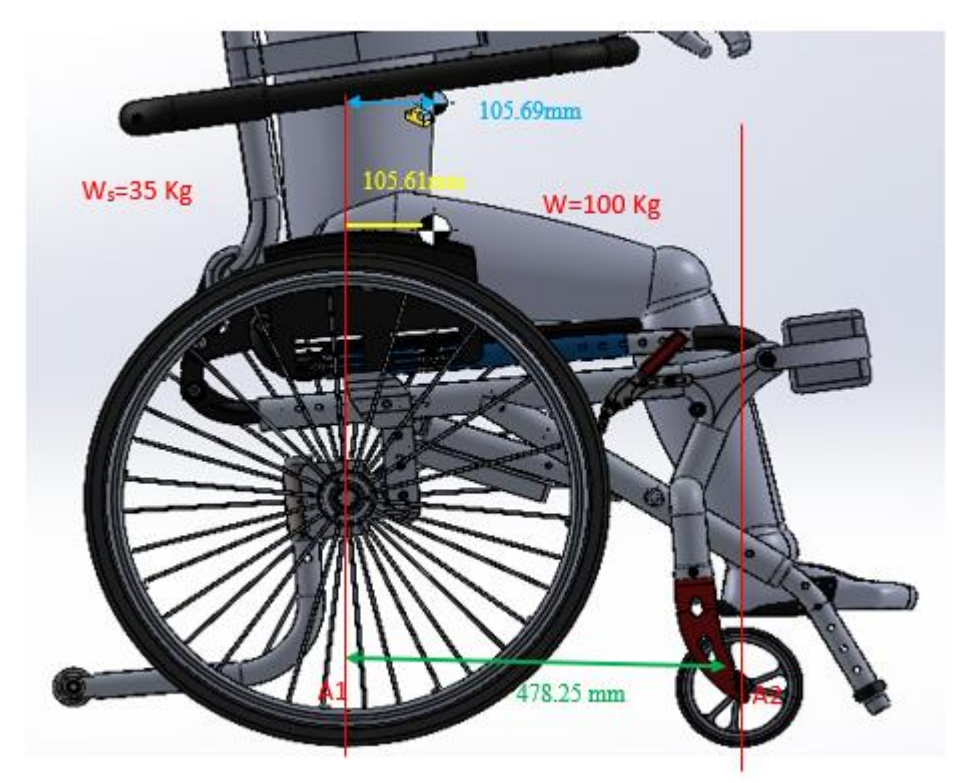


Figura 92. D.C.L. de cliente en postura sentada: W (peso de cliente) y Ws (peso de silla)

$$W_S + W = A_1 + A_2$$
 Ec. (38)

$$A_2 \times 478.25 \ mm = W_S \times 105.61 + W \times 105.69 mm$$
 Ec. (39)

$$A_2 \times 0.478 \ m = 343.35 \ N \times 0.105 \ m + 981 \ N \times 0.105 \ m$$
 Ec. (40)

$$A_2 = 290 N$$

Reemplazando la ecuación 38:

$$W_s + W = A_1 + A_2$$

343.35 $N + 981$ $N = A_1 + 290$ N
 $A_1 = 1034.35$ N

Solucionando las ecuaciones 38 y 39 se halla A1 = 1034.35 N y A2 = 290 N. La fuerza A_1 es la reacción de las dos ruedas posteriores y para una rueda es la mitad. Es decir, el valor de 517.175 N pertenece a la fuerza que se ejerce sobre el eje (tornillo).

Además, al analizar las fuerzas que actúan sobre el eje, se observa que una sección del mismo se encuentra apoyada de manera fija, mientras que la columna de la rueda funciona como un voladizo, generando esfuerzos de flexión constantes. Esto provoca que el componente tienda a experimentar fatiga. En la figura 93 se muestra el diagrama de cuerpo libre (DCL), donde se alcanza el momento flector máximo:

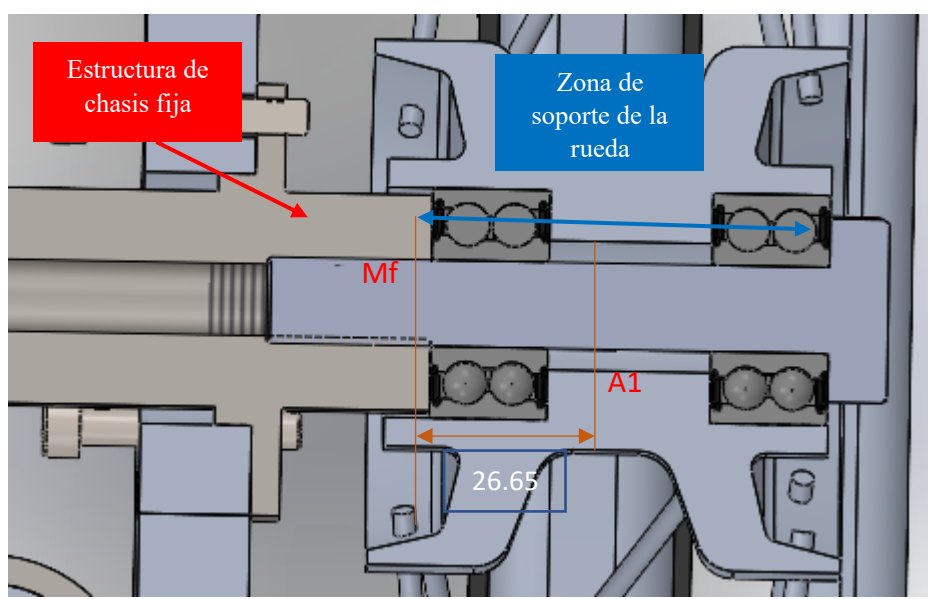


Figura 93. D.C.L. en eje de la rueda

Se calculó el esfuerzo flector (σ) usando el módulo de sección Z Ecuación 34. Donde es de 12 mm el diámetro de tornillo (D).

$$Z = \frac{\pi \times d^3}{32} = \frac{\pi (12mm)^3}{32} = 169.6 \text{ mm}^3$$

$$\sigma = \frac{M}{Z} = \frac{13798.2 \text{ Nmm}}{169.6 \text{ mm}^3} = 81.4 \text{ MPa}$$

Comparando con el límite elástico del material St37-2 de 235 MPa el esfuerzo realizado por el perno es bajo.

Considerando que el F.S (n)

$$n = \frac{Resistencia\ de\ material}{Esfuerzo\ aplicado} = \frac{235\ MPa}{81.4\ Mpa} = 2.89$$

Por lo tanto, el perno puede soportar 2.89 más carga antes de comenzar a deformarse plásticamente.

4.2.15. Componentes y dimensiones de la silla de ruedas

Se realiza el dimensionamiento parcial de la silla de ruedas con el objetivo de determinar una estructura capaz de soportar los componentes y el peso del usuario. En la figura 95 se muestra la silla en posición sentada, mientras que en la figura 96 se observa en postura bípeda con el respaldo en posición vertical, destacando las estructuras del respaldo, asiento y chasis. La tabla 38 recopila las variables dimensionales identificadas en las figuras 95 y 96, indicando para cada una si es variable o fija, así como el criterio que determina dicha variabilidad.

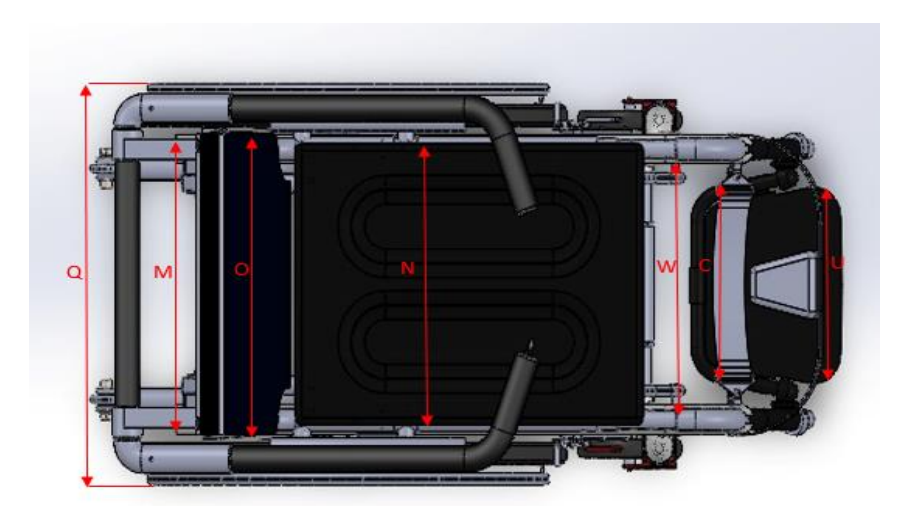


Figura 94. Silla de ruedas con posicionamiento bípedo en posición sentada

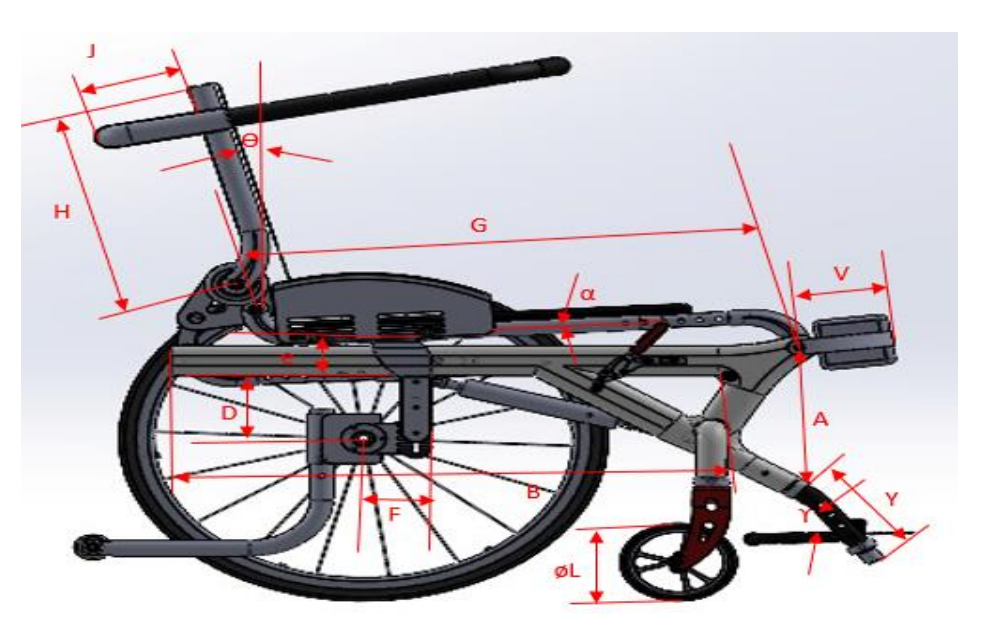


Figura 95. Representación de la silla de ruedas en posición sentada con sus longitudes geométricas

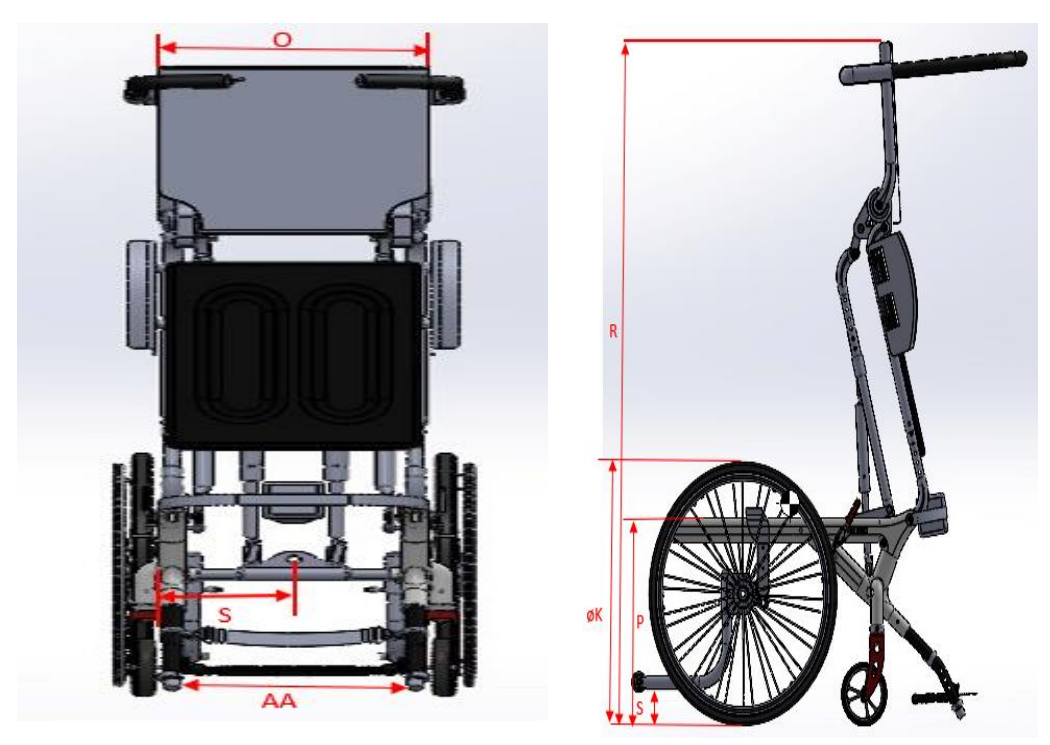


Figura 96. Representación de la silla de ruedas en postura bípeda y sus longitudes geométricas

Tabla 38. Superficies primordiales de la estructura de silla de ruedas

	Tabia 56. Superficies primordiales de la estructura de sida de ruedas							
Medida	Descripción	Tipo	Comentario					
A	Longitud del tubo vertical delantero del chasis	Fijo						
В	Longitud del tubo base del chasis	Regulable						
С	Distancia de la correa para pantorrilla	Fijo						
D	Longitud del mecanismo vertical posterior del chasis	Regulable						
E	Longitud del tubo vertical para tope del asiento	Fijo						
F	Distancia entre eje del tubo vertical posterior y eje de ruedas	Fijo						
G	Longitud del tubo de la estructura del asiento.	Fijo						
H	Longitud del tubo de la estructura del respaldar.	Abatible						
J	Radio de curvatura del tubo rigidizador de respaldar.	Regulable						
K	Diámetro de la rueda posterior.	Fijo						
L	Diámetro de la rueda delantera.	Fijo						
M	Ancho del chasis	Fijo						
N	Ancho del asiento	Fijo						
0	Ancho del respaldar.	Fijo						
Q	Ancho total de la silla de ruedas.	Fijo						
R	Alto total de la silla de rueda en posición vertical.	Fijo						
S	Distancia entre el suelo y eje de rueda antivuelco.	Regulable						
V	Ancho de seguro para rodilla	Fijo						
U	Longitud de seguro para rodilla	Regulable						
W	Ancho del tubo en "U" para posapiés	Fijo						
Y	Longitud de tubo diagonal de posapiés	Regulable						
AA	Longitud de tubo para estructura de ruedas antivuelco	Fijo						
A	Ángulo de posición inicial del asiento respecto de la horizontal	Regulable						
θ	Ángulo de posición inicial del respaldar.	Fijo						
Υ	Ángulo de inclinación de posa pies	Regulable						

4.2.16. Dimensionamiento y de la estructura del asiento

La profundidad del asiento es ajustable para que se adapte al usuario correctamente:

- Angulo del asiento: el cual se puede variar ajustando el eje de la rueda verticalmente en el marco. En la configuración estándar, el ángulo del asiento es de -4|° hacia atrás, el cual se puede ajustar entre -3° a -8° hacia atrás.
- Altura del asiento: se consigue gracias al diámetro de la rueda delantera y a la horquilla delantera, el cual garantiza la posición correcta de pie.

El diseño óptimo de la estructura del asiento para la silla de ruedas se observa en la figura 98.



Figura 97. Estructura de asiento de silla de ruedas

Las dimensiones del asiento de la silla de ruedas bípeda de largo (G) es 658 mm cuyo diámetro exterior de la tubería es 30 mm y el ancho (N) es 390 mm, el tubo de 26 mm apoya a rigidizar la estructura, se observan aberturas que vinculan con el chasis y orificios en la zona trasera para unir con el respaldar mediante pernos tipo pin.

4.2.17. Selección del material para el asiento

Para la silla de ruedas el material elegido es capa nylon elástico recubierto, fortalecido interiormente con nailon balístico y capilla de espuma de poliuretano. En la figura 98 se muestra el interior del tapiz de vinil. Mientras que, en la Figura 99 se observa el enlace del asiento en la estructura del asiento.

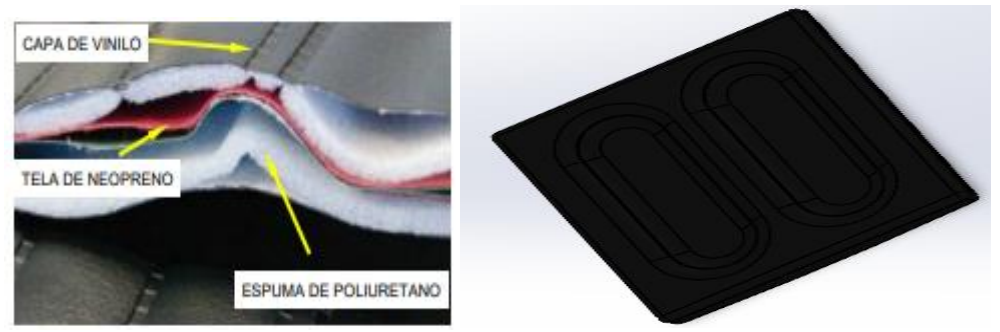


Figura 98. Asiento de silla de ruedas

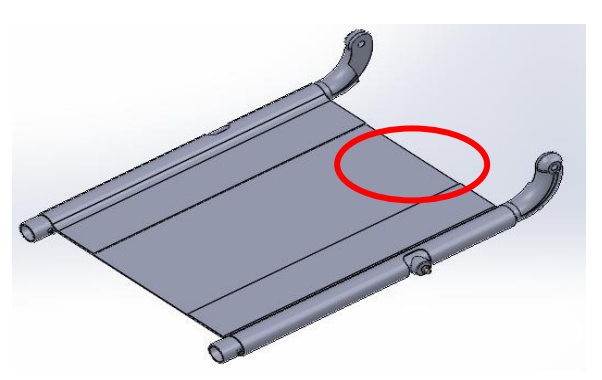


Figura 99. Ensamblaje con estructura de asiento

 Carga máxima estática en el asiento según la norma ISO 7176. -Una vez seleccionado el material y las dimensiones se verificará si la estructura resiste la carga del usuario sin deformarse.

Donde:

- σ: esfuerzo normal (Pa o N/m²)
- F: fuerza aplicada (N) = 100 Kg* 9.81 = 981 N
- A: área efectiva de soporte (m^2) = largo * ancho = 0.26 m^2

$$\sigma = \frac{F}{A} = \frac{981 \text{ N}}{0.26 \text{ m}^2}$$

$$\sigma = 3773.1 \, Pa = 3.77 \, KPa$$

La resistencia del material del asiento es de 150 KPa y este es superior a la carga máxima estática en el asiento el cual estaría cumpliendo con los lineamientos según la norma ISO 7176.

4.2.18. Dimensionamiento y función de la estructura del respaldar

El ancho O se instauró en 530 mm y la altura H en 402.07 mm cuenta con dos planchas horizontales unidas a un tubo transversal para que sea firme a la estructura y apoye al cojín del respaldo. El tubo transversal también servirá como mango de empuje para el cuidador del usuario. Asimismo, cuenta con un respaldar que utiliza la tecnología ABC el cual realiza

movimientos de compensación durante la bipedestación para tener una mejor postura, el respaldar es plegable lo que facilita el transporte de la silla.

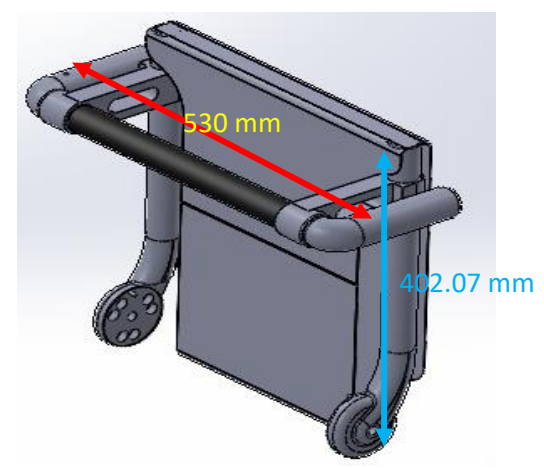


Figura 100. Estructura de respaldar de silla de ruedas

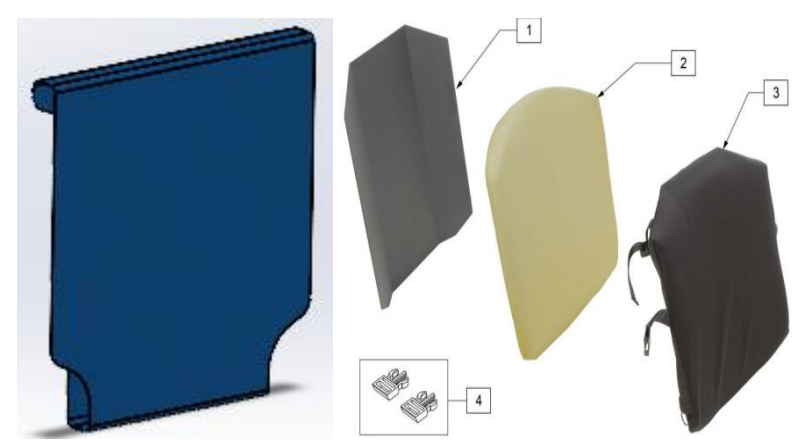


Figura 101. Tapicería de nylon elástico recubierto del respaldar

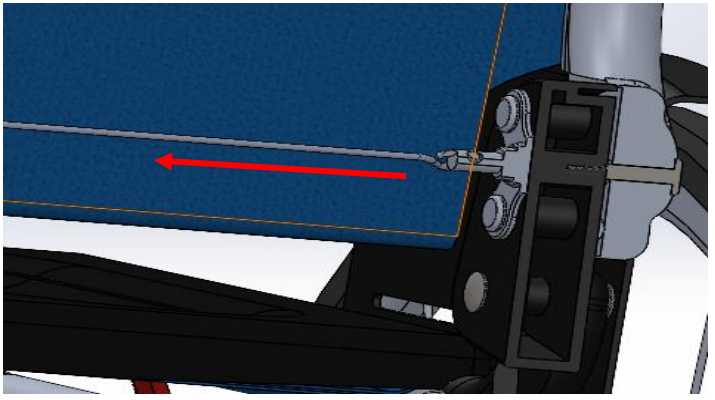


Figura 102. Mecanismo para retraer el respaldar

• Análisis del respaldar:

En este análisis del respaldo de la silla de ruedas para la postura sentada (-4°), se colocan las cargas críticas a las que están sometidos dichos componentes. La carga crítica se produce cuando el individuo apoya todo el peso de su cabeza, cuello y tronco sobre el respaldo.

Teniendo en cuenta el peso del cuello, cabeza, tronco, brazos y manos, se obtiene un FR= 63.5 kg (63.5%) siendo el peso de un usuario de 100 kg. Usamos la fórmula para calcular cuánto de fuerza va a soportar la estructura del respaldar:

En conclusión, los dos soportes del respaldar soportan 620.8 N y cada uno 310.4 N dicha fuerza se aplicará para la simulación:

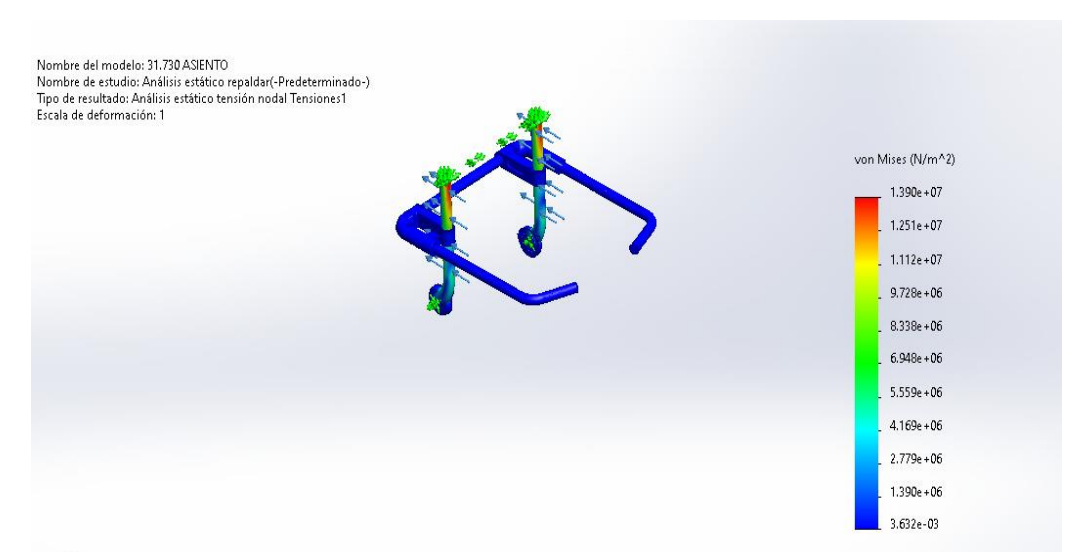


Figura 103. Análisis de tensión cuando el usuario está apoyado al respaldar

En la figura 103 se analiza el estudio de tensión por Von Mises con una fuerza de 310.4 N, que es la fuerza del usuario cuando se reclina a cada uno de los soportes del respaldar. La simulación se realizó con una malla solida (basada en curvatura) con un número total de nodos de 180214, el material aluminio 6061 del respaldar tiene un límite elástico de 5.51485e+07 N/m² o 55.148 MPa y el esfuerzo máximo obtenido a través del Solid Word mediante el análisis de Von Mises es 1.390e+07 N/m² o 13.90 MPa el cual se observa en las zonas rojas del respaldar y se ubica por debajo del límite elástico del material, lo que nos indica que el material no se va a romper y es apto para la estructura.

Para conseguir el factor de seguridad y evaluar la integridad del componente bajo cargas de trabajo máxima se realizará el siguiente calculo:

$$F.S = \frac{L\text{\'imite el\'astico}}{Esfuerzo\ maximo\ de\ dise\~no}$$

$$F.S = \frac{55.148\ MPa}{13.90\ MPa} = 3.97$$

Obteniendo un factor de seguridad de 3.97 el cual nos indica que puede resistir casi 4 veces su peso y nos indica que la estructura es segura.

• Análisis de apoyabrazos:

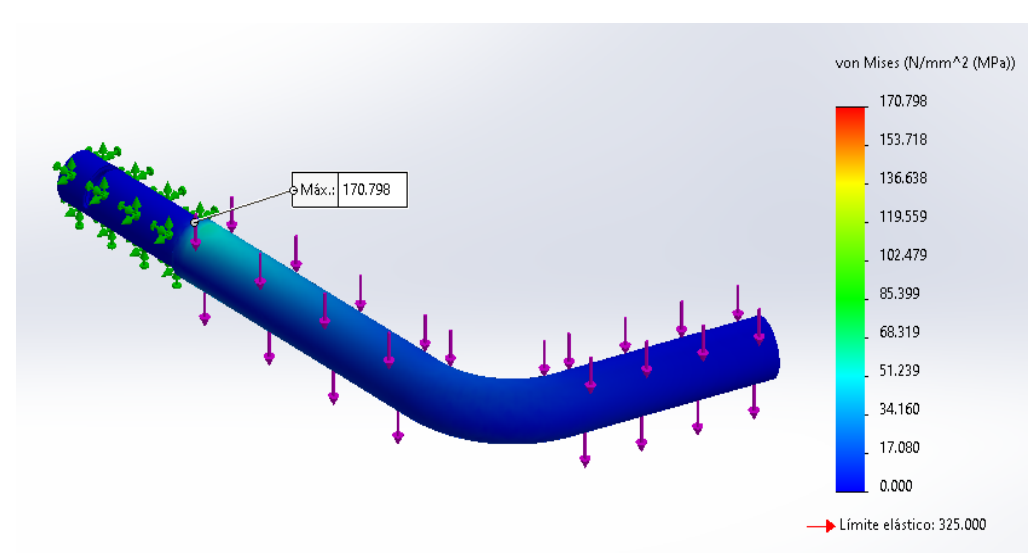


Figura 104. Análisis estático del reposa brazos

En ala figura 104 se muestra el estudio de tensión por Von Mises en la que se aplicó una fuerza de 122.5 N, que sería el peso de ambos brazos y manos para una persona con 100 Kg. La simulación se realizó con una malla solida (malla basada en curvatura) con un número total de nodos de 45473 el material usado es el acero ASTM A500 con un límite elástico de 325 MPa para el cual a través de la simulación se obtuvo el esfuerzo máximo de 170.798 MPa el cual se observa en las áreas rojas, el cual se ubica por debajo del límite elástico del material y es apto para la estructura. Se logró un factor de seguridad de 1.9.

4.3. Dimensionamiento del chasis de la silla de ruedas

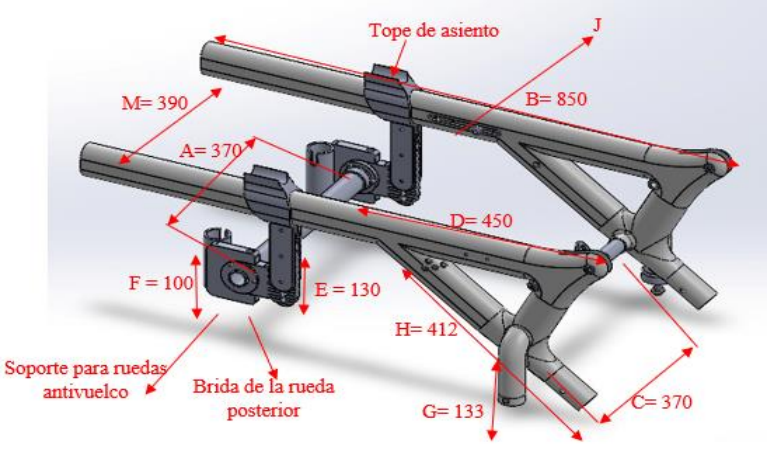


Figura 105. Estructura óptima del chasis

Donde:

- El ancho M del chasis es de 390 mm
- El largo del chasis B es de 850mm para una adecuada estabilidad de la silla de ruedas. Permitiendo que los neumáticos traseras y delanteras no choquen entre sí.
- La longitud del tubo base A y del tuvo delantero C es de 370 mm, los cuales servirán para rigidizar a la estructura. La distancia D entre él tuvo A y C es de 450 mm, que se da de la distancia entre él tuvo base y delantero.
- El tope de asiento tiene como función el de soportar y restringir la estructura del asiento.
- La longitud de las planchas E es de 130mm, las cuales sirven para regular el ángulo del asiento.
- El largo de los tubos F es de 100mm, los cuales son la funda para instalar las bases para las ruedas antivuelco traseras.
- La longitud de los tubos G es de 133mm, los cuales son las bases para instalar los ejes de las ruedas delanteras.
- La longitud H es de 412 mm, los cuales son la funda para instalar las bases para los reposapiés.
- La pieza J es el mecanismo tipo tijera se activa cuando el usuario acciona el interruptor para pasar de la postura sentada a la posición parada, y esto permite que el reposapiés baje al nivel del suelo.

4.3.1. Selección de ángulos para el usuario en la silla de ruedas

La delimitación de la postura sentada (inicial) y postura parada (final) del cliente se da con apoyo de la selección de los ángulos.

 a) En posición sentada. - Se consideró 4° como ángulo ideal (θ) del asiento con respecto a la horizontal.

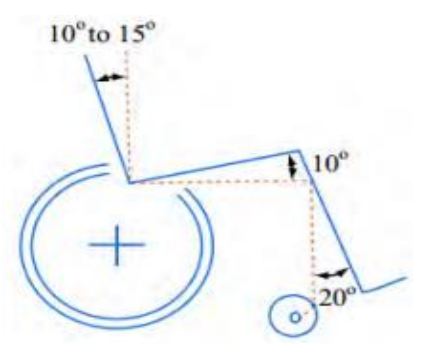


Figura 106. Rango ideal para la posición sentada del usuario

b) En posición bípeda. - Se consideró 14° como ángulo ideal (β) del respaldo en relación de la vertical. En otras palabras, al terminar el movimiento de los componentes de levante del asiento, en su postura bípeda, este obtenga con la vertical un ángulo de 14°.



Figura 107. Ángulo de 14° en relación de la vertical

4.3.2. Diseño y análisis del mecanismo de levante

El diseño planteado es para posicionar verticalmente al usuario, la silla de ruedas con posicionamiento bípedo está constituida por el asiento, respaldar y componentes de dominio para el actuador (ubicados de tal modo que trabajan como un mecanismo principio de no Grashof del paralelogramo de lados semejantes). Se usará un interruptor momentáneo para posicionar verticalmente al usuario.

El usuario al estar en una adecuada posición sentada en la silla de ruedas bípeda el peso estará distribuido 80% en la parte posterior y 20% en la parte delantera y los reposa pies estará a una altura del suelo para tener un mejor control al momento de trasladarse.

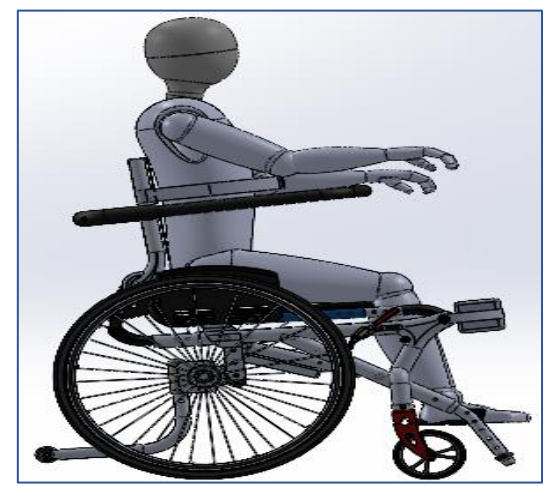


Figura 108. Usuario posición sentado 4 puntos de apoyo

En la figura 109 se muestra una junta de 2 grados de libertad (pares superiores) que de modo paralelo aprueban dos desplazamientos relativos individuales, es decir, de rotación y traslación, entre los eslabones vinculados. A veces, se conoce como "semi junta", paradójicamente, con sus dos grados de libertad ubicados en el denominador. La semi junta es conocida también como junta deslizante- rodante porque aprueba tanto deslizamiento y rodamiento.

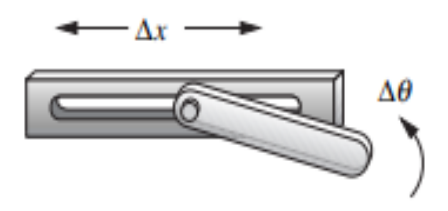


Figura 109. Pasador en una ranura

El funcionamiento de la junta rodante-deslizante inicia cuando el paciente se encuentra en posición de sentado, primero tiene que bloquear las ruedas posteriores activando los frenos, al momento de activar el actuador lineal, la estructura del respaldar y asiento giran sobre el chasis y mediante un conector este jala un pistón corredizo que se desliza horizontalmente con dos ranuras de guía internamente en el chasis, al realizar este movimiento cuanto mayor sea la longitud extendida del actuador el reposa pies va descendiendo hasta tocar con el suelo, en ese momento el usuario pasa de una posición sentado a bípedo (85°), es ahí donde se logra obtener los seis puntos de apoyo con el suelo para evitar volcaduras y tener mayor seguridad.



Figura 110. Silla poción bípeda, 6 puntos de apoyo

Los interruptores momentáneos son dispositivos eléctricos que permiten controlar el flujo de corriente con un simple movimiento de una palanca. Son fáciles de usar, ofrecen un acceso rápido y tienen un diseño compacto, haciéndolos ideales para una variedad de aplicaciones. Además, su diseño seguro evita el riesgo de choque eléctrico. Se utilizan en sistemas de iluminación, circuitos de control, equipos industriales y paneles de control, así como en la automoción para controlar luces, ventanas y espejos, entre otros.

4.3.3. Tornillos de la silla de ruedas

Tabla 39. Tornillos de sujeción

Tabla 39. Tornillos de sujection							
Tamaño	Tipo del tornillo	Allen/llave inglesa	Max. Esfuerzo				
del tornillo			de torsión				
M4	Tornillo de cabeza Hexagonal	3 mm	2.5 Nm				
	Tornillo de fijación del casquillo	2 mm					
M5	Tornillo de cabeza hueca	6 mm	5 Nm				
	Tornillo de cabeza ovalada	3 mm					
	Tornillo de fijación del casquillo	2.5 mm					
M6	Tornillo de cabeza hueca	5 mm	9Nm				
	Tornillo de cabeza ovalada	4 mm					
	Tornillo de fijación del casquillo	3 mm					
M8	Tornillo de cabeza hueca	6 mm	21 Nm				

4.3.4. Análisis de puntos críticos de la silla de ruedas bípeda

4.3.4.1. Análisis del chasis

Se hará el análisis de esfuerzos en el bastidor de la silla de ruedas utilizando el método de elemento finitos, a través del software SolidWorks Simulation, dado que el elemento es un componente complejo.

El chasis constituye la estructura principal de soporte en la silla de ruedas bípeda, sobre la cual se distribuyen todas las cargas generadas por el peso del usuario, los mecanismos de elevación, las baterías y los componentes móviles. Debido a su importancia funcional y a las consecuencias críticas en caso de fallo, se ha aplicado un factor de seguridad (FS) de 2.5, conforme a recomendaciones de diseño mecánico para dispositivos de asistencia biomecánica.

Este valor asegura que la estructura del chasis sea capaz de resistir, como mínimo 2.5 veces la carga máxima esperada, proporcionando un margen de seguridad ante sobrecargas

accidentales, condiciones dinámicas de uso y posibles imperfecciones del material o proceso de fabricación.

Para los cálculos estructurales, se consideró un peso máximo del usuario de 100 kg, equivalente a una carga vertical de aproximadamente 980 N. Con el FS adoptado, se dimensionaron los perfiles estructurales del chasis para resistir al menos 2450 N.

La elección del factor de seguridad y la evaluación de la resistencia del chasis se respaldan en lo establecido por la norma internacional ISO 7176-8, que define los requisitos y métodos de ensayo para la resistencia estática, el impacto y la fatiga en sillas de ruedas.

a) Análisis del chasis por lado cuando el usuario está en posición sentado

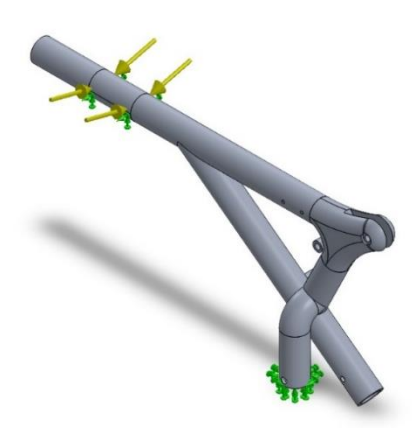


Figura 111. Puntos críticos del chasis cuando está el usuario en posición sentado

Tabla 40. Propiedades del chasis

Propiedades					
Nombre:	Aleación 6061				
Tipo de modelo	Isotrópico elástico lineal				
Criterio de error predeterminado	Desconocido				
Limite elástico	5.5148e+07 N/m ²				
Límite de tracción	1.24084e+08N/m ²				
Modulo elástico	6.9e+10N/m ²				
Coeficiente de Poisson	0.33				
Densidad	2.700 kg/m ³				
Modulo cortante	2.6e+10 N/m ²				
Coeficiente de dilatación térmica	2.4e-05/Kelvin				

Tabla 41. Cargas y sujeciones

1 abia 41. Cargus y sujectones								
Nombre de sujeción	magen de sujeción		Detalles de sujeción					
Fijo-1			Entidades: 1 cara(s) Tipo: Geometría fija					
Fuerzas resultantes								
Componentes	Х	Υ	Z	Resultante				
Fuerza de reacción()	3.7641	634.365	13.6884	634.524				
Momento de reacción(N.m)	0	0	0	0				
Fijo-2	Fijo-2							
Fuerzas resultantes								
Componentes	X	Y	Z	Resultante				
Fuerza de reacción()	-3.75926	4.05354	-0.364844	5.54043				
Momento de reacción(N.m)	Momento de		0	0				
	reaccion(train)							

Nombre de carga	Cargar imagen	Detalles de carga
Fuerza-1	· MAMA	Entidades: 1 cara(s) Tipo: Aplicar fuerza normal Valor: 981 N

Tabla 42. Fuerza resultantes

Fuerzas de reacción

Conjunto de selecciones	Unidades	Sum X	Sum Y	Sum Z	Resultante
Todo el modelo	N	0.00484283	638.419	13.3236	638.558

Momentos de reacción

Conjunto de selecciones	Unidades	Sum X	Sum Y	Sum Z	Resultante
Todo el modelo	N.m	0	0	0	0

Fuerzas de cuerpo libre

Conjunto de selecciones	Unidades	Sum X	Sum Y	Sum Z	Resultante
Todo el modelo	N	-5.06639e-07	-4.36604e-05	3.70443e-05	5.72605e-05

Momentos de cuerpo libre

Conjunto de selecciones	Unidades	Sum X	Sum Y	Sum Z	Resultante
Todo el modelo	N.m	0	0	0	1e-33

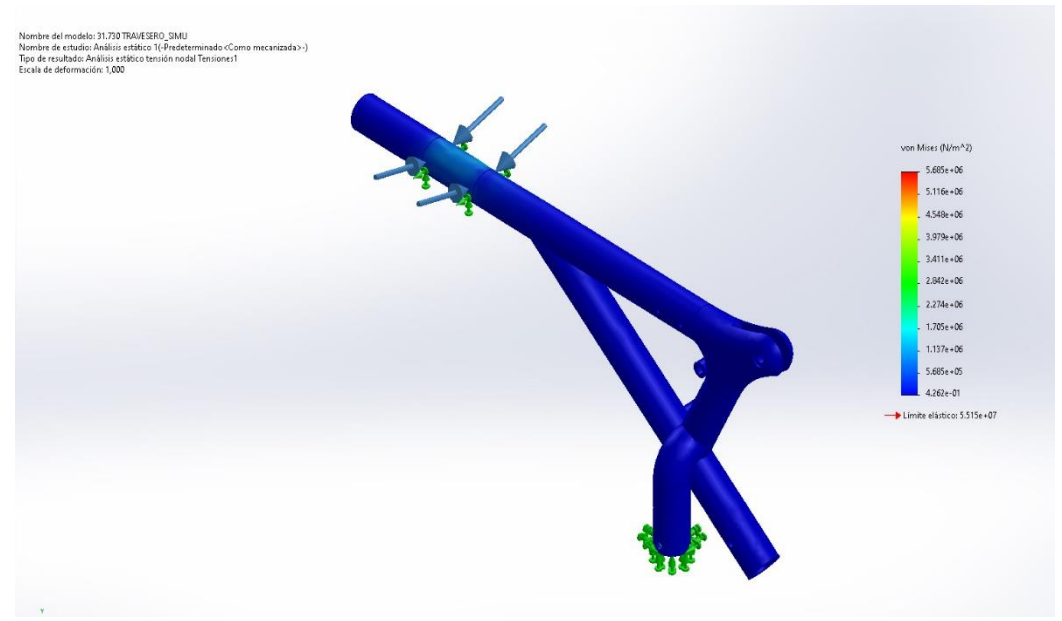


Figura 112. Análisis de tensión

En la figura 112, se puede observar el análisis de tensión por Von Mises con una fuerza de 981 N, que es la fuerza que soporta cada chasis cuando el usuario está en posición sentado. La simulación se realizó con una malla solida con un número total de nodos de 23175 con el material de aluminio 6061 que cuenta con un límite elástico de 55.148 MPa y el esfuerzo máximo de diseño es de 5.685 MPa, el cual se encuentra en las zonas rojas y esto se halla por debajo del límite elástico del material, indicándonos que el chasis no se va romper y es apto para la estructura.

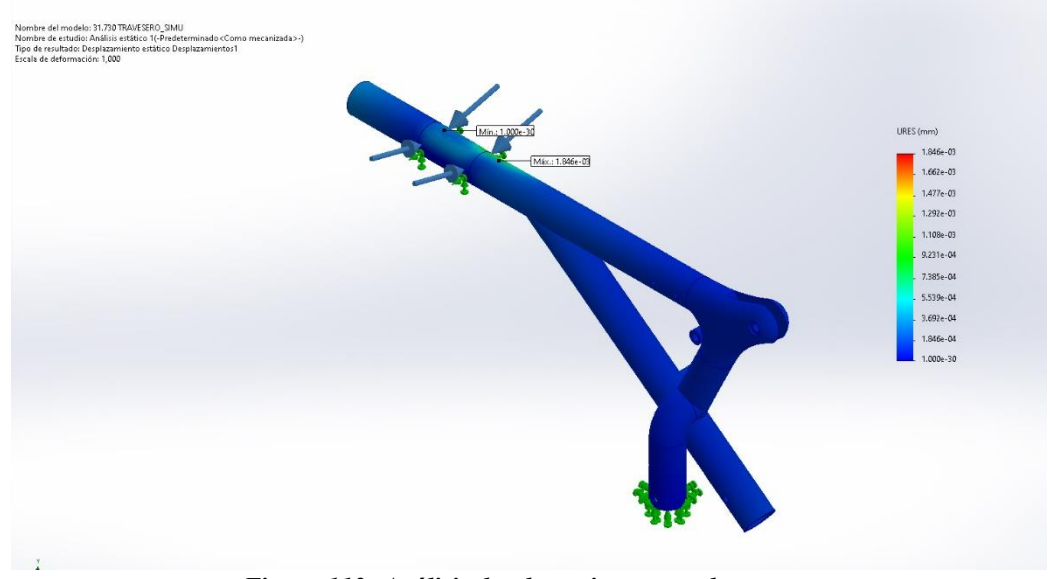


Figura 113. Análisis desplazamientos resultantes

En el estudio de desplazamiento aplicando una fuerza de 981 N, nos da el resultado de un desplazamiento máximo que sufre la pieza bajo las cargas aplicadas de 0.00186 mm, el cual es

una deformación muy pequeña apenas de 1.86 micrómetros, lo cual nos indica que la pieza es rígida.

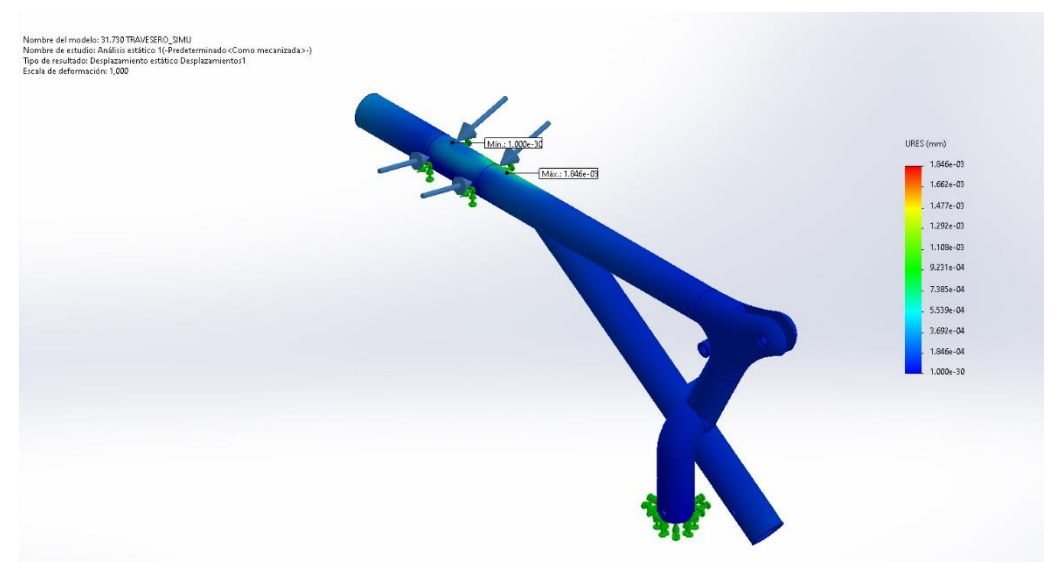


Figura 114. Deformación unitaria equivalente

En el estudio de deformación unitaria equivalente se aplicó una fuerza de 981 N, dándonos como resultado una deformación unitaria máximo de 0.00005845, lo cual indica que representa la relación entre la longitud y la deformación original del material, significando que, por cada metro de material, la pieza se deforma, pero está dentro de su zona elástica.

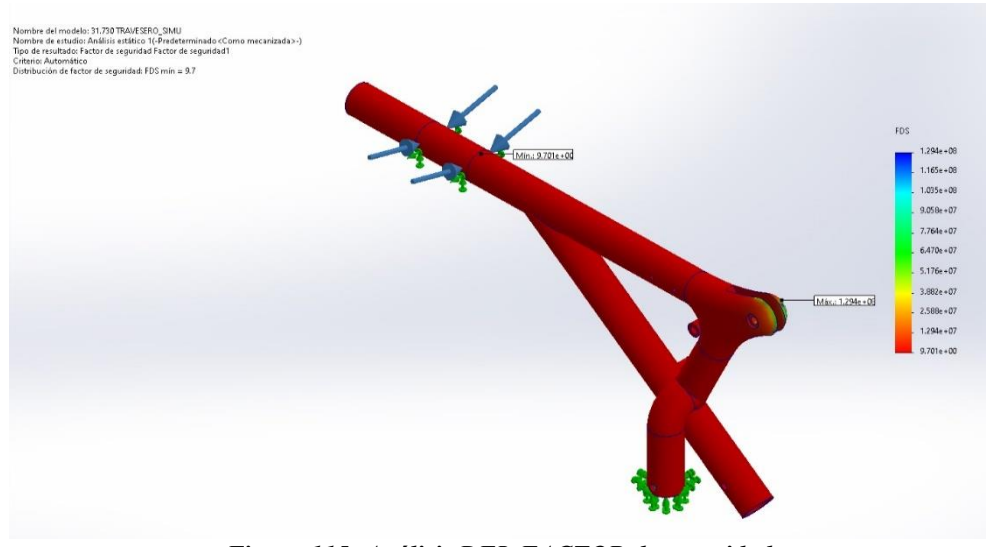


Figura 115. Análisis DEL FACTOR de seguridad

En la figura 115 se presenta el análisis de simulación en Solid Word que se realizó para evaluar la integridad del componente bajo cargas de trabajo máximas. Obteniendo el factor de seguridad mínimo de 9.7, el cual comprueba que la estructura es segura a través de la siguiente fórmula.

$$F.S = \frac{Limite\ elastico}{Esfuerzo\ maximo\ de\ diseño}$$

$$F.S = \frac{55.148\ MPa}{5.685} = 9.7$$

b) Análisis del chasis por lado cuando el usuario está en posición bípeda

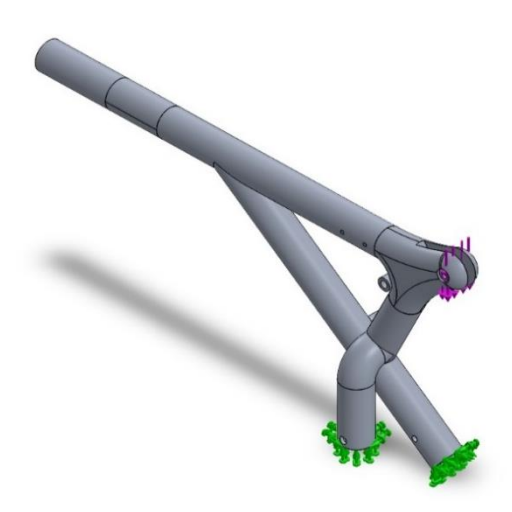


Figura 116. Análisis de chasis con la persona en posición bípeda

Tabla 43. Cargas v sujeción

Nombre de sujeción	Imagen de sujeción Detalles de sujeción			ón
Fijo-1		Entidades: 1 cara(s) Tipo: Geometría fija		
Fuerzas resultantes				
Componentes	X	Υ	Z	Resultante
Fuerza de reacción(N)	382.923	-64.8163	-63.6556	393.552
Momento de reacción(N.m)	0	0	0	0
Fijo-2	Entidades: 1 car Tipo: Geor	ra(s) netría fija		
Fuerzas resultantes				
Componentes	Х	Υ	Z	Resultante
Fuerza de reacción(N)	-382.923	1,045.82	63.6556	1,115.53
Momento de	0	0	0	0

Nombre de carga	Cargar imagen	Detalles de	e carga
Fuerza-2	X	Referencia: Tipo:	1 cara(s), 1 plano(s) Vista lateral Aplicar fuerza ; -,490.5; N
Fuerza-3	R	Referencia: Tipo:	1 cara(s), 1 plano(s) Vista lateral Aplicar fuerza ; -,490.5; N

Tabla 44. Fuerzas resultantes

Fuerzas de reacción

Conjunto de selecciones	Unidades	Sum X	Sum Y	Sum Z	Resultante
Todo el modelo	N	-2.64645e-05	981	-1.71661e-05	981

Momentos de reacción

Conjunto de selecciones	Unidades	Sum X	Sum Y	Sum Z	Resultante
Todo el modelo	N.m	0	0	0	0

Fuerzas de cuerpo libre

Conjunto de selecciones	Unidades	Sum X	Sum Y	Sum Z	Resultante
Todo el modelo	N	-0.000114918	0.000200152	-0.000204086	0.000308088

Momentos de cuerpo libre

Conjunto de selecciones	Unidades	Sum X	Sum Y	Sum Z	Resultante
Todo el modelo	N.m	0	0	0	1e-33

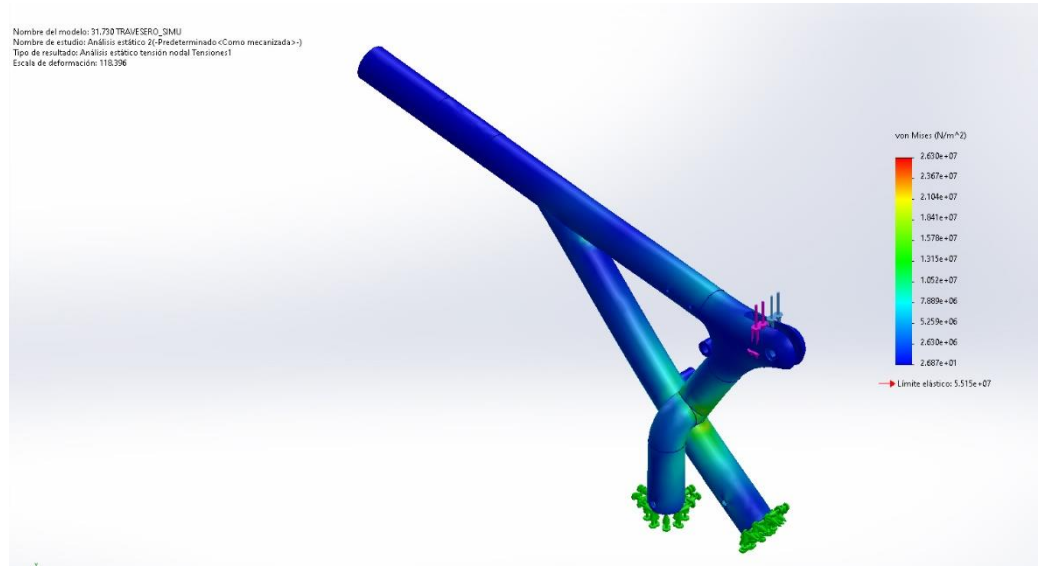


Figura 117. Análisis de tensiones

En la figura 117 se puede observar el análisis de tensión por Von Mises con una fuerza de 662.175 N, que es la fuerza que soporta cada chasis cuando el usuario está en posición bípeda. La simulación se realizó con una malla solida (malla basada en curvatura de combinado) con

un número total de nodos de 23177 con el material de aluminio 6061 que cuenta con un límite elástico de 55.148 MPa y el esfuerzo máximo de diseño es de 26.30 MPa, el cual se encuentra en las zonas rojas y esto se halla por debajo del límite elástico del material, indicándonos que el soporte ranurado no se va romper y es apto para la estructura.

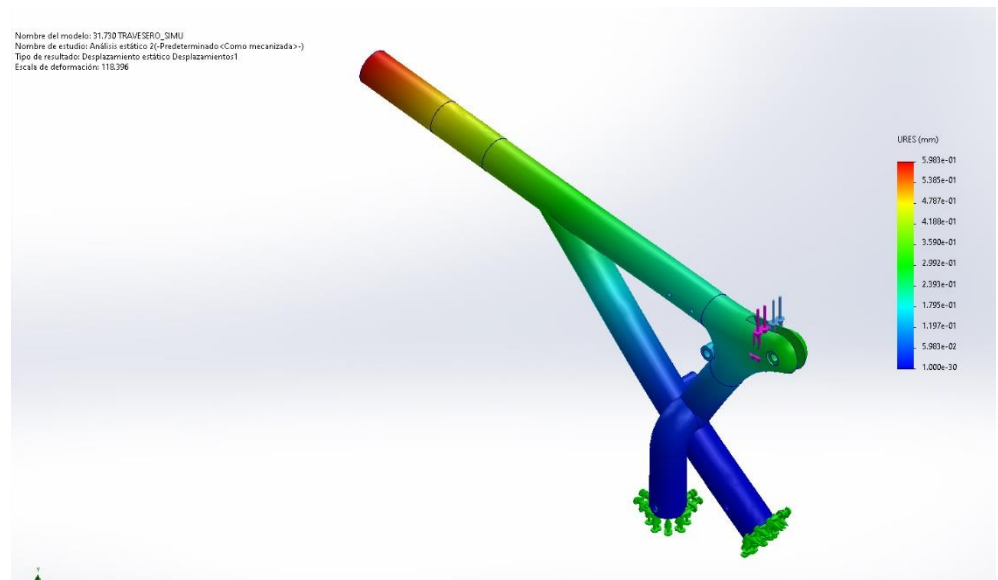


Figura 118. Análisis desplazamientos resultantes

En el estudio de desplazamiento aplicando una fuerza de 490.5 N, nos da el resultado de un desplazamiento máximo que sufre la pieza bajo las cargas aplicadas de 0.5983 mm, el cual es una deformación muy pequeña, indicándonos que la pieza es rígida.

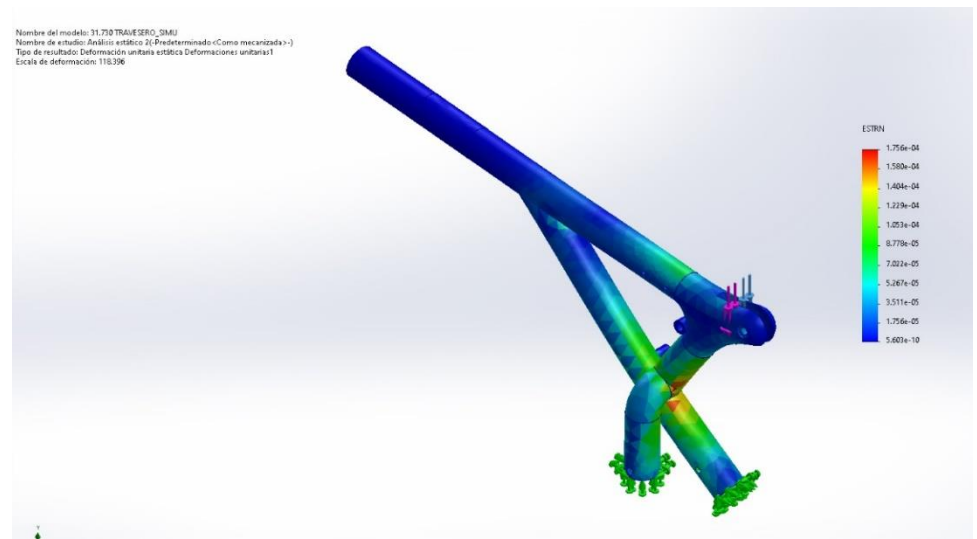


Figura 119. Deformación unitaria equivalente

En el estudio de deformación unitaria equivalente se aplicó una fuerza de 490.5 N, dándonos como resultado una deformación unitaria máximo de 0.0001756, lo cual indica que representa

la relación entre la longitud y la deformación original del material, significando que, por cada metro de material, la pieza se deforma, pero está dentro de su zona elástica.

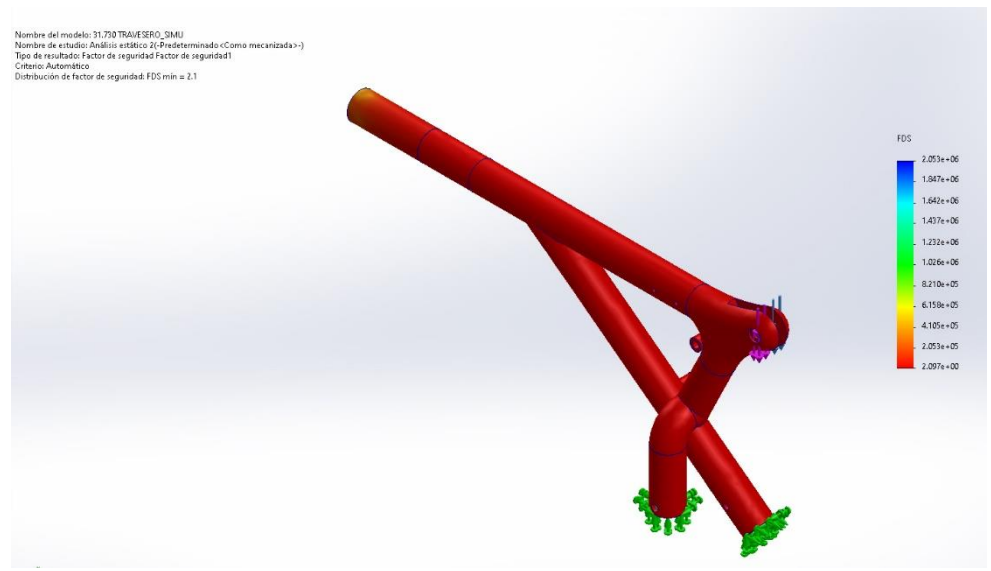


Figura 120. Análisis del factor de seguridad

En el estudio del factor de seguridad aplicando una fuerza de 490.5 N, nos da como resultado un factor de seguridad mínimo de 2.097e+06.

En la figura 120 se presenta el análisis de simulación en Solid Word que se realizó para evaluar la integridad del componente bajo cargas de trabajo máximas. Obteniendo el factor de seguridad mínimo de 2.09 el cual comprueba que la estructura es segura a través de la siguiente fórmula.

$$F.S = \frac{Limite\ elastico}{Esfuerzo\ maximo\ de\ diseño}$$

$$F.S = \frac{55.148\ MPa}{26.30} = 2.09$$

4.3.5. Componentes adaptables a la fisionomía del usuario

4.3.5.1. Ángulo del asiento

Se puede variar el ángulo del asiento ajustando el eje de la rueda verticalmente en el marco. En la configuración estándar, el ángulo del asiento es de -4° hacia atrás. Ajustando la altura del adaptador del eje es posible ajustar el ángulo del asiento entre -3° y -8° hacia atrás, esto se podrá realizar dependiendo del tamaño de la rueda posterior y de la altura del asiento. No se recomienda tener un angulo de asiento inferior a 3° debido al mayor riesgo de inclinación hacia adelante en la posición de píe.

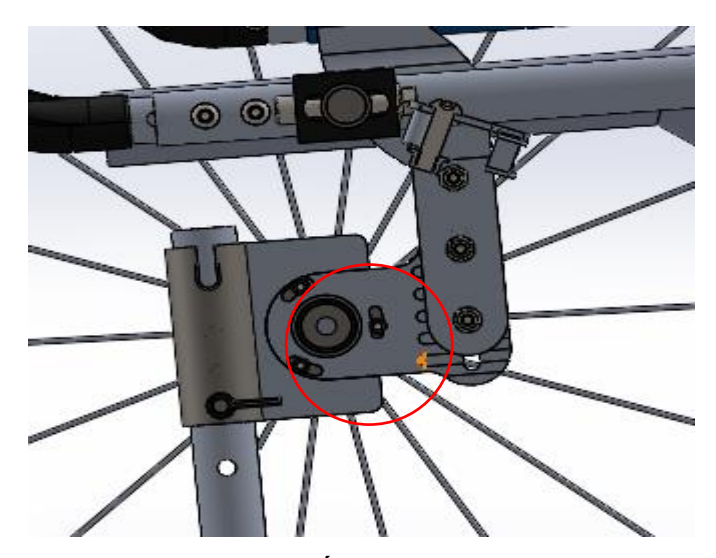


Figura 121. Ángulo del asiento

4.3.5.2. Ajuste del centro de gravedad

Al ajustar el tubo del eje de la rueda trasera, ya sea hacia adelante o hacia atrás, puede aumentar o disminuir la carga de la rueda delantera. Además, mover el tubo del eje hacia adelante mueve el centro de gravedad hacia atrás y hace que la parte delantera sea más liviana (es más probable que se incline hacia atrás); asimismo, mover el tubo del eje hacia atrás mueve el centro de gravedad hacia adelante y hace que la parte delantera sea más estable (es menos probable que se incline hacia atrás). Por otro lado, para evitar posibles accidentes en los que el usuario vuelque hacia atrás, se instalara dispositivos antivuelco.

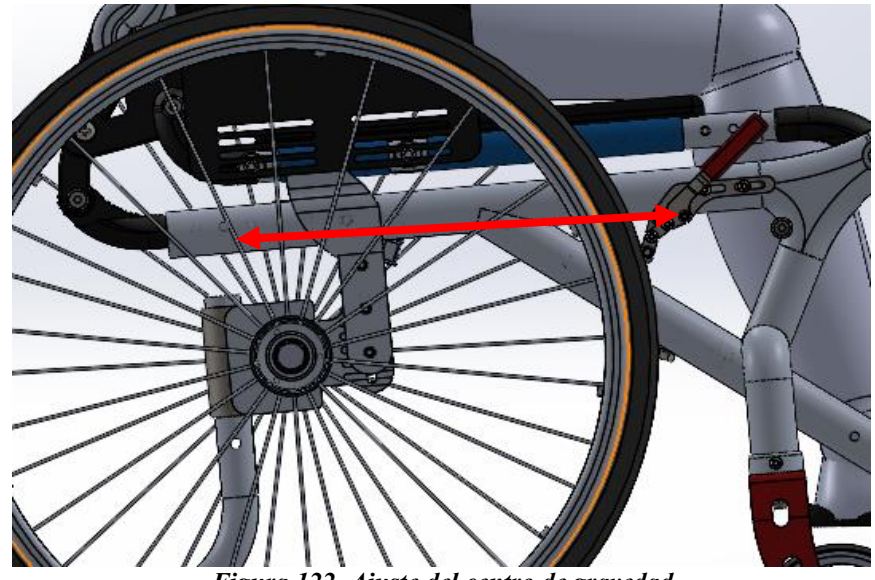


Figura 122. Ajuste del centro de gravedad

4.3.5.3. Altura del asiento/ diámetro de la rueda delantera

La altura del asiento viene dada por la horquilla delantera y el diámetro de la rueda delantera. Hay disponibles horquillas para ruedas delanteras adecuadas para cada altura de asiento. Para garantizar la posición correcta de pie, es fundamental utilizar la postura de las ruedas, como se observa en la figura 123.



Figura 123. Diámetro de la rueda

4.3.5.4. Ajuste del reposapiés

La altura del reposapiés es importante para una correcta posición tanto sentado como de pie. El reposapiés se regula según la longitud de la pantorrilla del cliente y viene preconfigurado de fábrica según se especifica en el formulario de pedido. Sin embargo, si es necesario se puede ajustar.

Hay tres ángulos posibles para el reposapiés. El ángulo estándar es de 90°. Dependiendo del reposapiés utilizado, puede cambiar el ángulo de 10° a 12° hacia adelante o hacia atrás.

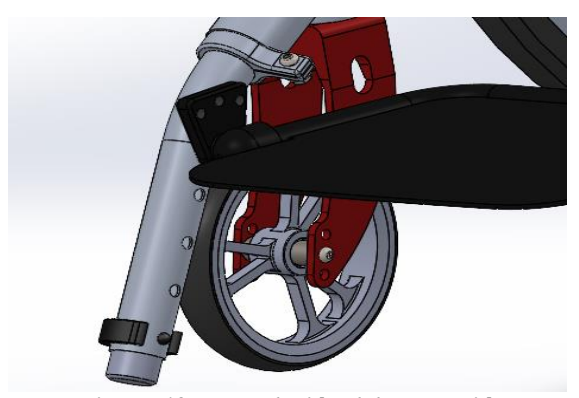


Figura 124. Regulación del reposapiés

4.3.5.5. Ajuste de altura y ángulo del reposabrazos

La altura del reposabrazos se ajustará moviendo los soportes del reposabrazos verticalmente en los tubos del respaldo.

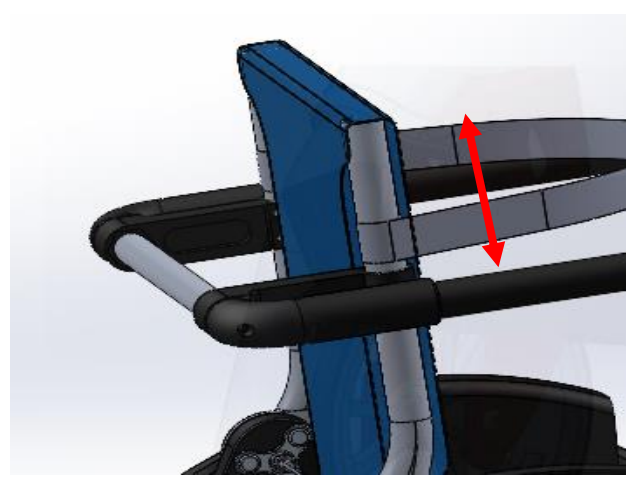


Figura 125. Regulación del reposabrazos

4.4. Discusión de resultados

Los resultados mostraron que la silla de ruedas bípeda para individuos con paraplejia mejora significativamente la calidad de vida de las personas, otorgándole cambiar de posición sentado a de pie sin asistencia de terceros, además, realiza todas las funciones de una silla de ruedas ligera.

Los resultados obtenidos son más favorables para los usuarios comparando con estudios previos, porque la silla de ruedas bípeda diseñada es más ergonómica, ya que se integró un respaldar con tecnología ABC, también al activar el mecanismo de elevación el usuario alcanza una bipedestación casi completa hasta los 85° y esto genera numerosos beneficios para la salud debido a estar de pie con mayor frecuencia, asimismo cuenta con un chasis ligero ágil y compacto que cuenta con excelentes características de conducción tanto en exteriores e interiores, las pruebas de los materiales se realizó a través del programa Solid Word donde se pudo seleccionar un material adecuado para que la silla que pesara 35 kg.

En comparación con la tesis titulada: «Diseño de una silla de ruedas con mecanismo de posicionamiento bípedo» de Atarama en el 2021 (16), donde el peso de la silla de ruedas es alrededor de 60 kg, en el presente diseño, la silla de ruedas bípeda es más ligera con un peso aproximado de 35 kg; asimismo, el diseño no es complejo y volumétrico como en el de Atarama, 2021 (16). Otro punto por resaltar es la forma de activar la bipedestación, ya que en el estudio de Atarama (16), el usuario tenía que ejercer fuerza al activar la palanca y solo se podía parar en 9 posiciones; mientras que, en el presente diseño se posiciona al usuario de postura sentada a bípeda y viceversa con un actuador lineal eléctrico activado por un interruptor momentáneo con un módulo de relé que permite invertir el movimiento, con ayuda del actuador lineal eléctrico el usuario podrá detenerse en cualquier posición de 25 ° a 85° generando mayor flexibilidad en el usuario, lo cual mejorará su calidad de vida.

4.5. Estimación de costo

Se procederá a realizar una evaluación de los precios implicados tanto para la fabricación y el diseño de una silla de ruedas con postura bípeda, así como los materiales, accesorios comerciales, componentes estándares, rodajes y contratiempos.

4.5.1. Costo de materiales

El precio de los materiales usados para la elaboración de estructura de asiento, chasis, respaldar, reposapiés y dispositivo de levante se muestran en la tabla 45, por otro lado, el costo de elementos estandarizados (tuercas, arandelas, pernos, rodamientos, pines, etc.) y accesorios comerciales se observan en la tabla 46.

Tabla 45. Lista de materiales y costos

Ítem	Descripción	Material	Unidad	Cant.	Costo Unitario S/ (Inc. IGV)	Costo Total S/ (Inc. IGV)
Chasis de	e Silla De Rueda.					
Tubo	Redondo de 42x32 mm	Aluminio 6061	Tubo х бт	1	300.00	300.00
	Redondo de 35x30 mm	Aluminio 6061	Tubo x 3 m	1	60.00	60.00
Plancha	Plancha Gruesa LAC t=6mm	Aluminio 6061	Plancha 1,2x2,4m	1	100.00	100.00
	Plancha Gruesa LAC t= 15 mm	Aluminio 6061	Plancha de 0.40x0.40	1	100.00	100.00
Estructur	a de Asiento. Plano:					
Tubo	Redondo de 30x26 mm	Aluminio 6061	Tubo x 6m	1	60.00	60.00
Estructur	Estructura de Respaldar. Plano:					
Tubo	Redondo de 30x26 mm	Aluminio 6061	Tubo x 6 m	1	60.00	60.00
	Redondo de 40x30 mm.	Aluminio 6061	Tubo x 3 m	1	40.00	40.00

Tabla 46. Listado de accesorios comerciales

	Tabla 40. Listado de acceso			T
Ítem	Descripción	Cant.	Costo Unitario	Costo Total
			S/ (Inc. IGV)	S/ (Inc.
				IGV)
Cojín de Respaldo	Cojín de Espuma	1	50.00	50.00
	Prensada			
Cojín de Asiento	Cojín de Microfibra	1	50.00	50.00
1	Siliconada			
Cinturón de		1	30.00	30.00
Seguridad de 2				
puntos para pelvis				
Cinturón de		1	30.00	30.00
seguridad de 2				
puntos para pecho				
Soporte para las		1	60.00	60.00
rodillas		-		
Correa de		1	20.00	20.00
pantorrilla o talón		-		
Rueda Trasera de		2	100.00	200.00
24"		-	100.00	200.00
Aros de Propulsión	Aro de Propulsión	2	60.00	120.00
Thes de l'repuision	Cromado para aro de	~	00.00	120.00
	24"			
Rueda delantera 6"	21	2	50.00	100.00
Ruedas Antivuelco		2	5.00	10.00
posterior		~	3.00	10.00
Pernos y tuercas		20	5.00	100.00
Freno	Freno tipo palanca	2	25.00	50.00
Actuador	Actuador lineal	1	250.00	250.00
Actuador	eléctrico de 2000 N de	1	230.00	230.00
	fuerza			
Batería	Batería de 12 V	1	280.00	280.00
Datella	Datella de 12 V	1	200.00	280.00
Amortiguador de	Goodyear de 55 cm de	2	50.00	100.00
gas	longitud			
			COSTO	1580.00
			TOTAL	1380.00
			IUIAL	

4.5.2. Costos de fabricación

Se analizará cuáles serían los procesos de fabricación para pasar de materiales al producto final. En la siguiente tabla, se indican los primordiales procesos de fabricación, taladrado, torneado, corte a láser, fundición y soldadura.

Tabla 47. Costo de componentes para fabricar cada pieza

	Tabla 47. Costo de componentes para fabricar cada pieza Costos de componentes fabricados					
Ítem Descripción Proceso Cant. Costo unitario					Costo	
Item	Descripcion	1100050	Cuirt.	(S/)	Total (S/)	
1	Fabricación de la	Ranurado		(5/)	10tal (5/)	
1	estructura del chasis	Corte	2.00	S/ 100.00	g/200.00	
	estructura dei chasis		2.00	5/ 100.00	S/ 200.00	
		Soldadura				
	T 1 ' '/ 1 1	Taladro				
2	Fabricación de la	Corte	• • •	~ / = 0 0 0	~/.100.00	
	estructura de elevación	Soldadura	2.00	S/ 50.00	S/ 100.00	
		Taladro				
3	Fabricación de la	Corte				
	estructura de las ruedas	Soldadura	2.00	S/ 50.00	S/ 100.00	
	antivuelco	Taladro				
4	Fabricación de estructura	Corte				
	del respaldar	Taladro	2.00	S/ 20.00	S/40.00	
		Torneado				
5	Fabricación de estructura	Corte				
	del asiento	Taladro	2.00	S/ 10.00	S/ 20.00	
6	Fabricación de eje de	Corte	1.00	S/ 50.00	S/ 50.00	
	ruedas de 24"	Torneado				
7	Fabricación de los ejes de	Corte	2.00	S/ 30.00	S/ 60.00	
	soporte del actuador	Soldadura				
8	Fabricación de la	Taladro	1.00	S/ 50.00	S/ 50.00	
	estructura de apoyabrazos	Corte				
9	Fabricación de soporte de	Torneado	2.00	S/ 20.00	S/40.00	
	giro	Corte				
10	Fabricación de la	Corte	1.00	S/ 50.00	S/ 50.00	
	estructura del apoya pies					
11	Fabricación de la	Corte	2.00	S/ 20.00	S/40.00	
	orquídea de la rueda	Soldadura				
	delantera					
12	Fabricación del soporte	Corte	2.00	S/ 50.00	S/ 100.00	
		Taladro				
		Torneado				

13	Fabricación de guarda de	Corte	2.00	S/ 10.00	S/ 20.00
	protección				
14	Tapicería de asiento	Confección	1.00	S/ 20.00	S/ 20.00
15	Tapicería de respaldo	Confección	1.00	S/ 200.00	S/ 20.00
16	Fabricación de			S/ 100.00	S/ 100.00
	componentes restantes				
Tota	al				S/ 1,010.00

Tabla 48. Síntesis de los costos de fabricación y materiales

Descripción	Costo(S/)
Costo de Materiales	720.00
Costo Accesorios	1580.00
Pintura	40.00
Costo de procesos	1010.00
TOTAL	3350.00

4.6. Diseño final de la silla de ruedas

Se desarrolló el diseño final, los planos de ensamble y despiece, mostrándose en la figura 126 la vista isométrica.

• Funcionamiento: para poder activar la silla de ruedas de posición sentado a bípedo o viceversa se tiene que estar en una superficie estable y plana, las ruedas de dirección o ruedas delanteras deben estar giradas en 90° para tener mayor estabilidad. Se inicia el sistema eléctrico a través de un interruptor de encendido, luego se procede a colocar al usuario en posición sentada, y este tendrá que ponerse y ajustar los cinturones de seguridad de pecho, pelvis y rodilla a su comodidad. Después, se pulsa el interruptor momentáneo que se encuentra ubicado en el reposabrazos, este activará un relé y luego el actuador lineal eléctrico, el usuario podrá controlar a que ángulo de inclinación parar el actuador desde los 25° hasta llegar a los 85°, paralelamente el reposapiés se extenderá hasta tocar el suelo y así obtener los 6 puntos de apoyo. Asimismo, el usuario controla el sistema para poder volver a la posición sentado; finalmente, al encontrarse el usuario en postura sentada podrá utilizar la silla de ruedas bípeda como una silla normal.



Figura 126. Vista isométrica del diseño final

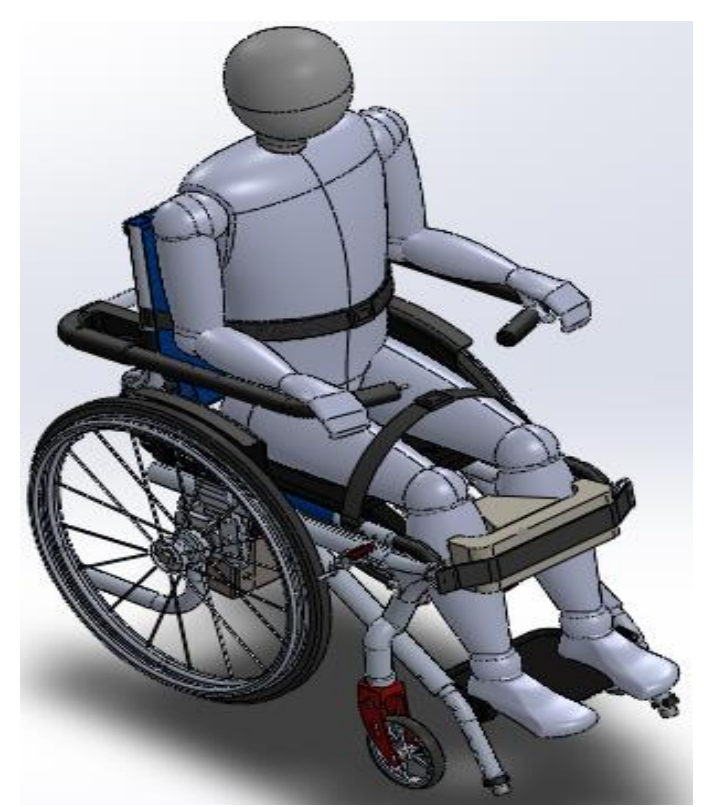
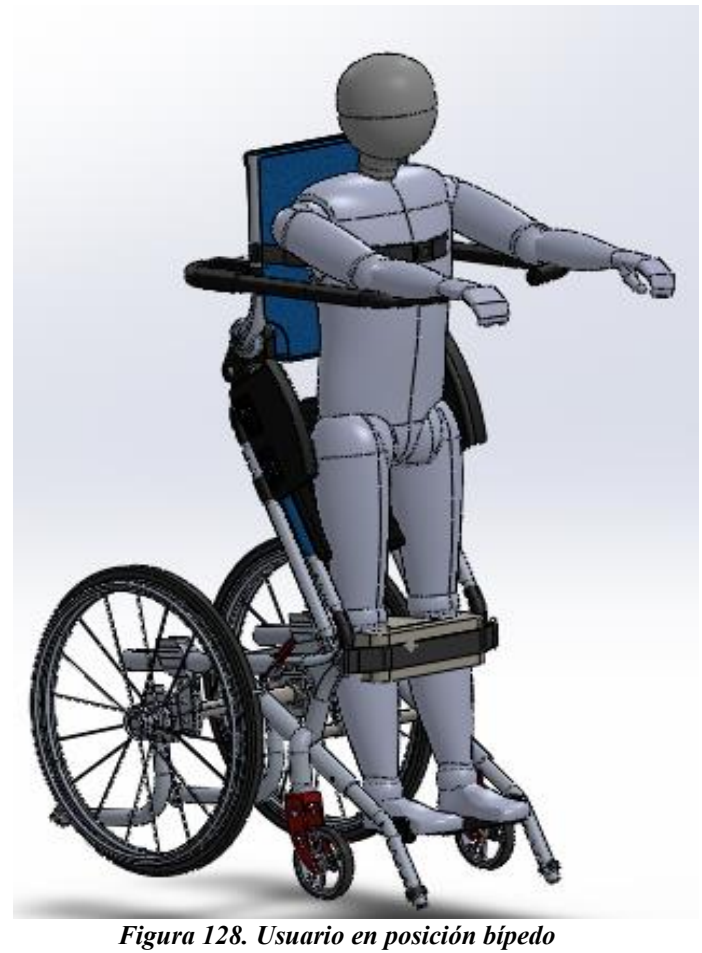


Figura 127. Usuario sentado



4.7. Planos:

El plano general de ensamblaje se encuentra en anexo 4, mientras que el plano explosivo y tabla de elementos se encuentra en el anexo 5 y 6. La lista de planos de despiece se observa en el anexo 4, la codificación A3, A2, A1 se relaciona al tamaño de la hoja del plano conforme a la norma ISO.

CAPÍTULO V

CONCLUSIONES Y RECOMENDACIONES

5.1 Conclusiones

- Se alcanzó el objetivo general del presente estudio, ya que se diseñó una silla de ruedas con mecanismo de posicionamiento bípedo para personas con paraplejía de la región Junín, tomando en cuenta la estatura y peso promedio de los adultos de 20 a 65 años con discapacidad motriz (entre ellas la paraplejia) de la región Junín, utilizando el software de Solid Wok y la metodología VDI 2221.
- Asimismo, se logró cumplir el primer objetivo específico, que consistió en analizar las medidas antropométricas del ciudadano de la región de Junín, para ello se consideró una masa máxima del usuario de 100 kg y una masa total estimada de la silla de ruedas con posición bípedo de 35 kg. También, se tomó en cuenta la estatura promedio del usuario de 1,66 m, con base en estos parámetros se procedió al diseño personalizado del dispositivo orientado a usuarios con paraplejia de la región Junín. De esta manera, se garantizó que la estructura de la silla de ruedas fuera capaz de soportar adecuadamente las exigencias de carga requeridas para un uso seguro y eficiente.
- Asimismo, se dio cumplimiento al segundo objetivo específico, orientado a la selección de
 materiales adecuados para la fabricación de la silla de ruedas bípeda. Se optó por el uso de
 aluminio 6061 como material principal debido a su buena relación entre resistencia
 mecánica, peso y resistencia a la corrosión. Adicionalmente, se incorporaron componentes
 fabricados en acero de carbono ASTM A500 y piezas de plástico ABS-PC, una mezcla de

policarbonato y acrilonitrilo butadieno estireno, por sus propiedades de rigidez y resistencia al impacto. Las dimensiones obtenidas para la configuración en posición sentada fueron aproximadas: altura de 0,7 m, ancho de 0,57 m y longitud de 1,041m; mientras que en la posición bípeda la altura alcanzó los 1,56 m. Estas dimensiones se determinaron considerando tanto las medidas antropométricas promedio de los habitantes de la región Junín como las directrices establecidas en la norma ISO 7176 garantizando así un diseño que cumpla con criterios ergonómicos, funcionales y de disponibilidad de materiales en el mercado nacional.

• También, se logró cumplir con el tercer objetivo específico, relacionado con el diseño de los componentes de una silla de ruedas equipada con un mecanismo de posicionamiento bípeda, orientada a usuarios con paraplejia de la región Junín. El desarrollo se realizó mediante el software SolidWorks, tomando como base los lineamientos establecidos en la norma ISO 7176 y referencias técnicas provenientes de estudios previos. Se llevaron a cabo simulaciones estructurales para los elementos sometidos a mayores solicitaciones durante la transición a la posición erguida, evaluando las zonas críticas de carga. Los resultados demostraron que ninguno de los esfuerzos generados superó los límites elásticos de los materiales empleados, específicamente el aluminio 6061 y el acero estructural ASTM A500.

Este análisis permitió optimizar el diseño reduciendo masa innecesaria en los componentes, sin comprometer la resistencia estructural, alcanzando así un peso total de 35 kg para la silla de ruedas. Cada elemento fue desarrollado para cumplir eficazmente su función individual y colaborar de forma integrada en el soporte del usuario durante la bipedestación. Además, el sistema fue complementado con frenos de tipo palanca, diseñados para bloquear las ruedas posteriores y proporcionar estabilidad adicional al efectuar el cambio de postura.

• Finalmente, se cumplió el cuarto objetivo específico, se diseñó los mecanismos de suspensión, elevación y estabilidad con las consideraciones biomecánicas de una silla de ruedas con mecanismo de posicionamiento, para individuos con paraplejia en la región Junín. El mecanismo de elevación cuenta con 6 puntos de apoyo al activarse, el cual se realiza a través de un actuador lineal eléctrico (IP65 de 12 V); además, en el mecanismo de suspensión se incorporó 2 amortiguadores a gas GOOD YEAR que mejoraran el mecanismo de suspensión en terrenos duros; finalmente, en el mecanismo de estabilidad se incorporó ruedas antivuelco en la zona posterior para evitar volcaduras. La silla de ruedas con posicionamiento bípedo cumple a cabalidad también la seguridad, debido a que cuenta con

cinturones de seguridad a la altura del pecho, pelvis y un fijador de rodilla; adicionalmente se añadió un fijador de pantorrillas cumpliendo con los estándares establecidos por la ISO 7176.

5.2 Recomendaciones

- Es aconsejable que futuros desarrollos de dispositivos de asistencia destinados a personas con paraplejia se basen en parámetros antropométricos propios de la población beneficiaria. Esta práctica favorece una mayor adecuación ergonómica, incrementa la seguridad estructural del equipo y mejora su desempeño funcional. Asimismo, se recomienda actualizar estos datos mediante estudios periódicos en la región, considerando que las características físicas de la población pueden cambiar con el tiempo debido a factores ambientales, sociales o de estilo de vida.
- Se recomienda que en el diseño y fabricación de futuras sillas de ruedas bipedestadoras se priorice el uso de materiales y componentes de origen nacional o de fácil acceso en el mercado local. Esta estrategia no solo permite reducir los costos de producción y mantenimiento, sino que también favorece la sostenibilidad del proyecto, facilita la reparación en caso de fallos y contribuye al fortalecimiento de la industria local.
- Se recomienda continuar utilizando herramientas de simulación estructural como SolidWorks Simulation para el análisis de esfuerzos en componentes críticos del diseño de sillas de ruedas bipedestadoras. No obstante, para ampliar y validar los resultados es aconsejable complementar estos estudios con software avanzado como ANSYS Mechanical, Autodesk Inventor Nastran o Abaqus, que permiten realizar análisis más complejos, incluyendo fatiga, pandeo, contactos no lineales y vibraciones.
- Es primordial señalar que la acción de ubicar en posición bípeda al cliente es eléctricamente;
 y para prevenir accidentes, es primordial respetar los rangos de peso del cliente comprendidas entre 60 y 100 kg.
- Para usar el dispositivo es fundamental la capacitación a la persona en relación al funcionamiento del producto, con el fin de que el mecanismo no sufra alteraciones por usos indebidos.

- Al pasar de posición sentada a bípeda puede cargar el cuerpo de un amanera que no esté acostumbrado, se recomienda consultar con su médico o fisioterapeuta para asegurarse que no existan contraindicaciones.
- Al realizar el uso de las funciones que tiene el dispositivo es fundamental usar los accesorios de seguridad, para prevenir que los clientes sufran accidentes.
- Finalmente, este trabajo de investigación podrá usarse como guía o base para la creación de investigaciones o proyectos futuros, que se basen en el progreso de una silla de ruedas con posicionamiento bípedo o equivalentes.

REFERENCIAS BIBLIOGRÁFICAS

- ARJONA, Gonzalo. Accesibilidad Universal. [En línea] 4 de Diciembre de 2012. [Citado el: 10 de mayo de 2022.] http://periodico.laciudadaccesible.com/portada/opinion-la-ciudad-accesible/item/2466-la-historia-de-la-accesibilidad-la-silla-de-ruedas-y-los-problemas-de-audicion-y-vision.
- 2. AGUILAR, Alex. Diseño de una silla de ruedas bípeda para personas con discapacidad motriz en las extremidades inferiores. Tesis (Título de Ingeniero Mecatrónico). Lima: Perú: Universidad Tecnológica del Perú, 2020, 126 pp.
- 3. ORGANIZACIÓN MUNDIAL DE LA SALUD. *Discapacidad*. [En línea] 24 de noviembre de 2021. [Citado el: 10 de febrero de 2024.] https://www.who.int/es/news-room/fact-sheets/detail/disability-and-health.
- 4. INSTITUTO NACIONAL DE ESTADISTICAS Y CENSOS DE ARGENTINA. *Estudio Nacional sobre el Perfil de las Personas con Discapacidad.* Buenos Aires: s.n., 2018. ISBN 978-950-896-532-5.
- 5. CONSEJO NACIONAL PARA LA INTEGRACIÓN DE LAS PERSONAS CON DISCAPACIDAD (CONADIS). Compendio Estadístico. Lima Perú.: CONADIS, 2017.
- 6. INSTITUTO NACIONAL DE ESTADÍSTICA. *Perfil Sociodemográfico del Perú*. Lima: INEI, 2017.
- 7. CONSEJO NACIONAL PARA LA INTEGRACIÓN DE LA PERSONA CON DISCAPACIDAD (CONADIS). Informe estadístico del Registro Nacional de la Persona con Discapacidad-Reporte enero 2022. Lima: CONADIS, 2022.
- 8. SAVEDRA, Ronal, GARCÍA, Eduin y SAN ANTONIO, Thalía. Diseño de un equipo de bipedestación. *Revista INGENIERÍA UC*, 2013, 20 (1), 25 33.
- 9. ESPÍN, Victor. Diseño estructural de una silla de ruedas de bipedestación con sistema de verticalización y la incidencia en su eficiencia energética. Tesis (Magister en Diseño Mecánico). Ibarra: Ecuador: Universidad Técnica de Ambato, 2018.
- TAMBOCO, Oscar. Construcción de una silla de ruedas eléctrica para bipedestación. Tesis
 (Magister en Diseño Mecánico). Ibarra: Ecuador: Universidad Técnica del Norte, 2017.
- 11. AYALA, Luis. Diseño y construcción de una silla bipedestadora para personas con discapacidad en sus extremidades inferiores. Tesis (Magister en Diseño Mecánico). Riobamba: Ecuador: Escuela superior politecnica de Chimborazo, 2021.
- 12. BATALLAS, David. Diseño de una silla bipedestadora para terapias de rehabilitación y reeducación física para personas adultos con un peso máximo de 100 kg. Tesis (Título de Ingeniero Mecánico). Riobamba: Ecuador : Escuela Superior Politécnica de Chimborazo., 2022.

- 13. BEDÓN, Luis. Sistema de control para la movilidad y extensión de una silla de ruedas électrica de bipedestación. Tesis (Ingeniero en Electrónica y Comunicaciones). Ambato: Ecuador.: Universidad Técnica de Ambato, 2017, 97 pp.
- 14. ENDARA, Wilian y WILCA, Sandro. Diseño y fabricación de una silla de ruedas Bipedestadora multi postura con sistema de desplazamiento horizontal y vertical para la empresa Sayan. Tesis (Título de Ingeniero Elctromecánico). Latacunga: Ecuador: Universidad Técnica de Cotopaxi, 2023, 106 pp.
- 15. GRANADOS, Julio. Efecto de la rehabilitación en la calidad de vida de personas con lesión medular. *An Fac med.* 2020;81(1), 6-13. https://orcid.org/0000-0001-5772-9220.
- 16. ATARAMA, Carlos. Diseño de una silla de ruedas con mecanismo de posicionamiento bípedo. Tesis (Título de Ingeniero Mecánico). Lima - Perú: Pontifica Universidad Católica del Perú., 2021.
- 17. CARRETERO, Camilo. Propuesta conceptual en el diseño de una silla de ruedas con sistema de posicionamiento bípedo para personas con paraplejias. Bachiller (Ciencias con mención en Ingeniería Mecatrónica). Lima: Perú: Pontífica Universidad Católica del Perú., 2022.
- 18. LÉVANO, Luis. Diseño de una silla de ruedas mecatrónica funcional para mejorar la accesibilidad de un adulto con paraplejia. Tesis (Título de Ingeniero Mecatrónico). Lima-Perú: Universidad Ricardo Palma, 2020.
- 19. SÁNCHEZ, José. Silla de ruedas con cambio de posición de sentado a erguido para asistir la discapacidad motora de miembros inferiores en adultos 2019. Tesis (Título de Ingeniero Mecatrónico). Lima Perú : Universidad Privada del Norte de Lima, 2019.
- 20. BASTIDAS, Clinton. Configuración de una silla de ruedas ergonómica inteligente para cuadripléjicos. Tesis (Título de Ingeniero Mecatrónico). Huancayo: Perú - Universidad Nacional del Centro del Perú, 2019.
- 21. AYALA, Anthony. Diseño de silla de ruedas económica para el desplazamiento en escaleras-Piura, 2019. Tesis (Título de Ingeniero Industrial). Piura: Perú: Univercidad Cesar Vallejo, 2019.
- 22. ORGANIZACIÓN MUNDIAL DE LA SALUD. *Clasificación Internacional de Deficiencias, Discapacidades y Minusvalías (CIDDM)*. [En línea] 1980. [Citado el: 10 de Febrero de 2024.] https://www.un.org/esa/socdev/enable/dpbe19992c.htm. 2/1999.
- 23. CONGRESO DE LA REPÚBLICA LEY N°27050. Ley General de la Persona con Discapacidad. Lima : Diario oficial "El Peruano", 1999.
- 24. ORGANIZACIÓN MUNDIAL DE LA SALUD. Clasificación Internacional del Funcionamiento, de la Discapacidad y de la Salud (CIF). s.l.: Datos para la catalogación

- en la Librería de la OMS (WHO Library Cataloguingin-Publication Data), 2001. 92 4 154542 9.
- 25. MINISTERIO DE LA MUJER Y POBLACIONES VULNERABLES. *Aproximaciones sobre la Discapacidada en el Perú*. Lima: Perú : Consejo Nacional para la Integración de la Persona con Discapacidad CONADIS., 2020. 1.
- 26. CONSEJO NACIONAL DE LA INTEGRACIÓN DE LA PERSONA CON DISCAPACIDAD. *Compendio Estadístico*. Lima: Perú: El Perú Primero, 2000 2017.
- 27. CLEVELAND CLINIC. *Paraplejía. Definicion, causas, sintomas, tipos y tratamiento*. [En línea] Clínica Cleveland, 2023. [Citado el: 2025 de Junio de 23.] Paraplegia. https://my.clevelandclinic.org/health/symptoms/23984-paraplegia.
- 28. INSTITUTO NACIONAL DE REHABILITACIÓN. *Análisis de la situación de la discapacidad en el Perú 2007*. Lima: Perú : Ministerio de Salud, 2008.
- 29. MYSKA, David. *Máquinas y mecanismos*. México: Pearson educación, 2012. 978-607-32-1215-1.
- 30. PDM MOBILITY STORY. *Ponte de pie*. [En línea] Minerva, 2022. [Citado el: 10 de 05 de 2025.] https://pdmmobilitystore.com/pages/bipedestacion.
- 31. HUERTA, Jaime. *Discapacidad y Accesibilidad. La Dimensión Desconocida.* Lima: Perú : Fondo Editorial del Congreso del Perú., 2006.
- 32. CONGRESO DE LA REPÚBLICA LEY Nº 27920. Ley que establece sanciones por el incumplimiento de las Normas Técnicas de Edificación NTE U.190 y NTE A.060. Lima: Diario Oficial "El Peruano", 2001.
- 33. CONGRESO DE LA REPÚBLICA LEY N°27050. Ley General de la Persona con Discapacidad. Lima: Diario Oficial "El Peruano", 1999.
- 34. MINISTERIO DE TRASPORTES Y COMUNICACIONES. Adecuación Urbanística para Individuos con Discapacidad Norma Técnica de Edificación NTE U.190. Lima: Perú: s.n., 2000-2001.
- 35. CONGRESO DE LA REPÚBLICA LEY Nº23347. Ley en favor de los impedidos físicos que utilizan sillas de ruedas. Lima: Diario Oficial "El Peruano", 1981.
- 36. CONGRESO DE LA REPÚBLICA LEY Nº 28164. Ley General de la Persona con Discapacidad. Lima: Diario oficial "El Peruano", 2004.
- 37. CONGRESO DE LA REPÚBLICA LEY N°28084. Ley que Regula el Parqueo Especial para Vehículos Ocupados por Personas con Discapacidad. Lima: Perú: Diario Oficial "El Peruano", 2009.
- 38. CONGRESO DE LA REPÚBLICA LEY Nº 27920. Ley que establece sanciones por incumplimiento de normas técnicas. Lima: Diario oficial "El Peruano", 2012.

- 39. LUENGAS, Contreras, CAMARGO, Casallas y SÁNCHEZ, Prieto. *Estudio de los rangos articulares en la bipedestación estática en personas normales vs. Amputados transtibiales*. Bogotá: Colombia: Universidad Distrital Francisco José de Caldas, 2013. 0123-921X.
- 40. WINTER, D. *Human balance and posture control during standing and walking*. Canada: Gait&Posture., 1995.
- 41. SHI, Yaochen, MENG, Lingyang y CHEN, Daimin. Human Standing-Up Trajectory Model and Experimental Study on Center-Of -Mass Velocity. China: IOP Conference Series Materials Science and Engineering, 2019. https://doi.org/10.1088/1757-899X/612/2/022088.
- 42. KARMA. *Historia de la silla de ruedas*. [En línea] KARMA MEDICAL, 26 de 04 de 2020. [Citado el: 27 de 03 de 2024.] https://www.karmamobility.es/2020/04/historia-de-la-silla-de-ruedas/#:~:text=La%20primera%20silla%20de%20ruedas%20conocida%20(inventada%20en%201595%20y,un%20chasis%20de%20tres%20ruedas...
- 43. GORGUES, José. Selección y adaptación de sillas convencionales. Valencia: Offarm, 2005.
- 44. FERNANDÉZ DE LA TORRE, Pablo. Analisis y Optimización estructural y dinámica de una silla de ruedas con motor electrico. Valencia: Univercidad Politecnica de Valencia., 2020.
- 45. BLAUWET, Chery y DONOVAN, Jayne. *Los Deportes Adaptados y las Actividades Recreativas*. Estados Unidos: Sistemas Modelo de Lesión de la Médula Espina., 2016.
- 46. FERNÁNDEZ, Macarena. El definido. La silla de ruedas que permite ponerse de pie sin ayuda. [En línea] El definido, 14 de 07 de 2017. [Citado el: 15 de 11 de 2024.] https://eldefinido.cl/actualidad/mundo/8766/La-silla-de-ruedas-que-permite-ponerse-de-pie-sin-ayuda/.
- 47. DRAGON. *Silla de ruedas motorizada para subir escaleras*. [En línea] [Citado el: 13 de 10 de 2022.] https://es.dragonmfc.com/Silla-de-ruedas-motorizada-para-subir-escaleras-pd45020133.html.
- 48. TOPMEDIC. *Silla de Rueda Pediátrica*. [En línea] [Citado el: 13 de 10 de 2022.] https://topmedic.cl/producto/silla-de-rueda-pediatrica/.
- 49. ORTOWEB. *Sillas de ruedas eléctricas Sunrise Medical Serie Q*. [En línea] 19 de 05 de 2019. [Citado el: 13 de 10 de 2022.] https://www.ortoweb.com/blogortopedia/sillas-de-ruedas-electricas-sunrise-medical-serie-q/.
- 50. ORTOPEDIA DE ORTOWEB. *La silla de ruedas eléctrica y plegable de Sunrise Medical.*[En línea] 21 de 09 de 2020. [Citado el: 13 de 10 de 2022.]

- https://www.ortoweb.com/blogortopedia/quickie-q50r-la-silla-de-ruedas-electrica-y-plegable-de-sunrise-medical/.
- 51. FIGUEROA, Jannet. *LOH Medical*. [En línea] 20 de 05 de 2015. [Citado el: 13 de 10 de 2022.] https://espanol.lohmedical.com/noticias/sabes-si-tu-pais-cumple-con-los-requisitos-basicos-para-suministro-de-sillas-de-ruedas-/.
- 52. COOPER, R, ROBERTSON, R y BONINGER, M. *Un modelo biomecánico de sillas de ruedas bipedestadoras*. [En línea] Conferencia Internacional de la Sociedad de Ingeniería en Medicina y Biología, 1995. [Citado el: 125 de 10 de 2024.] https://ieeexplore.ieee.org/stamp/stamp.jsp?tp=&arnumber=579632&isnumber=12476. 10.1109/IEMBS.1995.579632...
- 53. PAJUELO, Jaime, TORRES, Lizardo, AGUERO, Rosa y BERNUI, Ivonne. *El sobrepeso, la obesidad y la obesidad abdominal en la población adulta del Perú*. Perú.: An. Fac. med., 2019. 1.
- 54. INSTITUTO NACIONAL DE SALUD. *Estadi nutricional en el Perú 2009-2010*. Lima: Perú : Observate Perú, 2011.
- 55. FIRGELLI AUTOMATIONS. *Controles del actuador*. [En línea] 2002. [Citado el: 15 de 08 de 2024.] https://www.firgelliauto.com/es/collections/switches.
- 56. TAMESON. *Que es un actuador tipos y aplicaciones*. [En línea] Centro de informacion tecnica, 2025. [Citado el: 15 de 01 de 2025.] https://tameson.es/pages/actuador#:~:text=Los%20actuadores%20pueden%20clasificarse %20en,rotativo%20en%20una%20trayectoria%20circular..
- 57. HIBBELER, Russell. *Ingenería Mecánica-Estática*. Mexico: Cámara Nacional de la Industria Editorial Mexicana, 2010. 1031.
- 58. BUDYNAS, G. y NISBETT, k. *Diseño en Ingenería Mecánica de Shigley*. México: McGRAW-HILL/InterAmericana Editores S.A., 2008. 01376.
- 59. AENOR. *Terminos y definiciones para soldeo en relacion con la Norma EN 1792*. Madrid: España: AENOR, 2006. 14599.
- 60. SOLDEXA. Manual de soldadura. Lima: Perú: Oerlikon, 1995.
- 61. FUENTES, Javier. *Diseño de una silla de ruedas con bipedestación para personas con mivilidad reducida*. Curicó-Chile. : Talca, 2022.
- 62. SKF PERÚ. *Rodamiento rigido de bolas*. [En línea] AB SKF. [Citado el: 05 de 02 de 2025.] https://www.skf.com/pe/products/rolling-bearings/ball-bearings/deep-groove-ball-bearings.
- 63. FABRICA SUECA DE RODAMIENTOS DE BOLAS-SKF. *Rodamiento rigidos de dos hileras de bolas*. [En línea] AB SKF. [Citado el: 05 de 02 de 2025.] https://www.skf.com/pe/footer/privacy-policy.

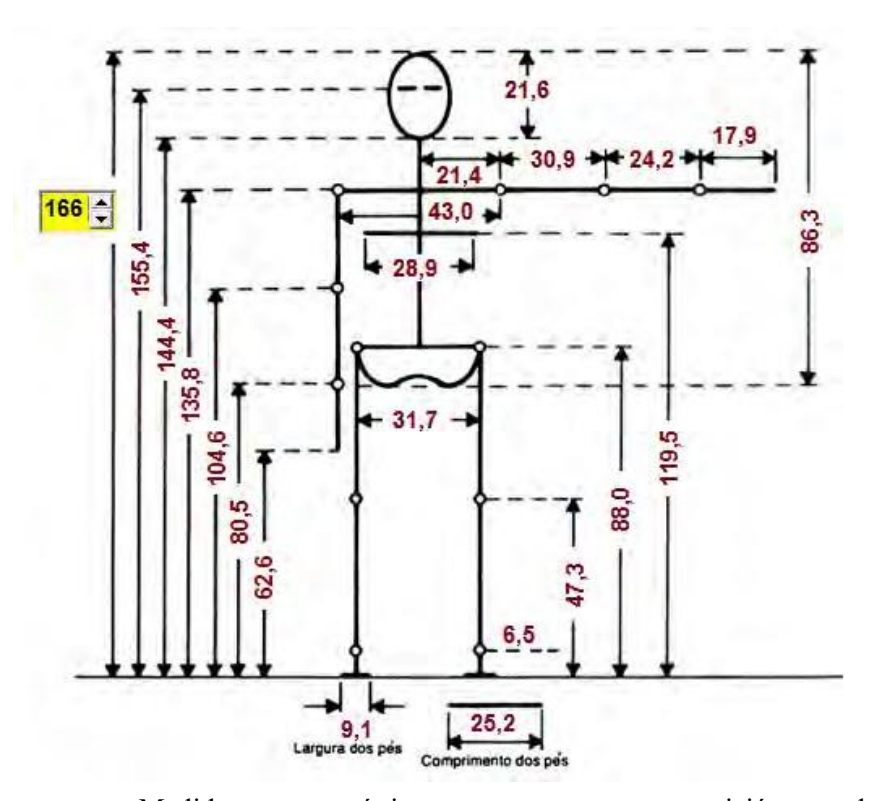
- 64. ORGANIZACIÓN INTERNACIONAL DE NORMALIZACIÓN. Silla de ruedas-Metodos de ensayos y requisitos. Ginebra: ISO-7176, 2023. 7176-2023.
- 65. HERNANDEZ, Roberto, FERNANDEZ, Carlos y BAPTISTA, Pilar. *Metodologia de la investigacion 6.ª ed.* México: McGRAW-HILL / Interamericana Editores, S.A., 2014. 978-1-4562-2396-0.
- 66. RIBA, C. Diseño concurrente. Barcelona España: Edicions UPC, 2002.

ANEXOS

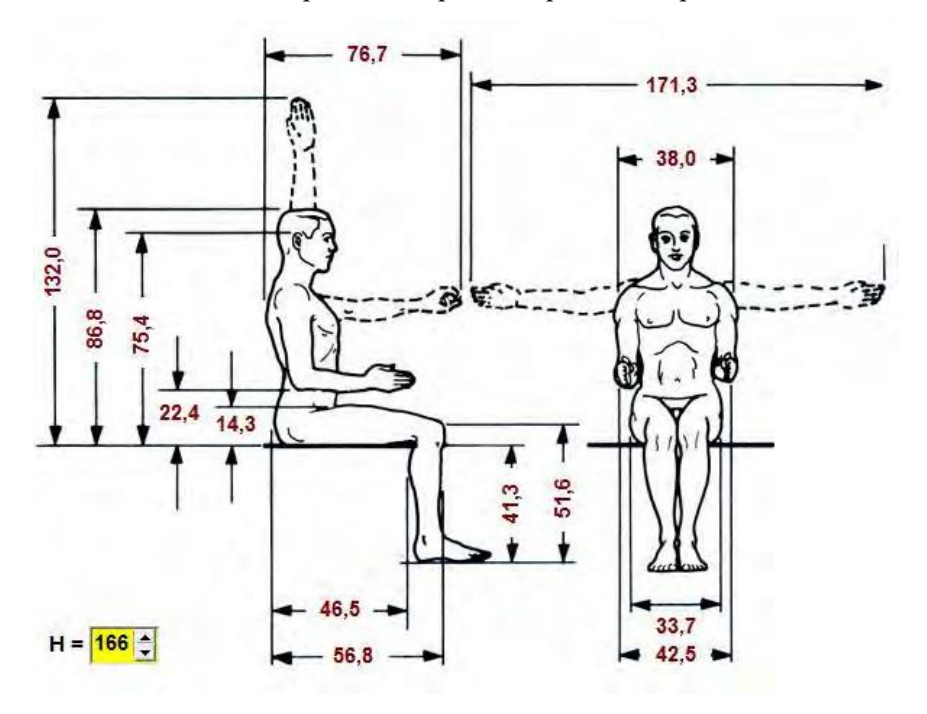
Anexo 1

Medidas antropométricas para una persona

Medidas antropométricas para una persona en posición vertical



Medidas antropométricas para una persona en posición sentada



Anexo 2

Ficha técnica del aluminio 6061

Aleación de aluminio 6061: propiedades

Características generales

Característica	Evaluación
Fortaleza	Medio a alto
Resistencia a la corrosión	Bien
Soldabilidad y capacidad de soldadura fuerte	Bien
Trabajabilidad	Bien
Maquinabilidad	Bien

Composición química

Elemento	% mínimo	Máximo %
Magnesio	0,8	1.2
Silicio	0,4	0,8
Hierro	Sin mínimo	0,7
Cobre	0,15	0,4
Manganeso	Sin mínimo	0,15
Cromo	0,04	0,35
Zinc	Sin mínimo	0,25
Titanio	Sin mínimo	0,15
Otros elementos	Sin mínimo	0,05 cada uno, 0,15 en total

Propiedades físicas

Propiedad	6061-T4	6061-T6
Densidad	2,70 g/cc 0,0975 lb/pulgada ³	2,70 g/cc 0,0975 lb/pulgada ³

Propiedades mecánicas

Propiedad	6061-T4	6061-T6
Resistencia a la tracción	241 MPa 35000 psi	310 MPa 45000 psi
Fuerza de fluencia	145 MPa 21000 psi	276 MPa 40000 psi
Módulo de elasticidad	68,9 GPa 10 000 ksi	68,9 GPa 10 000 ksi

Propiedades térmicas

Propiedad	6061-T4	6061-T6
Coeficiente de Térmica Expansión a una temperatura de 20,0 - 100 °C	23,6 μm/m-°C 13,1 μin/in-°F	23,6 µm/m-°C 13,1 µin/in-°F
Conductividad térmica	154 W/mK 1070 BTUin/h-ft²-°F	167 W/mK 1160 BTUin/h-ft²-°F

Anexo 3

Especificaciones técnicas del acero ASTM A500

Descripción

Los tubos galvanizados Precor son electrosoldados, fabricados de acero con recubrimiento galvanizado. Los tubos metálicos son conformados en frío mediante el proceso de perfilado "Rollforming" y soldados por resistencia eléctrica por inducción de alta frecuencia longitudinal (ERW); el recubrimiento galvanizado protege el acero evitando que se oxide y prolonga su vida útil. Son utilizados para rejas, barandas, escaleras y diferentes aplicaciones de acero expuesto a agentes ambientales.

Características

Material : Acero galvanizado ASTM A653

Norma de fabricación : ASTM A 500 Tipo de corte : Flying Shear

Fy : 2530 kg/cm2 (Límite Elástico)

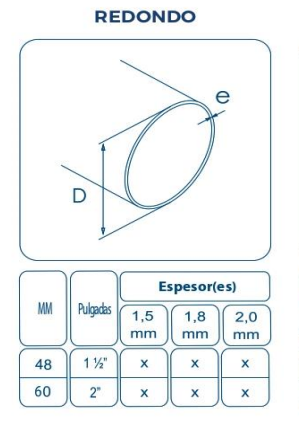
Longitud estándar : 6m. Otras medidas ha pedido. Máximo 13m

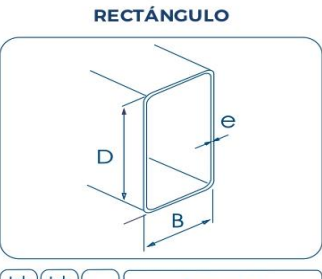
Recubrimiento : 120 g/m2 (en ambas caras) (G-40)

Ventajas

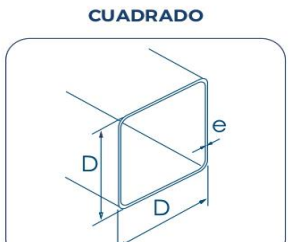
- ✓ Sistema Flying Shear permite excelente corte acabado superficial.
- ✓ Bordes sin abolladuras que permite utilizar el 100% del tubo (No requiere corte para eliminar el borde).
- ✓ Alta resistencia estructurales.
- ✓ Flexibilidad de diseño.
- ✓ Apariencia limpia, atractiva y de fácil mantenimiento.
- ✓ Mayor protección contra la corrosión.
- ✓ Mayor vida útil.

Presentaciones









MM		Espesor(es)						
	Pulgadas	0,9 mm	1,2 mm	1,5 mm	1,8 mm	2,0 mm		
38	11/2"		X	X	X	X		
50	2"			х	Х	X		
1"	Jl J	X	(x					

Tolerancia

TOLERANCIA DIMENSIONALES	REDONDO	CUADRADO	RECTÁNGULO
LADOS Y DIÁMETROS	De 48 : +/ -0.24 De 60 : +/-0.45	De 25.4 (1pulg.): +/-0.5 De 38: +/- 0.5 De 50: +/- 0.5	De 50.8x25.4 (2x1 pulg.): +/- 0.5 De 50x25: +/- 0.5 De 60x40: +/- 0.5 De 80x40: +/- 0.5
ESPESOR DE TUBO (e)	De: 1.20 1.07 De: 1.50 1.37 De: 1.80 1.65<	e=0.90<1.00 e=1.20<1.33 e=1.50<1.63 e=1.80<1.95 e=2.00<2.15	
RECTITUD	12 mm		
LONGITUD	0 - 13 mm		



Anexo 4
Especificaciones técnicas del actuador lineal eléctrico IP65

Specifications



2000N Linea	2000N Linear Actuator							
Max Push Load	2000N/440lbs							
Max Pull Load	1500N/330lbs							
Input Voltage	DC 12V							
Load Travel Speed	0.22inch/sec							
Max Load Current	5A							
Protection Rating	IP65							
Noise Level	dB<50							
Duty Cycle	10%							
Limit Switch	Built-in							
Main Material	Aluminium Alloy							
Ambient Temperature	-20° C to +60°C							



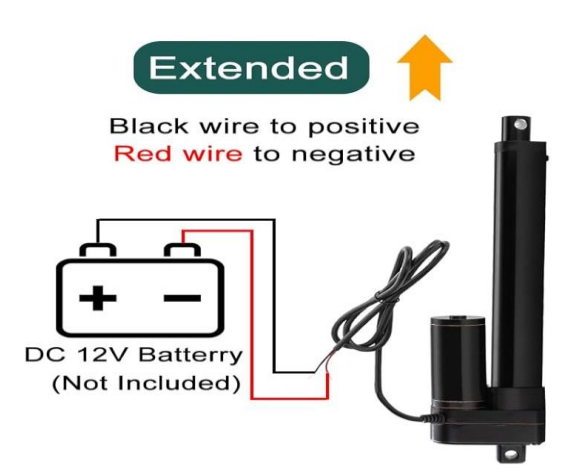
Load up to 440lbs

Wiring Diagram

Recommend:

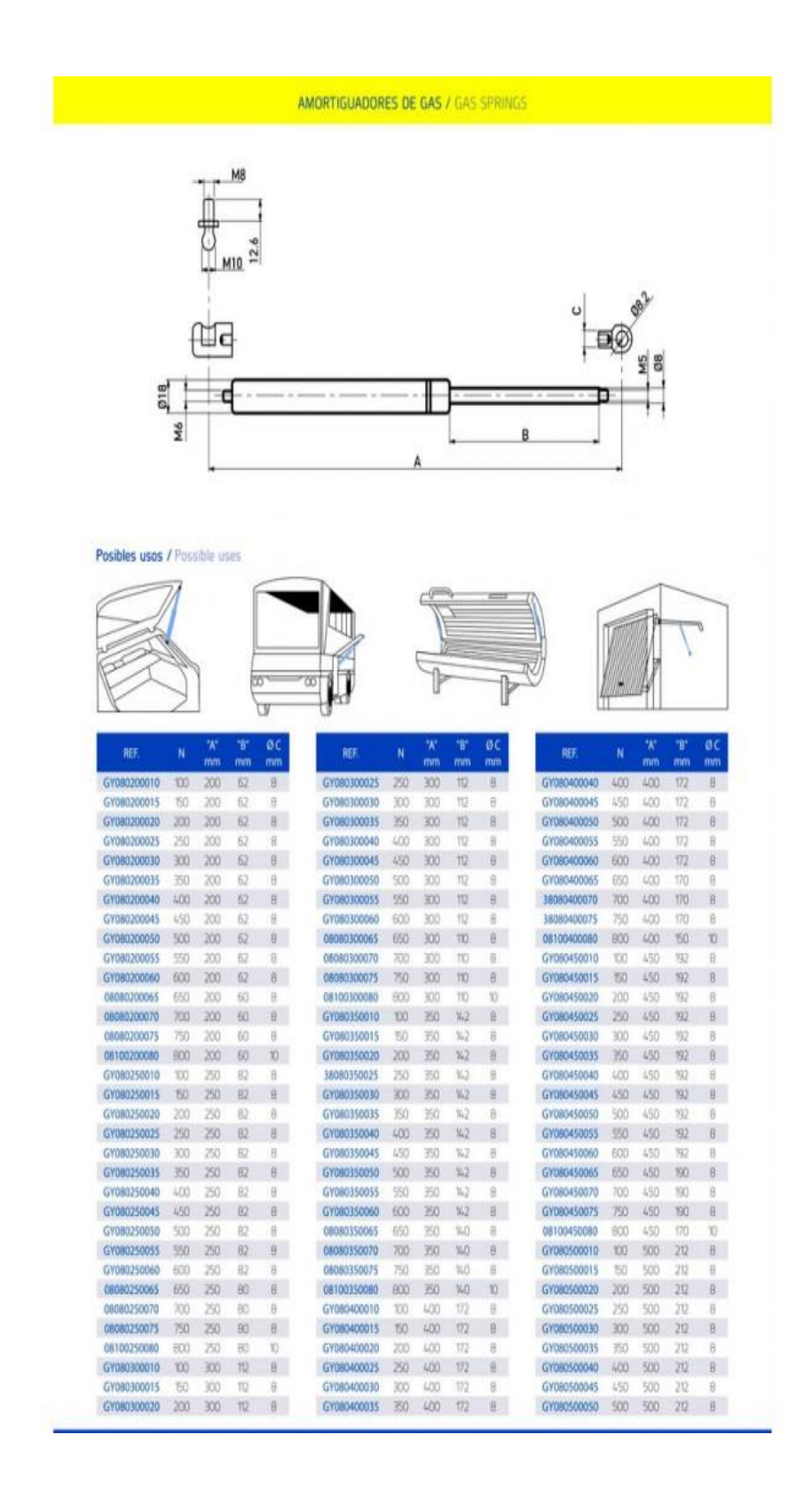
-In order to make sure the device performance and safety, please use 12V DC battery or DC 12V 5A adapter (not included) .

-Can used with controller(not included) to control linear actuator extend and retract.





Anexo 5
Especificación técnica de los amortiguadores a gas GOODYEAR



Anexo 6 Especificaciones técnicas de las planchas de acero ASTM

* Imagen referencial

PLANCHAS DE ACERO ASTM A36, ASTM A6 LAMINADA EN CALIENTE LAC



Material: ASTM A36. Tolerancias: ASTM A6.

Anchos de 4' (1200 mm), 5' (1500 mm) y 10' (3000 mm). Largos de 8' (2400 mm) y 10' (3000 mm) y 20' (6000 mm).

Se mide en espesor x ancho x largo.

TOLERANCIAS EN ESPESOR ASTM A6

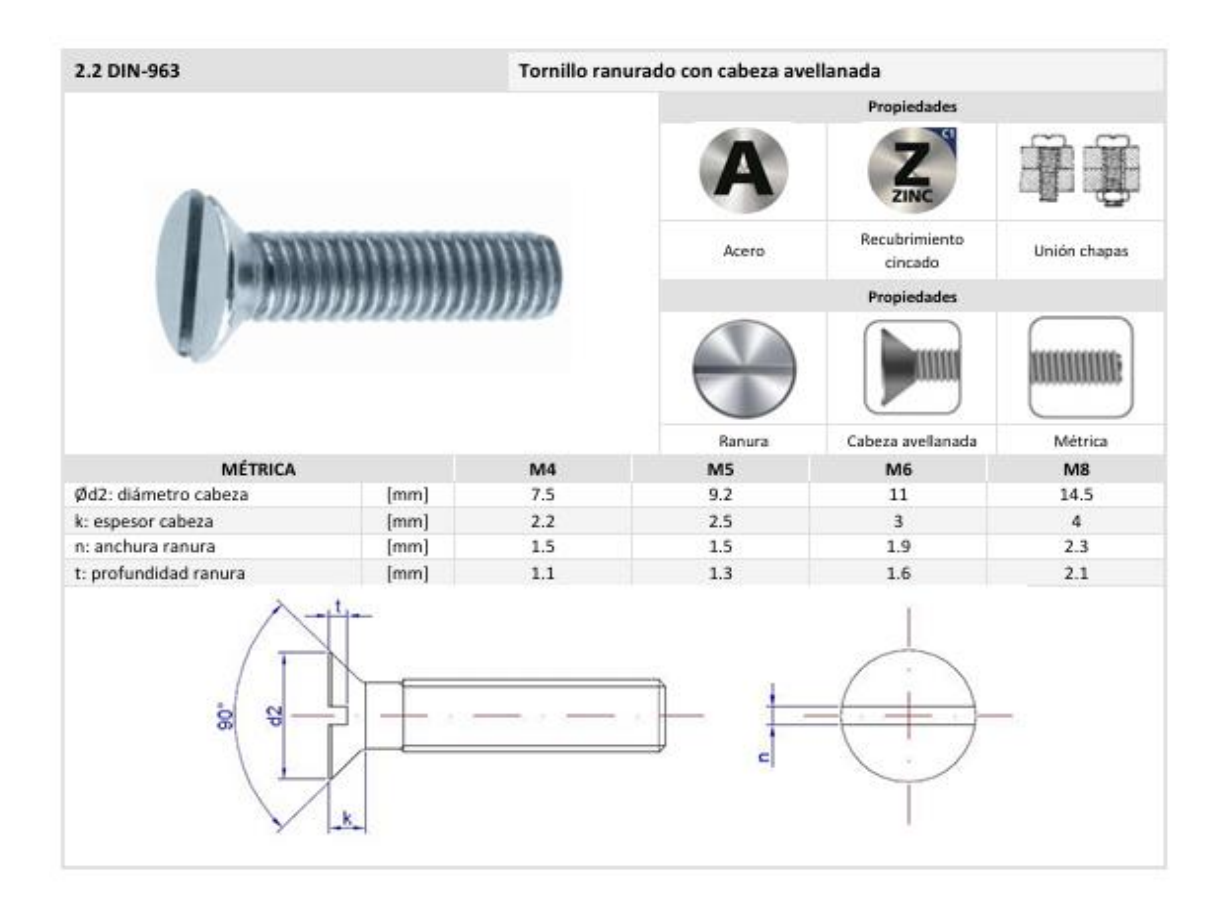
-	Variaciones permitidas sobre el espesor especificado para anchos									
Espesor Especificado	5obre 1200 hasta 1500, excl		Sobre 1500 hasta 1800, excl		Sobre 2400 hasta 2700, excl		5obre 3000 hasta 3300, exd			
pulg [mm]	pulg mm		pulg	mm	pulg	mm	pulg	mm		
Hasta 1/4[6], excl	0.03	0.76	0.03	0.76	0.03	0.76	0.03	0.76		
1/4 [6] hasta 5/16 [8], excl	0.03	0.76	0.03	0.76	0.03	0.76	0.04	1.02		
5/16 [8] hasta 3/8 [9], excl	0.03	0.76	0.03	0.76	0.03	0.76	0.04	1.02		
3/8 [9] hasta 7/16 [11], excl	0.03	0.76	0.03	0.76	0.03	0.76	0.04	1.02		
7/16[11] hasta 1/2 [12], excl	0.03	0.76	0.03	0.76	0.03	0.76	0.04	1.02		
1/2 [12] hasta 5/8 [16], excl	0.03	0.76	0.03	0.76	0.03	0.76	0.04	1.02		
5/8 [16] hasta 3/4 [19], excl	0.03	0.76	0.03	0.76	0.04	1.02	0.04	1.02		
3/4 [19] hasta 1 [25], excl	0.03	0.76	0.03	0.76	0.04	1.02	0.05	1.27		
1 [25] hasta 2 [50], excl	0.06	1.52	0.06	1.52	0.07	1.78	0.10	2.54		
2 [50] hasta 3 [75], excl	0.09	2.29	0.09	2.29	0.11	2.79	0.13	3.30		
3 [75] hasta 4 [100], excl	0.11	2.79	0.11	2.79	0.13	3.30	0.14	3.56		

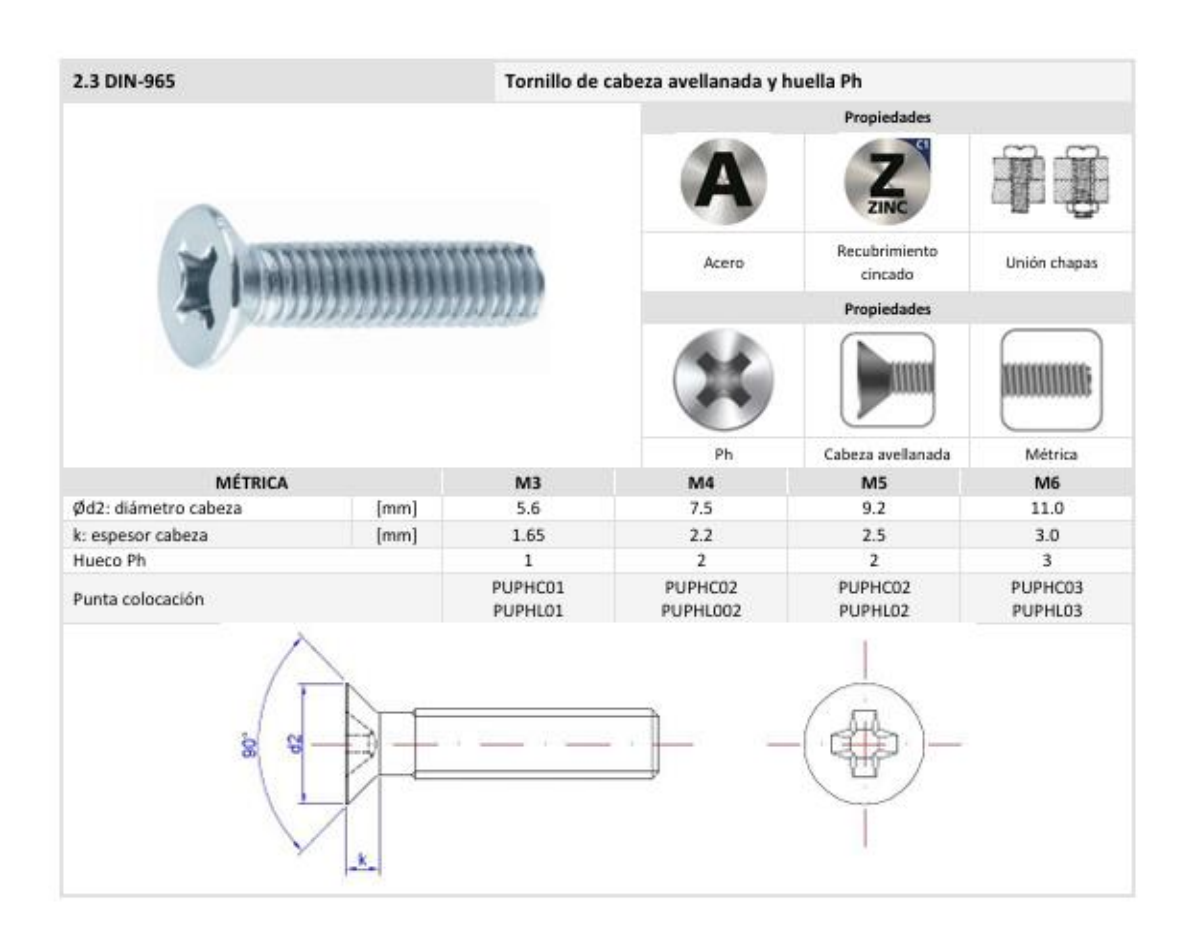
Variación permitida bajo el espesor especificado, 0,01 pulg.[0.25 mm]

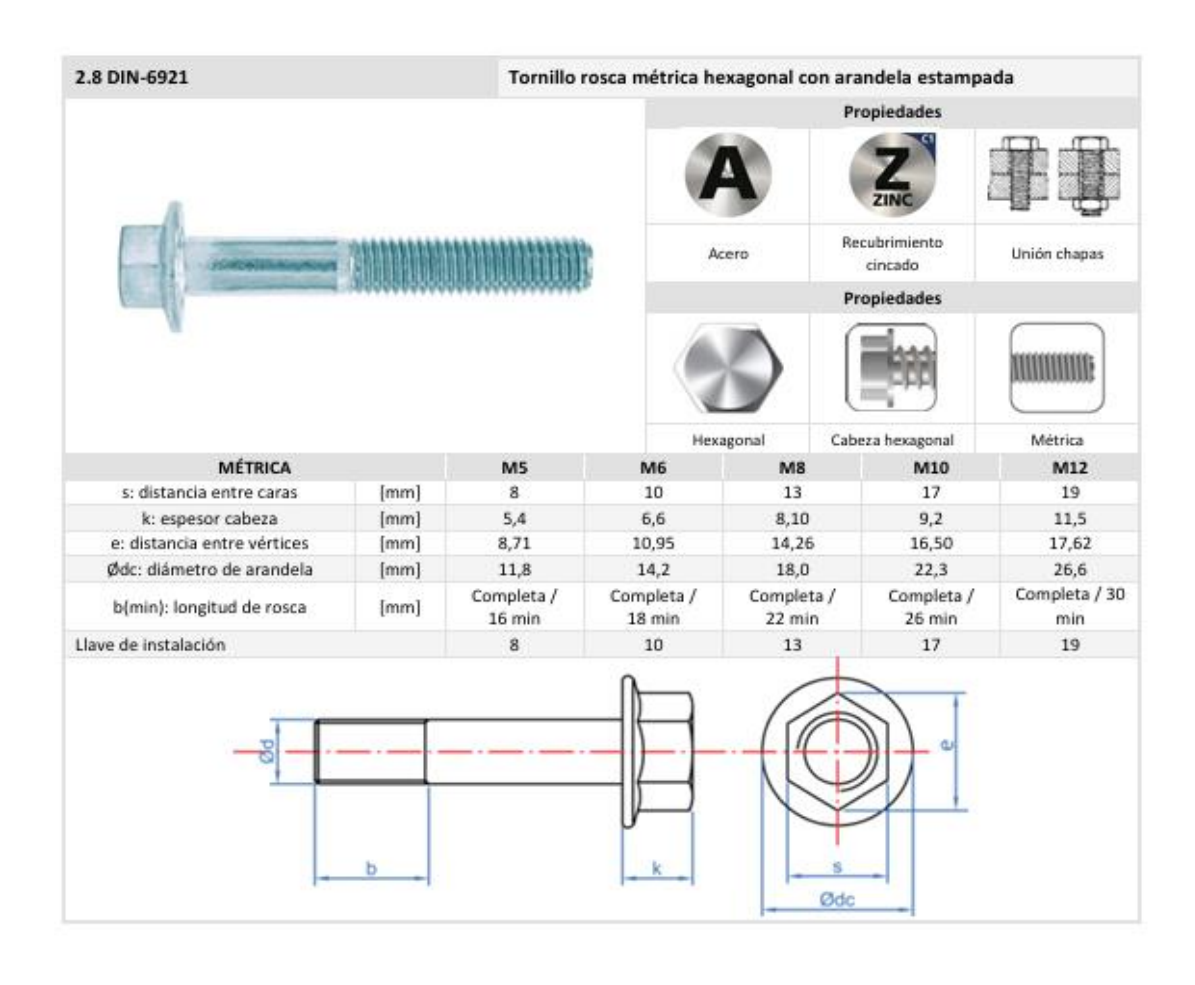
Esp	esor	And	ho	Lar	go	Peso Teórico
mm	pulg	mm	pie	mm	pie	Kg/ plancha
1.5	1/16"	1200	4	2400	8	33.91
2.0	5/64"	1200	4	2400	8	44.05
2.5	3/32"	1200	4	2400	8	55.55
2.9	1/8"	1200	4	2400	8	67.08
2.0	4/0//	1200	4	2400	8	67.08
3.0	1/8"	1500	5	3000	10	109.2
4.4	3/16"	1200	4	2400	8	99.48
4.5	2/45"	1200	4	2400	8	100.50
4.5	3/16"	1500	5	3000	10	164.5
5.9	1/4"	1200	4	2400	8	133.39
		1200	4	2400	8	134.81
	4.40	1500	5	3000	10	212.00
6.0	1/4"	1500	5	6000	20	423.90
		3000	10	12000	40	1695.60
7.9	5/16"	1200	4	2400	8	178.34
		1200	4	2400	8	180.60
8.0	5/16"	1500	5	6000	20	565.20
		2400	8	6000	20	904.32
8.9	3/8	1200	4	2400	8	201.00
		1200	4	2400	8	203.26
		1500	5	3000	10	318.00
	3/8"	1500	5	6000	20	635.85
		2400	8	6000	20	10173.36
11.9	1/2"	1200	4	2400	8	278
		1200	4	2400	8	279.90
		1500	5	3000	10	424.00
12.0	1/2"	1500	5	6000	20	847.80
		2400	8	6000	20	1356.48
		3000	10	6000	20	1695.60
		1200	e 4e	2400	8	363.74
102	21	1500	5	6000	20	1130.40
16	5/8"	2400	8	6000	20	1808.64
		3000	10	6000	20	2260.80
		1200	4	2400	8	433.60
		1500	5	3000	10	671.175
mm 1.5 2.0 2.5 2.9 3.0 4.4 4.5 5.9 6.0 7.9 8.0 8.9 9.0	3/4"	1500	5	6000	20	1342.35
		2400	8	6000	20	2147.76
		3000	10	6000	20	2684.70
		1500	5	6000	20	1766.25
25	1"	2400	8	6000	20	2826.00
		3000	10	6000	20	3532.50
		1500	5	6000	20	2260.80
32	1 1/4"	2400	8	6000	20	3617.28
		3000	10	6000	20	4521.60
		1500	5	6000	20	2684.70
38	1 1/2"	2400	8	6000	20	4295.52
		3000	10	6000	20	5369.40
		1500	5	6000	20	3532.50
50	2"	2400	8	6000	20	5652.00
	75	3000	10	6000	20	7065.00

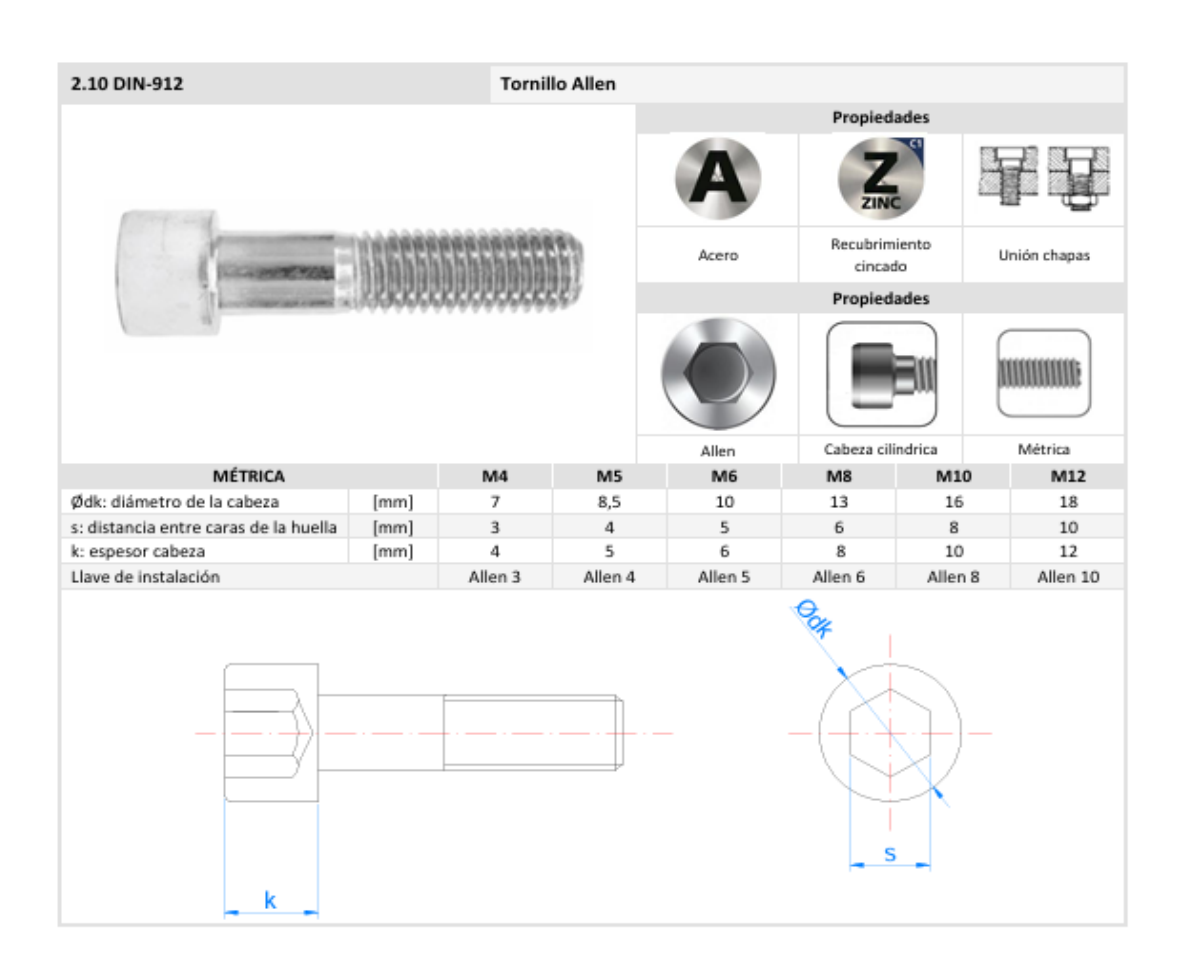
^{*} Equivalencias de conversión son aproximadas.

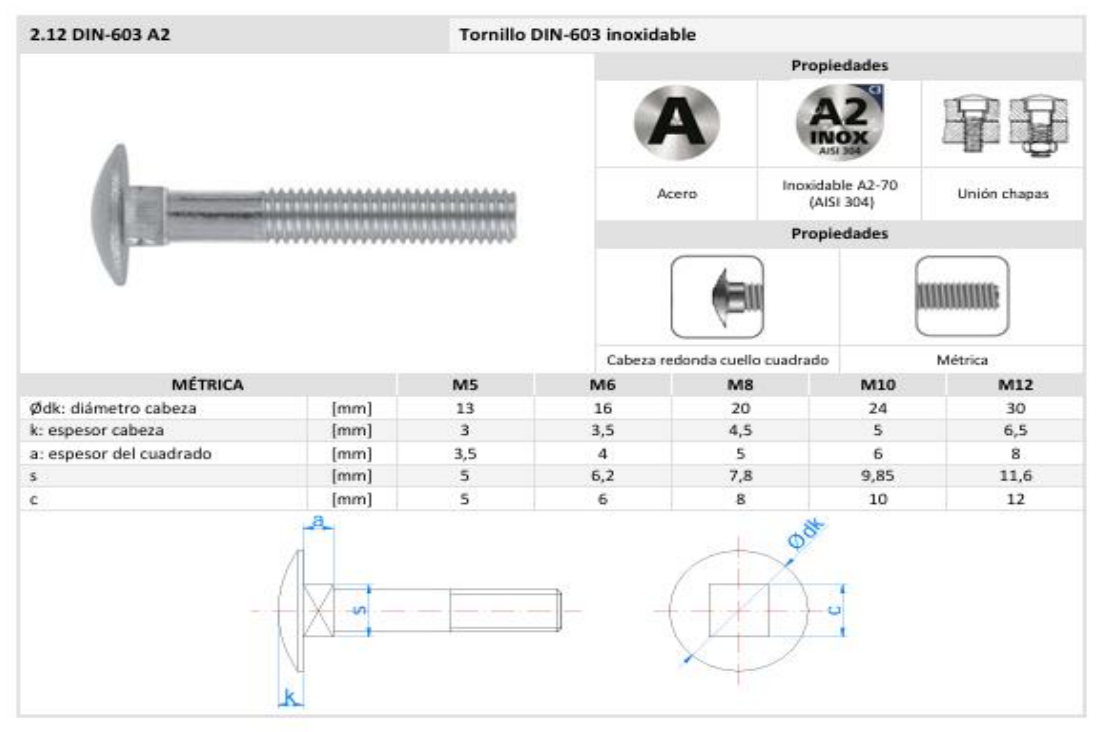
Anexo 7 Especificaciones técnicas de los pernos de ensamblaje



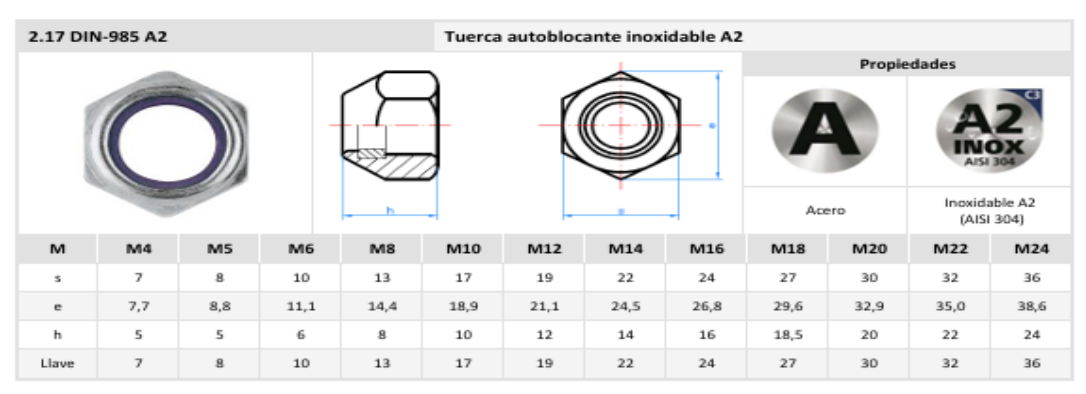






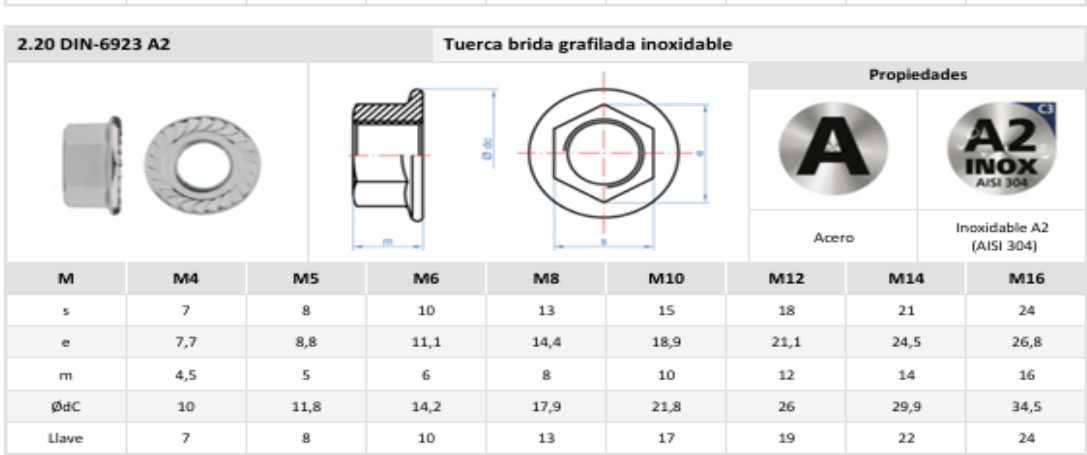




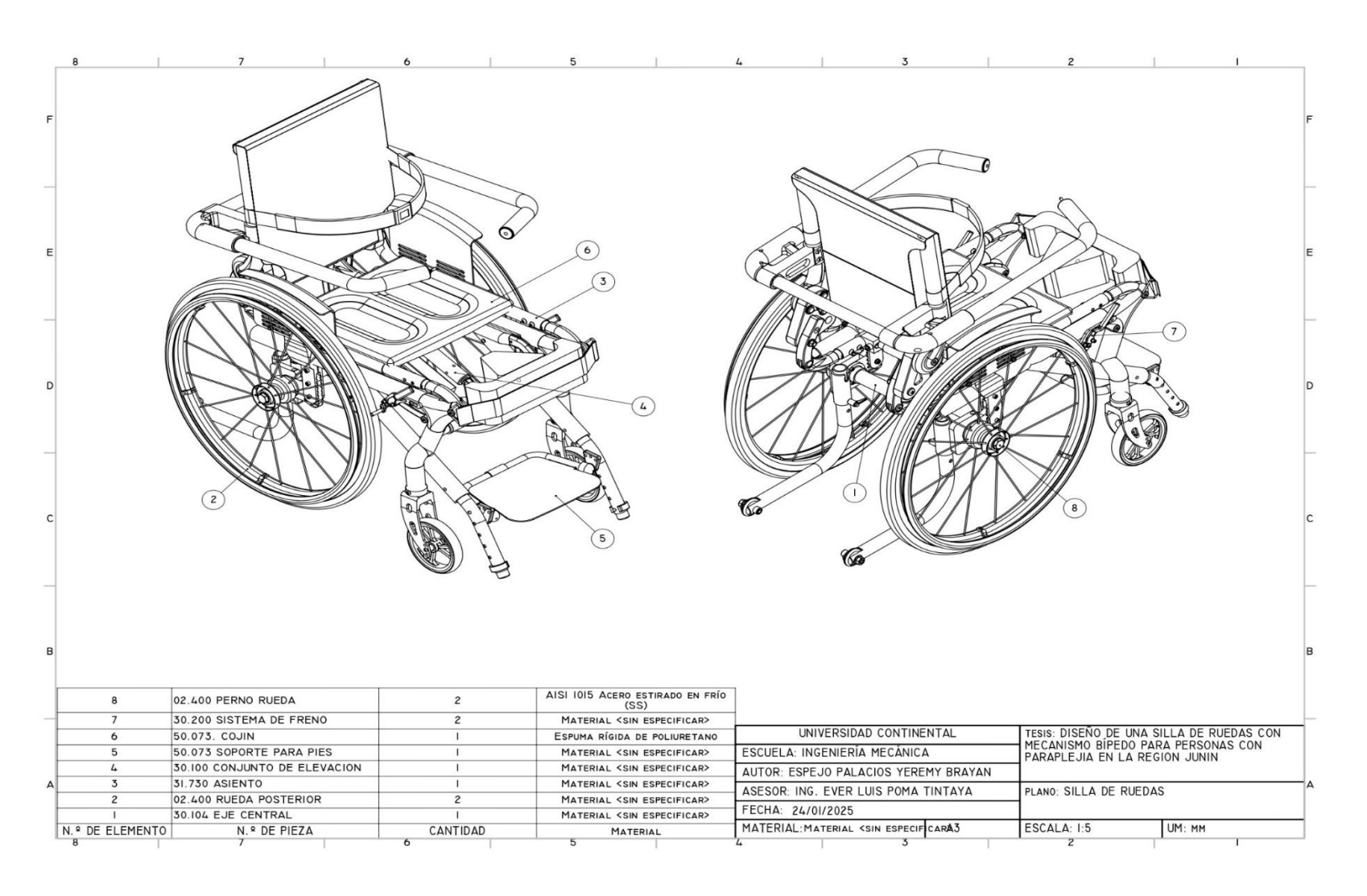


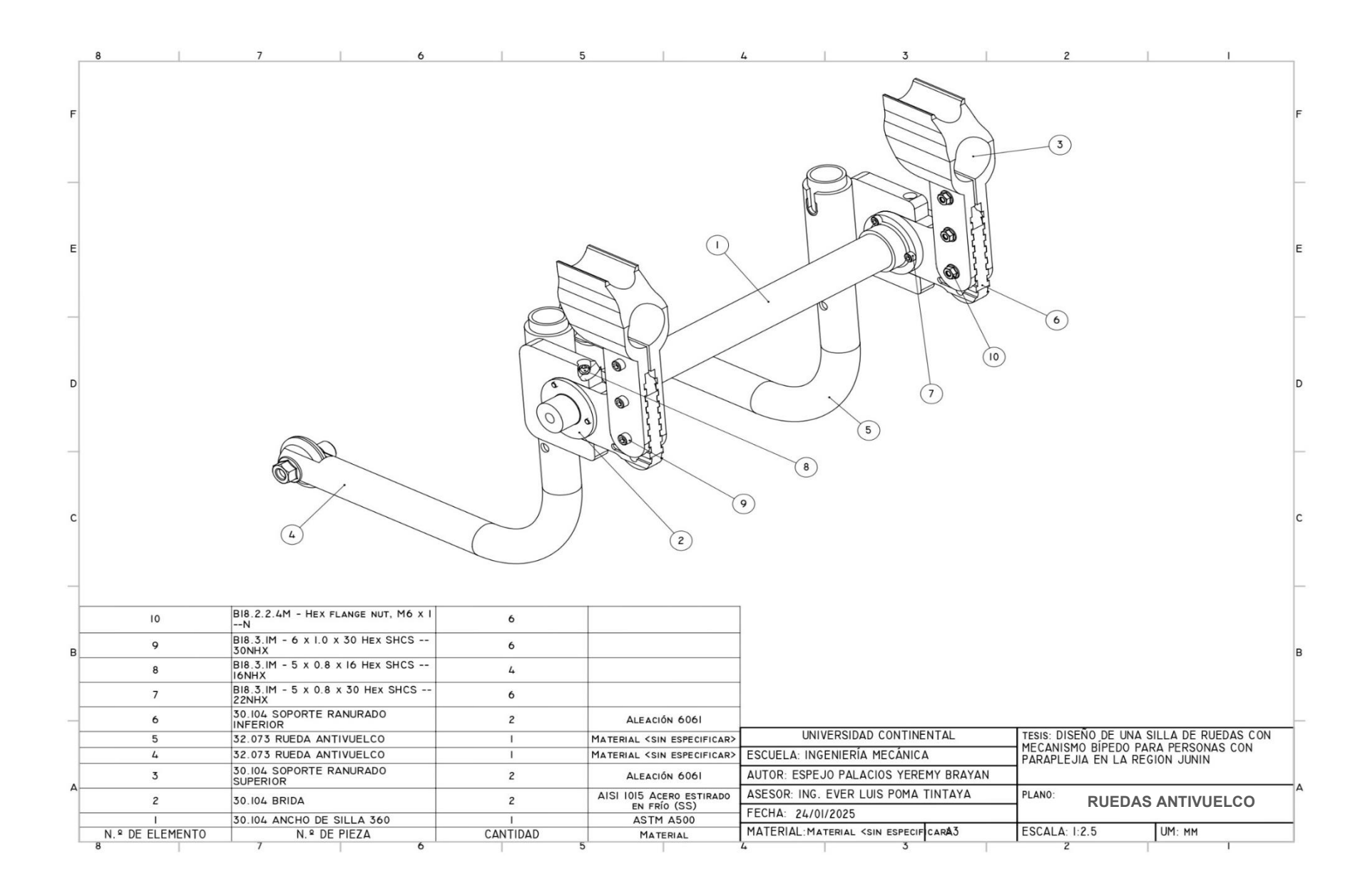
. . . .

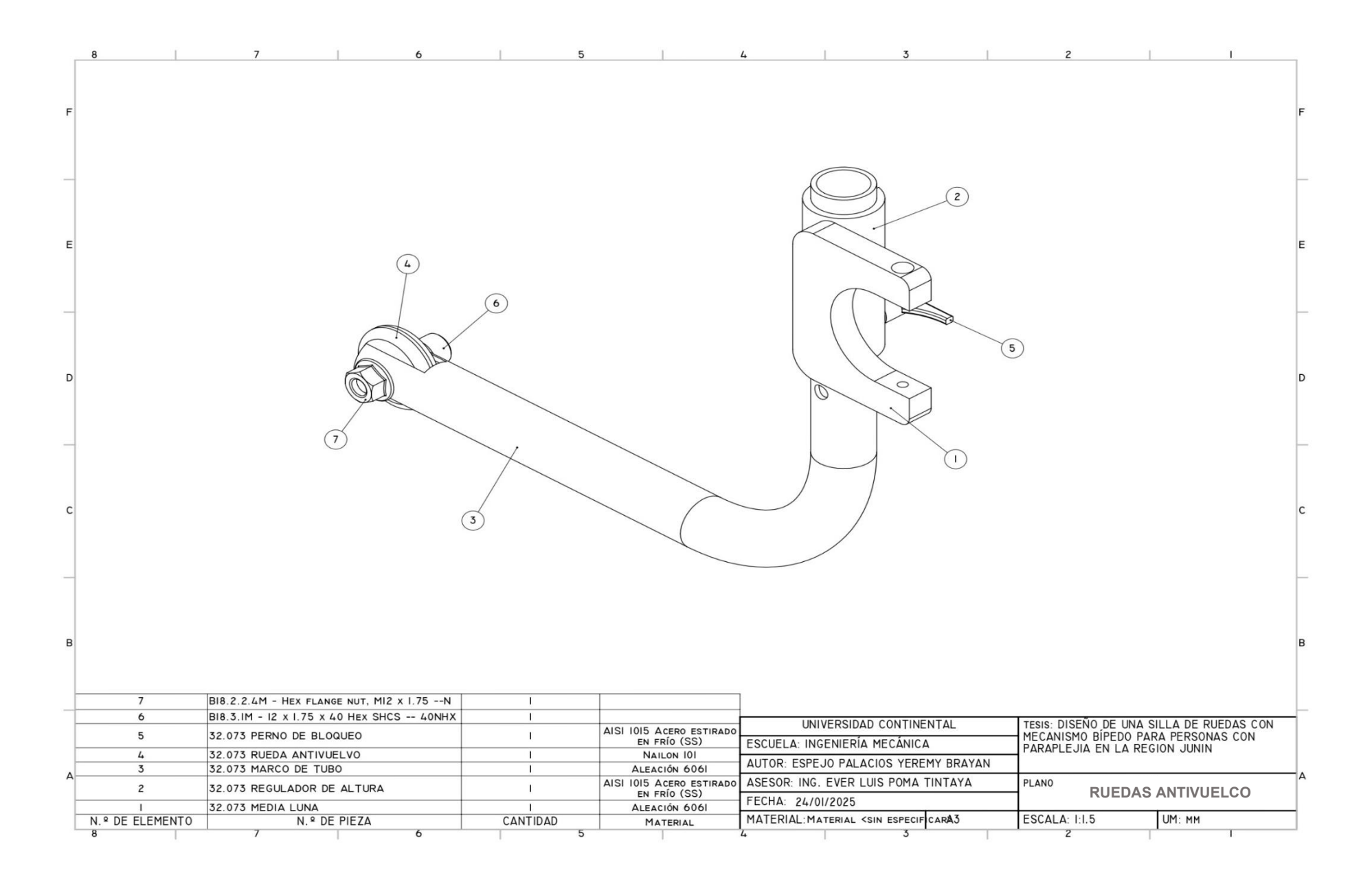


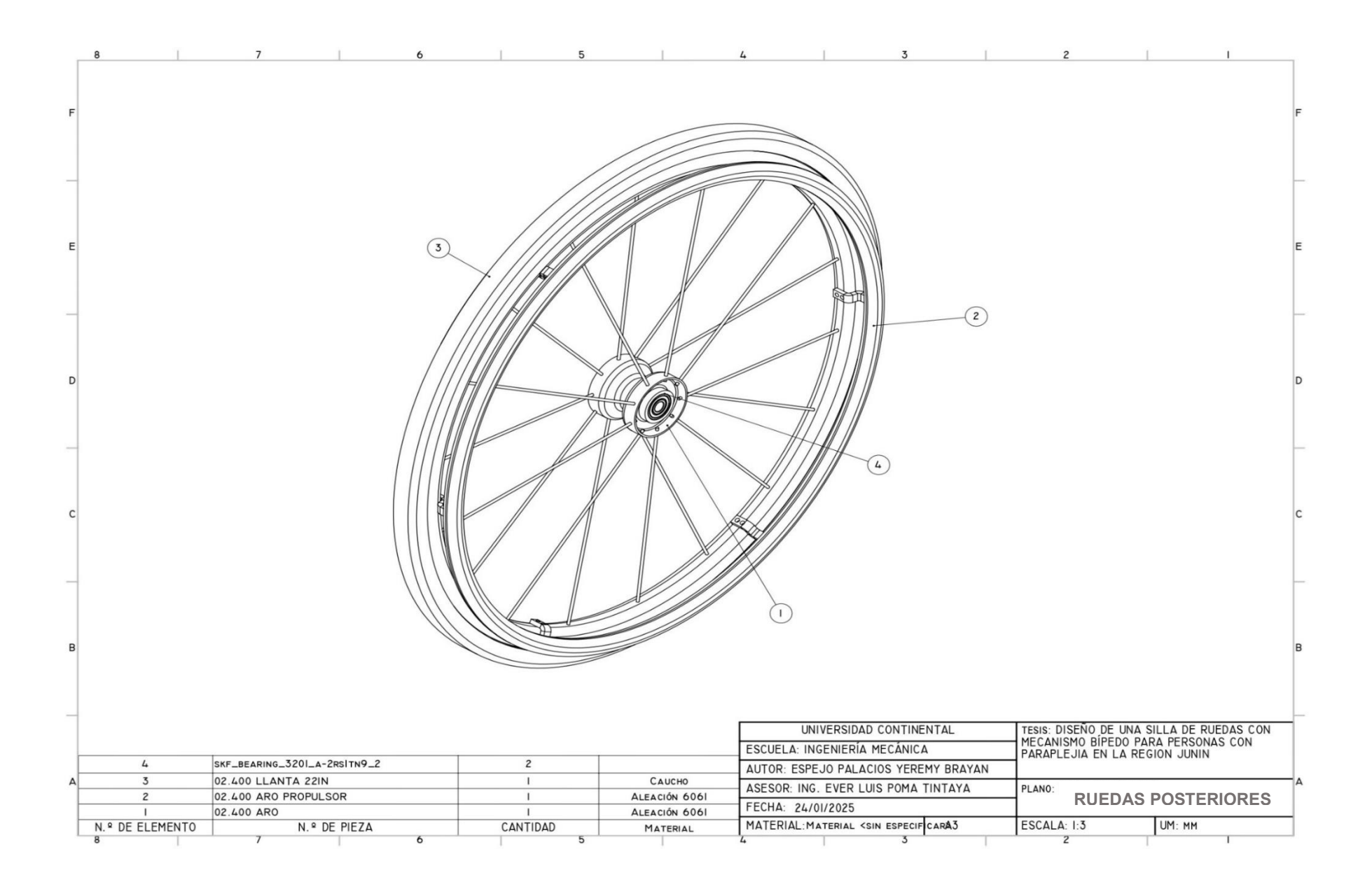


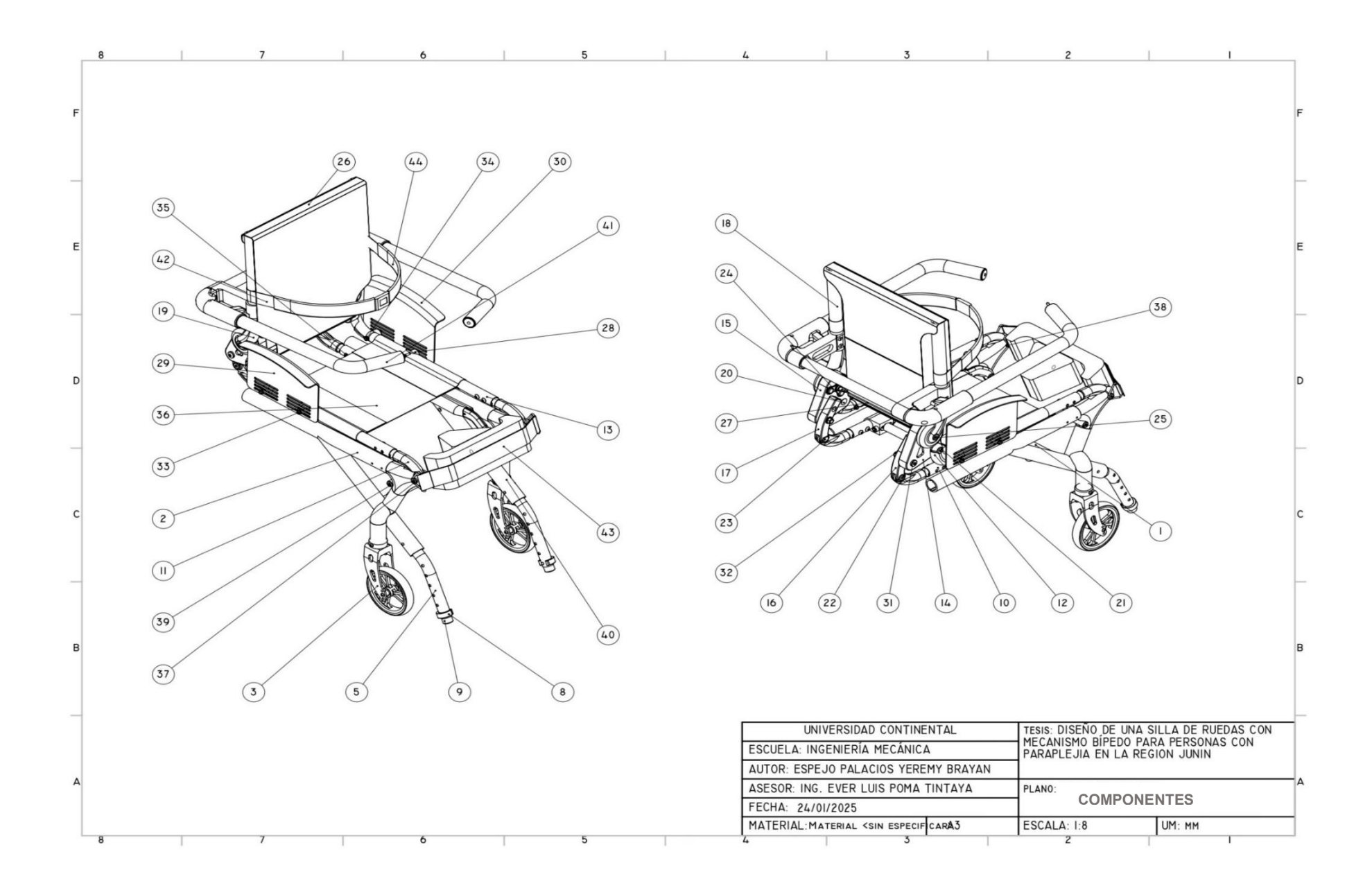
Anexo 8
Plano general



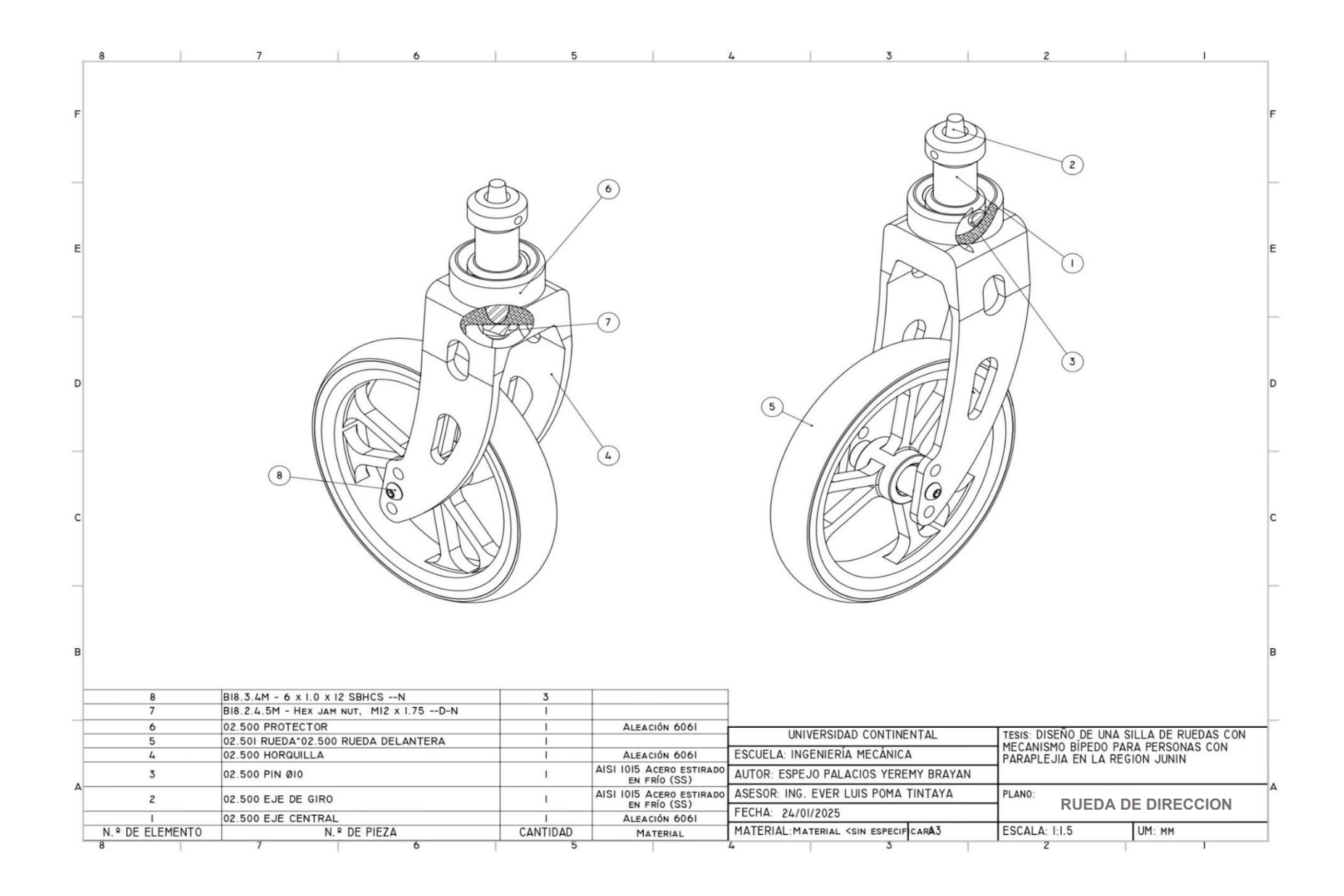


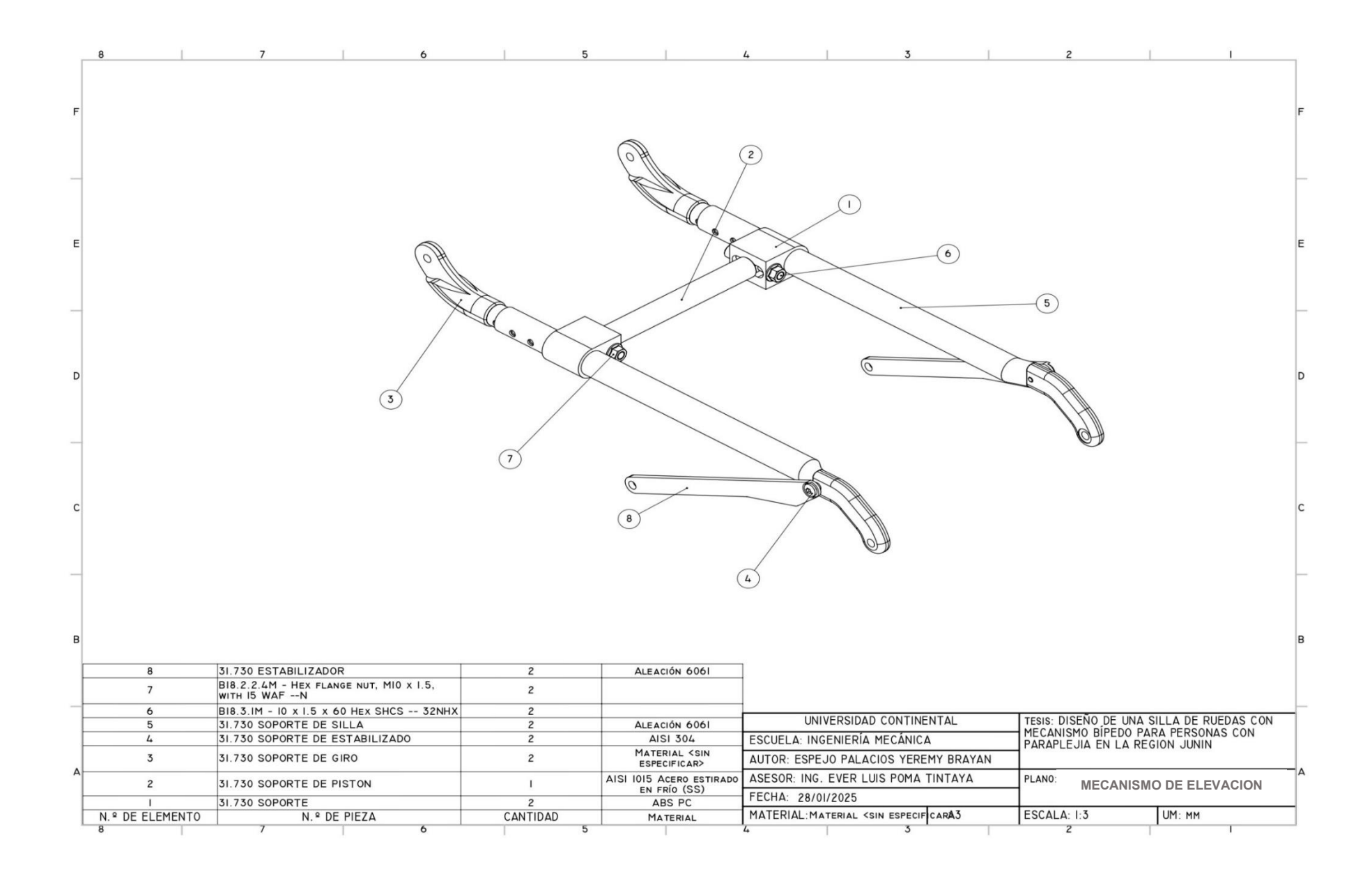


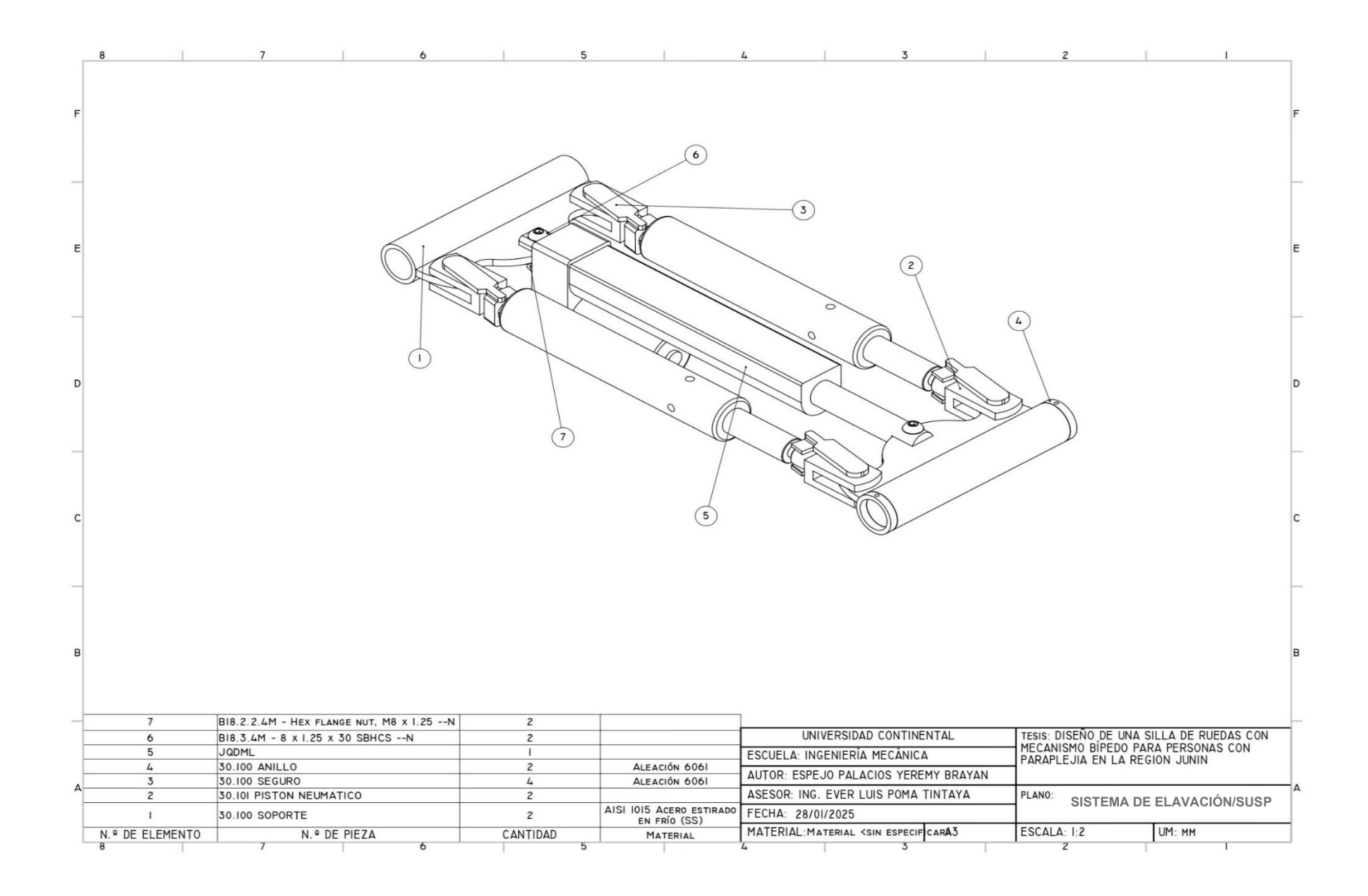




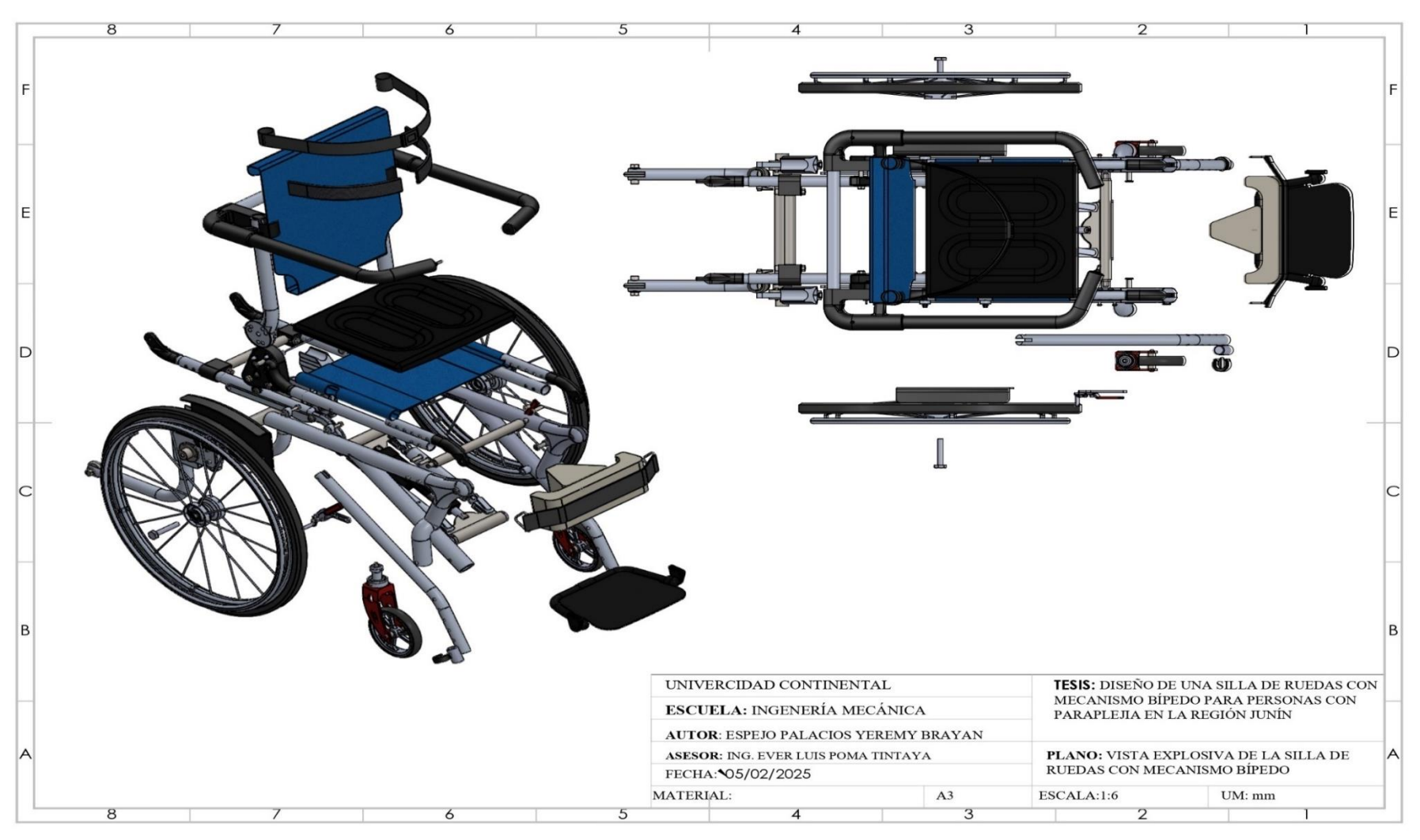
		7 6		5		4 3		2		1
		Tourist automatical automatica								
44		CUBIERTA_CINTURON SUPERIOR	2							
43		30.104 CINTURO DE PIERNAS	1							
42		CINTURON SUPERIOR 50.073 APOYA BRAZOS	<u> </u>							
40		SIM_COLUMNA	<u> </u>							
39		31.730 SOPORTE DE ELEVACION	2							
38		31.730 SEGURO SILLA	4			-				
37		31.730 SEGORO SILLA	2							
36		31.730 ASIENTO	1							
35		BI8.3.4M - 8 x I.25 x 30 SBHCSN	8			_				
34		BI8.2.2.4M - HEX FLANGE NUT, M6 X IN	4							
35,00		BI8.6.7M - M6 x I.0 x 50 INDENTED HFMS				—				
33		50N	4							
32		AM-MI0-N	2							
31		BI8.6.7M - MIO x I.5 x 65 TYPE I CROSS	2							
		RECESSED PHMS38N								
30		31.730 CUBRELLANTAS								
29		31.730 CUBRELLANTAS	- 1							
28		31.730 TOPE	4							
27		30.104.6281	l l							
26		50.073.1110								
25		31.730 SOPORTE RESPALDAR	2							
24		31.730 SEGURO RESPALDAR	2							
23		31.730 SEGURO	2							
22		31.730 SOPORTE BRAZO	2							
21		31.730 SOPORTE ASIENTO	2							
20		31.730 TUERCA SILLA	2							
19		31.730 RESPALDAR	<u> </u>							
17		31.730 RESPALDAR 31.730 BRAZO	<u>l</u>							
16		31.730 BRAZO	i							
15		31.730 SOPORTE DE GIIRO DE SILLA	i			_				
14		31.730 SOPORTE DE GIIRO DE SILLA	1							
13		31.730 SOPORTE DE SILLA FIJO	i							
12		31.730 SOPORTE DE SILLA FIJO	i			_				
11		31.730 SOPORTE DE GIRO	2							
10		31.730 SILLA MOVIL^31.730 ASIENTO	ī			_				
9		TAPA TUBO	2							
8		31.730 ANILLO DE SEGURIDAD	2							
7		31.730 PERNO DE ARTICULACION	2							
		31.730 ARTICULACION MEDIA DE				UNIVERSIDAD CONTINENT	·ΛΙ	TEGIG DICENIA DE	UNA SILLA DE R	LIEDAS CO
6		REPOSAPIERNAS	2				AL		DO PARA PERSON	
5		31.730 BRAZO CORREDIZO	2			ESCUELA: INGENIERÍA MECÁNICA			LA REGION JUNIN	
4		31.730 CORREDERA VERTICAL	2			AUTOR: ESPEJO PALACIOS YEREMY	BRAYAN			
3		02.500 RUEDA DELANTERA	2					DI ANO		
2		31.730 TRAVESERO	L			ASESOR: ING. EVER LUIS POMA TIN	IIAYA	PLANO:	A DE COMPO	NENTE
1		31.730 EJE DE AMARRE	1			FECHA: 24/01/2025		LISTA	- DE COMPU	THE WILE
º DE ELEI	MENTO	N.º DE PIEZA	CANTIDAD		MATERIAL	MATERIAL: MATERIAL SIN ESPECIFICA	-A 7	ESCALA: 1:8	UM: MM	







Anexo 5 Plano explosivo



Anexo 6
Planos de detalles

